

١٦

بِسْمِ اللّٰهِ الرَّحْمٰنِ الرَّحِيْمِ



دانشگاه صنعتی شهرورد

دانشکده فیزیک

پایان نامه کارشناسی ارشد فیزیک

گرایش حالت جامد

نقش میدان های پلاریزاسیون در  
فوتولومینسانس حاصل از چاه های کوانتومی  
نیمرساناهای نیتروژن دار

استاد راهنما:

دکتر حمید هراتی زاده

نگارش:

مرتضی اسماعیلی

دی ماه ۱۳۸۴

نقدیست کم عیار

به پاس زحماتشان

تقدیم به:

پدر فداکارم و مادر مهربانم

بخاطر حمایت های بیکران شان در تمام مراحل زندگی ام

## تقدیر و تشکر

حمد و سپاس پروردگار یکتا را که لطف و کرم بی کرانش اینجانب را نیز در بر گرفت تا به وسیع توان و اندیشه خود گامی کوچک در گستره پهناور علم و معرفت بردارم و میسر گشت تا از خرمن دانش و تجربه بزرگان و نیک آندیشان خوش چینی کرده و میوه ای از باغ علم در دامان پرورش دهم.

اکنون که با یاری خداوند متعال، این دوره پر خاطره از دوران تحصیل را به پایان رسانده ام؛ هرچند واژه ها را یارای آن نیست که لطف، محبت و بزرگواری کسانی را که در تمام دوران زندگیم جرعه نوش دریای بیکران مهر و محبتان بوده ام را به تصویر بکشم، اما به رسم ادب و احترام بوسه بر دستانشان زده و برخود واجب می دانم زحمات تمامی اعضای خانواده ام، مخصوصاً پدر و مادر مهربانم، که با ایجاد جوی صمیمی راه گشای مشکلاتم در تمام مراحل زندگی بوده اند و کلیه معلمان، استاد و دوستان دوران تحصیل را ارج نهاده و مراتب تشکر قلبی و باطنی خویش را از الطاف و مهربانیهای آنها ابراز دارم. در ابتداء لازم می دانم که از زحمات فراوان و کارگشای استاد فرزانه و بزرگوارم آقای دکتر حمید هراتی زاده که با راهنمایی ها و نظرات ارزنده و گهربارشان و صبر و حوصله فراوان، نقش مهمی در به ثمر رسیدن این تحقیق داشته اند و روحیه تحقیق و پژوهش را در بین دانشجویان خود زنده کردند، صمیمانه تقدیر و تشکر نمایم؛ بی تردید انجام این پایان نامه بدون همکاری ایشان هرگز ممکن نبود. همچنین از دوستان بزرگوارم آقای محمود صابونی و خانم طبسی که در یگ گروه کوچک ولیکن صمیمی وقت زیادی را صرف بحث های علمی و تشکیل جلسات متعدد کردند و مساعدتها بی که در انجام مراحل این پژوهش داشته اند نیز سپاسگزاری می نمایم.

همچنین بر خود لازم می دانم از جناب پروفسور هیروشی آمانو و سایر همکارانشان در دانشگاه میجو ژاپن که نمونه های مورد آزمایش را جهت اندازه گیری ها ساخته اند و جناب پروفسور بو مونمار و پروفسور پر اولاف هولتز در آستینتوی تکنولوژی و سنجش دانشگاه لینشوپینگ سوئد بخاطر در اختیار گذاشتن داده های تجربی بررسی شده در این تز و استفاده از نتایج آزمایشها بی که با هدایت آنها در دانشگاه لینشوپینگ سوئد انجام شده و در اختیار گذاشتن منابع مورد احتیاج جهت تکمیل پایان نامه کمال سپاسگزاری و تشکر را داشته باشم. از هیت محترم داوران به خاطر قبولی داوری و نقد و بررسی پایان نامه کمال تشکر را دارم. و در نهایت از تمام دوستان خود در دانشکده فیزیک دانشگاه صنعتی شاهرود خصوصاً آقایان روح الله امیری و محمدی تبار و صادقی همچنین سرکار خانم مریم غلامی تشکر می کنم.



## چکیده

نیمرسانهای نیتروژندار خانواده تری نیترایدها به علت گستردگی گاف انرژی آنها که از ناحیه IR تا UV را شامل می شود کاندیداهای خوبی برای ساخت قطعات الکترونیکی و اپتوالکترونیکی هستند. یکی از مشکلاتی که در نانوساختارهای نیتروژن دار وجود دارد، عدم انطباق در ثابت شبکه لایه های رشد داده شده بر روی یکدیگر می باشد این موضوع باعث به وجود آمدن کرنش در ساختار می شود که در اثر آن بارهای قطبشی در سطح مشترک لایه ها بوجود می آید و این بارهای قطبشی به نوبه خود تولید میدان های قطبشی در نمونه خواهد کرد. این دسته از مواد به طور طبیعی در ساختار ورسایتس متبلور می شوند و دارای یک شبکه براوه شش گوشی با حضور چهار اتم بر هر سلول واحد هستند. اندازه گیری فوتولومینسانس نانوساختارهای InGaN/GaN و GaN/AIGaN حضور میدانهای الکتریکی داخلی ناشی از بارهای قطبشی القایی را به اثبات می رساند. این میدان های قطبشی باعث می شوند که چاه های کوانتموی از حالت مسطح خارج شده و تبدیل به چاه های مثلثی شوند و در نتیجه بر روی خواص اپتیکی نمونه مورد بررسی به شدت تاثیر می گذارند و مکان طیفی پیک فوتولومینسانس و همچنین مکانیسم باز ترکیب حامل ها و میزان هم پوشانی توابع موج الکترون و حفره را تحت تاثیر قرار می دهند. هدف اصلی این پروژه نیز بررسی اثر این میدان ها روی تابش گسیلی از این نانوساختارها می باشد.

نمونه های مورد مطالعه چاه های کوانتموی چندگانه GaN/AIGaN می باشد که از تکرار متناسب پنج لایه از جنس AIGaN و GaN با ضخامت های تقریبی به ترتیب  $3\text{nm}$  و  $7\text{nm}$  با آلایش سیلیکونی و درصدهای مولی Al متفاوت بر روی زیرلایه Sapphire و در راستای [۱۰۰] ساخته شده اند. نمونه ها دارای آلایش سیلیکونی متفاوت با هم هستند و همگی حاوی  $7\%$  Al در سدها می باشند. برای رشد نمونه ها از روش نیمه صنعتی رسوب گذاری بخار شیمیایی ترکیبات آلی فلزی<sup>۱</sup> استفاده شده است. برای انجام اندازه گیری های اپتیکی از تکنیک های اندازه گیری فوتولومینسانس معمولی<sup>۲</sup> و فوتولومینسانس واسته به زمان<sup>۳</sup> استفاده شده است.

نتایج اندازه گیری های ما نشان می دهند که در طیف PL تمامی نمونه ها با آلایش های سیلیکونی متفاوت پیک گسیل تابشی حاصل از چاه های کوانتموی نسبت به پیک گسیل تابشی حاصل از GaN لایه بافر( $3/48\text{eV}$ )<sup>۴</sup> شیفتی به سمت انرژی های بیشتر نشان می دهد. وابستگی دمایی طیف PL همه نمونه ها بررسی شد و از روی آن مقدار انرژی جایگزیدگی اکسیتون ها به دست آمد و مشاهده کردیم که با افزایش آلایش سیلیکونی میزان انرژی جایگزیدگی کاهش پیدا می کند. همچنین وابستگی دمایی طول عمر تابشی و غیرتابشی در محدوده دمایی  $2\text{--}300$  کلوین برای نمونه بدون آلایش و با آلایش خیلی زیاد از گروه اول نشان می دهند که در محدوده دماهای پایین مکانیسم باز ترکیب تابشی غالب بوده ولی در محدوده دماهای بالا مکانیسم باز ترکیب غیرتابشی غالب می گردد. همچنین علی رغم وجود تقاض ساختاری بیشتر در نمونه آلایش یافته، بعلت تشکیل یک ناحیه گاز الکترون دوبعدی، باز ترکیب های تابشی تا دماهای بالاتری بعنوان عامل غالب نسبت به نمونه بدون آلایش عمل می نمایند که این موضوع به افزایش قابل ملاحظه بازده نوری در اثر آلایش سیلیکونی در این ساختارها می انجامد. مطالعه زمانی پیک فوتولومینسانس شیفت به انرژی های کمتر را در نمونه های با آلایش کم نشان داد در حالیکه در نمونه های آلایش یافته هیچگونه تغییری در محل پیک PL در طی زمان مشاهده نمی شود و این نشان دهنده غلبه آلایش های سیلیکونی بر حامل های نوری برای استار میدان قطبشی داخلی در این نمونه ها است.

<sup>1</sup> Metal Organic Chemical Vapor Deposition (MOCVD)

<sup>2</sup> Photoluminescence(PL)

<sup>3</sup> Time Resolved Photoluminescence(TRPL)

## فهرست مطالب

### عنوان صفحه

ا	.....	تشکر و قدردانی
ب	.....	چکیده
ت	.....	فهرست مطالب
خ	.....	فهرست شکل ها
س	.....	فهرست جداول
۱	.....	مقدمه
		بخش اول

### فصل اول - مفاهیم اساسی در بلورهای نیمه رسانا و خصوصیات آنها

۶	.....	مواد نیمه رسانا و سیر تحول آنها
۱۱	.....	فهرست منابع

### فصل دوم - ساختار بلوری و نواری مواد نیمه هادی گروه III - نیترایدها

۱۳	.....	۱-۲-۱- مقدمه
۱۳	.....	۱-۲-۲- ساختار بلوری نیمه رساناهای نیتروژندار III-V و ثابت شبکه آنها
۱۷	.....	۱-۲-۲- گالیم نیتراید(GaN)
۱۹	.....	۱-۲-۲- آلمینیم نیتراید(AlN)
۱۹	.....	۲-۲-۲- ایندیم نیتراید(InN)
۲۰	.....	۲-۳- آلیاژهای AlGaN
۲۲	.....	۴-۲- ساختار نواری تری نیترایدها
۲۴	.....	۵-۲- رشد بلوهای گروه III-N
۲۵	.....	۵-۲-۱- زیر لایه های متداول در رشد بلورهای گروه III-V
۲۶	.....	۵-۲-۲- روش رشد رونشینی پرتو مولکولی(MBE)
۲۷	.....	۵-۲-۳- الف- موانع و مشکلات در رشد MBE تری نیترایدها
۲۷	.....	۵-۲-۳- ب- روش رشد رسوب گذاری بخار شیمیایی(MOCVD)
۳۰	.....	فهرست منابع

### فصل سوم - فرآیندها باز ترکیب در نیمه رساناهای نیتروژندار، تکنیک های

## تجربی و روش آزمایشگاهی

۳۳	..... ۱-۱- مقدمه
۳۳	..... ۲-۱- اسپکتروسکوپی فوتولومینسانس (PL)
۳۴	..... ۲-۲- معرفی تکنیک فوتولومینسانس
۳۸	..... ۲-۳- آشکارساز CCD
۳۸	..... ۳-۱- ب- کرایستات
۳۹	..... ۳-۲- اصول روش فوتولومینسانس وابسته به زمان (TRPL)
۴۰	..... ۳-۳- سیستم Streak camera
۴۰	..... ۴-۱- بازترکیب های نوری در تری نیتراید (N <sub>3</sub> )
۴۲	..... ۴-۲- بازترکیب نوار به نوار
۴۳	..... ۴-۳- بازترکیب اکسیتون آزاد
۴۵	..... ۴-۴- اکسیتون های جایگزیده
۴۷	..... ۴-۵- بازترکیب حامل آزاد - حامل مقید
۴۸	..... ۴-۶- بازترکیب های غیرتابشی
۴۸	..... ۵-۱- اکسیتون ها در چاه های کوانتمویی
۵۰	..... ۵-۲- فهرست منابع

## فصل چهارم - نانو ساختارهای کوانتمویی گروه تری نیتراید و ویژگی های آنها

۵۲	..... ۱-۱- مقدمه
۵۲	..... ۱-۲- ساختارهای نامتجانس نیمه هادی
۵۴	..... ۱-۳- ساختارهای چاه کوانتمویی
۵۸	..... ۱-۴- انواع چاه های پتانسیل کوانتمویی
۶۰	..... ۱-۵- کرنش در نیمرساناهای نیتروژندار
۶۳	..... ۱-۶- تئوری پتانسیل تغییر شکل
۶۵	..... ۱-۷- محاسبه انفال نواری <sup>۴</sup> در نانو ساختارهای کوانتمویی نیتروژندار
۶۸	..... ۱-۸- تکنیک اضافه کردن آلایش در لایه سد چاه های کوانتمویی
۷۱	..... ۱-۹- فهرست منابع

<sup>4</sup> Band offset

## فصل پنجم - معرفی میدان های قطبشی داخلی در نانو ساختارهای کوانتومی نیتروژندار و محاسبه میدانها در نمونه های مورد مطالعه

۷۴	.....	۱-۵
۷۴	.....	۲-۵
۷۶	.....	۳-۵
۸۰	.....	۴-۵
۸۲	.....	۵-۵
۸۳	.....	۶-۵
	GaN/Al <sub>x</sub> Ga <sub>1-x</sub> N	چندگانه
۸۹	.....	۷-۵
	GaN/Al <sub>x</sub> Ga <sub>1-x</sub> N	میدان تهی و محاسبه مقدار آن در چاه های کوانتومی
۹۱	.....	۸-۵
۹۹	.....	فهرست منابع

## فصل ششم - تحلیل نتایج بدست آمده و بحث در مورد نتایج فیزیکی

۱۰۲	.....	۱-۶
	GaN/Al <sub>x</sub> Ga <sub>1-x</sub> N MQW های	۲-۶
۱۰۳	.....	توسط آلایش سیلیکونی با استفاده از طیف فوتولومینسانس معمولی
	GaN/AlGaN	۳-۶
۱۰۸	.....	۴-۶
۱۱۰	.....	چاه های کوانتومی
	GaN/AlGaN	۵-۶
۱۱۴	.....	چاههای کوانتومی چندگانه
	GaN/AlGaN	۶-۶
۱۱۷	.....	دمازی طیف فوتولومینسانس معمولی
	GaN/AlGaN	۷-۶
۱۲۰	.....	کوانتومی
۱۲۴	.....	۸-۶
۱۲۶	.....	فهرست منابع

<sup>۵</sup> Quantum Confined Stark Effect(QCSE)

<sup>۶</sup> Injected carrier

## بخش دوم

### مقالات های ارائه شده به ژورنالهای بین المللی، کنفرانس های بین المللی و داخلی

مقاله اول - استثمار میدانهای قطبشی داخلی نانوساختارهای گالیم نیتراید

..... Dynamical Study of the Radiative Recombination Processes in GaN/AlGaN QWs –

مقاله سوم - رقابت بازترکیب های نوری و غیرنوری در چاه های کوانتموی چندگانه

..... GaN/AlGaN

مقاله چهارم - رقابت حامل های نوری و آلایشن سیلیکونی در استثمار میدان های قطبشی

..... در چاه کوانتموی GaN

**Paper 5-** Effect of the extrinsic and temporal carriers on radiative recombination of III-nitride nanostructures .....

**Paper 6-** The effect of Al composition and Si doping on the optical properties of GaN/AlGaN multi Quantum Well nanostructure.....

## فهرست شکل ها

صفحه	عنوان
٨	شکل ۱-۱ - اثر تغییر پهنازی چاه بر روی ترازهای انرژی در یک چاه کوانتومی تنها .....
۱۰	شکل ۲-۱- بستگی گاف انرژی گالیم آرسناید به دما .....
۱۴	شکل ۲-۱- ترتیب قرارگیری اتمها در یک ساختار (الف) hcp و (ب) ورتسایتس (Wz). دو ثابت شبکه a و c نیز نشان داده شده اند. (ج) نمایش منطقه اول بریلوئن ساختار ورتسایتس (نقاط با تقارن بالای A و M و Γ نیز نشان داده شده اند). ....
۱۵	شکل ۲-۲- ترتیب قرارگیری اتمها در (الف) سلول واحد شبکه fcc و (ب) سلول واحد ساختار زینک (ZB). ثابت شبکه a نیز نشان داده شده است. (ج) نمایش منطقه اول بریلوئن ساختار زینک بلند (نقاط با تقارن بالای X و L و Γ نیز نشان داده شده اند). ....
۱۶	شکل ۳-۲- نحوه چینش اتمها در ساختارهای Wz و زینک بلند. به چرخش اتمها در ساختار زینک بلند توجه کنید. ....
۱۷	شکل ۴-۲- انرژی گاف نواری بر حسب ثابت شبکه (انرژی گاف نواری InN اخیراً مقدار ۷/۰ کترون ولت گزارش شده است که کاملاً معتبر می باشد). ....
۱۸	شکل ۵-۲- بستگی به میزان X، انرژی گاف نواری AlGaN که توسط گروه های مختلف اندازه گیری شده اند (مقدار ۰/۲۵ = b که در این تراز آن استفاده شده است، توسط آمانو گزارش شده است). ....
۲۳	شکل ۶-۲- ساختار نواری محاسبه شده در نزدیکی نقطه Γ برای بلور GaAs که دارای ساختار زینک بلند می باشد ....
۲۴	شکل ۶-۷- ساختار نواری محاسبه شده در نزدیکی نقطه Γ برای بلور GaN که دارای ساختار ورتسایتس می باشد ....
۲۸	شکل ۷-۲- نمایشی از سطح مقطع عرضی یک سیستم رشد بلور MBE ....
۳۶	شکل ۱-۳- طرح شماتیکی از آزمایش فوتولومینسانس معمولی ....
۳۹	شکل ۲-۳- شکل شماتیک یک کریستات و سیستم خنک کننده که در آزمایش‌های PL استفاده شده است همراه با نمایش یک نمونه واقعی از آن که با هلیم مایع کار می کند ....
۴۲	شکل ۳-۳- طرح شماتیک دو گذار تابشی ذاتی (الف) بازترکیب نوار به نوار و (ب) بازترکیب اکسیتون آزاد در یک چاه کوانتومی GaN/AlGaN ....
۴۲	شکل ۴-۳- طرح شماتیک چند نمونه از فرآیندهای بازترکیب تابشی غیرذاتی در چاه های کوانتومی GaN/AlGaN (الف) اکسیتون مقید شده (در اینجا اکسیتون مقید شده به پذیرنده ها) (ب) و (ج) بازترکیب حامل آزاد- حامل مقید (د) بازترکیب جفت دهنده و پذیرنده ....

۴۳	..... زیرترازهای یک نوار(هدایت یا ظرفیت) در یک $QW$ اتفاق می افتد .....
۴۴	..... شکل ۶-۳- شکل شماتیک یک اکسیتون فرنکل و یک اکسیتون موت - واینر .....
۴۵	..... شکل ۷-۳- طرحواره ای از جایگزینی اکسیتون ها در افت و خیزهای پتانسیل ناشی از ناهموای سطح .....
۴۶	..... شکل ۸-۳- نمودار وابستگی دمایی طیف $PL$ حاصل از چاه کوانتموی چندگانه $GaN/AlGaN$ بدون آالیش در دمای $2K$ .....
۴۷	..... شکل ۱-۴- طرح شماتیک ساختارهای نیمه هادی (الف) نامتجانس ب) چاه کوانتموی تنها ج) چاه کوانتموی چندگانه $GaN/AlGaN$ همراه با شکل شماتیکی از ساختار نواری آنها .....
۵۳	..... شکل ۲-۴- شکل شماتیک ساختار یک نیمه رسانای کوانتموم دات، سیم کوانتموی ( $QWi$ )، چاه کوانتموی (W) نامتجانس ب) چاه کوانتموی چندگانه $GaN/AlGaN$ همراه با شکل شماتیکی از ساختار نواری آنها .....
۵۷	..... شکل ۳-۴- نمودار چگالی حالات برای سیستم های دو و سه بعدی .....
۵۹	..... شکل ۴-۴- نمایش طرحواره (الف) یک چاه کوانتموی نیمه سانای نوع اول(I)، ب و ج) دو نمونه از ساختار نوع دوم(II) .....
۶۱	..... شکل ۴-۵- طرح شماتیکی از تغییر شکل الاستیکی به علت عدم انطباق شبکه دریک کریستال دو بعدی .....
۶۴	..... شکل ۴-۶- طرحواره شماتیک شیفت و شکافتگی ایجاد شده در گاف نواری برای کرنش کششی و تراکمی .....
۶۵	..... شکل ۴-۷- طرحواره دو نوع مختلف از انفال نواری در تری نیترایدها .....
۶۷	..... شکل ۴-۸- شکل شماتیک (الف) یک ساختار نامتجانس که در آن لایه B بر روی لایه A به ضخامت $d$ در حالتی که هیچ میدان خارجی وجود ندارد، رشد یافته است. ب) اثر میدان ای قطبشی بر روی انفال نواری نوار ظرفیت(به وضوح انفال نواری به مقدار میدان و ضخامت لایه رشد داده شده بستگی دارد). .....
۶۸	..... شکل ۴-۹- انصال نواری نوار رسانش بر حسب ثابت شبکه در ساختار های $ZB$ .....
۷۰	..... شکل ۱۰-۴- شکل یک ساختار کوانتموی آالیش نامتجانس که در سد قرار داده شده اند و چاه کوانتموی بدون آالیش می باشد) .....
۷۸	..... شکل ۱-۵- مقادیر قطبش خود به خودی محاسبه شده با استفاده از قانون و گارد برای آلیاژهای $Al_xIn_yGa_{(1-x-y)}N$ .....
	..... شکل ۲-۵- (الف) شکل شماتیک ساختار بلوری، بارهای قطبی و جهت میدان های قطبشی در ساختار ناهمگون $AlN/GaN$ که به صورت $Ga-face$ و $N-face$ رشد یافته است. ب) نمایش قطبش خود به خودی و پیروالکتریک و محل تشکیل گاز الکترونی دو بعدی در

۷۹	ساختار ناهمگون $\text{GaN}/\text{AlGaN}/\text{GaN}$ که به صورت $\text{N-face}$ و $\text{Ga-face}$ رشد یافته است .....
۸۱	شکل ۳-۵- شکل شماتیکی از چاه های کوانتمی چندگانه $\text{GaN}/\text{AlGaN}$ با پهنای چاه $3\text{nm}$ .....
۸۱	شکل ۴-۵- طیف XRD نمونه های مورد بررسی در پایان نامه .....
۸۲	شکل ۵-۵-الف) طرح شماتیک یک چاه کوانتمی اغتشاش نیافته واغتشاش یافته در اثر وجود میدان های قطبی داخلی. ب) مقدار کاهش در انرژی حاصل از بازترکیب حامل ها، ناشی از اثر کوانتمی استارک به وضوح نشان داده شده است .....
۸۲	شکل ۶-۵- کاهش اثر محدود شده کوانتمی در اثر افزایش حامل های نوری در یک چاه کوانتمی(به کاهش خمیدگی کف چاه پتانسل که ناشی از استارک موثر میدان های داخلی چاه می باشد توجه کنید). .....
۸۴	شکل ۷-۵- جابجایی قله های فتولومینسانس در چاههای $3\text{nm}$ هنگامیکه باریکه نور لیزر فرودی در عرض نمونه ها جابجا می شود .....
۸۴	شکل ۸-۵- تغییرات $100$ میکرونی از جابجایی قله های فتولومینسانس در سرتاسر نمونه $30\text{\AA}$ .....
۸۷	شکل ۹-۵- انرژی محاسبه شده حاصل از بازترکیب بین الکترون و حفره سنگین در تراز پایه، $E_{e, hh}$ ، در تقریب چاه کوانتمی مثلثی که به اندازه انرژی بستگی اکسیتون، $28\text{meV}$ ، در حالت نبود میدان الکتریکی کاهش یافته است؛ همراه با انرژی پیک $QW$ در چند نمونه با آلایش های پایین .....
۸۷	شکل ۱۰-۵- میدان قطبی الکترواستاتیکی کل در ناحیه فعال چاه کوانتمی چندگانه $\text{Al}_x\text{In}_y\text{Ga}_{(1-x-y)}\text{N}/\text{GaN}$ بر حسب درصد مولی $\text{Al}$ و $\text{In}$ (میدان ها در روی شکل بر حسب $\text{MV/cm}$ ) بیان شده اند و جهت مشتبه میدان راستای $[0001]$ فرض شده و نمونه face می باشد .....
۸۸	شکل ۱۱-۵- مولفه پیزوالکتریک میدان قطبی الکترواستاتیکی کل در ناحیه فعال چاه کوانتمی چندگانه بحث شده در شکل ۸-۵ .....
۸۹	شکل ۱۲-۵- میدان قطبی کل و مولفه پیزوالکتریک آن در چاه کوانتمی $\text{GaN}/\text{Al}_x\text{Ga}_{(1-x)}\text{N}$ که با استفاده از قانون وگارد محاسبه شده است .....
۹۰	شکل ۱۳-۵-الف) شکل سطح مقطع عرضی پتانسیل برای نمونه با آلایش سیلیکونی پایین ( $\text{cm}^{-3} N_d \times 10^{18}$ ) ب) شکل متناظر با قسمت الف برای نمونه با آلایش سیلیکونی متوسط ( $\text{cm}^{-3} N_d \times 10^{19}$ ) که در آن به وضوح اثر میدان تهی در غیر فعال چاه های بیرونی تر نشان داده شده است.) .....
۹۳	شکل ۱۴-۵-الف) انرژی گسیلی تراز پایه و ب) قدرت نوسانگر، در چاه های کوانتمی چندگانه $\text{GaN}/\text{Al}_{0.18}\text{Ga}_{0.82}\text{N}$ بر حسب چگالی های آلایشی $P^n$ در چگالی های متفاوت از حامل های آزاد تزریقی .....

- شكل ۵-۴-الف) انرژی گسیلی تراز پایه و ب) قدرت نوسانگر، در چاه های کوانتمی  
چندگانه  $GaN/In_{0.2}Ga_{0.8}N$  بر حسب چگالی های آلایشی  $P^n$  در چگالی های متفاوت از  
حامل های آزاد تزریقی ..... ۹۴
- شكل ۵-۵- تغییرات در شیفت انرژی گذار  $C_1-V_1$  بر حسب درصد های مولی مختلف Al در  
 $GaN/Al_xGa_{(1-x)}N$  ، MQW ..... وفتی که چگالی حامل های آلایشی از  $(cm^{-3})^{10^{17}}$  تا  
 $(cm^{-3})^{10^{19}}$  تغییر می کند ..... ۹۵
- شكل ۵-۶- شبیه سازی سطح مقطع عرضی نوار رسانش در یک چاه کوانتمی تنها  
 $GaN/Al_{0.2}Ga_{0.8}N$  با پهنهای چاه  $50\text{ A}$  که در ناحیه سد آلایش یافته است(با روش بستگی  
قوی محاسبه شده است ..... ۹۶
- شكل ۵-۷- محاسبات خودسازگار و شبیه سازی لبه نوار رسانش برای یک چاه کوانتمی  
 $GaN/AlGaN$  به ضخامت  $50\text{ \AA}$  گستروم در چگالی حامل های آزاد نوری مختلف ..... ۹۷
- شكل ۵-۸- نمودار مقدار شیفت به سمت قرمز در انرژی تراز پایه و احتمال این گذار تابشی  
در ضخامت های مختلف از چاه کوانتمی  $GaN/AlGaN$  ..... ۹۸
- شكل ۵-۹- طیف PL حاصل از تمام نمونه ها در دمای  $2K$ (به شیفت به سمت آبی پیک  
نسبت به  $GaN$  کپه ای توجه کنید). ..... ۱۰۵
- شكل ۵-۱۰- طیف PL حاصل از سه نمونه از چاه های  $GaN/AlGaN$  با پهنهای چاه متفاوت  
در دمای  $2K$ (به محل قرارگیری پیک حاصل از چاه های کوانتمی و  $GaN$  کپه ای در  
ضخامت های متفاوت دقت کنید). ..... ۱۰۶
- شكل ۵-۱۱- طیف فوتولومینسانس نرماییزه شده تمام نمونه ها در دمای  $2K$  ..... ۱۰۶
- شكل ۵-۱۲- نمودار تغییرات انرژی پیک فوتولومینسانس حاصل از چاه های کوانتمی  
 $GaN/AlGaN$  با افزایش آلایش سیلیکونی در سدهای  $AlGaN$  ..... ۱۰۷
- شكل ۵-۱۳- تغییرات پهنهای پیک فوتولومینسانس حاصل از  $QW$  ها (FWHM) بر حسب  
چگالی آلایش ..... ۱۰۹
- شكل ۵-۱۴- طیف فوتولومینسانس نمونه های با چگال آلایش متفاوت در دمای  $2K$  (به  
افزایش مساحت زیرمنحنی پیک PL حاصل از  $QW$  ها با افزایش آلایش سیلیکونی توجه  
کنید). ..... ۱۰۹
- شكل ۵-۱۵- الف) نمودار تغییرات زمان واهلش پیک PL چاه های کوانتمی در آلایش های  
مختلف ب) نمودار تغییرات زمان واهلش در چند انرژی مهم برای نمونه بدون آلایش ..... ۱۱۰
- شكل ۵-۱۶- تصویر TEM نمونه ..... ۱۱۱
- شكل ۵-۱۷- تغییرات انرژی پیک فوتولومینسانس حاصل از چاه های کوانتمی  $GaN/AlGaN$   
بر حسب چگال آلایش سیلیکونی در دمای  $2K$  ..... ۱۱۲
- شكل ۵-۱۸- طیف PL سه نمونه با آلایش سیلیکونی متفاوت از گروه اول که جفت شدگی

- 113 LO فونون ها در آنها قابل مشاهده و قابل مقایسه می باشد به شدت جفت شدگی شدیدتردر نمونه بدون آالیش توجه کنید.....
- 114 شکل ۱۱-۶ - وابستگی دمایی زمان واهلش در انرژی پیک PL حاصل از  $QW$  ها به دما برای دو نمونه بدون آالیش و بیشترین آالیش سیلیکونی .....
- 115 شکل ۱۲-۶ - مقادیر اندازه گیری شده زمان واهلش(مثلثهای تو خالی) و مقادیر محاسبه شده زمانهای بازترکب تابشی،  $\tau_R^T$ ، وغيرتابشی،  $\tau_{NR}^T$ ، در دماهای مختلف برای نمونه بدون آالیش .....
- 116 شکل ۱۳-۶ - مقادیر اندازه گیری شده زمان واهلش(مثلثهای تو خالی) و مقادیر محاسبه شده زمانهای بازترکب تابشی،  $\tau_R^T$ ، وغيرتابشی،  $\tau_{NR}^T$ ، در دماهای مختلف برای نمونه با بیشترین آالیش .....
- 117 شکل ۱۴-۶ - نمودارهای وابستگی دمایی طیف PL حاصل از نمونه های بدون آالیش و آالیش های  $(cm^{-3}) \times 10^{19}$  و  $(cm^{-3}) \times 10^{18}$  همراه با بستگی دمایی انرژی پیک PL حاصل از این نمونه ها .....
- 118 شکل ۱۵-۶ - وابستگی به زمان طیف فوتولومینسانس حاصل از نمونه بدون آالیش در ۶۰۰ ps اولیه بعد از تابش نور لیزر .....
- 119 شکل ۱۶-۶ - وابستگی به زمان طیف فوتولومینسانس حاصل از نمونه های با آالیش های  $(cm^{-3}) \times 10^{18}$  و  $(cm^{-3}) \times 10^{18}$  در دمای ۲K .....
- 120 شکل ۱۷-۶ - نمودارهای وابستگی به شدت نور لیزر طیف فوتولومینسانس در نمونه های بدون آالیش و آالیش سیلیکونی  $(cm^{-3}) \times 10^{19}$  و  $(cm^{-3}) \times 10^{18}$  در دمای ۲K .....

## فهرست جداول

عنوان	صفحه
جدول ۱-۱- انرژی گاف نواری تعدادی از نیمه رساناهای پرکاربرد بر حسب الکترون ولت در دمای $300\text{ K}$	۹
جدول ۱-۲- ثابت شبکه تری نیترایدها در ساختار ورتسایتس در دمای اتاق	۱۷
جدول ۲-۲- زیرلایه های متداول برای رشد تری نیترایدها همراه با مقدار درصد عدم انتظام آنها نسبت به $\text{GaN}$	۲۵
جدول ۴-۱- مقادیر اندازه گیری شده و محاسبه شده نسبت انفصال نواری نوار رسانش به ظرفیت در گروه تری نیترایدها	۶۶
جدول ۵-۱- مقادیر قطبش خودبه خودی و پیزوالکتریک، ثابت های پیزوالکتریک مهم، ثابت های الاستیک و ثابت شبکه برای تری نیترایدها	۷۷
جدول ۵-۲- میزان آلایش $\text{Si}$ , پهنهای چاه، درصد آلومینیم و پهنهای سد در چاه های کوانتومی مورد بررسی (همه نمونه ها در سد آلایش یافته اند)	۸۱
جدول ۶-۱- انرژی جایگزیدگی اکسیتون ها در چاه های کوانتومی $\text{GaN}/\text{AlGaN}$ در آلایش های سیلیکونی مختلف	۱۲۰

## مقدمه

همانگونه که می دانیم توسعه تکنولوژی نیمه هادیها تأثیر ژرفی در تمام زمینه های زندگی مدرن امروزی داشته است. اتم نیتروژن به دلیل داشتن الکترونگاتیوی بالا و شعاع کم در مقایسه با دیگر عناصر گروه پنجم جدول تناوبی، با عناصر گروه سوم ایجاد پیوندهای قوی می کند. این ترکیبات خواص جالب توجه ای از خود بروز می دهند تا حدی که این ترکیبات در تقسیم بندی نیمه هادی ها نام جدگانه ای را به خود اختصاص داده و به ترکیبات III-N معروف می باشند. هدف این پایان نامه بررسی اثر میدان های قطبشی موجود در ناحیه چاه یکسری از چاه های کوانتمومی چندگانه ساخته شده از این ترکیبات (تری نیترایدها) به روش فوتولومینسانس می باشد.

نیمه هادیهای نیتروژندار که شامل ترکیبات InN و AlN و GaN می باشند، به دلیل داشتن ویژگی های منحصر به فرد از جمله گاف انرژی پهن و گسترد (6/2eV - 7/0) که محدوده وسیعی از طیف الکترومغناطیسی از IR تا UV را شامل می شود، دارای کاربردهای زیادی در قطعات اپتوالکترونیکی می باشند که از آن جمله کاربرد در ساخت دیودهای نوری(LED ها) و دیودهای لیزری(LD ها) و آشکارسازها و صفحات نمایشگر رنگی(LCD) و ... می باشد. نیمه هادی های نیتروژندار علاوه بر کاربردهای اپتوالکترونیکی در ساخت قطعات الکtronیکی نیز به طور گسترد مورد استفاده قرار می گیرند، به ویژه این مواد در ناحیه دماهای بالا و فرکانس های بالا و همچنین در ساخت قطعات توان و سنسورهای گرمایی به خدمت گرفت شده اند. همچنین فراهم شدن گسیل تابشی در ناحیه آبی و فرابنفش توسط تعدادی از این نوع ترکیبات نیتروژندار منجر به عرضه DVD هایی با گنجایش 4/7GB در مقایسه با CD های با ظرفیت 0/67GB در سال ۱۹۹۶ شد. در نتیجه این پتانسیل وسیع کاربردها برای خانواده تری نیترایدها آنها را در مقایسه با سایر نیمه هادی ها بسیار سودمند ساخته است. به منظور افزایش بازدهی نوری این قطعات بجای کار با نیم رساناهای کپه ای، در ناحیه فعال قطعات اپتوالکترونیکی از چاه های کوانتمومی و ساختارهای با ابعاد نانو استفاده می شود که کاملاً نسبت به نیم رساناهای کپه ای ارجح تر هستند. دلیل اصلی این موضوع اثر محدودیت کوانتمومی<sup>۱</sup> که منجر به افزایش همپوشانی توابع موج الکترون و حفره می شود، می باشد. نمونه های مورد مطالعه در این پایان نامه که چاه های کوانتمومی پنج گانه از GaN/AlGaN می باشد، بمنظور

<sup>۱</sup> Quantum Confinement

تحقیق در همین راستا و برای ساخت دیودهای نوری و دیودهای لیزری طراحی شده اند. در نانوساختارهای نیتروژن دار بعلت عدم انطباق که در ثابت شبکه لایه های رشد داده شده بر روی یکدیگر وجود دارد کرنشی در ساختار بوجود می آید که در اثر آن بارهای قطبشی در سطح مشترک لایه ها بوجود می آید و این بارهای قطبشی به نوبه خود تولید میدان های قطبشی در نمونه خواهند کرد. این میدان های قطبشی باعث می شوند که چاه های کوانتومی از حالت مسطح خارج شده و تبدیل به چاه های مثلثی شوند و در نتیجه ترازهای انرژی را در این نانوساختارها دستخوش تغییر خواهند کرد. لذا بر روی فوتولومینسانس حاصل از آنها به شدت تأثیر می گذارند. هدف اصلی این پژوهه نیز بررسی اثر این میدان ها روی تابش گسیلی از این نانوساختارها می باشد.

نمونه ها توسط پروفسور آمانو<sup>i</sup> و همکارانشان در دانشگاه میجو ژاپن با روش رسوب گذاری بخار شیمیایی مواد آلی فلزی<sup>ii</sup> ساخته شده اند و توسط آقای دکتر هراتی زاده (استاد راهنمای پژوهه) و همکارانشان و با هدایت پروفسور مونمار<sup>iii</sup> در دانشگاه لینشوپینگ سوئد مورد آزمایش فوتولومینسانس و فوتولومینسانس وابسته به زمان قرار گرفته اند و داده های تجربی حاصل از اندازه گیری های اپتیکی در دانشگاه صنعتی شاهروд با استفاده از نرم افزارهایی از قبیل Matlab ، Origin و Peakfit مورد تجزیه و تحلیل قرار گرفته اند.

این پایان نامه شامل دو بخش اصلی می باشد. بخش اول آن شامل ۶ فصل است و در فصل های اول و دوم آن به ترتیب نیمه هادیها و نیمه رساناهای نیتروژندار و آلیاژهای آنها به طور مختصر معرفی می شوند و ساختار بلوری و نواری و دیگر خواص فیزیکی آنها مورد بحث قرار می گیرد. در فصل سوم تکنیک اندازه گیری فوتولومینسانس و فوتولومینسانس وابسته به زمان که برای مطالعه اپتیکی نمونه ها مورد استفاده قرار گرفته اند شرح داده شده است. در فصل چهارم نانوساختارهای کوانتومی نیتروژندار شامل چاه های کوانتومی، سیم های کوانتومی<sup>iv</sup> و نقاط کوانتومی<sup>v</sup> و انواع آنها مورد بحث قرار می گیرد. در فصل پنجم ساختار نمونه های مورد مطالعه در این پژوهه و همچنین انواع میدان های قطبشی موجود در چاه های کوانتومی GaN/AlGaN معرفی و منشأ به وجود آمدن آنها مورد

<sup>i</sup> H. Amano

<sup>ii</sup> Metal Organic Chemical Vapor Deposition (MOCVD)

<sup>iii</sup> B. Monemar

<sup>iv</sup> Quantum Wire(QWi)

<sup>v</sup> Quantum Dots(QDs)

بحث قرار می گیرد و نتایج یکسری از کارهای تئوری و آزمایشگاهی که بر روی نمونه های مشابه با نمونه های مورد مطالعه در این پژوهه انجام گرفته ذکر می گردد. در نهایت در فصل ششم نتایج داده های تجربی بدست آمده از آزمایش های فوتولومینسانس مورد بحث فیزیکی قرار گرفته و به طور مفصل در مورد چگونگی استقرار میدان های داخلی توسط حامل های نوری و آلایشی و همچنین اثر دما بر روی انرژی گسیلی تراز پایه چاه کوانتمی  $GaN/AlGaN$  و نکات دیگر بحث می شود.

بخش دوم پایان نامه شامل مقالاتی است که در ارتباط با موضوع پایان نامه به ژورنالهای بین المللی و داخلی و کنفرانس های بین المللی و داخلی ارائه شده است و مشتمل بر شش مقاله می باشد. مقاله اول در یازدهمین گردهمایی فیزیک ماده چگال که در مرکز تحصیلات تکمیلی در علوم پایه زنجان (۱۳۸۴-۵ خرداد) برگزار شد، ارائه گشت و مقاله دوم در کنفرانس زیر پذیرفته شده است:

6<sup>th</sup> Internatinal Conference on Nitride Semiconductors (ICNS6), Bremen, Germany  
August 28 - September 2, 2005

و در ژورنال Phys. Stat. Sol. فیزیک ایران (۱۰-۷ شهریور ۱۳۸۴ - دانشگاه لرستان) پذیرفته شده و ارائه شده اند. مقاله پنجم accept برای چاپ در ژورنال Iranian Journal of Science & Technology نیز برای چاپ به ژورنال European Physical Journal فرستاده شده است.

# فصل ا:

مفاهیم اساسی در بلورهای نیمه رسانا و خصوصیات آنها

- مواد نیمه رسانا وسیر تحول آنها

## مواد نیمرسانا و سیر تحول آنها

تا کمتر از یک قرن پیش فقط دو دسته از مواد شناخته شده بودند: فلزها و عایقها. بتدریج و با پیشرفت علوم مواد نیمه هادی نیز به این دسته بندی اضافه شدند. نیمه رساناهای گروهی از مواد هستند که رسانایی الکتریکی آنها بین فلزات و عایق‌ها قرار دارد. بلور کامل و خالص اغلب نیمه رساناهای در صفر مطلق عایق است. نیمه هادیها رسانایی الکتریکی هستند که مقاومت ویژه آنها در دمای اتاق عموماً در گستره ( $\Omega\text{-}cm$ )  $10^{-2}$  -  $10^9$  واقع است. این گستره در بین مقاومت ویژه رساناهای خوب، ( $\Omega\text{-}cm$ )  $10^{-6}$  -  $10^{-14}$ ، و عایق‌ها، ( $\Omega\text{-}cm$ )  $10^{-14}$  -  $10^{-22}$  قرار دارد. ویژگی مهم این مواد این است که رسانایی آنها با تغییر دما، تحریک نوری و میزان آلایش به نحو قابل ملاحظه‌ای تغییر می‌کند. این قابلیت تغییر خواص الکتریکی، مواد نیمه رسانا را انتخاب مناسبی برای تحقیق در زمینه قطعات الکترونیکی ساخته است [۱]. مواد نیمه هادی جزء اصلی برای ساخت وسایل الکترونیکی و اپتوالکترونیکی<sup>۱</sup> هستند و در گستره وسیعی از محصولات و کاربردهای جدید می‌توان آنها را پیدا کرد به عنوان مثال در کامپیوترها، ساعتهای دیجیتالی، نمایشگرهای LCD، قطعات اپتوالکترونیکی، تلفن های موبایل و ... . بنابراین به جرأت می‌توان گفت توسعه تکنولوژی نیمه هادیها تاثیر ژرفی روی تمام زمینه‌های زندگی مدرن امروزی داشته است. با اختراع ترانزیستور پیوندی دو قطبی علاوه به مطالعه و تحقیق روی مواد نیمه هادی به طور قابل ملاحظه‌ای افزایش یافته است. بررسی‌هایی که منجر به این اختراع مهم شد باعث شد که شاکلی<sup>ii</sup>، باردین<sup>iii</sup> و براتین<sup>iv</sup> جایزه نوبل فیزیک در سال ۱۹۵۶ را از آن خود کنند [۲]. درک پیشرفت‌های از اصول فیزیکی نیمه هادیها همراه با تلاش در ساخت وسایل با کیفیت بالاتر دو عنصر اصلی توسعه نیمه هادیها در سال‌های اخیر بوده است. یکی از بزرگترین

<sup>۱</sup> Optoelectronic device

<sup>ii</sup> W.Shockley

<sup>iii</sup> Bardeen

<sup>iv</sup> W.Brattain

گامهای رو به جلو در توسعه تکنولوژی نیمه هادیها، اختراع تکنیکهای رشد برآر استی باریکه ملکولی<sup>۱</sup> و رسوب گذاری بخار شیمیایی فلز<sup>ii</sup> بود؛ که باعث تولید انواع جدید مواد و ساختارهای جدید شامل لایه‌های بسیار نازک از نیمه هادیهای ناهمگون گردید[۳]. رایجترین مواد نیمه هادی در قطعات الکترونیکی و اپتوالکترونیکی سیلیکون(Si) و گالیم آرسناید(GaAs) هستند و علت آن نیز امکان تهیه کریستالهای خیلی خالص از آنها و نیز مسائل اقتصادی در ارتباط با تولید آنها می‌باشد، هر چند در زمینه کاربردهای اپتوالکترونیکی از قبیل ارتباطات فیبر نوری، Si به خاطر بازدهی پایین فرایند باز ترکیب تابشی در آن جای خود را کم کم به نیمه هادیهای با گاف نواری مستقیم و بازدهی تابشی بالاتر داد.[۲].

علی‌رغم کاربرد گسترده Si و GaAs در وسایل الکترونیکی، این دو ماده ضعفهایی به خاطر گاف نواری باریکشان دارند ( $1/1\text{eV}$  برای Si و  $1/4\text{eV}$  برای GaAs) که شرایط را برای استفاده از این مواد در وسایلی که در دما و توان بالا کار می‌کنند نامناسب کرده است؛ چون الکترونها در ظرفیت آنها به راحتی می‌توانند به طور گرمایی برانگیخته شوند[۴] و همچنین کاربردهای اپتوالکترونیکی آنها بخاطر تابش در محدوده طول موجی بلند محدود می‌شود. در مقابل نیمه رساناهای نیتروژن‌دار و آلیاژهای آنها نوید مواد نیمه هادی با گاف نواری پهن را می‌دهند که می‌توانند بر بسیاری از مشکلات موجود در این رابطه غلبه کنند. به خاطر وجود گاف نواری مستقیم، تری نیترایدها و آلیاژهای آنها در مقایسه با مثلاً سیلیکون کرباید(SiC) که یکی دیگر از نیمه هادیهای با گاف نواری بزرگ ولی غیر مستقیم می‌باشد، می‌توانند تولید لومینسانس<sup>iii</sup> موثرتری بکنند. در طی دهه گذشته پیشرفت قابل ملاحظه ای در تابش کننده‌هایی که در محدوده طیفی سبز و طول موجهای کوتاه‌تر فعال هستند و قبل از دسترسی به آنها مشکل بود، به وجود آمده است. اولین LED از  $GaN$  توسط پانکوف<sup>iv</sup>[۵] در سال ۱۹۷۱ و اولین LED دارای پیوند  $p-n$  توسط آمانو<sup>v</sup>[۶] در سال ۱۹۸۹ ساخته شد. هم‌اکنون دیودهای نوری آبی و سبز با درخشندگی زیاد، به طور تجاری در دسترس هستند[۷]. در اکثر LD‌ها ناحیه فعال گسیلنده نور دارای ساختاری که شامل یک لایه نازک (در حدود مقیاس

<sup>1</sup> Molecular Beam Epitaxy(MBE)

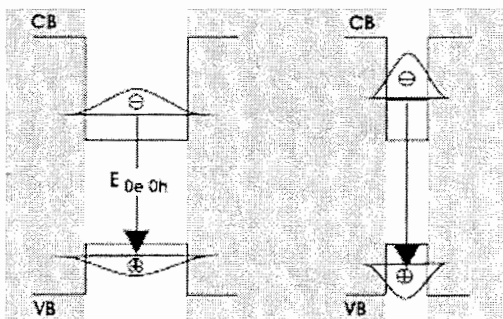
<sup>ii</sup> Metal Organic Chemical Vapor Deposition(MOCVD)

<sup>iii</sup> Luminescence

<sup>iv</sup> Pankov

<sup>v</sup> Amano

نانومتر) از یک نیمه هادی است که بین دو لایه نیمه هادیهای دیگر با گاف نواری بزرگتر، ساندویچ شده می باشد. این نانوساختارهای<sup>i</sup> دو بعدی چاه کوانتموی<sup>ii</sup> نامیده می شوند. با تغییر پارامترهای این ساختار، برای مثال گاف نواری لایه ها ، پهنهای چاه ، و ... این امکان وجود دارد که محدودیت حاملها و انرژی گسیلی از چاه کوانتموی تحت کنترل قرار گیرد. برای مثال در شکل ۱-۱ اثر پهنهای چاه کوانتموی بر روی جابجایی ترازهای انرژی در یک چاه کوانتموی به طور شماتیک نشان داده شده است. بررسی فرایند گسیل نور در چاه های کوانتموی کمک می کند تا مشخصه و ویژگیهای وسایلی که از آنها استفاده می کنند را بفهمیم و نحوه کارکرد آنها را بهبود ببخشیم. در حقیقت این پتانسیل وسیع کاربردها برای نیمه هادیها، آنها را در مقایسه با دیگر مواد بسیار سودمند و مفید ساخته است و از نقطه نظر علمی، همین گستره وسیع کاربرد آنها تلاشها را برای درک خواص پایه ای آنها توجیه می کند.[۹]



شکل ۱-۱: اثر تغییر پهنهای چاه بر روی ترازهای انرژی در یک چاه کوانتموی تنها (SQW)<sup>iii</sup>

یکی از مهمترین مشخصات نیم رساناها که آنها را از فلزات و عایق ها متمایز می کند گاف انرژی آنهاست. گاف انرژی تعیین کننده طول موج هایی است که توسط نیم رسانا جذب یا گسیل می شود. به دلیل تنوع گستره شکاف انرژی نیم رساناها، می توان طبقه بندی جدیدی از نیمه رساناها با توجه به این پارامتر ایجاد کرد. به عنوان مثال انرژی گاف نواری *GaAs* در دمای اتاق در حدود  $1/2\text{eV}$  می باشد که مربوط به طول موج های نوری نزدیک به زیر قرمز می باشد. بر عکس *GaP* دارای انرژی

<sup>i</sup> Nano structure

<sup>ii</sup> Quantum well (QW)

<sup>iii</sup> Single Quantum Well

گاف نواری  $2/26\text{eV}$  است که طول موج های قسمت سبز طیف الکترومغناطیسی را می پوشاند؛ همچنین مقدار انرژی گاف در مورد نیمه رسانای  $GaN$  در حدود  $3/44\text{eV}$  (در دمای اتاق) می باشد که در ناحیه  $UV$  می باشد. در جدول ۱-۱ انرژی گاف نواری چند نیمه رسانای مهم در دمای اتاق داده شده است.

جدول ۱-۱: انرژی گاف نواری،  $E_g$ ، تعدادی از نیمه رساناهای پرکاربرد بر حسب الکترون ولت در دمای  $K$  [۱۰]

نیمرسانا	GaP	GaAs	GaSb	InP	InAs	Si	GaN	C	InN
انرژی									
گاف نواری	$2/26$	$1/42$	$0/72$	$1/35$	$0/36$	$1/12$	$3/44$	$5/47$	$6/20$
$E_g(eV)$									

با استی اشاره کنیم که گاف انرژی در نیمه رساناهای فشار و دما تغییر می کند. ترازهای انرژی در بلور به وضوح توابعی از فوائل بین اتمی هستند، در نتیجه وقتی که دما یا فشار تغییر کند، فوائل بین ترازهای انرژی و  $E_g$  نیز تغییر می کنند. انرژی گاف را می توان به صورت زیر نوشت [۱۱] :

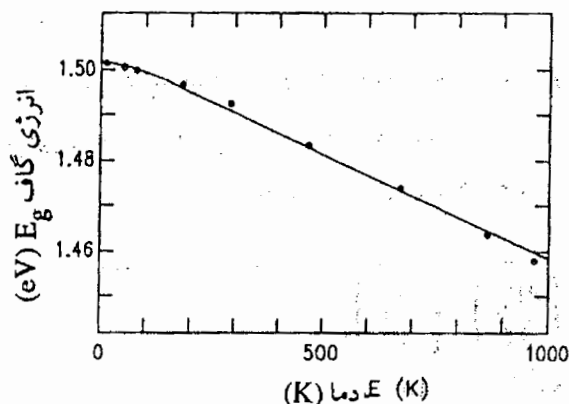
$$E_g = E_g^0 + \left[ \frac{\partial E_g}{\partial P} \right]_T \Delta P + \left[ \frac{\partial E_g}{\partial T} \right]_P \Delta T \quad (1-1)$$

که  $E_g^0$  انرژی گاف در  $T=0$  در غیاب هرگونه فشار خارجی، تغییرات  $E_g$  با دما در حدود  $10^{-9} (meV / dyn cm^{-2})$  است. برای نیمه رساناهای مختلف این اعداد می توانند مثبت و یا منفی باشند. معمولاً وقتیکه دما افزایش پیدا می یابد، گاف انرژی کوچک می شود. مع ذالک نیمه رساناهایی مانند  $CuCl$  وجود دارند که گاف انرژی آنها با دما افزایش پیدا می کند. در شکل ۲-۱ بستگی گاف انرژی  $GaAs$  به دما نشان داده شده است [۱۱]. با تغییر دما در یک نیمه هادی اثرات متعددی در شبکه بوجود می آید. نوسانات اتمها پیرامون مکان میانگین شان افزایش یا کاهش خواهد یافت. واکنش الکترون با شبکه نیز با دما تغییر می کند. پتانسیل ناخالصیهای بخشنده و پذیرنده کم عمق نیز از دما تأثیر می پذیرد، هرچند انرژی یونیزاسیون ناخالصیهای نسبتا ثابت می ماند. مشاهدات تجربی نشان دهنده تغییر گاف انرژی با دما می باشد. این

وابستگی در محدوده های دمایی متفاوت تغییر می کند و تقریبا از رابطه تجربی زیر که برای اولین بار توسط ورشنی<sup>۱</sup> ارائه شد برای نیمه رساناهای کپه ای، پیروی می نماید [۱۲]:

$$E_g(T) = E_g(0) - \alpha T^2 / (\beta + T) \quad (2-1)$$

(۰) انرژی گذار در دمای صفر کلوین است و  $\alpha$  و  $\beta$  ثوابتی هستند که با تطبیق اطلاعات اندازه گیری شده بدست می آیند.



شکل ۱-۲: بستگی گاف انرژی گالیم آرسناید به دما [۱۱]

<sup>۱</sup> Varshni

## منابع

- [۱] B.G. Streetman, *Solid State Electronic Devices*, Third Edition, Prentice-Hall (1990).
- [۲] T. Lundstrom; *Theoretical and optical investigation of some III-V based quantum wells and modulation doped heterostructures*; dissertation No.489, Linkoping University- IFM, (1996).
- [۳] A. C. Ferreira; *Optical and Transport Studies of Highly Acceptor Doped GaAs/AlGaAs Quantum Wells*; dissertation No.450, Linkoping University- IFM, (1996).
- [۴] S. M. Sze; *Physics of Semiconductor device*; John willy&Sons, New York (1981).
- [۵] J. I. Pankove; E. I. Miller; J. E. Berkeyheiser; *RCA Rev.* **32**, 383 (1971).
- [۶] H. Amano; M. Kito; K. Hiramatsu; I. Akasaki; *Jap. J. Appl.Phys.* **28** L2112 (1989).
- [۷] S. Nakamura; M. Senoh; N. Iwasa; S. I. Nagahama; T. Yamada and T. Mukai; *Super Bright green InGaN single Quantum Well structure light emitting diodes*; *Jpn. J. Appl. Phys.* **34** , L1332 (1995).
- [۸] S. Nakamura; M. Senoh; N. Iwasa and S. I. Nagahama; *High power InGaN single quantum well structure blue and violet light emitting diodes*; *J. Appl. Phys. Lett.* **67** , 1868 (1995).
- [۹] H. Haratizadeh; *Optical Characterization of GaN/AlGaN Quantum Well Structures*; dissertation No.489, Linkoping University- IFM, (2004).
- [۱۰] J. Singh; *Semiconductor Optoelectronics*; Mc Grow-Hill. Inc. (1995).
- [۱۱] مقدمه ای بر نورشناخت نیمه رساناها, ناصر پیغمبریان, استفان کوچ, آندره میزبروویچ, ترجمه دکتر حمید رضا مهاجری مقدم, دکتر حبیب تجلی, چاپ اول, انتشارات آستان قدس رضوی, (۱۳۸۰).
- [۱۲] M. Leroux; N. Grandjean; B. Beaumont; G. Nataf; F. Semord; J. Massies and P. Gibart; *J. Appl. Phys.* **86** , 3721 (1999).

# فصل ۱۲:

## ساختار بلوری و نواری نیمرساناهای نیتروژن دار (III-N)

• مقدمه

• ساختار بلوری نیمه رساناهای نیتروژن دار (III-N) و ثابت شبکه آنها

• آلیاژهای AlGaN

• ساختار نواری تری نیترایدها

• رشد بلورهای گروه III-N

## ۱-۲- مقدمه

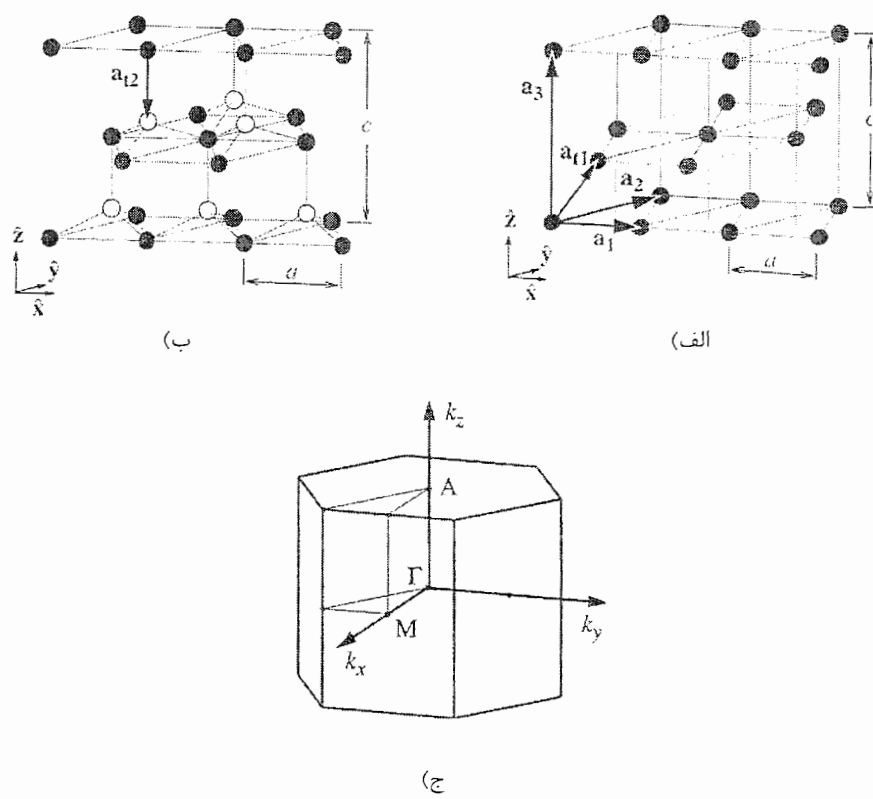
الکترونگاتیوی بالا و شعاع کم نیتروژن در مقایسه با دیگر عناصر گروه پنجم، همچنین پیوند قوی با عناصر گروه سوم باعث ایجاد خواص جالبی در ترکیب نیتروژن با عناصر گروه سوم شده است، بطوریکه ترکیب عناصر گروه سوم با نیتروژن گروه ویژه ای از نیمه هادیها را تحت عنوان "تری نیترایدها"<sup>۱</sup> یا نیمه رسانا های نیتروژندار بوجود آورده است. در حالی که بحث اصلی در این پایان نامه بررسی اثر میدانهای قطبشی در چاه های کوانتومی حاصل از گروه تری نیترایدها می باشد، ولی این موضوع برای ما قابل درک نخواهد بود مگر اینکه خواص نیمه رسانا های گروه تری نیتراید را در ابتدا بررسی کنیم. لذا در این فصل به طور خلاصه به ویژگی های ساختاری و ساختار نواری ترکیبات III-N که جزء اصلی تشکیل دهنده نمونه های مورد مطالعه در این تز هستند، می پردازیم.

## ۲-۲- ساختار بلوری نیمه رسانا های نیتروژن دار(III-N) و ثابت شبکه آنها

سه ساختار کریستالی متداول برای گروه تری نیترایدها وجود دارد: ساختارهای ورتسایتس، زینک بلند و سنگ نمک<sup>۲</sup>. البته ساختار پایدار برای AlN و GaN و InN که ای، از نظر ترمودینامیکی، ساختار ورتسایتس است. وجود ساختار زینک بلند برای GaN و InN به وسیله رشد رونشستی لایه های نازک روی صفحات بلوری (۰۰۰۱) زیر لایه های مکعبی از قبیل Si، MgO، GaAs ثابت شده است. با وجود اینکه انتظار می رود نیترایدهایی که در ساختار مکعبی تبلور می یابند فواید تکنیکی زیادی در خواص الکتریکی داشته باشند، ولی بلور با کیفیت بالا به علت شبکه پایداری فرم مکعبی، به آسانی به دست نمی آید. AlN و GaN و InN وقتی که تحت فشارهای خیلی زیاد باشند، در ساختار

<sup>۱</sup> III-Nitrides  
<sup>۲</sup> Rock salt

سنگ نمک متبلور می شوند. ساختار ورتسایتس سلول واحد هگزاگونال دارد و در نتیجه دو ثابت شبکه  $a$  و  $c$  خواهد داشت و شامل شش اتم از هر نوع در سلول واحد است. ساختار ورتسایتس از دو شبکه hcp<sup>۱</sup>، هر کدام با یک نوع از اتمها، که به اندازه  $\frac{3}{8}$  بردار  $c$  در هم فرو رفته اند ساخته شده است (شکل ۱-۲-الف و ب). منطقه اول بریلوئن این ساختار نیز در شکل ۱-۲-ج نشان داده شده است [۱,۲].

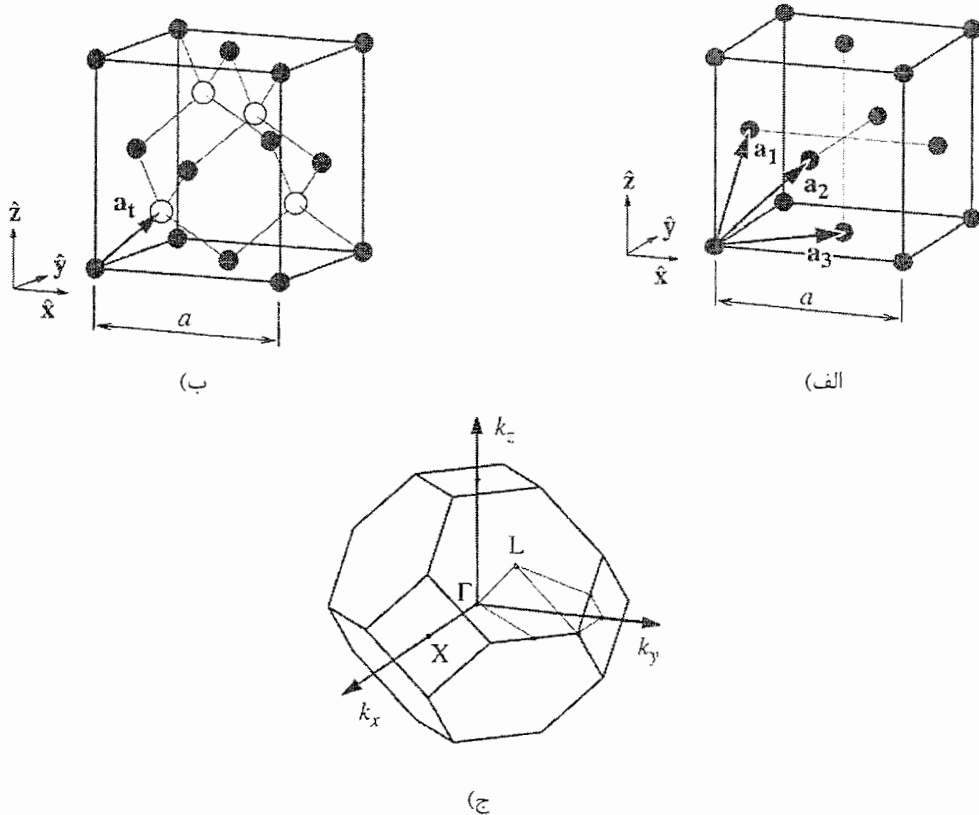


شکل ۱-۲: ترتیب قرارگیری اتمها در یک ساختار (الف) hcp و (ب) ورسایتس (Wz). دو ثابت شبکه  $a$  و  $c$  نیز نشان داده شده اند. (ج) نمایش منطقه اول بریلوئن ساختار ورتسایتس ( نقاط با تقارن بالای  $A$  و  $M$  و  $\Gamma$  نیز نشان داده شده اند). [۳]

ساختار زینک بلند تری نیترایدها یا خته بسیط مکعبی دارد که شامل ۴ اتم از گروه III و ۴ اتم نیتروژن است. موقعیت قرارگیری اتمها در سلول واحد مانند ساختار بلوری الماس است. هر دو ساختار از دو شبکه fcc در هم فرو رفته به اندازه  $\frac{1}{4}$  قطر اصلی، تشکیل شده اند. هر اتم در این بلور به نظر می آید

<sup>۱</sup> Hexagonal close-packed

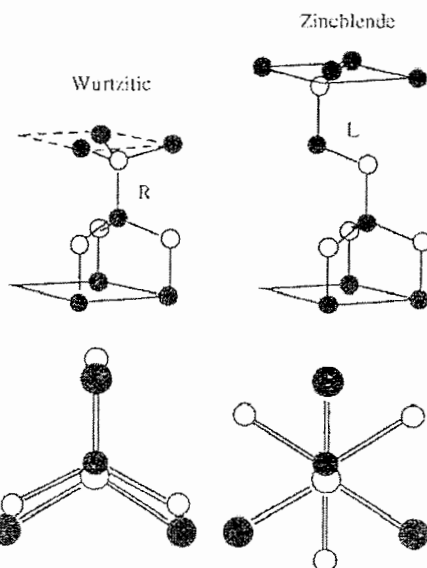
که در مرکز یک چهار وجهی می باشد(شکل ۲-۲-ب). منطقه اول بریلوئن یک بلور زینک بلند در شکل ۲-۲-ج رسم شده است.



شکل ۲-۲: ترتیب قرارگیری اتمها در (الف) سلول واحد شبکه fcc و (ب) سلول واحد ساختار زینک (ZB). ثابت شبکه  $a$  نیز نشان داده شده است. (ج) نمایش منطقه اول بریلوئن ساختار زینک بلند (نقاط با تقارن بالای X و L و Γ نیز نشان داده شده اند). [۴]

ساختارهای ورتسایتس و زینک بلند از جهاتی مشابه اند. در هر دو مورد هر اتم گروه III به وسیله چهار اتم نیتروژن به عنوان نزدیکترین همسایه هایش محصور شده است و بالعکس، یعنی هر اتم نیتروژن توسط چهار اتم از گروه III محاصره شده است و اختلاف اصلی بین دو ساختار در نحوه چینش فشرده صفحات اتمی می باشد. برای ساختار ورتسایتس نحوه چینش صفحه (۰۰۰۱) به صورت ABABAB در جهت  $\langle 100 \rangle$  می باشد و برای ساختار زینک بلند، نحوه چینش صفحات (۱۱۱) به صورت ABCABC در جهت  $\langle 111 \rangle$  می باشد. در شکل ۲-۳ این موضوع به خوبی نشان

داده شده است. همانگونه که از شکل ۳-۲ مشاهده می شود در بلور زینک بلند در جهت [۱۱۱] یک چرخش  $60^\circ$  وجود دارد که موجب به وجود آمدن چینش ABCABC می شود. اطلاع دقیق از ثابت شبکه نیمه هادیها خیلی مهم است زیرا اکثر وسایل ساخته شده از آنها از ساختارهای ناهمگون استفاده می کنند و ثابت شبکه دو ماده تشکیل دهنده ساختار ناهمگون باستی با یکدیگر تطبیق<sup>۱</sup> داشته باشند، در غیر این صورت کرنش و تنش<sup>۲</sup> در سطح مشترک پیوند ناهمگون به وجود خواهد آمد و منجر به دررفتگی در شبکه می شود و نحوه عملکرد قطعات را شدیداً مورد تأثیر قرار می دهد. در شکل ۴-۲ انرژی گاف نواری چند نیمه رسانای مهم بر حسب ثابت شبکه آنها نشان داده شده است. در ضمن ثابت های شبکه برای تری نیترایدهایی که دارای ساختار بلوری ورتساپیتس هستند در جدول ۱-۲ داده شده است. به طور مثال شکل ۴-۲ نشان می دهد که مقدار عدم تطبیق ثابت شبکه برای ساختار ناهمگون  $\text{GaN}/\text{AlN}$  برابر با  $2/5\%$  و برای  $\text{InN}/\text{GaN}$  است.



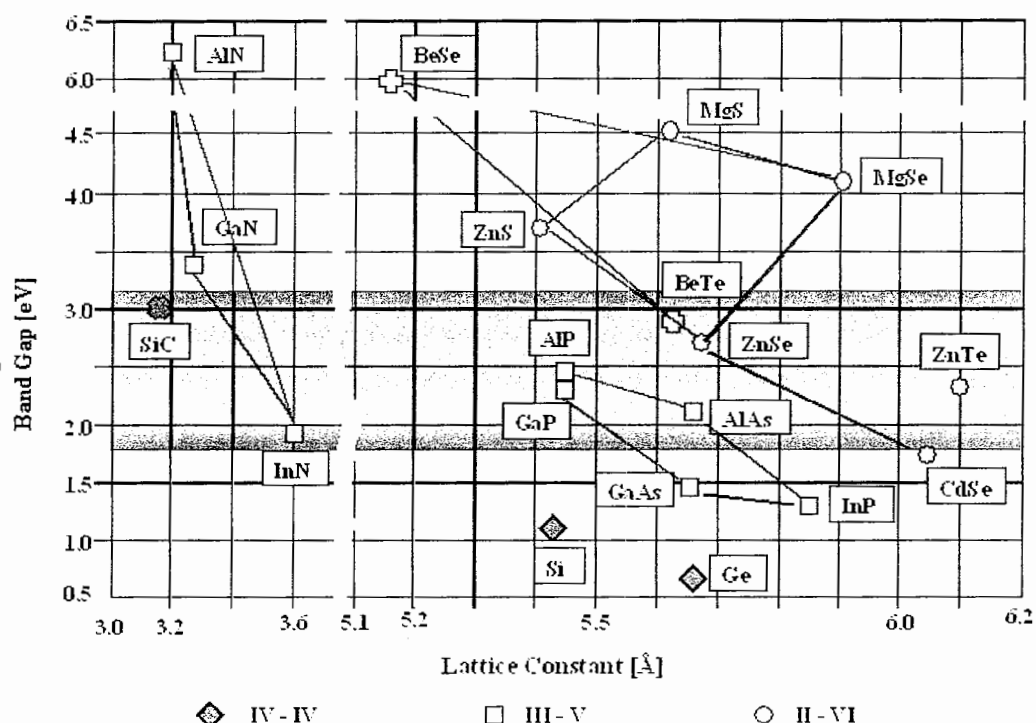
شکل ۲-۳: نحوه چینش اتمها در ساختارهای  $\text{WZ}$  و زینک بلند. به چرخش اتمها در ساختار زینک بلند توجه کنید [۱].

<sup>۱</sup> match

<sup>۲</sup> stress

جدول ۲-۲: ثابت شبکه تری نیترایدها در ساختار ورتسایتس در دمای اتاق [۵]

	AlN	GaN	InN
a ( $\text{\AA}$ )	$3.110 \pm 0.002$	$3.1892 \pm 0.009$	$3.054 \pm 0.008$
c ( $\text{\AA}$ )	$4.978 \pm 0.002$	$5.185 \pm 0.005$	$5.8 \pm 0.1$



شکل ۲-۴: انرژی گاف نواری بر حسب ثابت شبکه (انرژی گاف نواری InN اخیراً مقدار ۰/۷ الکترون ولت<sup>i</sup> گزارش شده است که کاملاً معتبر می باشد).<sup>ii</sup>

## ۱-۲-۲- گالیم نیتراید (GaN)

اولین بار گالیم نیتراید حدود ۷۰ سال پیش توسط یوهانسون<sup>iii</sup> در سال ۱۹۳۲ [۶] و سپس توسط جوزا و هاهن<sup>iv</sup> در سال ۱۹۳۸ [۷] با عبور دادن آمونیاک از روی گالیم گرم سنتز شد. دو دهه بعد

<sup>i</sup> J. Wu, W. Walukiewicz, K. M. Yu, J. W. Ager III, E. E. Haller, Hai Lu, and William J. Schaff, Phys. Stat. Sol. (b)**240**, 412 (2003).

<sup>ii</sup> [http://www.tf.uni-kiel.de/matwis/amat/semi\\_en/kap\\_5/backbone/r5\\_1\\_4.html](http://www.tf.uni-kiel.de/matwis/amat/semi_en/kap_5/backbone/r5_1_4.html)

<sup>iii</sup> Johnson

<sup>iv</sup> Hahn and Juza

جرمیس و همکارانش<sup>i</sup> در سال ۱۹۵۹ [۸] همین تکنیک را بکار بردن و بلورهای کوچکی از GaN را تولید کردند و طیف فوتولومینسانس حاصل از آن را اندازه گیری کردند. یک دهه بعد ماروسکا و تیتجن<sup>ii</sup> [۹] از بخار شفاف کلراید استفاده کردند تا یک لایه تک کریستال بزرگ روی sapphire تولید کنند. اگرچه GaN بیش از دیگر نیمه رساناهای نیتروژندار مورد مطالعه قرار گرفته است ولی هنوز نیاز بسیاری برای بررسی های بیشتر وجود دارد تا دانش خود را در مورد آن به سطح آگاهی که نیمه رساناهایی از قبیل Si و GaAs نزدیک کنیم. آسانتر از سایر مواد تری نیتراید رشد پیدا می کند ولی علی رغم پیشرفت تکنولوژی رشد بلور، GaN رشد یافته دارای نواقص شبکه نسبتاً فراوان و غلظت ذاتی الکترونی به میزان بیش از  $(cm^{-3})^{16}$  در دمای اتاق می باشد. فقدان دسترسی به زیر لایه های مناسب، از لحاظ تجاری، و مشکلات رشد نمونه هایی با آلایش نوع p در آن نیاز به تحقیق بیشتر در زمینه رشد و خصوصیات GaN را اجتناب ناپذیر کرده است. تا کنون در خصوص تهیه GaN با رسانندگی از نوع p تحقیقات گسترده ای انجام گرفته است [۱]. آکاساکی<sup>iii</sup> و همکارانش [۱۰] با استفاده از بازپخت<sup>iv</sup> و آلایش با Mg گالیم نیتراید در دمای بالاتر از  $750^{\circ}C$  در گاز  $N_2$  توانستند به این مقصود دست یابند. به غیر از Mg عناصر دیگری مانند Cd، In، Ge، Cd و ... که یا در طی رشد الحق می شوند و یا قبل از رشد بعنوان یون وارد شده اند، به صورت پذیرنده یا بخشنده عمل می کنند [۱]. اطلاعات قابل دسترس در مقاله ها و کتاب ها در مورد بسیاری از خواص گالیم نیتراید هنوز در حال تحول و تغییر است و ارقام گزارش شده بحث برانگیز هستند. بخشی از این موضوع پیامد این مطلب است که آزمایشات روی نمونه های با کیفیت های متفاوت انجام شده است. مطالعات اخیر منجر به پیشرفت در تکنولوژی رشد بلور GaN شده است و بسیاری از مشکلاتی که با آن مواجه بودیم، اکنون حل شده است به گونه ای که برخی از محققین موفق به ساخت گالیم نیتراید با کیفیت بالا و آلایش الکترونی زمینه  $(cm^{-3})^{16} \times 5$  در دمای اتاق شده اند. اگرچه برای تعیین خواص فیزیکی مختلف GaN مانند خواص اپتیکی یا الکتریکی آن هنوز تحقیقات گسترده ای در حال انجام است.

<sup>i</sup> Grimmeiss et. al.

<sup>ii</sup> Maruska and Tietjen

<sup>iii</sup> Akasaki et. Al.

<sup>iv</sup> Annealing

## ۲-۲-۲- آلومینیم نیتراید (AlN)

آلومینیم نیتراید کوچکترین ثابت شبکه را در گروه تری نیترایدها دارد و دارای ویژگی های الکترونیکی و مکانیکی مفیدی می باشد که از آن جمله می توان سختی، رسانندگی گرمایی زیاد و مقاومت تا دمای های بالا را نام برد. گاف نواری پهن  $E_g(300\text{ K}) = 6/20\text{ eV}$ , AlN است [۱۱]. باعث شده است تا AlN به عنوان یک ماده عایق در کاربردهای وسایل نیمه هادی جا باز کند. هر چند اکثر توجهی که به این نیمه هادی شده ناشی از توانای اش در تشکیل آلیاژها با GaN و تولید AlGaN و اجازه ساخت وسایل اپتیکی و الکترونیکی که بر پایه GaN/AlGaN بوده و در گستره طول موجی سبز تا فرابنفس فعال اند، می باشد. بررسی AlN نسبت به سایر مواد گروه تری نیتراید سختر است، چون واکنش پذیری آلومینیم با اکسیژن زیاد می باشد. AN در ساختار بلوری ورتسایتس دارای جرم مولی  $20/495\text{ (gm/mol)}$  می باشد. فرم مکعبی آن به سختی حاصل می شود [۱]. از آنجائیکه شبکه AlN وابستگی بسیار شدیدی به واکنش با اکسیژن دارد و تقریباً حذف ناخالصی اکسیژن از آن غیر ممکن است، آلومینیم نیترایدی که هم اکنون به طور تجاری در دسترس است حدود ۱٪ تا ۱/۵٪ اکسیژن دارد. هریس<sup>۱</sup> و یانگمن<sup>۲</sup> فوتولومینسانس و کاتدولومینسانس AlN را بررسی کرده اند و بعد از تابش توسط نور فرابنفش، دریافتند که بلور AlN آلایش یافته با اکسیژن یک سری نوارهای لومینسانس پهنه‌ی را در نزدیک فرکانس‌های فرابنفش و در دمای اتاق از خود ساطع می کند [۱۲]. توسط گروه های دیگری AlN با کیفیت بالا، با جذب نوری تحلیل و بررسی شد و معین شد که در دمای اتاق گاف نواری آن مستقیم و مقدار  $6/20\text{ ev}$  است. تعداد زیادی از گروهها مقادیر قابل قیاس با این عدد را گزارش کرده اند و در مقابل یکسری از آنها مقادیر کمتری را گزارش کرده اند، که احتمالاً باستی به خاطر وجود اکسیژن در نمونه هایشان باشد [۱۳، ۱۴].

## ۲-۳-۲- ایندیم نیتراید (InN)

اطلاعات بدست آمده از InN در مقایسه با دیگر اعضای گروه تری نیترایدها (AlN و GaN) بسیار کمتر است؛ و علت اصلی آن ناپایداری InN در دماهای بالاتر از  $500^{\circ}\text{C}$  است. علاقه و توجهی که

<sup>۱</sup> Harris  
<sup>۲</sup> Youngman

نسبت به بررسی  $\text{GaN}$  و  $\text{AlN}$  پیدا شده بود برای  $\text{InN}$  فراهم نگشت و دلایل اصلی آن مشکلات در دسترسی به کریستالهای با کیفیت مطلوب و بالا از  $\text{InN}$  و همچنین وجود تعداد زیادی از نیمه هادی هایی بود که به خوبی مشخصه یابی و بررسی شده بودند و این نیمه رسانانها دارای انرژی گاف نواری نزدیک به انرژی گاف نواری  $\text{InN}$  دارا می باشند که از آن جمله می توان به  $\text{AlGaAs}$  و  $\text{Zn}(\text{Ga},\text{Al})\text{AsP}$  ، اشاره کرد.  $\text{InN}$  بدلیل فقدان زیر لایه مناسب و وجود غلظت نقایص محلی زیاد از جهت بررسی های اپتیکی و الکتریکی دارای مشکلات زیادی است. همانطور که ذکر شد به خاطر پایداری گرمایی کم  $\text{InN}$  این ماده در دماهای بالا که در فرآیند رشد نشست بخار شیمیایی<sup>۱</sup> (CVD) لازم است نمی تواند رشد داده شود. اختلاف زیاد شعاع اتمی  $\text{In}$  و  $\text{N}$  فاکتور دیگری است که مشکل به دست آوردن  $\text{InN}$  با کیفیت بالا را دامن می زند.  $\text{InN}$  به طور طبیعی در ساختار ورتساایتس متبلور می شود. البته  $\text{InN}$  در ساختار مکعبی(زینک بلند) نیز دیده شده است. نسبت  $a/\text{برای آن}$  مقدار  $0.008 \pm 0.015$  است که نزدیک به مقدار  $0.0033$ ، که از از لایه های با کیفیت رشد عالی بدست آمده، می باشد. بررسی گزارشات قبلی در مورد ثابت های شبکه این ماده نشان دهنده مقادیر  $a$  تقریباً یکسان و مقادیر  $c$  تا حدی پراکنده می باشد و دلیل آن احتمالاً به خاطر وجود کمبود نیتروژن میباشد، چون اتم های نیتروژن به طور فشرده ای در صفحات (۰۰۰۱) قرار دارند[۱].

### ۳-۲-آلیاژهای $\text{AlGaN}$

در قطعات اپتوالکترونیکی به وفور از ساختارهای ناهمگون تری نیترايد استفاده می شود. برای این که در ک عمیقی نسبت به مکانیسم فیزیکی که در پشت سر عملکرد این قطعات قرار دارد، پیدا کنیم بايستی آلیاژهای این مواد به طور کامل مورد بررسی قرار گیرد. بسیاری از این خواص فیزیکی از قبیل انرژی گاف نواری و جرم های موثر الکترون ها و حفره ها و ثابت دی الکتریک، به درصد مولی مواد بکار رفته در ترکیب ماده مورد بررسی بستگی دارد. اکثر ترکیباتی که در این تزریقی شده اند ترکیبات سه تایی از تری نیترايدها هستند که از دو ترکیب دوتایی تشکیل شده اند که یک عنصر مشترک در آنها وجود دارد. برای مثال  $\text{Al}_{(1-x)}\text{Ga}_x\text{N}$  از  $\text{AlN}$  و  $\text{GaN}$  تشکیل شده که درصد مولی  $\text{AlN}$  در

<sup>۱</sup> Chemical vapor deposition

ترکیب می باشد. ثابت شبکه برای آلیاژهای سه تایی  $A_xB_{(1-x)}C$  توسط رابطه زیر که به قانون وگارد معروف است داده می شود [۱]

$$a^{A_xB_{(1-x)}C} = a^{BC} + x(a^{AC} - a^{BC}) \quad (1-2)$$

در مورد انرژی گاف نواری،  $E_g$ ، این قانون به صورت زیر خواهد شد:

$$E_g^{A_xB_{(1-x)}C} = E_g^{BC} + x(E_g^{AC} - E_g^{BC}) + (x^2 - x)b^{ABC} \quad (2-2)$$

مقدار پارامتر  $b^{ABC}$  با فیت کردن عبارت فوق به گاف های نواری دو ترکیب دوتایی ( $E_g^{AC}, E_g^{BC}$ ) بدست می آید [۱۵]. آگاهی کامل و دقیق از نحوه بستگی به مقدار درصد ترکیب مواد سد و چاه شرط ضروری در آنالیز کردن ساختارهای ناهمگون، چاه های کوانتموی و ابرشبکه ها می باشد. در بررسی نیمه هادی های نیتروژن دار آزمایشگر دارای قابلیت زیادی در انتخاب مواد تشکیل دهنده سد و چاه می باشد؛ مثلاً سدها می توانند از AlGaN و یا GaN ساخته شوند و بسته به نوع ماده سد، چاه ها می توانند از لایه های InGaN یا GaN ساخته شوند. در این صورت انرژی گاف نواری در ساختار

طبق رابطه (۲-۲) از رابطه زیر بدست می آید [۱]

$$E_g(x) = xE_g(AlN) + (1-x)E_g(GaN) - bx(1-x) \quad (3-2)$$

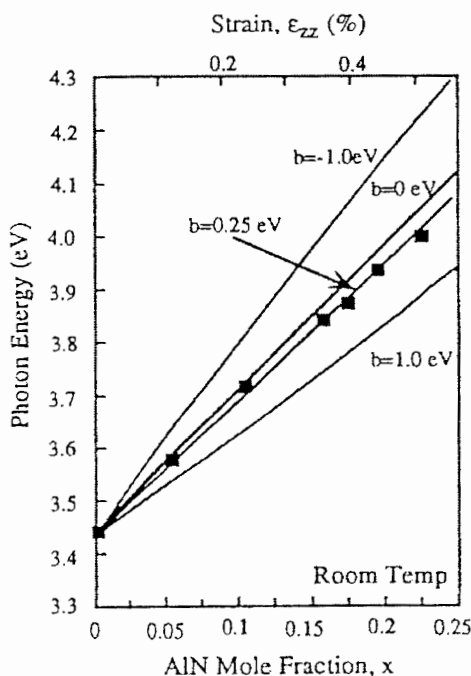
مقدار پارامتر  $b$  در گزارشات مختلف مقادیر کاملاً متفاوت و بحث برانگیزی دارد. شکل ۵-۲ بستگی انرژی گاف نواری AlGaN به میزان  $x$  را که توسط آمانو ارائه شده است، را نشان می دهد [۱۶]. برای مثال یوشیدا<sup>i</sup> [۱۷] و همکارانش از آزمایشات خود نتیجه گرفتند که زمانیکه درصد مولی AlN افزایش پیدا می کند انرژی گاف نواری AlGaN به سمت بالا شیفت پیدا می کند، که مبین مقدار منفی برای  $b$  می باشد و این کاملاً با نظر ویکنندن<sup>ii</sup> [۱۸] که مقدار صفر را برای این پارامتر گزارش کرده در تضاد است. کوید<sup>iii</sup> [۱۹] نیز پارامتر  $b$  را مقداری مثبت گزارش کرده است. آکازاکی و آمانو<sup>iv</sup> گاف انرژی لایه  $Al_xGa_{1-x}N$  را با استفاده از روش فتولومینیسانس (PL) تعیین کردند و پارامتر  $b$  برای این ترکیب به ازای درصدهای مختلف Al بین صفر تا ۲۵ درصد حدود ۰/۲۵ بدست آوردهند. در این تراز از مقدار  $b=0/25$  در محاسبه گاف نواری AlGaN استفاده شده است [۱۶، ۲۰].

<sup>i</sup> Yoshida et. al.

<sup>ii</sup> Wickenden

<sup>iii</sup> Koide

<sup>iv</sup> Akasaki, and H. Amano. Inst. Phys. Conf. Ser. **142**, 7 (1996)



شکل ۲-۵: بستگی به میزان  $X$ ، انرژی گاف نواری AlGaN که توسط گروه های مختلف اندازه گیری شده اند(مقدار  $b=0/25$  که در این تراز آن استفاده شده است، توسط آمانو گزارش شده است)[۱۶].

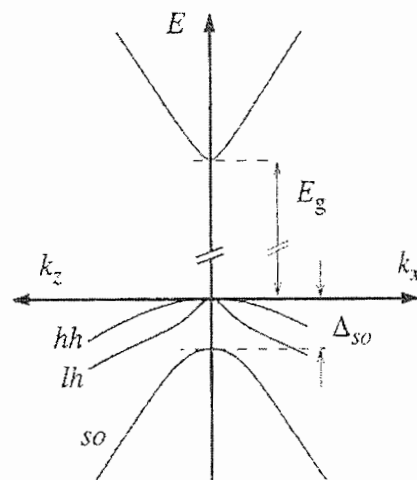
#### ۴-۲- ساختار نواری تری نیترایدها

تری نیتراید هایی که در ساختار ورتیکالس متبلور می شوند، یاخته واحد بسیط<sup>i</sup> آنها دارای ۲ اتم می باشد و در هر پیوندی که بین اتمها برقرار می شود ۸ الکترون شرکت دارند؛ ۳ الکترون از گروه تری نیتراید ها و ۵ الکترون از عنصر نیتروژن تأمین می شود. پیوند ها از بیرونی ترین اوربیتال های اتمی  $s$  و  $p$  ساخته می شوند که برای تشکیل حالت های پیوندی و غیرپیوندی<sup>ii</sup> هیبرید می شوند. حالتهای پر به نوارهای ظرفیت موسوم هستند و حالتهای اشغال نشده غیرپیوندی موسوم به نوارهای رسانش هستند. پایینترین نوار رسانش از هیبرید شدن اوربیتال های  $s$  اتمی ساخته شده در حالیکه حالتهای غیرپیوندی از اوربیتال های  $p$  که در انرژی بالاتری هستند، ساخته می شوند[۲۱، ۲۲].

<sup>i</sup> Primitive unit cell

<sup>ii</sup> Anti-bonding

در یک نیمه رسانای با ساختار بلوری زینک بلند (ZB) مثل GaAs، نوارهای ظرفیت در نقطه  $\Gamma$  ( $K=0$ ) تبهگن هستند در حالیکه نوار ظرفیت سوم که از نوع p می باشد، به وسیله شکافتگی ناشی از برهمنکش اسپین-مدار،  $\Delta$ ، به سمت پایین شیفت پیدا می کند. در شکل ۲-۶ ساختار نواری در اطراف نقطه  $\Gamma$  برای یک نیمه رسانای مستقیم مثل GaAs نشان داده شده است. وقتیکه از مرکز منطقه اول بریلوئن دور می شویم ( $K \neq 0$ ) تبهگنی از بین رفته و نوارهای ظرفیت به نوارهای حفره سنگین<sup>i</sup> (hh) و حفره سبک<sup>ii</sup> (lh) شکسته می شوند. نوار سوم با نام split-off مشخص می شود.



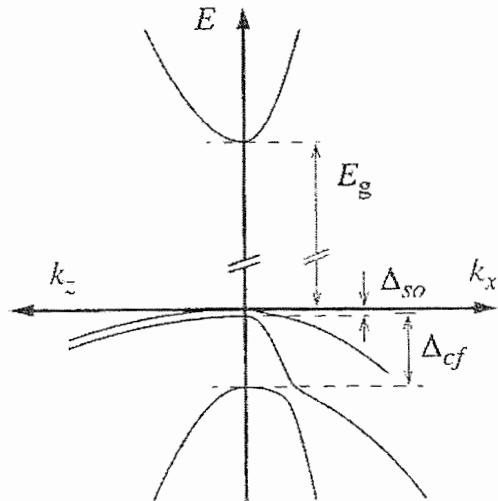
شکل ۲-۶ ساختار نواری محاسبه شده در نزدیکی نقطه  $\Gamma$  برای بلور GaAs که دارای ساختار زینک بلند می باشد [۲۱]

در ساختار بلوری ورتسایتس نوارهای ظرفیت در نقطه  $\Gamma$  به علت شکافتگی ناشی از برهمنکش اسپین-مدار و شکافتگی میدان کریستالی،  $\Delta$ ، غیرتبهگن هستند (به شکل ۲-۷ توجه کنید). نوار ظرفیت در اثر این دو پارامتر به سه نوار حفره سنگین ( $hh, \Gamma_7^V, \Gamma_7^L$ )، نوار حفره سبک ( $lh, \Gamma_7^V$ ) و نوار شکافتگی اسپین مدار ( $CH, \Gamma_7^V$ ) تجزیه می شود. بنابراین اختلاف اساسی بین ساختار نوار ظرفیت در شبکه های Wz و ZB در شکافتگی حاصل از میدان بلوری است. این میدان که متأثر از تقارن در ساختار بلوری است در ساختار ورتسایتس وجود دارد اما در ساختار زینک بلند به علت تقارن مکعبی، وجود ندارد؛ به همین دلیل در نوار ظرفیت ساختار زینک بلند شکافتگی نداریم. در مورد GaN

<sup>i</sup> Heavy hole

<sup>ii</sup> Light hole

دقیقترین اندازه گیری گاف نواری در بین همه گروه هایی که این اندازه گیری را انجام دادند مربوط به آقای بو منمار<sup>۱</sup> می باشد. منمار داده هایش را از نمونه فیلم روآراستی GaN با ساختار ورتسایتس که روی Sapphire رشد داده شده بود با استفاده از روش های بازتاب اپتیکی و طیف نمایی تحریکی<sup>ii</sup> بدست آورده است [۲۳].



شکل ۷-۲: ساختار نواری محاسبه شده در نزدیکی نقطه  $\Gamma$  برای بلور GaN که دارای ساختار ورتسایتس می باشد [۲۱]

### III-۵-۲- رشد بلورهای گروه N

برای بررسی و شناخت هر نیمه رسانایی ابتدا لازم است آن را هرچه خالص تر تهیه کنیم؛ در این صورت هرچه نیمه رسانایی که تولید می شود بزرگتر و با کیفیت بهتر باشد، استفاده از آن در صنعت و تکنولوژی آسانتر و مطلوبتر است. البته بررسی شرایط رشد و کیفیت واقعی محصول بعد از تولید با انجام آزمایش های ویژه تعیین می شود. از هنگام اختراع ترانزیستور در سال ۱۹۴۸ پیشرفت تکنولوژی قطعات حالت جامد نه تنها به توسعه مفاهیم قطعات الکترونیکی بلکه به بهبود مواد نیز وابسته بوده است. برای مثال واقعیت توانایی کنونی در ساخت مدارهای مجتمع حاصل پیشرفت های علمی قابل ملاحظه در زمینه رشد سیلیسیم تک بلور در آغاز و میانه دهه ۱۹۵۰ بوده است [۱۰]. یکی از مهمترین و متنوع ترین روش های رشد بلور، رشد یک لایه نازک روی زیر لایه ای از یک بلور همسان است.

<sup>۱</sup> Bo Monemar

<sup>ii</sup> PL Excitation Spectroscopy

زیرلایه می تواند از همان ماده لایه رشد داده شده و یا ماده دیگری با ساختمان بلوری مشابه باشد. نشاندن لایه تک بلوری جهت دار روی زیرلایه، رشد رونشیستی یا رونشینی نامیده می شود. رونشینی از کلمه یونانی epi به معنای بالا و taxis به معنی نظم و ترتیب تشکیل شده است که روی هم به معنی تداوم نظم بخشیدن بلور به روی لایه است. روش‌های مختلفی برای تأمین اتمهای مورد نظر روی سطح لایه رشد کننده وجود دارد ولی در این پایان نامه به دو روش اصلی به اختصار اشاره می شود: روش MBE و MOCVD روش اول به این دلیل که نمونه های آزمایش شده در این پایان نامه با این روش ساخته شده اند و روش دوم به این دلیل که روش بسیار دقیق و پرکاربردی است.

### ۱-۵-۲- زیرلایه های متداول در رشد بلورهای گروه III-V

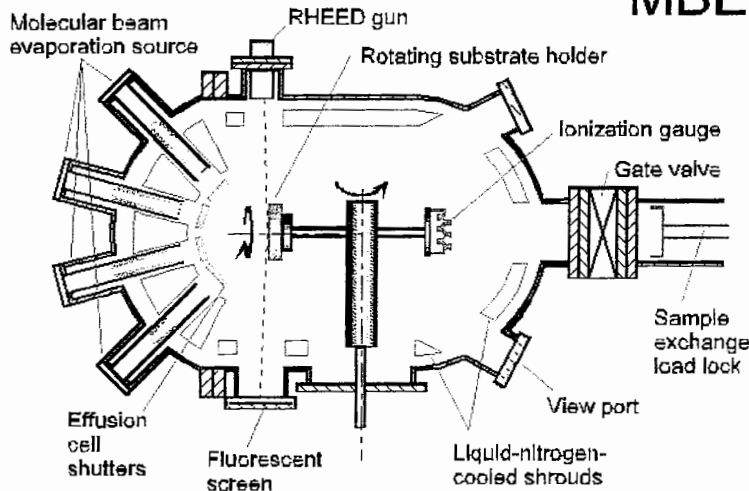
نیمه هادیهای گروه III-V روی زیرلایه های مختلفی از جمله SiC و ZnO و Si و Mg و Sapphire رشد داده شده اند . در اینجا ما فقط به دو مورد که به طور گستردگی استفاده می شوند، اشاره می کنیم. در جدول ۲-۲ میزان عدم انطباق ثابت شبکه GaN با چند زیر لایه متداول آورده شده است.

جدول ۲-۲: زیرلایه های متداول برای رشد تری نیترایدها همراه با مقدار درصد عدم انطباق آنها نسبت به GaN [۱]

کریستال	AlN	GaN	Sapphire	6HSiC	ZnO
درصد عدم انطباق شبکه نسبت به GaN	% -۲/۷	.	%۴۹(%۱۵)	%-۳/۱	%۴

پرکاربردترین و متداولترین زیرلایه مورد استفاده برای رشد تری نیترایدها است[۲۴،۲۵]. عمدۀ ترین ویژگی این ماده این است که کریستالهای بزرگ و با کیفیت بالا از این بلور با قیمت کم و به آسانی در دسترس می باشد. Sapphire یک بلور شفاف و پایدار در دماهای بالا است که تکنولوژی رشد آن کاملاً ، کامل شده است. جهت گیری کریستالی Sapphire و GaN (اگر روی Sapphire و در درجهت [۰۰۱] رشد یابد) یکسان می باشد اما سلول واحد GaN به اندازه  $30^{\circ}$  از محور c نسبت به سلول واحد Sapphire چرخیده است[۲۶،۲۷]. ناهمسانی شبکه بین تری نیترایدها

## MBE



شکل ۲-۸: نمایشی از سطح مقطع عرضی یک سیستم رشد بلور MBE

### ۲-۵-۲-الف- موانع و مشکلات در رشد MBE تری نیترایدها

توسعه و پیشرفت MBE به عنوان یک روش رشد برای تری نیترایدها کند بوده است و علت آن نیز این است که دمای رشد در روش MBE کم است و آمونیم منبع متداول نیتروژن، در دماهای پایین پایدار است. اخیراً مقالات زیادی در رابطه با روش های رشد MBE برای تری نیترایدها منتشر شده است. انگیزه اصلی این کار بهینه کردن سرعت رشد و دمای رشد) تعیین تأثیر منابع مختلف نیتروژن روی کیفیت و آهنگ رشد لایه های رونشستی (epilayer) و تعیین اثر نوع زیرلایه می باشد. [۱۰، ۲۵].

### ۳-۵-۲- روش رشد رسوب گذاری بخار شیمیایی (MOCVD)

هر چند لایه نشانی در فازهای مختلفی از جمله جامد، مایع و گاز قابل انجام است اما در حالت کلی کنترل فرایند رشد در فاز گازی با کنترل جریان گاز ساده تر است و یک روش مناسب برای رشد نیمه هادیهای ترکیبی، رشد به روش MOCVD می باشد. در این روش هیدراتهای گروه سوم جدول تنافوی با ترکیبات فلزات آلی به روی یک بلور پایه که در دمای حدود  $700^{\circ}\text{C}$  قرار دارد واکنش انجام می دهد. این روش در ساخت قطعاتی نظیر سلولهای خورشیدی و لیزرها نیز مورد استفاده قرار گرفته است. MOCVD در فشار  $1/10\text{~Pa}$  تا  $1/5\text{~Pa}$  اتمسفر انجام می شود. از این رو تغییر مخلوط گازها به سادگی

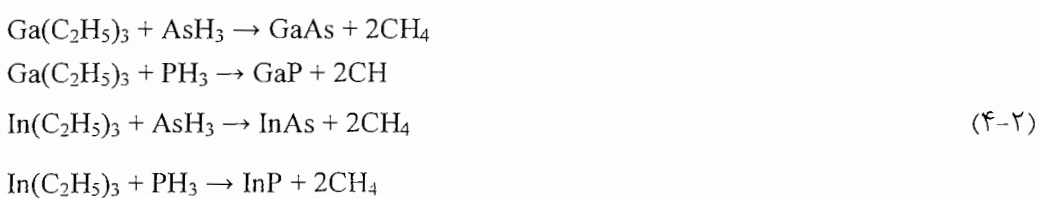
انجام یافته و رشد چند لایه نازک را به روی یکدیگر امکان پذیر می سازد. مزیت های این روش که در فشار پایین انجام می شود و به همین دلیل<sup>۱</sup> Lp-MOCVD نیز نامیده می شود، به صورت زیر است:

در این روش از ترکیبات مختلفی به عنوان مواد شروع کننده می توان استفاده کرد. همچنین برای رشد لایه های کوچکتر از میکرومتر با ترکیبات و ضخامت یکنواخت، مناسب می باشد. عموماً عمل رشد به وسیله مقادیر مشخصی از الکلیهای گروه سوم جدول مثل تری متیل گالیم<sub>۳</sub> Ga(CH<sub>۳</sub>)<sub>۳</sub> و تری متیل ایندیم<sub>۳</sub> In(C<sub>۲</sub>H<sub>۵</sub>)<sub>۳</sub> و هیدراتهای گروه پنجم مثل AsH<sub>۳</sub> و PH<sub>۳</sub> در داخل لوله واکنشی از جنس کوارتز انجام می شود. در داخل این لوله بلور پایه روی یک نگهدارنده کربنی قرار داده می شود.

گرمای نگهدارنده به وسیله RF تامین می گردد. فرآیند رشد به صورت زیر است:

(الف) مولکولهای گاز از داخل لایه مرزی راکد به سطح بلور پایه نفوذ می کنند. در سطح مجاور ویفر که دمای آن حدود ۷۰۰ درجه می باشد، آلکل ها و هیدراتها تجزیه شده و بنابراین تولید انواع مختلفی از عناصر گروه سوم و پنجم می کند که به آنها عناصر پایه ای گفته می شود. ب) این عناصر پایه ای در سطح داغ حرکت کرده تا در مکان مناسبی در بلور قرار گیرند و در این زمان رشد صورت می گیرد.

هریک از مراحل بالا می تواند میزان رشد را محدود کند پس میزان رشد به سادگی بوسیله مقدار ورود مواد قابل کنترل می باشد. در یک سیستم آلیاژی چهارتایی GaAsInP در ناحیه ای که گازها با هم مخلوط می شوند واکنشهایی به صورت زیر انجام می شود:



اگر جریان PH<sub>3</sub> را قطع و به جای تری اتیل ایندیم (In(C<sub>2</sub>H<sub>5</sub>)<sub>۳</sub>)، تری اتیل آلومینیم (Al(C<sub>2</sub>H<sub>5</sub>)<sub>۳</sub>) را وارد کنیم نیمه هادی AlGaAs که در الکترونیک نوری کاربرد وسیع دارد رشد داده خواهد شد. فن آوری رشد MOCVD به عنوان یک تکنولوژی مهم در تولید تک لایه ها، پیوندهای غیر همگن و ساختارهای چاه کوانتموی با کنترل عالی ضخامت لایه و آلایش مطرح گردیده است. در نهایت بایستی

<sup>۱</sup> Low pressure - Metal Organic Chemical Vapor Deposition

خاطرنشان کنیم که روش MBE برای رشد قطعات چاه کوانتموی با کیفیت بالا استفاده می شود. تنها اشکال این روش را می توان در کاربردهای صنعتی دانست زیرا روش بسیار گران قیمتی است و از طرفی سرعت رشد در این روش برای رشد صنعتی مناسب نیست. علاوه بر هزینه ساخت دستگاه، با توجه به صرف انرژی فوق العاده زیاد برای ایجاد خلا بسیار بالا، نمی توان از این سیستم برای تولید صنعتی استفاده کرد. بنابراین روش MBE یک روش کاملاً آزمایشگاهی محسوب می شود و معمولاً در مقیاس های بزرگ و صنعتی از روش اقتصادی تر MOCVD استفاده می گردد [۳۰، ۳۱].

## منابع

- [۱] H. Morkoc; *Nitride Semiconductors and Devices*; ed. By R. Hull; R. M. Osgood; Jr. H. Sakaki, and A. Zunger; Springer-Verlage, (1999).
- [۲] B. Gil; *Group III-Nitride Semiconductor Compounds, Physics and Applications*; oxford university press, (1998).
- [۳] J. Dalfors; *Photoluminescence Studies of the electronic Structures in some III-V Quantum Structures*; dissertation No.560, Linkoping University- IFM, (1999).
- [۴] J. Dalfors; *Photoluminescence Studies of the electronic Structures in some III-V Quantum Structures*; dissertation No.560, P. 8, Linkoping University- IFM, (1999).
- [۵] J. W. Orton and C. T. Foxon; *The electron mobility and compensation in n-type GaN*; *Semicond. Sci. technol.* **13**, 310 (1998).
- [۶] W. C. Johnson; J. P. Parsons; M. C. Crew; *J. Phys. Chem.* **36** , 2651 (1932).
- [۷] R. Juza; H. Hahn and Z. Anorg; *Allg. Chem.* **234**, 282 (1938), **244**, 133 (1940).
- [۸] H. Grimmeiss and Z. H- Koelmans; *Nature (London)* **14a**, 246 (1959).
- [۹] H. P. Maruska, and J. J. Tietje; *Appl. Phys. Lett.* **15**, 327 (1969).
- [۱۰] S.C.Jain; M. Willander; J.Narayan; R.Van Overstraeten; *J. Appl. Phys. Rev.* Vol.87, No 3, 965(2000).
- [۱۱] P. B. Perry; R. F. Rutz; *Appl. Phys. Lett.* **33** , 319 (1978).
- [۱۲] J. H. Harris; R.A. Youngman; *In Properties of Group III Nitrides*; ed. By J. H. Edgar, IEE EMIS Datarev, Series, No.**11** (Inspec, London 1994) p.203.
- [۱۳] W.M. Yim; E. J. Stofko; P.J. Zanzucchi; J.I. Pankove and S. Gilbert; *J. Appl. Phys.* **44**, 292 (1973).
- [۱۴] J. Postrnak; L. Souckova; *Phys. Status. Solidi* **9** , ( 1963).
- [۱۵] S. Adachi; *J. Appl. Phys.* **53**, 8775 (1982).
- [۱۶] H. Amano; T. Takeuchi; S. Sota; H. Sakai; I. Akasaki; ??? Book title???, ed. By F. A. Ponce; T. D. Moustakas; I. Akasaki and B. Monemar; *Mater. Res. Soc. Proc.* **449**, 1143 (1997).
- [۱۷] S. Yoshida; S. Misawa; S. Gonda; *J. Appl. Phys.* **53**, 6844 (1982).
- [۱۸] D. K. Wickenden; C. B. Bargeron; W. A. Bryden; J. Miragliova; T. J. Kistenmacher; *Appl. Phys. Lett.* **65**, 2024 (1994).
- [۱۹] Y. Koide; H. Itoh; M. R. H. Khan; K. Hiramatsu; N. Sawaki; I. Akasaki; *J. Appl. Phys.* **61**, 4540 (1987).
- [۲۰] Akasaki and H. Amano; *Inst. Phys. Conf. Ser.* **142**, 7 (1996).

- [၁၁] Lundstrom; *Theoretical and optical investigation of some III-V based quantum wells and modulation doped heterostructures*; dissertation No.489, Linkoping University-IFM, (1996).
- [၁၂] *Low-Dimensional Nitride Semiconductors*; Edited by B. Gil; First published 2002, Oxford Uni. Press.
- [၁၃] B. Monemar; *Phys. Rev. B* **10**, 676 (1974).
- [၁၄] *Group III Nitride Semiconductor Compounds*; edited by B.Gil (Clarendon, Oxford 1998).
- [၁၅] C. R. Abernathy; In *GaN and Related Materials*; edited by S. J. Pearton (Gordon and Breach, New York, 1997 , P. 11-51.
- [၁၆] S.D.Hersee; J.C.Ramer and K.J.Malloy; *MRS Bull.* July, Vol. **22**, 45 (1997).
- [၁၇] A.Ponce; *MRS Bull.* **22**, 51 (1997).
- [၁၈] . Singh; *Semiconductor Optoelectronics*;P. 25, Mc Grow-Hill. Inc. (1995).
- [၁၉] S. Nakamura and G. Fasol; *The Blue Laser Diode: GaN Based Light Emitters and Lasers* (Springer-Verlag, Berlin, 1997).
- [၂၀] C. T. Foxon; B. A. Joyce; *Growth of thin films and heterostructures of III-V compounds by molecular beam epitaxy*, in *Growth and Characterization of Semiconductors*; ed. By R. A. Stradling; P. C. Klipstein (Hilger, Bristol 1990) p. 35.
- [၂၁] J. H. Davies; *The Physics of Low-Dimensional Semiconductors, An Introduction*; Cambridge University Press (1998).

# فصل ۳:

## فرآیندهای بازترکیب در نیمه رساناهای نیتروژندار، تکنیک های تجربی و روش آزمایشگاهی

- مقدمه
- اسپکتروسکوپی فوتولومینسانس
- اصول روش فوتولومینسانس وابسته به زمان (TRPL)
- بازترکیب های نوری در تری نیتراید ها (III-N)
- اکسیتون ها در چاه های کوانتمی

### ۱-۳- مقدمه

خواص نوری نیمه رساناها در مقایسه با خواص الکتریکی و دیگر ویژگیهای آنها به نسبت خیلی کمتری مورد مطالعه قرار گرفته اند. یکی از دلایل اصلی این مطلب این است که خواص اپتیکی به اندازه خواص الکترونیکی به موارد کاربردی و ساخت وسایل نوری نیمه رسانا منتهی نشده است. البته بایستی لیزرهای نیمه رسانا را از این مورد مستثنی کنیم، زیرا که در حال حاضر، به طور انبوه تولید می شوند و موارد استفاده صنعتی و تجاری آنها در حال افزایش است. اگر بخواهیم فرآیند گسیل نور در یک نیمه هادی را بشناسیم، لازم است که خواص الکترونیکی حامل های بار و پاسخ نوری نیمه رسانا و نحوه بازترکیب حامل های بار را به طور کامل درک کنیم. در این فصل قصد داریم که به اختصار روش آزمایشگاهی به کاربرده شده برای بررسی اپتیکی نمونه های یمان و فرآیندهای بازترکیب مهم در نانوساختارهای نیمه رسانای گروه V-III را مورد بررسی قرار دهیم.

### ۲-۳- اسپکتروسکوپی فوتولومینسانس (PL)<sup>۱</sup>

نور گسیل شده از یک نیمه هادی اطلاعات ارزشمندی را در مورد ساختار الکترونی و دیگر خواص اپتیکی و الکترونیکی ماده فراهم می کند. اصولاً به هر بازترکیب تابشی که از یک تراز الکترونی برانگیخته صورت می گیرد، بجز بازتاب، تابش جسم سیاه و لیزر، لومینسانس گفته می شود[۱]. برای برانگیختگی اپتیکی یک ماده روش های متفاوتی وجود دارد: برانگیختگی با یک منبع نور(فوتولومینسانس)، برانگیختگی با باریکه الکترونی(کاتدولومینسانس) و برانگیختگی با گرما(ترمولومینسانس) وغیره. روش آزمایشگاهی که در این پایان نامه از آن استفاده شده است

<sup>۱</sup> Photoluminescence(PL) spectroscopy

اسپکتروسکوپی فوتولومینسانس (PL) بوده و در ادامه شرح مختصری از سیستم آزمایشگاهی مورد استفاده و اصول اولیه آن آمده است.

### ۳-۲-۱- معرفی تکنیک فوتولومینسانس :

همانطور که گفته شد اساس روش فوتولومینسانس، مطالعه طیف نور گسیل شده از نمونه ای است که توسط طول موج مناسبی تحریک می شود. فوتولومینسانس به چند دلیل یک تکنیک مشخصه یابی<sup>i</sup> پرکاربرد در فیزیک نیمه هادی هاست. این روش معمولاً غیر مخرب است و نمونه مورد بررسی در این تکنیک احتیاج به آماده سازی خاصی قبل از اندازه گیری ندارد؛ این روش بسیار حساس و ساده است و اطلاعات دقیقی از ساختار الکترونی نیمه هادی مورد بررسی بدست می دهد. سه تکنیک متفاوت اندازه گیری PL وجود دارد (الف) PL معمولی (ب) PLE جذبی<sup>ii</sup> (ج) فوتولومینسانس انتخابی<sup>iii</sup>. در PL معمولی مهمترین شرطی که باید فراهم شود این است که انرژی برانگیختگی بالاتر از انرژی گاف نواری ماده ای که مورد تحریک قرار گرفته است، انتخاب شود. اغلب لیزری با طول موج ثابت استفاده می شود و معمولاً در طیف ثبت شده فرآیندهای بازترکیب قویتر نمایان هستند و فرآیندهای ضعیفتر حذف می شوند. ولی در روش SPL و PLE انرژی برانگیختگی به نحوی انتخاب می شود که هر فرآیند مورد دلخواه ثبت شود و لذا از لیزری با طول موج متغیر استفاده می شود<sup>[۲]</sup>. ما در این پژوهه عمدۀ مطالعات خود را به روش اپتیکی فوتولومینسانس انجام داده ایم ولی برای تکمیل داده های خود و یا در مواردی تایید نتایج حاصله از تکنیکهای دیگر از جمله XRD<sup>v</sup>، TEM<sup>vi</sup> و TRPL<sup>vii</sup> کمک گرفته ایم. در یک آزمایش فوتولومینسانس نوعی یک منبع نور، معمولاً یک لیزر، برای تحریک نمونه بکار می رود. این برانگیختگی نوری، با فرستادن الکترون ها از نوار ظرفیت به نوار رسانش موجب تولید زوچهای الکترون و حفره می نماید. با فرض اینکه در نمونه بازترکیب تابشی رخ دهد، وقتی که این زوچ های الکترون - حفره با یکدیگر بازترکیب می کنند، انرژی اضافی به صورت گسیل فوتون هایی ظاهر می شود. انرژی فوتون های

<sup>i</sup> Characterization

<sup>ii</sup> PhotoLuminescence Excitation

<sup>iii</sup> Selective PhotoLuminescence

<sup>iv</sup> Transmission Electron Microscopy

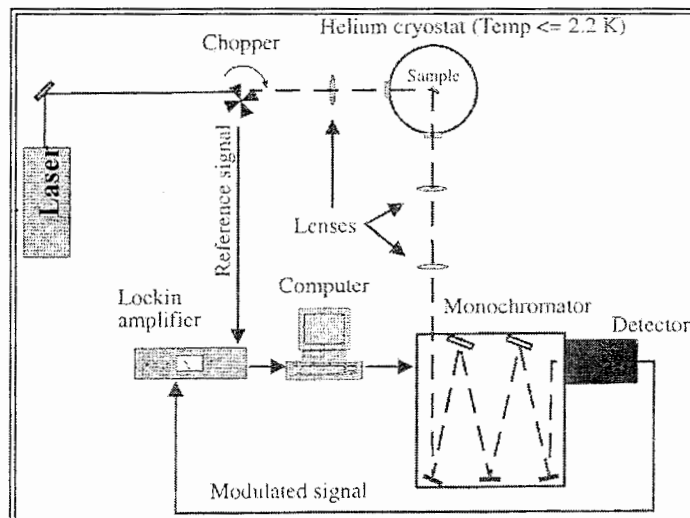
<sup>v</sup> Time Resolve Photoluminescence

ساطع شده معرف حالت های انرژی حامل ها، در نمونه می باشد و بنابراین اطلاعات مفیدی در مورد حالت های اکسیتونی، گاف نواری، مقدار و نوع نقایص و ناخالصی ها و انرژی محدودیت و اثر احتمالی میدان های خارجی  $\vec{E}, \vec{B}$  و ... را بدست می دهد. نور یا لومینسانس ساطع شده از نمونه جمع آوری شده و شدت بر حسب تابعی از انرژی فوتون گسیلی ثبت می شود تا تولید یک طیف PL کند، و بدین ترتیب با تحلیل طیف PL بدست امده به اطلاعاتی که در بالا اشاره شد دست پیدا می کنیم. طول موج لیزر در آزمایش PL معمولی همانطوری که اشاره شد پارامتر خیلی مهمی نیست و اغلب یک لیزر با طول موج گسیلی ثابت استفاده می شود و اینکه آیا انرژی فوتون برانگیزندگی باشیم بالاتر یا پایین تر از انرژی گاف نواری ماده مورد بررسی باشد بستگی به چند پارامتر دارد در چاه های کوانتموی، انرژی لیزر تحریک کننده بعضی اوقات بالاتر از انرژی گاف نواری ماده تشکیل دهنده سد انتخاب می شود و گاهی پایین تر از انرژی گاف نواری سد ولی بیشتر از انرژی گاف نواری چاه. فاکتورهایی که در این انتخاب دخیل هستند عبارتند از :

- در دسترس بودن منبع تحریک کننده نمونه یعنی لیزرهای لامپ ها.
- میزان بازدهی تولید حامل در طول موجی که فوتون تحریک کننده دارد.
- عمق نفوذ نور تحریک کننده که با ضریب جذب ماده رابطه مستقیم دارد. ما معمولاً می خواهیم لایه رونشینی شده (ناحیه فعال شامل QW ها) را تحریک کنیم و لومینسانس حاصل از آن را تحلیل کنیم و نه لومینسانس حاصل از زیر لایه را، لذا طول موج باشیم طوری انتخاب شود که عمق نفوذ در نظر گرفته شود.
- مکان تولید حامل ها در نمونه. در بعضی از موارد ما فقط می خواهیم که در درون چاه حامل ها را تولید کنیم لذا انرژی فوتون تحریک کننده را پایین تر از انرژی گاف نواری سد و بالاتر از انرژی گاف نواری ماده ای که چاه از آن ساخته شده است، انتخاب می کنیم. در مورد خاص آزمایشات فوتولومینسانس روی چاه های کوانتموی بررسی شده در این پایان نامه انرژی فوتون تحریک کننده بالاتر از انرژی گاف نواری چاه و پایینتر از انرژی گاف نواری سد انتخاب شده است.

بازترکیب جفت های الکترون- حفره به طرق مختلف می تواند رخداد و هر کدام از این بازترکیب ها قله مخصوص به خود (که بعضی از آنها ضعیف و بعضی شدید هستند) در طیف فوتولومینسانس دارند.

در مورد نمونه های خودمان که پنج چاه کوانتمی متناوب (MQWs) از  $GaN/Al_xGa_{1-x}N$  می باشد، در محدوده دماهای پایین، غالباً پیک ناشی از اکسیتون های جایگزینه می باشد و اصولاً تشخیص پیک های ضعیفتر در روش PL مشکل است چون پیک ناشی از آنها در زیر پیک های قویتر گم می شوند؛ اما در روش فوتولومینسانس جذبی (PLE) چون سیستم را برای آشکارسازی یک طول موج خاص تنظیم می کنیم و یک لیزر با گستره ای از طول موجهای تابشی را به نمونه می تابانیم لذا هر فرآیندی، حتی بازترکیب های ضعیف را می توان آشکارسازی کرد. در شکل ۱-۳ طرح شماتیک یک سیستم فوتولومینسانس نشان داده شده است.



شکل ۱-۳: طرح شماتیکی از آزمایش فوتولومینسانس معمولی [۳]

این سیستم ۴ قسمت اصلی دارد:

- یک منبع نور تحریک کننده
- کرایستات<sup>i</sup>
- تکفام ساز<sup>ii</sup>
- آشکارساز

در ضمن یک سیستم تحلیل گر مثل کامپیوتر نیز وجود دارد که اطلاعات در آن ذخیره می شود و همچنین تک رنگ کننده و طول موج لیزر برای برانگیختگی کنترل می شود. همانطور که اشاره شد،

<sup>i</sup> Cryostat

<sup>ii</sup> monochromator

منبع تحریک کننده معمولاً یک لیزر است که یک منبع پایدار، تکفام و با شدت بالا می باشد. لیزرهای مختلفی چون لیزر هلیم – کادمیم(HeCd)، Nd-Vanadate، هلیم نئون(HeNe)، لیزر آرگون(Ar) و Ti-Sapphire معمولاً برای این منظور بکار گرفته می شوند. کرایستات حاوی هلیم مایع و برای سرد کردن نمونه تا دماهای پایین بکار می رود و دارای دمای قابل تنظیم می باشد. آزمایش روی نمونه ها در دماهای پایین پیک های فوتولومینیسانس تیزتر و بهتری را به وجود می آورد و بازدهی بیشتر فوتولومینیسانس را موجب می شود و به این دلیل داشتن محفظه ای که دمای پایین را در آزمایش های فوتولومینیسانس ایجاد کند برای ما از اهمیت بالایی برخوردار می باشد. فوتولومینیسانس حاصل از نمونه در دماهای بالا به خاطر برهم کنش قوی بین الکترون ها و نوسانات شبکه(فونونهای گرمایی) در نیمه هادیها پهن و گسترده می باشد و اطلاعات مفیدی از آن نمی توان استخراج کرد. در دماهای بالا بازترکیب های غیرتابشی موثرتر و بیشتر هستند و بنابراین شدت لومینیسانس را کاهش می دهند. در قسمت بعد در مورد کرایستات و نحوه عملکرد آن توضیح می دهیم. تکفام ساز طول موج مورد نظر را انتخاب می کند یعنی طول موج لومینیسانسی که به آشکارساز در خروجی تکفام ساز خواهد رسید. طیف PL با جاروب طول موج آشکارسازی و تبدیل سیگنال لومینیسانس به سیگنال الکتریکی توسط آشکارساز حاصل می گردد.

در مورد نمونه های مورد بررسی در این پایان نامه برای تحریک از هارمونیک چهارم لیزر پیوسته Nd: Vanadate با طول موج ۲۶۶ nm و هارمونیک سوم لیزر Ti- Sapphire استفاده شده است. نور لیزر توسط مجموعه ای از عدسی ها بر روی نمونه مت مرکز می گردد. نمونه در کرایستات با دمای قابل تنظیم در محدوده ۲K تا ۳۰۰ K قرار می گیرد. سیگنال فوتولومینیسانس توسط یک تکفام ساز پراشیده شده و سیگنال های منتخب در شکاف خروجی تکفام ساز توسط یک آشکارساز UV (دوربین CCD<sup>۱</sup>) در آزمایشگاهی (PL) که با استفاده از نیتروژن مایع خنک می گردد تا سیگنال های نویز به حداقل برسد، و توسط سینکرو اسکن هاماما تسو(در آزمایشگاهی TRPL) آشکارسازی می شود.[۳،۴]

<sup>۱</sup> Charge Coupled Device

### ۱-۲-۳-الف-آشکارساز CCD

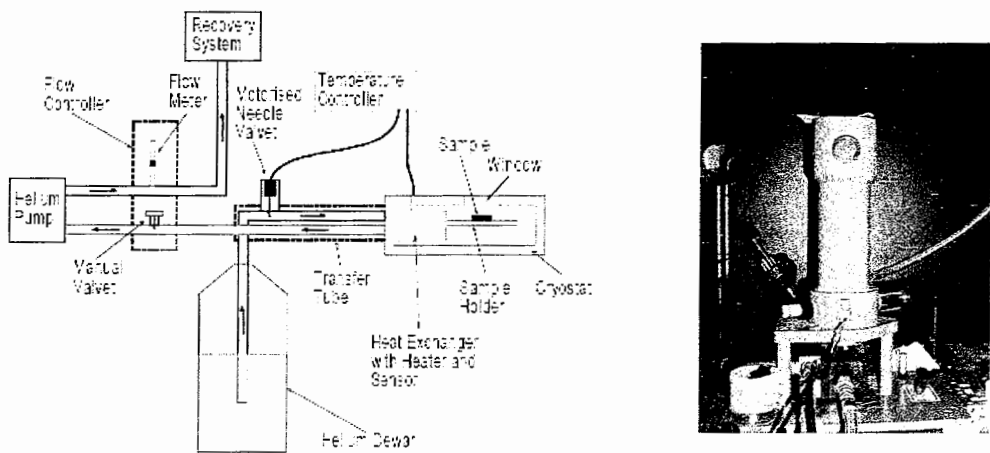
آشکارسازی که در این پروژه در آزمایشات PL استفاده شده است، یک دوربین CCD می باشد که با نیتروژن مایع خنک می شود. این آشکارساز از یک ماتریس دو بعدی  $800 \times 2000$  پیکسل ساخته شده است که هر پیکسل یک دیود نوری سیلیکون است. هر پیکسل مربعی به ضلع  $15 \mu\text{m}$  می باشد و کل مساحت سطح حساس  $360\text{mm}^2$  می باشد. فوتون ها بنا بر اثر فتوالکتریک، بارهای مقیدی را که توسط نزدیکترین پیکسل به دام افتاده اند را آزاد می کنند و بارهای پیکسل های مجاور توسط الکترودهای گیت در جلوی آشکارساز از یکدیگر جدا می شوند. یک شاتر در جلوی تکفام ساز زمان نوردهی آشکارساز را تعیین می کند. بعد از نوردهی، بارها به داخل یک بازخوان<sup>۱</sup> شیفت پیدا می کنند. سیگنال ضعیف حاصل از بازخوان تقویت و دیجیتالی می شود و در حافظه کامپیوتر ذخیره می شود. تبدیل سیگنال آنالوگ به دیجیتالی با دقت ۱۶ بیت انجام می شود. و بنابراین ماکریم تعداد شمارش ثبت شده  $1^{16}$  (یعنی  $65535$ ) خواهد بود. همانطور که ذکر شد این نوع آشکارسازها از کم نویزترین آشکارسازها می باشند [۴,۵].

### ۱-۲-۳-ب-کرايستات

همان طوری که پیشتر اشاره شد کرايستات محفظه ای است که نمونه برای اندازه گیری در دماهای پایین در آن قرار می گیرد و برای پایین آوردن دمای نمونه بکار می رود. برخی از کرايستات ها با نیتروژن مایع و برخی با هلیم مایع (کمتر از  $2\text{K}$ ) سرد می شوند و برخی نیز بصورت سیستم بسته کار می کنند. در اینجا طرز کار یک نمونه از کرايستات با جریان گاز هلیم که در سیستم اندازه گیری فوتولومینسانس بکار گرفته شده است را به به اختصار توضیح می دهیم. این کرايستات دارای پنجره ای است که نمونه را می توان توسط یک سری اهرم ها به نزدیکی این پنجره آورد و از نمونه در هر دمای دلخواهی عکسبرداری کرد. کرايستات روی قطعه ای که در جهت محورهای  $x, y, z$  با دقت در حدود میکرومتر قابلیت حرکت دارد، قرار دارد و بدین ترتیب نمونه را با دقت زیادی می توان در مقابل میکروسکوپ تنظیم کرد. در اتفاق نمونه خلاء ایجاد شده و نمونه توسط نگهدارنده نمونه که به یک تعییر دهنده دما متصل است، خنک می شود. از یک پمپ پخشی یا توربو مولکولار استفاده می شود تا

<sup>۱</sup> Read out register

فشار درون محفظه به حدود  $10^{-4}$  -  $10^{-5}$  mbar برسد. هلیم مایع توسط یک لوله ایزوله خلاء شده از محفظه بیرونی به داخل تغییر دهنده دما پمپ می شود. یک گرم کننده<sup>۱</sup> الکتریکی روی میزان کننده دما نصب شده است و همراه آن یک مقاومت آهنی rhodium قرار دارد که به عنوان یک سنسور دما عمل می کند. در ضمن یک تنظیم کننده دما به شیر، گرم کننده و سنسور متصل می باشد که به طور اتوماتیک شار هلیم و گرمادهی را در هر دمایی کنترل می کند[۴].



شکل ۲-۳: شکل شماتیک یک گریستات و سیستم خنک کننده که در آزمایش‌های PL استفاده شده است. در سمت راست یک نمونه واقعی از آن که با هلیم مایع کار می کند نشان داده شده است[۴].

### ۳-۳- اصول روش فوتولومینسانس وابسته به زمان (TRPL)<sup>ii</sup>

مطالعه دینامیکی فرآیندهای بازترکیبی توسط تکنیک فوتولومینسانس وابسته به زمان، اطلاعات بسیار مفیدی راجع به نوع بازترکیبات و طول عمر آنها به ما می دهد که کمک موثری در درک فیزیک این فرآیندهاست. استخراج اطلاعات موردنیاز از اندازه گیری های متعددی که در شرایط متفاوت برروی نمونه ها به انجام رسیده است، امکان مطالعه پارامترهای مختلف از جمله اثر دما، آلایش و میدان های پلاریزاسیون را امکان پذیر می سازد. روش های مطالعه زمانی بازترکیب های نوری دارای تنوع زیادی است. در بخشی از این پایان نامه به مطالعه دینامیک بازترکیب های نوری در ساختارهای

<sup>i</sup> Heater

<sup>ii</sup> Time resolved photoluminescence

ناهمگون  $\text{GaN}/\text{AlGaN}$  می پردازیم. دو پیکربندی متمایز برای انجام این آزمایش وجود دارد. پیکربندی مطالعه زمانی فوتولومینسانس بوسیله سیستم *Streak camera* نسبت به روش *Time correlated photon counting* دارای دقت و سرعت بیشتری می باشد[۲].

### ۱-۳-۳- سیستم *Streak camera*

یک آشکارساز نوری فوق العاده پرسرعت است که قابلیت آشکارسازی پدیده هایی با فاصله زمانی در حدود پیکوثانیه را دارد. پرتو تابشی توسط یک عدسی روی روزنہ ورودی مرکز می شود، که در پشت این روزنہ فتوکاتد *Streak camera* قرار دارد. فتو کاتد به منظور تبدیل فوتون های ورودی به الکترون بکار می رود. در مرحله بعدی الکترون ها توسط یک میدان الکترواستاتیک شتاب می گیرند. در نهایت این الکترون های شتابدار بوسیله یک میدان اعمالی منحرف می شوند. میدان منحرف کننده عمود بر جهت روزنہ اولیه اعمال می گردد. جدایی محل برخورد الکترون ها با صفحه فسفر نشان دهنده جدایی فوتون هاست و شدت نور ورودی نیز با شدت موضعی ثبت شده در تصویر حاصل از برخورد الکترون ها با صفحه فسفر متناسب است. با ترکیب آشکارسازهای مشابه *Streak camera* با تکفام ساز می توان به اطلاعات جالبی در هر طول موج دست یافت.. آشکار سازی زمانی طیف بوسیله این پیکربندی دارای سرعت، دقت و کیفیت بالایی است. وضوح زمانی آن نیز کمتر از  $600$  پیکوثانیه است. از معایب این آشکار ساز، نیاز به سیگنال قوی فوتولومینسانس را می توان نام برد[۳].

### ۴-۳- بازترکیب های نوری در تری نیتراید ها (III-N)

در این بخش به طور خلاصه فرایندهای بازترکیب تابشی را که در نیمه هادی های با گاف نواری مستقیم روی می دهند را معرفی می کنیم و از آنها در فصول بعدی استفاده می کنیم. فرایندهای بازترکیب در مواد با گاف نواری غیر مستقیم در این فصل بحث نشده است؛ چون تمامی نمونه هایی که در این پایان نامه بررسی شده اند دارای گاف نواری مستقیم هستند. همانطور که می دانیم بازترکیب حامل ها در ماده به دو صورت مختلف شکل می گیرد: (الف) بازترکیب تابشی (ب) بازترکیب

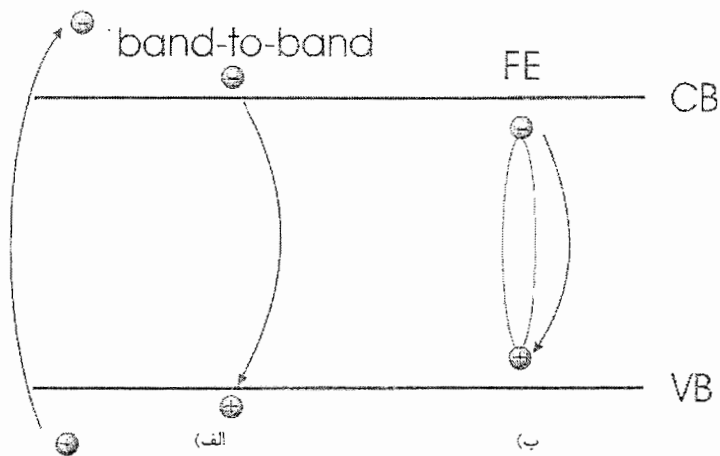
غیرتابشی چون در آزمایش های PL با فرایند بازترکیب غیرتابشی خیلی کم سر و کار داریم لذا این دسته به طور خلاصه بحث شده است. برای اینکه فرایندهای بازترکیب تابشی را در جمعیت غیر تعادلی الکترون های یک نیمه هادی مشاهده کنیم، لازم است که ابتدا یک سری از منابع برانگیختگی در اختیار داشته باشیم. همانطوری که قبلاً گفته شد می توان با تابش فوتون ها یا الکترون ها یا تزریق حامل ها در محل یک پیوند، الکترون ها را در یک نیمه هادی برانگیخته کرد. گسیل تابشی بدست آمده به ترتیب فوتولومینسانس، کاتدولومینسانس و الکترولومینسانس نامیده می شود. وقتی که با تحریک یک الکترون از نوار ظرفیت به نوار هدایت فرستاده می شود جای خالی الکترون به وجود آمده حفره نامیده می شود و اثر جمعی الکترون های باقیمانده در نوار ظرفیت بر روی این حفره به صورت یک بار مثبت( $e^+$ ) و جرم موثر مثبت نمایان می شود<sup>[۶]</sup>; بدین ترتیب برانگیختگی با انرژی بالاتر از انرژی گاف نواری در نیمه هادی تولید یک جفت الکترون و حفره می کند. فرایندهای بازترکیب تابشی که در یک نیمه هادی اتفاق می افتد با توجه به این نکته که آیا ناخالصی در بلور وجود دارد یا نه به دو دسته فرایندهای ذاتی<sup>i</sup> و غیر ذاتی<sup>ii</sup> دسته بندی می شوند. فرایندهای بازترکیب تابشی که در یک نیمه هادی کامل اتفاق می افتد به فرآیندهای ذاتی موسوم هستند و به فرایندهایی که به علت حضور ناخالصی ها در بلور اتفاق می افتد، فرایندهای غیرذاتی گفته می شود. در شکل ۳-۳ طرح شماتیک دو گذار تابشی ذاتی، یعنی بازترکیب نوار به نوار<sup>iii</sup> و بازترکیب اکسیتون آزاد<sup>iv</sup> (FE) نشان داده شده است. همچنین چند نمونه از فرایندهای بازترکیب تابشی غیر ذاتی در شکل ۴-۳ نشان داده شده است. فرایند بازترکیب نوار به نوار در دماهای پایین در ساختار هایی که از GaN ساخته شده اند معمولاً کمتر دیده می شود و بازترکیب های مربوط به اکسیتون ها در این دماها نقش غالبتری دارند<sup>[۵]</sup>.

<sup>i</sup> Intrinsic

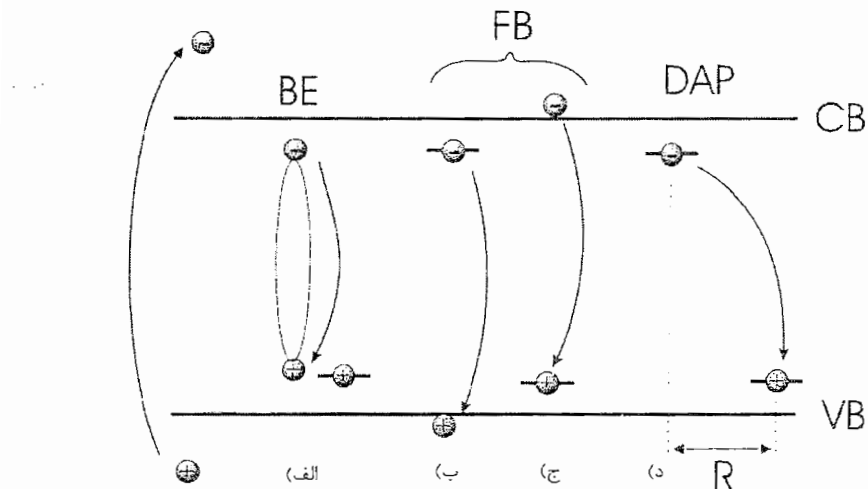
<sup>ii</sup> Extrinsic

<sup>iii</sup> Band to band recombination

<sup>iv</sup> Free exciton recombination



شکل ۳-۳: طرح شماتیک دو گذار تابشی ذاتی (الف) بازترکیب نوار به نوار و (ب) بازترکیب اکسیتون آزاد در یک چاه کوانتوسی [۲] GaN/AlGaN

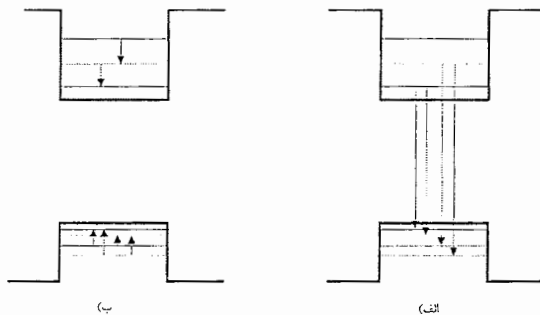


شکل ۴-۳: طرح شماتیک چند نمونه از فرآیندهای بازترکیب تابشی غیرذاتی در چاه های کوانتوسی GaN/AlGaN (الف) اکسیتون مقید شده (در اینجا اکسیتون مقید شده به پذیرنده ها) (ب) و (ج) بازترکیب حامل آزاد - حامل مقید (د) بازترکیب جفت دهنده و پذیرنده [۳]

#### ۳-۴-۱- بازترکیب نوار به نوار

بازترکیبی که بین یک الکترون در نوار هدایت (C.B.) و یک حفره در نوار ظرفیت (V.B.) اتفاق می افتد بازترکیب نوار به نوار نامیده می شود (شکل ۳-۳ را ملاحظه کنید). بایستی توجه کنیم که بین گذارهایی که بین دو نوار ظرفیت و هدایت در یک  $QW$  اتفاق می افتد با گذارهایی که بین زیر ترازهای یک نوار (هدایت یا ظرفیت) به تنهایی اتفاق می افتد، تمایز قائل شویم. شکل ۳-۵ این تمایز را نشان می دهد. در تقریب چاه نامتناهی گذارهایی که بین نوارها اتفاق می افتد از قانون

انتخاب  $[\Delta n = 0, \pm 1]$ ، پیروی می کنند. همین گذارهای مختلف باعث به وجود آمدن قطبش های مختلفی در فوتون ساطع شده می شوند [۸].



شکل ۵-۳: الف) گذارهایی که بین دو نوار ظرفیت و هدایت و ب) گذارهایی که بین زیرترازهای یک نوار(هدایت یا ظرفیت) در یک  $QW$  اتفاق می افتد [۳].

#### ۴-۲-۳- باز ترکیب اکسیتون آزاد

الکترون و حفره ای که توسط برانگیختگی (تحریک) تولید شده اند به علت جاذبه کولنی بینشان می توانند یک حالت مقید ایجاد کنند. این حالت مقید به عنوان یک ماهیت جدید یا شبه ذره می تواند در نظر گرفته شود و به آن اکسیتون آزاد گفته می شود. اکسیتونها مشابه اتمهای پوزیترونیم هستند که در آنها یک الکترون توسط برهمکنش کولنی به یک پوزیترون پیوند خورده است. در اکسیتونها الکترون به حفره پیوند خورده و شبه ذره حاصل از لحاظ الکتریکی خنثی است. معمولاً اکسیتونها را در دو حالت حدی گوناگون مورد بحث قرار می دهند: الف) تقریب فرنکل<sup>۱</sup> که در آن اکسیتون کوچک و قویاً مقید است ب) تقریب مات و وانیر<sup>۲</sup> که در آن اکسیتون به طور ضعیف مقید و فاصله الکترون و حفره در مقایسه با ثابت شبکه بزرگ است و تابع موج الکترون و حفره بر روی نقاط شبکه زیادی پخش شده است [۶]. در اکسیتون قویاً مقید برانگیختگی به طور موضعی بر روی یک اتم یا نزدیک آن قرار دارد و معمولاً حفره بر روی همان اتمی است که الکترون قرار دارد ولی زوج الکترون- حفره در هر جایی در بلور قرار می گیرند. در جامدات با بستگی بین اتمی ضعیف، مواد یونی مثل هالیدهای قلیایی، اکسیتون ها از نوع اکسیتون فرنکل هستند در حالیکه در مواد با بستگی بین اتمی قویتر مانند نیمه هادی ها، اکسیتون ها از نوع وانیر هستند [۹، ۱۰، ۱۱]. در شکل ۶-۳ شکل

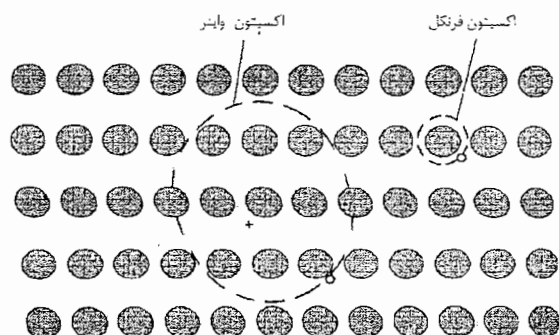
<sup>۱</sup> Frenkel  
<sup>۲</sup> Wannier

شماتیک یک اکسیتون فرنکل و یک اکسیتون وانیر نشان داده شده است. چون موادی که در این تز بررسی شده اند چاه های کوانتموی نیمه هادی هستند لذا بحث خود را در ادامه به اکسیتون های مات و وانیر محدود می کنیم. این اکسیتون ها دارای تحرک پذیری زیاد و انرژی بستگی کم هستند این اکسیتون ها چون به راحتی در شبکه حرکت می کنند به آن اکسیتون آزاد گفته می شود. در طیف فوتولومینسانس حاصل از مواد مورد بررسی پیک مربوط بازترکیب اکسیتون آزاد به اندازه انرژی بستگی اکسیتون،  $E_n$ ، نسبت به انرژی گاف نواری پایینتر است. در ساده ترین تقریب و با فرض اینکه اکسیتون را یک مساله دو جسمی فرض کنیم، یعنی یک الکترون با بار منفی و یک حفره با بار مثبت، به مدلی شبیه به مدل اتم هیدروژن دست خواهیم یافت. با بکار بردن تقریب جرم موثر<sup>۱</sup> (EMA)، برای این مدل هیدروژن گونه انرژی حالت های مقید مجزا از هم توسط رابطه زیر داده می شود[۳]

$$E_n = \frac{\mu^*}{m_0} \frac{1}{\epsilon_r^2} \frac{1}{n^2} R_H \quad n = 1, 2, 3, \dots \quad (1-3)$$

$$\frac{1}{\mu^*} = \frac{1}{m_e^*} + \frac{1}{m_h^*} \quad (2-3)$$

که  $R_H$  ثابت ریدبرگ (1۳/۶ eV) و  $m^*$  جرم موثر کاهش یافته اکسیتون و  $\epsilon_r$  ثابت دی الکتریک استاتیکی نسبی ماده است. در یک  $QW$  مقدار  $E_n$  با مقداری که از رابطه فوق بدست می آید کمی متفاوت خواهد بود. در یک  $QW$  بخاطر وجود اثر محدودیت، انرژی بستگی اکسیتون افزایش می یابد و این یعنی اینکه الکترون و حفره به یکدیگر نزدیکتر می شوند و در نتیجه برهمکنش کولنی بین آنها افزایش می یابد.



شکل ۶-۳ شکل شماتیک یک اکسیتون فرنکل و یک اکسیتون موت - وانیر

<sup>۱</sup> Effective mass approximation

آقای ماتیو<sup>i</sup> و همکارانش یک روش تحلیلی نسبتاً ساده را برای محاسبه انرژی بستگی اکسیتون‌ها در داخل چاه کوانتمی بکار برdenد [۱۲] و به مقدار زیر دست پیدا کردند.

$$E_n = \frac{\mu^*}{m_0} \frac{1}{\varepsilon_r^2} \frac{1}{(n + \frac{\alpha - 3}{2})^2} R_H \quad n = 1, 2, 3, \dots \quad (3-3)$$

که در رابطه فوق  $\alpha$  بعد فضا، درجه ناهمسانگردی<sup>ii</sup> به وجود آمده در چاه کوانتمی را بیان می‌کند. در یک چاه کوانتمی نوعی  $\alpha$  بین ۲-۳ متغیر است و عدد ۲ مربوط به حالت دوبعدی کامل است. با توجه به رابطه‌های بالا انرژی بستگی اکسیتون در  $QW$  حدود چهار برابر بزرگتر از انرژی بستگی اکسیتون در نیمه رسانای کپه‌ای از همان جنس می‌باشد. به عنوان مثال انرژی بستگی اکسیتون در نیمه‌هادی  $In_{0.53}Ga_{0.47}As$  در حدود  $3 \text{ meV}$  است [۱۳] در حالیکه انرژی بستگی اکسیتون برای فیلم‌های کوانتمی با پهنای  $A$  از جنس  $In_{0.53}Ga_{0.47}As/InP$  در حدود  $10 \text{ meV}$  می‌باشد و برای سیمه‌های کوانتمی با ابعاد  $50 \times 50 \text{ } \mu\text{m}^2$  این مقدار به  $18 \text{ meV}$  می‌رسد [۱۴]. البته همانطوری که قبل اشاره شد بازترکیب اکسیتونی در دماهای پایین و در چگالی حامل‌های پایین نسبت به بازترکیب نوار به نوار غالبتر است و بازترکیب نوار به نوار در دماهای بالا و چگالی حامل‌های بالا که توسط توان برانگیختگی نوری بالا و آلایش ایجاد می‌شود، غالب می‌گردد.

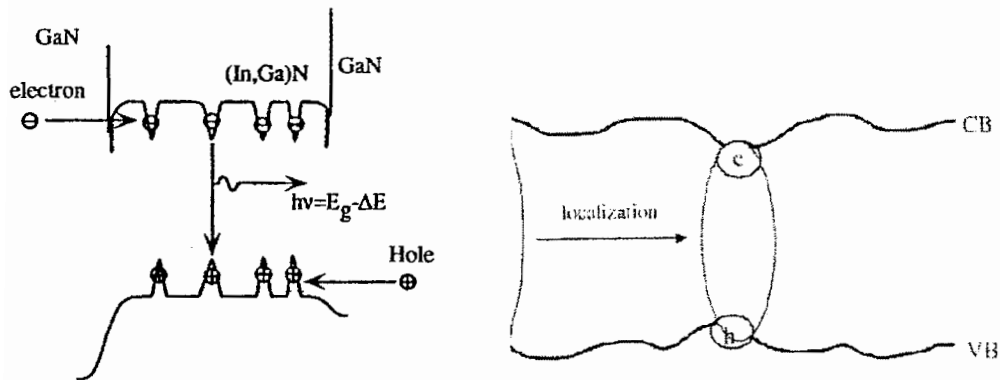
### ۳-۴-۳- اکسیتون‌های جایگزیده<sup>iii</sup>

اکسیتون‌ها می‌توانند در حالت‌های جایگزیده‌ای که معمولاً به علت افت و خیزهای پتانسیل موجود در سطح مشترک ساختارهای ناهمگون در فضای حقیقی وجود دارند، به دام بیافتدند و جایگزیده شوند وسیله بازترکیب تابشی کنند و به این دلیل این بازترکیب‌ها، بازترکیب اکسیتون جایگزیده نامیده می‌شود [۱۵]. ساختارهای ناهمگون گروه تری نیترایدها حتی اگر با کیفیت خیلی بالا تولید شوند دارای اغتشاشات پتانسیل می‌باشند. منشأ این اغتشاشات پتانسیل ناخالصی‌ها و افت و خیزهای سطح نمونه و دررفتگی‌ها می‌باشد. در شکل ۷-۳ جایگزیدگی اکسیتون‌ها به طور شماتیک نشان داده شده است.

<sup>i</sup> H. Mathieu

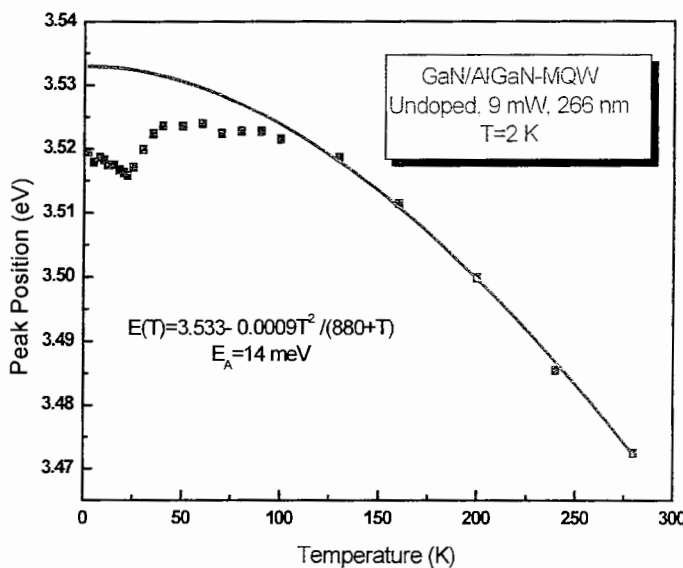
<sup>ii</sup> Anisotropy

<sup>iii</sup> Localized exciton



شکل ۳-۷: طرحواره ای از جایگزیدگی اکسیتون ها در افت و خیزهای پتانسیل ناشی از ناهموای سطح [۵، ۱۶]

همانطور که می دانیم، شعاع بوهر اکسیتون در تری نیترایدها از نیمه هادی های دیگر خیلی کمتر است (شعاع بوهر اکسیتون در  $GaN$ ,  $28\text{ meV}$  است در حالیکه به طور مثال در  $GaAs$ ,  $130\text{ meV}$  است) و همین موضوع باعث می شود که این اکسیتون های کوچک در داخل افت و خیزهای پتانسیل به تله بیفتند و جایگزیده شوند. برای اینکه انرژی جایگزیدگی اکسیتون های جایگزیده محاسبه شوند، معمولاً وابستگی دمایی فوتولومینینسانس حاصل از این نمونه ها مورد بررسی قرار می گیرند. در شکل ۳-۸ وابستگی دمایی پیک PL حاصل از یک چاه کوانتمی چندگانه  $GaN/AlGaN$  بدون آلایش نشان داده شده است و انرژی بستگی برای نمونه بدون آلایش حدود  $14\text{ meV}$  بدست آمده است. وقتیکه دما افزایش پیدا می کند، همانطوری که گاف نواری با افزایش دما کاهش می یابد پیک PL حاصل از نمونه ها نیز شیفتی به سمت انرژی های کم خواهد داشت. در فصل ۶ این موضوع به طور کامل بحث خواهد شد.



شکل ۳-۸: نمودار واپستگی دمایی طیف PL حاصل از چاه کوانتمی چندگانه GaN/AlGaN بدون آلایش در دمای ۲K

#### <sup>۱</sup> بازترکیب حامل آزاد - حامل مقید

در محدوده دماهای پایین چون انرژی گرمایی لازم برای یونیزه کردن حامل‌ها در دسترس نیست، حامل‌ها در مراکز ناخالصی منجمد<sup>ii</sup> می‌شوند. در آزمایش PL الکترون‌های آزادی که در نوار هدایت وجود دارند می‌توانند با حفره‌های منجمد شده در محل پذیرنده‌ها بازترکیب تابشی انجام دهند ولذا انرژی فوتون ساطع شده در اثر این بازترکیب، اختلاف بین انرژی نوار رسانش و انرژی تراز پذیرنده‌ها می‌باشد (یعنی تفاضل بین انرژی گاف نواری و انرژی بستگی پذیرنده‌ها ( $E_g - E_A$ )). به طور کلی یک الکترون (حفره) مقید به دهنده (پذیرنده) می‌تواند با یک حفره (الکترون) در نوار ظرفیت (هدایت) بازترکیب کند و به چنین بازترکیبی، بازترکیب حامل آزاد - حامل مقید گفته می‌شود (به شکل ۳-۴ توجه کنید). اگر چگالی پذیرنده‌ها (دهنده‌ها) را افزایش دهیم، پذیرنده‌ها (دهنده‌ها) به یکدیگر خیلی نزدیکتر شده و تابع موج آنها همپوشانی می‌کنند و تشکیل نواری بنام نوار ناخالصی می‌دهند. اگر چگالی ناخالصی را خیلی افزایش دهیم در این صورت نوار ناخالصی پهتر شده به طوریکه با نزدیکترین نوار (نوار هدایت در مورد دهنده‌ها و نوار ظرفیت در مورد پذیرنده‌ها) همپوشانی کرده و در نتیجه حامل‌ها آزاد خواهند شد. این اثر بنام گذار مات<sup>iii</sup> معروف می‌باشد.

<sup>i</sup> Free-to-bound(FB) recombination

<sup>ii</sup> Freeze

<sup>iii</sup> Mott transition

### <sup>۱</sup> ۴-۵- بازترکیب های غیر تابشی

الکترون های تحریک شده ممکن است که بازترکیب غیرنوری نیز انجام دهنند. که در آن صورت انرژی اضافی به طرق دیگری غیر از گسیل فوتون(نور) آزاد خواهد شد. برای مثال حاصل بازترکیب، یک یا چند فونون خواهد بود و با انرژی اضافی به یک الکترون داده خواهد شد(که البته این فرآیند، فرآیند اوژه<sup>ii</sup> نامیده می شود). نهایتا همه گذارهای غیرتابشی به صورت تولید گرما در نمونه خود را نشان می دهند.

### ۳-۵- اکسیتون ها در چاه های کوانتومی

تعداد اکسیتون های آزاد(FE) در چاه های کوانتومی نیمه رسانا در مقایسه با نیمه رسانای کپه ای از همان جنس بیشتر می باشد و بنابراین در طیف اپتیکی مشاهده شده نقش غالب را دارند. این موضوع ناشی از افزایش انرژی بستگی اکسیتون بخاطر اثر محدودیت می باشد که این امکان را فراهم می کند تا بازترکیب اکسیتون های آزاد را حتی در دمای اتاق مشاهده کنیم[۱۷]. این اثر به افزایش همپوشانی توابع موج الکترون و حفره (و بنابراین برهم کنش کولنی بیشتر) در اثر عامل محدودیت مرتبط می شود. در حالتی که با سیستمی دو بعدی مواجه هستیم انرژی بستگی اکسیتون با فاکتور<sup>۴</sup> افزایش می یابد. قدرت یک فرآیند بازترکیب توسط پارامتری به نام قدرت نوسانگر<sup>iii</sup> محاسبه می شود که روشی برای بیان کردن احتمال آن بازترکیب می باشد. چون تابع موج FE از حالت های بلوخ الکترون و حفره ساخته شده است، احتمال پیدا کردن یک الکترون در هر نقطه شبکه خاص متناسب با حجم سلول واحد(در سه بعد<sup>۳</sup>) می باشد. احتمال برای حفره کوپل شده در سلول واحد مشابه، متناسب با معکوس حجم اکسیتون یعنی  $\frac{a}{a_{exc}^{-3}}$  می باشد؛ و این دو با همدیگر به نسبت  $(\frac{a}{a_{exc}})^3$  برای احتمال تشکیل اکسیتون می شود[۱۸] برای GaAs کپه ای با طول ثابت شبکه  $A = 5/\epsilon$  و شاعع بوهر اکسیتونی  $A = 140^\circ$ ،  $r_B = 10^{-4}$  قدرت نوسانگر حدود  $f = 1 \times 10^{-4}$  خواهد شد. بحث مشابه بحث بالا که برای حالت دو بعدی انجام شد، منجر به نسبت مرتعی  $(\frac{a}{a_{exc}})^2$  برای تشکیل اکسیتون در دو بعد

<sup>i</sup> Nonradiative recombination

<sup>ii</sup> Auger process

<sup>iii</sup> Oscillator strength

شده است. این بدین معنی است که نسبت قدرت نوسانگر اکسیتون بین دو بعد و سه بعد بایستی از رابطه زیر محاسبه شود:

$$\frac{f_{2D}}{f_{3D}} = \frac{1}{a} \left[ \frac{(a_{exc}^{3D})^3}{(a_{exc}^{2D})^2} \right] \quad (4-3)$$

برای GaAs، با  $a_{exc}^{2D} = 70 \text{ \AA}$  و  $a_{exc}^{3D} = 140 \text{ \AA}$ ، مقدار این نسبت برابر  $100^\circ$  خواهد شد. حتی یک چنین تقریب خام و ناکاملی میان قدرت نسبی گذارهای دوبعدی می‌باشد؛ و به وضوح مشخص است که ابعاد نمونه مورد بررسی نقش بسیار مهمی در غالب کردن فرآیند اکسیتونی در بازترکیب‌هایی که در نمونه رخ می‌دهند دارد. قدرت بازترکیب اکسیتون‌های مقید(BE) در GaAs کپه‌ای از تناسب بین چگالی حالت‌های FE‌ها و تعداد جایگاه‌های ناخالصی پیروی نمی‌کند. قدرت گذار BE از

رابطه زیر بدست می‌آید:

$$f_{BE} = \left[ \frac{a_{exc}}{a} \right]^3 f_{FB} \quad (5-3)$$

برای GaAs، از مرتبه واحد می‌باشد یعنی  $4^\circ$  مرتبه بزرگتر از قدرت گذار FE‌های متناظر می‌باشد. این بیان غیر متعارف می‌تواند این گونه تعبیر شود که به خاطر حضور ناخالصی‌ها توابع موج حامل‌ها جایگزیده می‌شود و همپوشانی بین آنها افزایش پیدا می‌کند و در نتیجه قدرت نوسانی BE‌ها افزایش پیدا می‌کند؛ هر چند نبایستی فراموش کنیم که اندازه فضایی BE‌ها نیز نقش مهمی دارد. معنی این نتایج این است که همپوشانی توابع موج الکترون و حفره به جایگزیدگی اکسیتون در همسایگی ناخالصی‌ها و به اینکه آیا پتانسیل، جاذب الکترون و یا حفره است بستگی دارد. انرژی بستگی اکسیتون و فاصله ترازاها در یک چاه کوانتمویی به پهنهای W‌ها نیز بستگی دارد. مثلاً برای GaAs، جدایی بین ترازاها  $\hbar h$  و  $\hbar hh$  در چاه کوانتمویی به پهنهای چاه ارتباط دارد و این فاصله به مقدار ماکریزم خود( $32 \text{ meV}$ ) در پهنهای  $25^\circ \text{A}$  خواهد رسید. همینطور محاسباتی که نشان دهنده بستگی انرژی بستگی اکسیتون‌ها به پهنهای چاه‌ها می‌باشد در مقاله‌های متعددی آورده شده است.<sup>[19,20]</sup>

## منابع

- [١] G. D. Gilliland; *Photoluminescence Spectroscopy of Crystalline Semiconductors*; Materials Science and Engineering, **R18** Nos. 3-6 (1997).
- [٢] K. W. Boer; *Survey of Semiconductor Physics*; John Wiley&Sons Inc. Vol I , chapter39 (2002).
- [٣] T. Lundstrom; *Theoretical and optical investigation of some III-V based quantum wells and modulation doped heterostructures*; dissertation No.489, Linkoping University- IFM, (1996).
- [٤] F. Karlsson; *Single Quantum Dot Spectroscopy by Means of Micro-Photoluminescence with Resonant Excitation*; LiTH-IFM-EX-793; Linkoping University (1999).
- [٥] H. Haratizadeh; *Optical Characterization of GaN/AlGaN Quantum Well Structures*; dissertation No.489, Linkoping University- IFM, (2004).
- [٦] C. Kittel; *Introduction to Solid State Physics*, 6<sup>th</sup> ed.; John Wiley & Sons, New York, Chichester, US (1986).
- [٧] R. Dingle; W. Wiegmann and C. H. Henry; Phys. Rev. Lett. **33**, 827 (1974).
- [٨] A. Pinezuk; J. Shah; R. C. Miller; A. C. Gossard and W. Wiesmann; Solid State Commun. **50**, 735 (1984).
- [٩] G. H. Wannier; Phys. Rev. **52**, 191 (1937).
- [١٠] N. F. Mott; Proc. Royal Soc. **A167**, 384 (1938).
- [١١] J. Frenkel; Phys. Rev. **37**, 1276 (1931).
- [١٢] H. Mathieu; P. Lefebvre and P. Christol; Phys. Rev. B **46**, 4092 (1992).
- [١٣] *Properties of Indium Galium Arsenides*; ed. P. Bhattacharya ( INSPEC, EMIS Datareviews serie No.8,1993).
- [١٤] M.. Notomi; S. Nojima; M. Okamoto; H. Iwamura; T. Tamamura; J. Hammersberg and H. Weman; Phys. Rev. B **52**, 11 073 (1995).
- [١٥] S.Chichibu; T.Azuhata; T.Sota and S.Nakamura; Appl.Phys.Lett. **69** , 4188 (1996).
- [١٦] H. Morkoc; *Nitride Semiconductors and Devises*; ed. By R. Hull; R. M. Osgood; Jr. H. Sakaki, and A. Zunger; Springer-Verlage, (1999).
- [١٧] D. A. B. Miller; D. S. Chemla.; D. J. Eilenberger; P. W. Smith; A.C. Gossard and T. W. Tsang; Appl. Phys. Lett.. **41**, 679 (1982).
- [١٨] G. W. t' Hooft; W. A. J. A. Van der Poel; L. W. Molenkamp and C. T. Foxen; Phys. Rev. B **35**, 8281 (1987).
- [١٩] D. A. Kileinman; Phys. Rev. B **28**, 871 (1983).
- [٢٠] A. Haufe;Solid State Common. **67**, 899 (1988).

# فصل ۱۴:

## نانو ساختارهای کوانتمی گروه تری نیتراید ها و ویژگیهای آنها

- مقدمه
- ساختارهای نامتجانس نیمه هادی
- ساختار چاه های کوانتمی
- انواع چاه های پتانسیل کوانتمی
- کرنش در گروه III- نیترایدها
- محاسبه انفصال نواری در نانو ساختارهای کوانتمی نیتروژندار
- تکنیک اضافه کردن آلایش در لایه سد چاه های کوانتمی

## ۱-۴- مقدمه

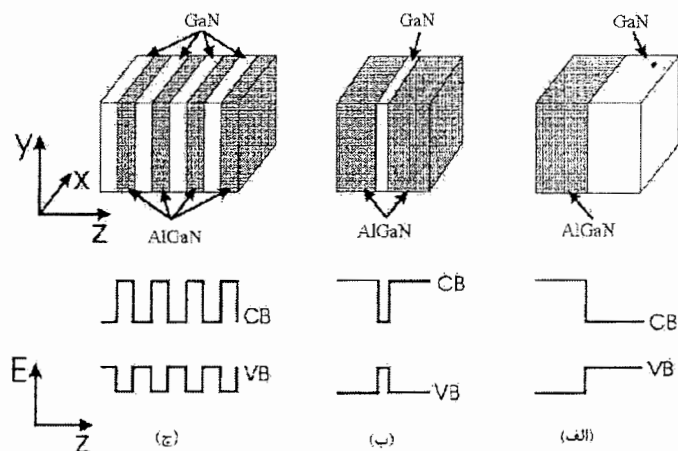
روش های مدرن رشد بلور امکان ساخت لایه های فوق نازک از نیم رساناها را به وجود آورده است. وقتیکه یک نیمه رسانا با گاف انرژی کوچکتر بین دو لایه نازک از نیمه رسانای دیگر با گاف انرژی بزرگتر ساندویچ شده باشد، یک چاه کوانتموی تشکیل خواهد شد. در نتیجه الکترون ها و حفره ها فقط در دو بعد آزادی حرکت دارند و در بعد سوم که راستای رشد می باشد و عمود بر لایه های متوالی سد و چاه است الکترون ها و حفره ها محدودیت کوانتموی دارند و در مقابل آنها سد پتانسیل قرار دارد. چاه های کوانتموی در مقایسه با ساختارهای کپه ای بدليل همپوشانی بیشتر توابع موج الکترون و حفره افزایش چشمگیری در راندمان نوری قطعات اپتوالکترونیکی که از این نانو ساختارها در ناحیه فعال خود بهره می گیرند، را نشان می دهند. در این فصل ابتدا ساختارهای نامتجانس را معرفی کرده و سپس چاه های کوانتموی را بررسی کرده و انواع آن را نشان می دهیم. همچنین اثر کرنش را در نیمه هادی های گروه III-V مورد تحلیل قرار می دهیم.

## ۲-۴- ساختارهای نامتجانس<sup>۱</sup> نیمه هادی

مطالعه در مورد ساختارهای ناهمگون نیمه هادی با پیش بینی ساخت انواع قطعات جدید با استفاده از آنها توسط ایساکو و تسو در سال ۱۹۶۹<sup>[۱,۲]</sup> آغاز شد. پیشرفت در زمینه تکنیک های جدید رشد از قبیل روش برآراستی باریکه مولکولی (MBE)<sup>[۳]</sup> و رسوب گذاری بخار شیمیایی (MOCVD)<sup>[۴]</sup> این امکان را فراهم ساخته است که ساختارهای ناهمگون مختلفی را رشد دهیم. در سال ۱۹۷۲ ایساکی و همکارانش<sup>[۲]</sup> امکان پذیر بودن ساخت چنین قطعات جدیدی را با معرفی

<sup>۱</sup> Heterostructure

وجود مقاومت منفی در یک ساختار ابر شبکه GaAs/AlGaAs که با روش MBE رشد یافته بود، ثابت کردند. هم اکنون با وجود چنین تکنیک هایی، این امکان فراهم شده است که لایه هایی از نیمه هادی های متفاوت را بر روی یکدیگر به صورت لایه به لایه رشد دهیم. امروزه این امکان فراهم شده است که با تغییر دادن مقدار ترکیب اجزاء تشکیل دهنده یک ساختار ناهمگون و همچنین تغییر در ضخامت لایه های تشکیل دهنده آن، خواص اپتیکی، الکترونیکی و مکانیکی آن را در محدوده وسیعی بررسی کنیم. در شکل ۱-۴ طرح شماتیک ساختار های ناهمگون GaN/AlGaN از قبیل ساختار نامتجانس، چاه کوانتموی و چاه کوانتموی چندگانه به همراه ساختار نواری آنها نشان داده شده است.

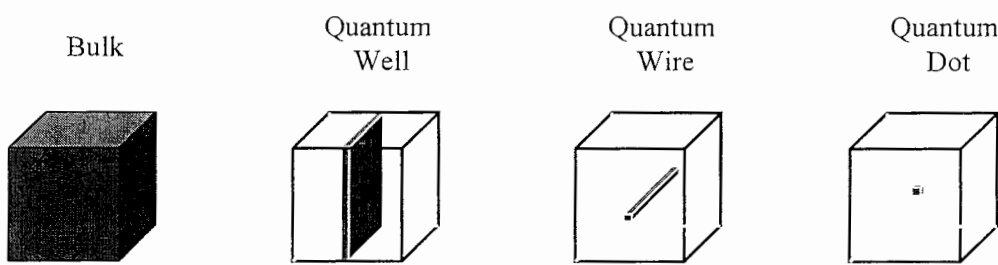


شکل ۱-۴: طرح شماتیک ساختارهای نیمه هادی (الف) نامتجانس (ب) چاه کوانتموی تنها (ج) چاه کوانتموی چندگانه همراه با شکل شماتیکی از ساختار نواری آنها [۵]

لازم به توضیح است که با در نظر گرفتن میدان های قطبشی داخلی ساختارهای فوق و همچنین اثر انتقال بار در سطح مشترک این ساختارها، شکل نوار انرژی تغییر می کند که این دو موضوع به شکل دقیقتر مورد بحث و بررسی قرار خواهد گرفت. در صنعت نیمه هادی ها علاقه مند هستیم که ترکیباتی جدیدتر با خواص اپتیکی و الکترونیکی مناسب تر و بهینه تر بسازیم. شاهدی بر این گفته اختراع ترانزیستورهای با تحرک پذیری الکترونی بالا (HEMT) و ساخت چاه های کوانتموی، سیم های کوانتموی<sup>۱</sup> و نقاط کوانتموی می باشد [۶]. در چاه های کوانتموی حامل ها در یک بعد محدودیت

<sup>۱</sup> Quantum Wire

حرکت دارند، لذا همپوشانی توابع موج الکترون و حفره نسبت به حالت نیمه رسانای کپه ای افزایش می یابد همین موضوع در مورد سیم های کوانتموی (QWi) ها صادق است با این تفاوت که حرکت حامل ها به یک بعد و در نقاط کوانتموی (QD) به صفر بعد محدود شده است در شکل ۲-۴ طرح شماتیکی از این ساختارها نشان داده شده است.



شکل ۲-۴: شکل شماتیک ساختار یک نیمه رسانای با ساختار نقطه کوانتموی (QD)، سیم کوانتموی (QWi)، چاه کوانتموی (QW) و نیمه رسانای کپه ای (Bulk) (به ترتیب از سمت راست به چپ)

### ۳-۴- ساختار چاه های کوانتموی

همانطور که اشاره شده روش های مدرن رشد بلور مانند برآرایی باریکه مولکولی (MBE) و روش لایه گذاری بخار شیمیایی فلز - ماده آلی (MOCVD) امکان ساخت انواع جدید ساختارهای نیمه هادی و لایه های فوق نازک با کیفیت عالی از نیمه رساناها را بوجود آورده است. اصطلاح فوق نازک به سیستم هایی که ضخامت آنها با شعاع بوهر اکسیتوون ماده قابل قیاس باشد، اطلاق می شود. فیلم های نیمه رسانا با ضخامت کمتر از  $10^{\text{۰}} \text{ \AA}$  را به عنوان سیستم های کوانتموی شبه دو بعدی می شناسیم. یک گروه از چنین سیستم های شبه دو بعدی که به صورت مصنوعی رشد داده شده است ساختارهای چاه کوانتموی است. چاه پتانسیل یگانه<sup>۱</sup> یک لایه خیلی نازک (در حدود چند ده آنگستروم) از یک نیمه رساناست که بین دو لایه نازک از نیمه رسانای دیگر با گاف انرژی پهن تر و با ثابت شبکه نزدیک به هم ساندویچ شده است. در شکل ۱-۴ طرح شماتیکی از ساختار نواری و نحوه لایه نشانی در یک چاه کوانتموی یگانه و یک ساختار چاه های کوانتموی چند گانه نشان داده شده است. از آنجائی که دو ماده با گاف نواری متفاوت از هم هستند الکترونها و حفره ها در امتداد محور

<sup>۱</sup> Single quantum well

رشد (محور Z) در یک چاه پتانسیل کوانتموی گرفتار می شوند. چاه های کوانتموی که در این پروژه مورد بررسی قرار گرفته اند همگی از نوع I بوده اند یعنی اینکه گاف نواری چاه از لحاظ انرژی بین گاف نواری ماده سد قرار می گیرد (در شکل ۱-۴ سطح مقطع پتانسیل برای چاه کوانتمی نوع I نشان داده شده است). اگر ضخامت لایه ها به اندازه کافی کوچک باشد، پدیده های کوانتم مکانیکی خود را نشان می دهند. برای مثال ترازهای انرژی الکترونی کوانتیزه می شوند و از حالت نوار پیوسته به ترازهای انرژی جدا شده و مجزا از یکدیگر تبدیل می شوند. اولین بار دینگل<sup>۱</sup> و همکارانش در سال ۱۹۷۴ در آزمایشات جذب اپتیکی ترازهای انرژی کوانتیزه شده را به طور تجربی مشاهده کردند [۷]. در یک چاه کوانتموی GaN/AlGaN یک لایه نازک از چاه GaN با گاف انرژی کمتر در بین دو لایه AlGaN قرار می گیرد و در نتیجه حامل ها به طور موثری در چاه پتانسیل محدود و محبوس می شوند. و به این ترتیب حامل های فوق فقط آزادند که در صفحه چاه GaN (صفحه y-x) حرکت کنند و در جهت عمود بر صفحه این لایه (جهت Z) محدودیت کوانتموی ایجاد می گردد. اغلب به این حامل ها، حامل های شبه دوبعدی (2D) گفته می شود. کلمه "شبه" بر این نکته تاکید می کند که در این سیستم حامل ها در یک چاه کوانتموی نامتناهی گرفتار نیستند و امکان نفوذ برای آنها در ناحیه سد (لایه های AlGaN) وجود دارد. کاری که در این پایان نامه انجام شده شامل ساختارهای ناهمگونی است که در آن حامل ها دارای ویژگی شبه دوبعدی هستند. اگر ساختار شامل چندین چاه کوانتموی باشد به آن ساختار، ساختار چاه کوانتموی چندگانه (MQW) نامیده می شود و باستی دقیق شود که در ساختارهای با چاه های کوانتموی چندگانه پهنای سدها که چاه ها را از یکدیگر جدا می کنند به اندازه ای بزرگ باشد که از هر گونه همپوشانی توابع موج حامل ها در چاه های مجاور هم جلوگیری کند. اگر چنین حالتی اتفاق نیفتد در آن صورت توابع موج حامل ها با یکدیگر برهمنش می کنند و ترازهای انرژی مجزا از یکدیگر در چاه های کوانتموی پهن خواهد شد و زیر نوارها<sup>۲</sup> را تشکیل می دهند [۸]. به طور ایده آل ساختارهای چاه کوانتموی چندگانه خواص نوری مشابهی با ساختار چاه کوانتموی یگانه را نمایش می دهند به جز اینکه بازده نوری قطعه ساخته شده با چاه کوانتموی چندگانه بیش از قطعه ساخته شده با چگالی کوانتموی یگانه می باشد. یکی دیگر از ساختارهای مهم

<sup>i</sup> Dingle et. al.

<sup>ii</sup> Miniband

لایه های نازک ابرشبکه ها<sup>۱</sup> هستند، که در آنها هر دو لایه چاه و سد مثلاً GaN و AlGaN بی نهایت نازک ساخته می شوند، به طور مثال ۱۰۰ لایه از چاه پتانسیلی GaN با ضخامت  $\overset{0}{\text{\AA}}$  بین لایه های AlGaN به ضخامت  $\overset{0}{\text{\AA}}$  که به عنوان سد پتانسیل عمل می کنند قرار می گیرند. در ابرشبکه ها توابع موج الکترونی در چاه های پتانسیلی مجاور روی هم افتادگی پیدا می کنند که به این علت خواص این ساختار با ساختار چاه های کوانتومی چندتایی تفاوت دارد. علاقه و توجه خاصی در درک سیستم های نیمه رسانا با ابعاد کوچک وجود دارد. کشف جدید اثر هال کوانتومی مثال خوبی از این پدیده های جدید است که می توان در لایه های نازک مشاهده کرد این ساختارها تا حدودی امکان طرح قطعات نیمه رسانا را بر طبق خواص نوری مورد نیاز فراهم می کنند. برای مثال به سادگی می توان لبه جذب چاه های کوانتومی چندتایی GaAs را از مادون قرمز ( $\lambda = 820 \text{ nm}$ ) به قرمز ( $\lambda = 650 \text{ nm}$ ) توسط تغییر پهنهای چاه ها جابجا کرد. برای محاسبه ترازهای انرژی در این چاه های کوانتومی، روش مرسوم حل معادله شرودینگر با استفاده از جرم موثر الکترون یا حفره برای پتانسیل موجود در ساختار مورد نظر می باشد:

$$\left[ -\frac{\hbar^2}{2} \frac{d}{dz} \frac{1}{m^*(z)} \frac{d}{dz} + V(z) \right] \Psi_n(z) = E_n \Psi_n(z) \quad (1-4)$$

در اولین تقریب انرژی حالت پایه برای چاه مربعی نامتناهی و با فرض یکسان بودن جرم موثر حامل ها در لایه چاه و سد عبارت است از:

$$E_n = \frac{\hbar^2 \pi^2 n^2}{2 m^* L_z^2} \quad n = 1, 2, 3, \dots \quad (2-4)$$

اما آنچه عملاً رخ می دهد، محدودیت کوانتومی الکترون ها و حفره ها در چاه های کوانتومی متناهی است که ارتفاع چاه برای الکترون ها همان انفصال نوار رسانش ( $\Delta E_c$ ) بین لایه چاه و سد و برای حفره ها انفصال نوار ظرفیت ( $\Delta E_v$ ) می باشد. نتیجه حل معادله شرودینگر برای چاه پتانسیل متناهی برای ترازهای انرژی پایه عبارتست از [۹]:

$$E = V_0 - \frac{m L_z^2 V_0^2}{2 \hbar^2} \quad (3-4)$$

<sup>1</sup> Superlattice

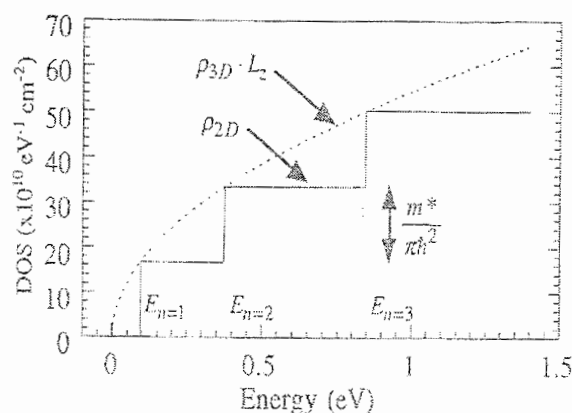
که  $V_0$  در آن عمق پتانسیل(انفصال نواری) می باشد. یکی از ویژگی های مهمی که توسط کوانتیزه شدن در جهت  $z$  در چاه های کوانتومی تحت تاثیر قرار می گیرند چگالی حالات (DOS)،  $\rho(E)$ ، می باشد که به صورت تعداد حالات در دسترس در واحد حجم در بازه انرژی  $E$  تا  $E + \Delta E$  تعریف می شود. با فرض وجود یک سیستم دو بعدی با نوارهای سهمی شکل، DOS برای یک زیر نوار خاص می شود. با این فرض وجود یک سیستم دو بعدی با نوارهای سهمی شکل، DOS برای یک زیر نوار خاص توسط رابطه زیر بدست می آید[۱]:

$$\rho_{2D} = \frac{m^*}{\pi \hbar^2} \quad (4-4)$$

که به انرژی بستگی ندارد و DOS کل در انرژی داده شده برابر با حاصل ضرب  $\rho_{2D}$  در تعداد زیر نوارهای پایین تر از این انرژی می باشد. اگر این را با چگالی حالات سه بعدی برای ضخامتی برابر با ضخامت چاه به وسیله ضرب کردن DOS سه بعدی که توسط رابطه

$$\rho_{3D} = \frac{\sqrt{2Em^*}}{\pi^2 \hbar^2} \quad (5-4)$$

داده می شود با  $L_z$  مقایسه می کنیم. همانطوری که در شکل ۳-۴ نشان داده شده است مقادیر چگالی حالات دو و سه بعدی در انرژی های  $E_n$  با یکدیگر برابر می شوند.



شکل ۳-۴: نمودار چگالی حالات برای سیستم های دو و سه بعدی

چگالی حالت دو بعدی وقتی که  $n$  زیاد باشد به چگالی حالات سه بعدی میل می کند. یک تفاوت مهم بین این دو چگالی حالت این است که DOS دو بعدی همیشه یک عدد خاص است و هیچ وقت صفر نمی شود در حالی که در یک سیستم سه بعدی DOS به صفر میل می کند[۱۰].

<sup>1</sup> Density of State

#### ۴-۴- انواع چاه های پتانسیل کوانتموی

در ساختارهای ترکیبی، تنظیم نوارهای انرژی در فصل مشترک امر مهمی است. همانطور که از شکل ۴-۴ دیده می شود، چندین امکان برای اختلاف گاف انرژی،  $\Delta E_g = E_g^B - E_g^A$ ، بین مواد A و B، که یک چاه کوانتمی را تشکیل می دهند، وجود دارد. در چاه کوانتمی نوع I رابطه زیر را می توان نوشت:

$$E_v^A - E_v^B = \Delta E_v > 0 \quad (6-4)$$

$$E_c^A - E_c^B = \Delta E_c < 0 \quad (7-4)$$

و

$$\Delta E_v, \Delta E_c < E_g^B - E_g^A \quad (8-4)$$

توجه شود که برای مشخص کردن کامل ساختار، پارامتر  $Q = \Delta E_c / \Delta E_v$ ، که چگونگی قرار گرفتن نوار ظرفیت و نوار هدایت را مشخص می کنند، باید معین شوند. در حال حاضر هیچ قاعده نظری که مقدار Q را در ساختارهای ترکیبی مشخص کند وجود ندارد بطور کلی فرض می شود که بیشتر جابجایی نوار انرژی بین نوارهای هدایت صورت می گیرد. چندین گونه چاه پتانسیل نوع II وجود دارند در اینجا فقط دو شکل آن را مورد بحث قرار می دهیم. اولین نمونه از چاه کوانتموی نوع II در شکل ۴-۴- ب نشان داده شده است شرایط زیر برای چنین ساختاری وجود دارند:

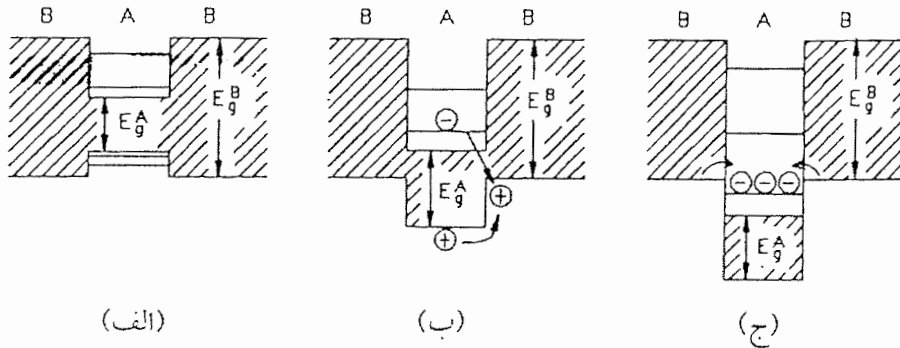
$$E_c^A - E_c^B = \Delta E_c < 0 \quad (9-4)$$

$$E_v^A - E_v^B = \Delta E_v < 0 \quad (10-4)$$

$$\Delta E_v, \Delta E_c < E_g^B - E_g^A \quad (11-4)$$

و

$$\Delta E_v, \Delta E_c > E_g^B - E_g^A \quad (12-4)$$



شکل ۴-۴: نمایش طرحواره (الف) یک چاه کوانتومی نیمرسانای نوع اول(I)، ب و (ج) دو نمونه از ساختار نوع دوم(II) [۱۱]

مقدار صفر انرژی بالای نوار ظرفیت ماده A انتخاب شده است. خواص نوری چاه های کوانتومی نوع II بطور قابل ملاحظه ای با نوع I تفاوت دارد. دلیل آن به علت ناهمترازی فضایی<sup>۱</sup> پایین ترین نوار رسانش در منطقه A و بالاترین نوار ظرفیت در منطقه B است. این امر را می توان به سادگی با درنظر گرفتن اینکه پس از تحریک نوری یک زوج الکترون - حفره، حفره در بالای نوار ظرفیت در ماده A ناپایدار بوده و تمایل به واهلش به پایین ترین تراز انرژی دارد، درک کرد. در نتیجه بازترکیب زوج الکترون-حفره، به وسیله گسیل یک فوتون از طریق روی هم افتادگی فضایی تابع موج الکترون در ماده A و حفره در ماده B صورت می گیرد. به علت داشتن دنباله نمایی تابع موج درون سد پتانسیل با ارتفاع متناهی، این روی هم افتادگی کوچک است اما صفر نیست. از این دو مشخصه نتیجه می شود: که اولاً، در مقایسه با انرژی فوتون جذب شده، انرژی فوتون گسیل شده به انرژی های پایین تری به مقدار زیاد جایجا می شود:

$$\Delta E = \Delta E_v \quad (13-4)$$

و ثانیاً، لومینسانس دارای طول عمر طولانی است. به عنوان یک مثال مناسب برای یک چنین چاه کوانتمی نوع II می توان از Si/Ga نام برد. مثال دیگری از چاه کوانتمی نوع II در شکل ۴-۴-ج نشان داده شده است. برای این ساختار شرایط زیر وجود دارد:

$$E_v^A - E_v^B = \Delta E_v < 0 \quad (14-4)$$

<sup>۱</sup> Spatial misalignment

$$E_c^A - E_c^B = \Delta E_c < 0 \quad (15-4)$$

و

$$\Delta E_c > E_g^B \quad (16-4)$$

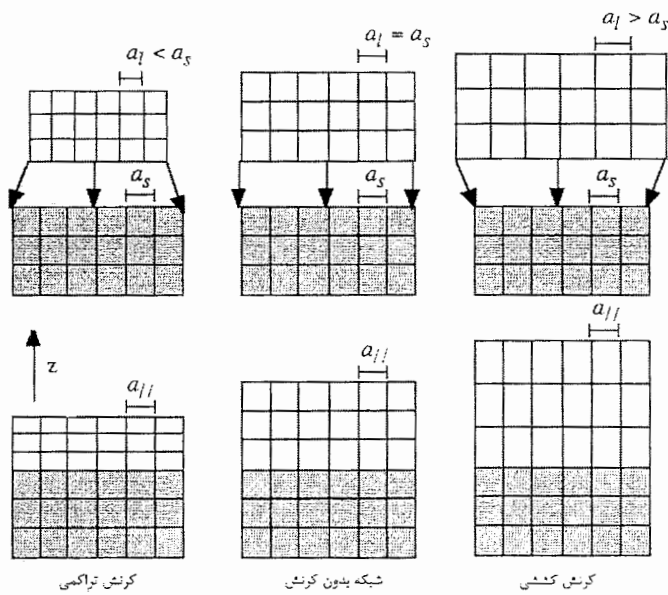
پایین ترین زیر نوار رسانش در ماده A به لحاظ انرژی پایین تر از بالاترین نوار ظرفیت ماده B قرار می گیرد در نتیجه الکترون ها از نوار ظرفیت پر ماده B به زیر نوار رسانش نوار ماده A منتقل شده و منجر به تشکیل یک ساختار مرکب هادی می شوند. یک مثال از چنین چاه کوانتمومی ساختار است، که می تواند نامزد خوبی برای آشکارسازهای نوری مادون قرمز باشد [۱۱].

#### ۴-۵- کرنش<sup>۱</sup> در نیمرساناهای نیتروژندار (III-Nitrid semiconductors)

یکی از نکات مهمی که در رشد نیمرساناهای نیتروژندار بایستی به آن توجه شود عدم انطباق ثابت شبکه های زیر لایه های متداول برای رشد نیمرساناهای نیتروژندار، مثل Si و Sapphire و GaAs و InP و ... ، با ثابت شبکه آن می باشد. همچنین ضریب انبساط گرمایی آنها نیز با یکدیگر متفاوت است، که موجب یک تغییر شکل الاستیکی یا کرنش در لایه رشد داده شده روی زیر لایه می گردد. اثر کرنش در نیمه هادی ها خیلی مهم است و از حدود تقریباً ۵۰ سال پیش به خاطر اثراتی که در قطعات اپتوالکترونیکی از خود بر جا می گذارد مورد توجه و بررسی قرار گرفته است. این عدم تطبیق در بین لایه های رونشینی شده در ساخت چاه های کوانتمومی و ساختارهای ناهمگون تاثیرات پیچیده تری دارد. اگر ضخامت لایه رشد داده شده روی زیر لایه از ضخامت بحرانی،  $h_c$  [۱۲]، کمتر باشد این امکان وجود دارد که از لحاظ ترمودینامیکی لایه های پایداری را تولید کنیم و عدم انطباق با یک تغییر شکل الاستیکی لایه ها همراه می شود. در ضخامت های بیشتر از ضخامت بحرانی کرنش تا حدی یا تماماً بوسیله ایجاد شدن دررفتگی ها از بین رفته و آزاد<sup>۲</sup> می شود. در اینجا بحث خود را بر روی حالت ایده آل که در آن هیچ دررفتگی در لایه رشد داده شده وجود ندارد، یعنی ضخامت لایه رشد

<sup>1</sup> Strain  
<sup>2</sup> Relax

داده شده کمتر از ضخامت بحرانی است، و بطور همدوس این لایه نازک روی زیر لایه رشد یافته محدود می کنیم. فرض می کنیم که ثابت شبکه در صفحه<sup>۱</sup> سطح مشترک پیوند ناهمگون در تمام ساختار یکسان باقی بماند. برای یک ساختار ناهمگون با ثابت شبکه در صفحه غیر وابسته به مکان، انرژی الاستیکی کل در صورتی مینیمم خواهد شد که ثابت شبکه در صفحه برابر ثابت شبکه تنش نیافته زیر لایه  $a_s$  باشد [۱۳]. در شکل ۴-۵ طرح شماتیکی از تغییر شکل الاستیکی به علت عدم انطباق شبکه دریک کریستال دوبعدی نشان داده شده است.



شکل ۴-۵: طرح شماتیکی از تغییر شکل الاستیکی به علت عدم انطباق شبکه دریک کریستال دوبعدی [۱۰]

کرنش در صفحه  $\perp_{\parallel}$  برای لایه رشد داده شده روی زیر لایه از رابطه زیر بدست می آید:

$$\varepsilon_{\perp\parallel} = \frac{a_s}{a_l} - 1 \quad (17-4)$$

<sup>۱</sup> In plane lattice constant

که در آن  $a_1$  ثابت شبکه در صفحه، لایه تنفس نیافته و  $a_2$  ثابت شبکه در صفحه زیرلایه می باشد با این تعریف  $\epsilon_{11}$  برای کرنش کششی  $(a_1, a_2)$  مثبت خواهد بود و برای کرنش تراکمی  $(a_1, a_2)$  منفی خواهد بود. لایه نازک متراکم شده یا کشیده شده سعی می کند تا حجم خود را با منقبض یا منبسط کردن ثابت شبکه ای که عمود بر جهت تغییرشکل می باشد،  $a_1$ ، ثابت نگه دارد. نسبت بین کرنش در صفحه<sup>۱</sup>  $\epsilon_{11}$  و کرنش عمودی  $\epsilon_{\perp}$ ، توسط رابطه زیر که رابطه پواسون نامیده می شود بدست می آید[۱۴] :

$$\nu = -\frac{\epsilon_{\perp}}{\epsilon_{11}} \quad (18-4)$$

برای یک زیر لایه با ساختار ورتسایتس که درجهت [۰۰۰۱] رشد یافته است، تغییرشکل در لایه رونشینی داده شده به صورت تتراترگونال می باشد یعنی یک تغییر شکل یکنواخت دو مولفه ای، یعنی  $\epsilon_{11} = \epsilon_{xx} = \epsilon_{yy}$ ، و یک تغییر شکل متفاوت با قبلی در جهت عمود بر کرنش دو مولفه ای فوق، یعنی  $\epsilon_{\perp} = \epsilon_{zz}$ ، وجود خواهد داشت. رابطه بین تانسور استرس،  $[\sigma_{ij}]$ ، و تانسور کرنش،  $[\epsilon_{ij}]$ ، توسط رابطه زیر داده می شود[۱۴] :

$$[\sigma_{ij}] = [C_{ij}] [\epsilon_{ij}] \quad (19-4)$$

که در آن  $C_{ij}$  ها مولفه های تانسور الاستیک هستند. به خاطر وجود تقارن فضایی این تانسور مرتبه چهار به یک ماتریس  $6 \times 6$  تبدیل می شود. برای کریستال با ساختار ورتسایتس (Wz) ماتریس  $C_{ij}$  بصورت زیر ساده می شود[۱۵] :

$$C_{ij} = \begin{bmatrix} C_{11} & C_{12} & C_{13} & 0 & 0 & 0 \\ C_{12} & C_{11} & C_{13} & 0 & 0 & 0 \\ C_{13} & C_{13} & C_{33} & 0 & 0 & 0 \\ 0 & 0 & 0 & C_{44} & 0 & 0 \\ 0 & 0 & 0 & 0 & C_{44} & 0 \\ 0 & 0 & 0 & 0 & 0 & \frac{1}{2}(C_{11} - C_{12}) \end{bmatrix} \quad (20-4)$$

<sup>۱</sup> In plane strain

که در آن  $a_s$  ثابت شبکه در صفحه، لایه تنفس نیافته و  $a_l$  ثابت شبکه در صفحه زیرلایه می باشد با این تعریف  $\epsilon_{11}$  برای کرنش کششی  $(a_l \langle a_s \rangle)$  مثبت خواهد بود و برای کرنش تراکمی  $(a_l \langle a_s \rangle)$  منفی خواهد بود. لایه نازک متراکم شده یا کشیده شده سعی می کند تا حجم خود را با منقبض یا منبسط کردن ثابت شبکه ای که عمود بر جهت تغییرشکل می باشد،  $a_l$ ، ثابت نگه دارد. نسبت بین کرنش در صفحه<sup>۱</sup>  $\epsilon_{11}$  و کرنش عمودی  $\epsilon_{zz}$ ، توسط رابطه زیر که رابطه پواسون نامیده می شود بدست می آید [۱۴] :

$$\nu = -\frac{\epsilon_z}{\epsilon_{11}} \quad (18-4)$$

برای یک زیر لایه با ساختار ورتسایتس که درجهت  $[0001]$  رشد یافته است، تغییرشکل در لایه رونشینی داده شده به صورت تتراغونال می باشد یعنی یک تغییر شکل یکنواخت دو مولفه ای، یعنی  $\epsilon_{xx} = \epsilon_{yy} = \epsilon_{11}$ ، و یک تغییر شکل متفاوت با قبلی در جهت عمود بر کرنش دو مولفه ای فوق، یعنی  $\epsilon_{zz} = \epsilon_{xy}$ ، وجود خواهد داشت. رابطه بین تانسور استرس،  $[ij\sigma]$ ، و تانسور کرنش،  $[ij\epsilon]$ ، توسط رابطه زیر داده می شود [۱۴] :

$$[\sigma_{ij}] = [C_{ij}] [\epsilon_{ij}] \quad (19-4)$$

که در آن  $C_{ij}$  ها مولفه های تانسور الاستیک هستند. به خاطر وجود تقارن فضایی این تانسور مرتبه چهار به یک ماتریس  $6 \times 6$  تبدیل می شود. برای کریستال با ساختار ورتسایتس (Wz) ماتریس  $C_{ij}$  بصورت زیر ساده می شود [۱۵] :

$$C_{ij} = \begin{bmatrix} C_{11} & C_{12} & C_{13} & 0 & 0 & 0 \\ C_{12} & C_{11} & C_{13} & 0 & 0 & 0 \\ C_{13} & C_{13} & C_{33} & 0 & 0 & 0 \\ 0 & 0 & 0 & C_{44} & 0 & 0 \\ 0 & 0 & 0 & 0 & C_{44} & 0 \\ 0 & 0 & 0 & 0 & 0 & \frac{1}{2}(C_{11} - C_{12}) \end{bmatrix} \quad (20-4)$$

<sup>۱</sup> In plane strain

وقتی که بلور وتسایتس در صفحه (۱۰۰۰۱) کرنش یافته و در جهت [۱۰۰۰۱] آزاد و بدون کرنش باشد (یعنی  $\sigma_{xx} \neq 0, \sigma_{yy} \neq 0, \sigma_{xy} = \sigma_{yz} = \sigma_{zx} = 0, \sigma_{zz} = 0$ )، تانسور کرنش فقط سه مولفه غیر صفر خواهد داشت که عبارتند از:

$$\varepsilon_{xx} = \frac{a - a_0}{a_0}, \quad \varepsilon_{yy} = \frac{b - a_0}{a_0}, \quad \varepsilon_{zz} = \frac{c - c_0}{c_0} = -\frac{C_{13}}{C_{33}}(\varepsilon_{xx} + \varepsilon_{yy}) \quad (21-4)$$

که در آن  $a_0$  و  $c_0$  ثابت های شبکه بلور ورسایتس تنش نیافته و  $a, b, c$  ثابت های شبکه لایه تنش یافته می باشند. اگر کریستال روی یک زیر لایه با ساختار بلوری ورسایتس در جهت [۱۰۰۰۱] رشد داده شود چون هیچ نیرویی در این جهت به بلور داده نمی شود کرنش بصورت دو مولفه ای متقارن در صفحه (۱۰۰۰۱) خواهد بود و در همه جهات دیگر صفر خواهد بود و سطر سوم رابطه پواسون

صورت زیر خلاصه می شود:

$$\varepsilon_{\perp} = \varepsilon_{zz} = -2 \frac{C_{13}}{C_{33}} \varepsilon_{11} = -2 \frac{C_{13}}{C_{33}} \varepsilon_{xx} \Rightarrow \nu = 2 \frac{C_{13}}{C_{33}} \quad (22-4)$$

#### ۱-۵-۴- تئوری پتانسیل تغییرشکل

کرنش تراگونال در ساختار بلوری ورسایتس به دو بخش تقسیم می شود: مولفه همسانگرد یا

هیدرواستاتیک که عبارت است از [۵]

$$\varepsilon_H = Tr(\varepsilon_{ij}) = 2\varepsilon_{11} - \varepsilon_{\perp} \quad (23-4)$$

که تغییر حجم را بدون تغییر دادن تقارن کریستال انجام می دهد و مولفه تک محوری ناهمسانگرد

که عبارت است از:

$$\varepsilon_U = \varepsilon_{\perp} - \varepsilon_{11} \quad (24-4)$$

که در جهت  $z$  است و تقارن بلوری را کم می کند. ساختار نوار الکترونی در لایه های کرنش یافته در رشد رونشینی بطور ناهمسانگرد تغییر خواهد کرد. کاهش تقارن بلوری بوجود آمده بوسیله مولفه کرنش تک محوری در جهت  $z$ ، تبهگنی در حالات نوار ظرفیت در نقطه  $\Gamma$  ( $K=0$ ) را از بین خواهد برد و گاف نواری را تغییر خواهد داد. این اثرات توسط تئوری پتانسیل تغییرشکل [۱۶، ۱۷] مدل سازی

می شود و مولفه کرنش هیدرواستاتیک لبه های نوار ظرفیت رسانش را شیفت خواهد داد. مقدار

شیفت برابر است با:

$$\Delta E_c = \alpha_c \varepsilon_H \quad (25-4)$$

$$\Delta E_v = \alpha_v \varepsilon_H \quad (26-4)$$

که در آن  $\alpha_c$  و  $\alpha_v$  پتانسیل های تغییرشکل هیدرواستاتیک نوارهای هدایت و ظرفیت می باشند.

شیفت کل گاف نواری توسط تفاضل شیفت های نوار هدایت و ظرفیت داده می شود یعنی

$$\Delta E_g = \Delta E_c - \Delta E_v = (\alpha_c - \alpha_v) \varepsilon_H \quad (27-4)$$

شکافتگی حالات نواری ظرفیت بوجود آمده در اثر کرنش تک مولفه ای ( $\varepsilon_U$ ) ، در لبه نوار ( نقطه  $\Gamma$  )

توسط رابطه زیر محاسبه می شود:

$$\Delta E_{hh} = -\varepsilon_0 \quad (28-4)$$

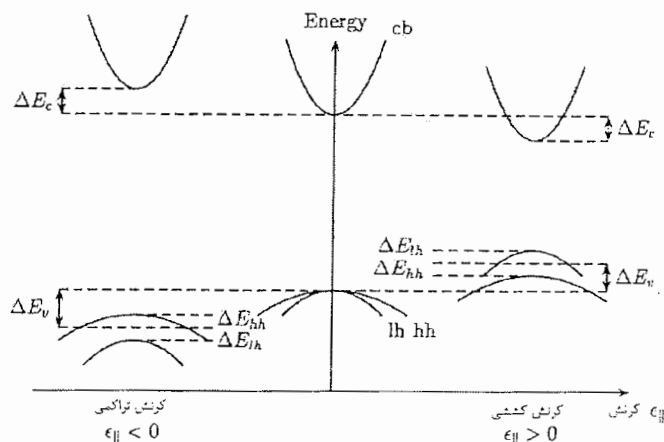
$$\Delta E_{lh} = -\frac{\Delta_{so} - \varepsilon_0}{2} + \frac{\Delta_{so}}{2} \left[ 1 + \frac{2\varepsilon_0}{\Delta_{so}} + 9 \left( \frac{\varepsilon_0}{\Delta_{so}} \right)^2 \right]^{1/2} \quad (29-4)$$

$$\varepsilon_0 = b \varepsilon_U \quad (30-4)$$

که در رابطه بالا  $b$  پتانسیل تغییرشکل پیچشی نوار ظرفیت است که اولین بار توسط Bir و Pikus

[17] تعریف شد. در شکل ۴-۶ شکل شماتیک این شیفت ها و شکافتگی ها را برای کرنش کششی و

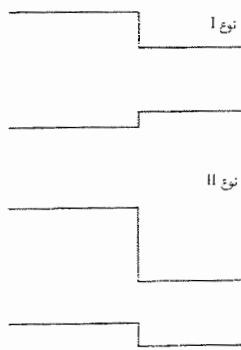
تراکمی نشان داده ایم.



شکل ۴-۶: طرحواره شماتیک شیفت و شکافتگی ایجاد شده در گاف نواری برای کرنش کششی و تراکمی [5]

#### ۴-۶- محاسبه انفال نواری<sup>۱</sup> در نانو ساختارهای کوانتمی نیتروژندار

پیوند ناهمگون دو نیمه هادی غیر مشابه تغییرات شدیدی را در ساختار نوار انرژی در محل پیوند وارد می کند که نتیجه آن انفال و ناپیوستگی و جابجا شدگی در لبه نوار ظرفیت و هدایت است. آگاهی در مورد انفال نواری در ساختارهای نامتجانس برای تعیین کردن درجه محدودیت حامل ها در ساختارهای چاه های کوانتمی و نقاط کوانتمی کاملاً حیاتی است. مشخصات اپتیکی و الکتریکی قطعات ساخته شده از ساختارهای نامتجانس، برای مثال ترابری بار در امتداد سطح مشترک و محدودیت بار<sup>۲</sup> در چاه های کوانتمی به طور شدیدی تحت تاثیر نحوه ساختار نواری بین دو نیمه هادی می باشد[۱۸]. پیشرفت تکنولوژی رشد بلور رونشینی که منجر شد ساختارهای ناهمگون گروه III-V ... ساخته شوند، نشان داده اند که این انفال نواری که از آن صحبت می کنیم در ساختارهای ناهمگون تری نیترایدها نیز دیده می شود[۱۹]. بسته به نحوه تنظیم و قرارگیری نسبی نوارهای انرژی نسبت به یکدیگر حالت های مختلفی از انفال نواری شکل می گیرد که دو نمونه متداول در شکل ۷-۴ نشان داده شده است.



شکل ۷-۴: طرحواره دو نوع مختلف از انفال نواری در تری نیترایدها[۱۹]

نوع I که در آن گاف نواری یک ماده کاملاً بین گاف نواری ماده دیگر قرار می گیرد مفیدترین حالت در وسائل اپتوالکترونیکی می باشد. نوع II وقتی اتفاق می افتد که گاف های نواری لایه سد و چاه با یکدیگر همپوشانی کرده اما گاف لایه سد بطور کامل دیگر را محصور نمی کند. انفال نواری در نیمرسانهای نیتروژندار توسط گروه های مختلف اندازه گیری و محاسبه شده است[۲۰، ۲۱، ۲۲].

<sup>۱</sup> Band offset

<sup>۲</sup> Carrier Confinement

نیمرساناهای نیتروژندار ساختارهای ناهمگون مختلف با انفصال نواری متفاوت در نوار رسانش و هدایت تولید می‌کنند. در جدول ۴-۱ مقادیر آزمایشگاهی و تئوری گزارش شده برای انفصال نواری نوار رسانش ( $\Delta E_c$ ) به نوار ظرفیت ( $\Delta E_v$ ) گردآوری شده است.

جدول ۴-۱: مقادیر اندازه گیری شده و محاسبه شده نسبت انفصال نواری نوار رسانش به ظرفیت در گروه تری نیترایدها

مرجع	$\Delta E_c : \Delta E_v$		
	InN/GaN	GaN/AlN	InN/AlN
[۲۳] مارتین <sup>۱</sup> و همکاران	۳۰:۷۰	۷۵:۲۵	۶۰:۴۰
[۲۴] ون-د-وال <sup>۲</sup> و همکاران	۸۰:۲۰	۷۵:۲۵	.....
[۲۵] وی <sup>۳</sup> و همکاران	۸۳:۱۷	۷۰:۳۰	۷۵:۲۵

بایستی اشاره شود که مقادیر تجربی بدست آمده توسط مارتین با روش XPS<sup>۴</sup> بوده است و مقادیر بدست آمده توسط ون - د- وال و وی با محاسبات تئوری بدست آمده است. همانگونه که از جدول فوق واضح است تفاوت بارزی بین مقادیر اندازه گیری شده و محاسبه شده وجود دارد. منشاء این اختلاف شدید به فاکتورهای متفاوتی می‌تواند مرتبط شود که به موارد زیر می‌توان اشاره کرد:

- مشکلات تکنیکی و اغلب طبیعت غیرمستقیم اندازه گیری ها

- امکان وابسته بودن انفصال نواری به نحوه آماده سازی سطح مشترک

- وابستگی انفصال نواری به کرنش و قطبش

- اثرات ناشی از بارهای قطبشی

مطالعات مارتین نشان می‌دهد مقادیر انفصال نواری در یک ساختار ناهمگون A-B بسته به اینکه لایه A روی زیر لایه B رشد داده شود (A/B) یا لایه B روی زیر لایه A رونشانی شود (B/A)، به علت

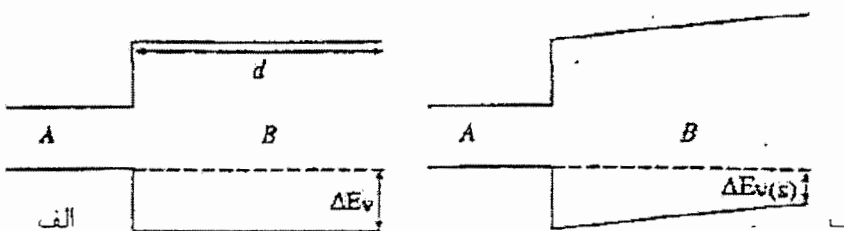
<sup>۱</sup> Martin et. al.

<sup>۲</sup> Van De Walle et. al.

<sup>۳</sup> Wei et. al.

<sup>۴</sup> X-Ray Photoemission Spectroscopy

بستگی آن به قطبش و اثر پیزوالکتریک<sup>i</sup>، مقادیر کاملاً متفاوتی دارند. از آنجایی که کرنش باعث وجود آمدن میدان پیزوالکتریک<sup>ii</sup> می‌شود، میدان پیزوالکتریک(به فصل ۵ مراجعه کنید) نیز همانطور که از شکل ۸-۴ پیداست باعث وجود آمدن خمش در نوار هدایت و ظرفیت شده؛ و تغییر در انفصال نواری به وجود خواهد آمد.



شکل ۸-۴: شکل شماتیک (الف) یک ساختار نامتجانس که در آن لایه B بر روی لایه A به ضخامت  $d$  در حالتی که هیچ میدان خارجی وجود ندارد، رشد یافته است. (ب) اثر میدان های قطبشی بر روی انفصال نواری نوار ظرفیت(به وضوح انفصال نواری به مقدار میدان و ضخامت لایه رشد داده شده بستگی دارد). [۱۸]

در موردی که در شکل فوق نشان داده شده است انفصال نواری نوار رسانش با حضور میدان کاهش یافته است، یعنی  $\Delta E_{v(s)} \neq \Delta E_v$ ، چون ثابت های پیزوالکتریک لایه های A, B با یکدیگر تفاوت دارند لذا انفصال نواری در ساختار ناهمگون A/B با A/GaN با یکدیگر تفاوت خواهند داشت. همچنین همانطوری که از روی شکل ۸-۴ واضح است مقادیر انفصال نواری به ضخامت لایه رونشینی شده نیز بستگی دارد. در این پایان نامه در چاه های کوانتموی از ۷٪ آلومینیوم استفاده شده است و بنابراین با استفاده از قانون و گارد می توان به گاف انرژی AlGaN در دمای ۲ کلوین دست یافت. در این محاسبه از نسبت ۳۵:۶۵ برای نسبت انفصال نواری نوار رسانش به هدایت استفاده شده است [۲۶].

$$E_g(Al_{0.07}Ga_{0.93}N) = xE_{g_{AlN}} + (1-x)E_{g_{GaN}} - bx(1-x) = 0.07 \times 6.28 + 0.93 \times 3.505 - 0.25 \times 0.07 \times 0.93 = 0.4396 + 3.25965 - 0.0162 = 3.68305_{\text{eV}}$$

$$\Delta : E_{g_{AlGaN}} - E_{g_{GaN}} = 3.68305 - 3.505 \approx 178_{\text{meV}}$$

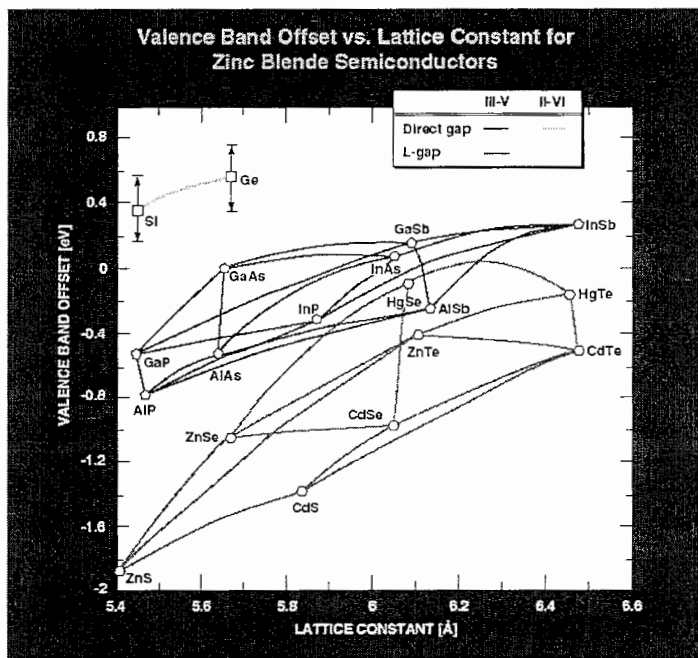
$$\text{Valence band offset} : \frac{35}{100} \times 178 \approx 62_{\text{meV}}$$

$$\text{Conduction band offset} : \frac{65}{100} \times 178 \approx 116_{\text{meV}}$$

<sup>i</sup> Piezoelectric Effect

<sup>ii</sup> Piezoelectric Field

در شکل ۴-۹ انفال نواری نوار رسانش بر حسب ثابت شبکه در بلور های با ساختار زینک بلند نشان داده شده است.



شکل ۴-۹: انفال نواری نوار رسانش بر حسب ثابت شبکه در ساختار های ZB

#### ۴-۷- تکنیک اضافه کردن آلایش در لایه سد چاه های کوانتموی<sup>۱</sup>

حضور مقدار خیلی کمی از اتم های ناخالصی در نیمه هادی ها می تواند رسانندگی و دیگر خواص فیزیکی ماده را تحت تأثیر قرار دهد. تکنیک های رشد رونشستی از قبیل MOCVD و MBE دقت رشد در این تکنیکها این امکان را فراهم ساخته است که ساختارهایی تحت عنوان ساختارهای آلایش یافته در سد بسازیم. این امکان را فراهم ساخته است که اتم های آلایشی را در حین فرآیند رشد ساختارهای ناهمگون و چاه های کوانتموی، در لایه های محدود اضافه کنیم. این تکنیک، یعنی اضافه کردن کنترل شده اتم های ناخالصی به یک نیمه هادی (آلایش)، که اساس بخش مهمی از کار روی نیمه هادی ها را تشکیل می دهد، برای تولید انواع قطعات مختلف از یک دیود دوقطبی تنها تا مدارهای مجتمع پیچیده مانند آنچه در CPU کامپیووترها استفاده می شود، بکار می رود. البته اضافه کردن اتم های ناخالصی به بلور یکسری مسائل جانبی را به همراه خواهد آورد؛ به عنوان مثال اتم های

<sup>1</sup> Modulation doping technique

نالخصی، پتانسیل تناوبی بلو را دچار اغتشاش می کند و همچنین به عنوان مراکز پراکننده برای حامل ها در نیمه هادی ها عمل می کند. پراکننده شدن حامل ها در محل اتم های آلایشی، تحرک پذیری حامل ها را محدود می کند؛ و در حقیقت کارایی قطعه را پایین می آورد. یک ترفند مناسب برای رهایی از این مشکل، همانطور که گفته شد استفاده از تکنیک آلایش دادن سدها در چاه های کوانتومی می باشد.

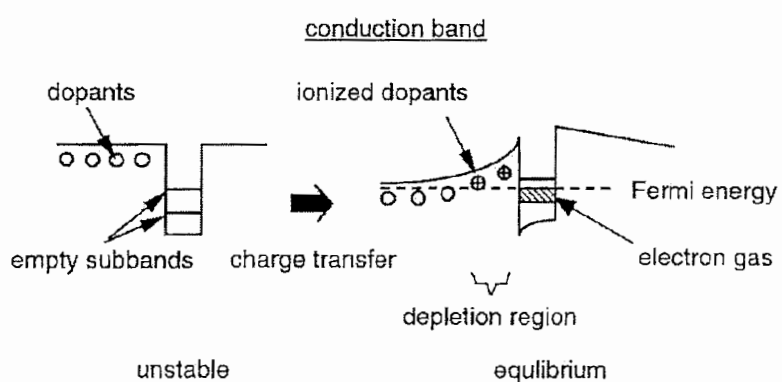
این مفهوم اولین بار توسط /یزکی و تسو<sup>۱</sup> در سال ۱۹۶۹ [۲۱] معرفی شد و اولین بار به طور تجربی توسط دینگل<sup>۲</sup> و همکارانش [۲۷] در یک ابرشبکه GaAs/AlGaAs مورد استفاده قرار گرفت. با استفاده از این تکنیک می توان الکترونها را از اتم های آلایشی در لایه سد جدا کرده و آنها را به لایه چاه هدایت نمود این امر به دلیل اختلاف انرژی فرمی در لایه سد و چاه رخ می دهد. با حضور الکترونها در لایه چاه و باقیماندن یونها در لایه سد مشکل پراکنندگی حاملها از یونها در لایه چاه از میان برداشته می شود و می توان اثر پراکنندگی اتم های نالخصی را کاهش داد؛ این موضوع، تحرک پذیری<sup>۳</sup> حامل ها را شدیداً بهبود می بخشد. این واقعیتی است که هم اکنون در ترانزیستورهای با تحرک الکترونی بالا (HEMT) تحقق یافته است. در مورد چاه های کوانتومی GaN/AlGaN که با نالخصی نوع  $n$  در سدهای AlGaN آلایش یافته اند، الکترون های اتم های آلایشی موجود در سدها به داخل چاه های کوانتومی GaN انتقال پیدا می کنند و در ترازهای پایینی داخل چاه قرار می گیرند. این انتقال تا زمانی که انرژی فرمی در دو طرف ساختار برابر شود ادامه می یابد. الکترون های جمع شده در ناحیه فعال، چاه GaN، در یک شکاف پتانسیل باریک نزدیک به سطح مشترک سد و چاه محدود می شوند و تشکیل یک گاز الکترونی شبه دو بعدی (2DEG) می دهند. برای محاسبه پتانسیل الکترواستاتیکی شکل گرفته به وسیله الکترون های داخل چاه و نالخصی های دهنده یونیزه شده موجود در سد، از معادله پواسون استفاده می شود. پتانسیل الکترواستاتیکی بدست آمده در معادله شرودینگر جایگذاری شده تا ساختار انرژی الکترونی آن و توزیع الکترون ها در داخل چاه بدست آید. معادله شرودینگر و پواسون باقیستی به طور پیاپی و خودسازگار حل شوند تا ساختار الکترونی نهایی و چگالی الکترونی در چاه پتانسیل بدست آید. در شکل ۱۰-۴ نحوه تشکیل گاز

<sup>۱</sup> Esaki and Tsu

<sup>۲</sup> Dingle

<sup>۳</sup> Mobility

الکترونی دو بعدی و نحوه انتقال الکترون ها به داخل چاه ها نشان داده شده است. در این تر همانطوری که اشاره شد یکسری از نمونه ها توسط اتم های Si در سدها آلایش یافته اند (جدول ۲-۵ را ملاحظه کنید). با افزایش میزان آلایش سیلیکونی در سدها غلظت الکترون های آزاد در درون چاه کوانتمی افزایش پیدا خواهد کرد و نیروی کولنی بین الکtron و حفره را استثمار می کند. بایستی به این نکته اشاره کنیم در نمونه بدون آلایش که در این تر بررسی شده است مکانیزم بازترکیب حامل ها همانطور که بعداً خواهیم دید، در دماهای پایین اکسیتونی می باشد در حالی که مکانیسم بازترکیب در نمونه هایی که آلایش آنها بیشتر از ( $cm^{-3}$ )  $10^{18} \times 6$  باشد، در همان دما مکانیسم بازترکیب الکترون آزاد و حفره مقید خواهد شد [۲۸].



شکل ۱۰-۴: شکل یک ساختار کوانتومی آلایش یافته و نحوه تشکیل گاز الکترونی دو بعدی و انتقال الکترون ها به داخل چاه ها (اتم های آلایشی در سد قرار داده شده اند و چاه کوانتمی بدون آلایش می باشد)

## منابع

- [۱] L. Esaki and R. Tsu; IBM Res. Note RC 2418 (1969).
- [۲] L. Esaki; J. Quant. Elec. **QE- 22**; 1611 (1986).
- [۳] B. A. Joyce; D. D Vedensky and C. T. Foxen; in *Materials Properties and Preparation*; Vol. 3a of *Handbook on Semiconductors* 2<sup>nd</sup> ed. By S. Mahjan (Elsevier Science B. V., Amsterdam, The Netherlands, 1994); Chap. 4, P.275-368 .
- [۴] M. Razeghi; in *Materials, Properties and Preparation*; Vol. 3a of *Hand book on Semiconductors*, 2<sup>nd</sup> ed., edited by S. Mahjan (Elsevier Science B. V., Amsterdam, The Netherlands, 1994); Chap. 3, P.183-274.
- [۵] T. Lundstrom; *Theroretical and optical investigation of some III-V based quantum wells and modulation doped heterostructures*; dissertation No.489, Linkoping University- IFM, (1996).
- [۶] M. Abe; T. Mimura; K. Nishiuchi; A. Shibatomi; M. Kobayashi and T. Misugi; in *Application of Multi Quantum Wells, Selective Doping, and Superlattice*, Vol. 24 of *Semiconductors and Semimetals*; edited by R. Dingle (Academic Press, San Diego, USA, 1987), Chap.4, P.240-278.
- [۷] R. Dingle; W. Wiegman and C. H. Henry; Phys. Rev. Lett. **33**, 824 (1974).
- [۸] L. Esaki; *Recent Topic in Semiconductor Physics* (H. Kamimura and Y. Toyozawa,eds). Word Scientific, Singapore, (1983).
- [۹] J.H. Davies; *The Physics of Low-Dimentional Semiconductors, An Introduction*; Cabridge University Press (1998).
- [۱۰] J. Dalfors; Photoluminescence Studids of the electronic Structures in some III-V Quantum Structures; dissertation No.560, P. 8, Linkoping University- IFM, (1999).
- [۱۱] مقدمه ای بر نورشناخت نیمه رساناهای، ناصر پیغمبریان، استفان کوچ، آندره میزیروویچ، ترجمه دکتر حمید رضا مهاجری مقدم، دکتر حبیب تجلی، چاپ اول، انتشارات آستان قدس رضوی، (۱۳۸۰).
- [۱۲] J. W. Matthews and A. E. Blakeslee; J. Cryst. Growth 27; 118 (1974).
- [۱۳] C. G. V. de Walle; Phys. Rev. B 39, 1871 (1989).
- [۱۴] O. Ambacher; J. Majewski; C. Miskys; A. Link; M. Hermann; M. Eickhoff; M. Stutzmann; F. Bernardini; V. Fiorentini; V. Tilak; B. Schaff and L. F. Eastman; J. Phys. Condens. Matter **14** (2002).
- [۱۵] M. Suzuki;T. Uenoyama; *Electronic and Optical Properties of GaN based Quantum Wells*, in *Group III-Nitride Semiconductor Compounds, Physics and Applications*; ed. By B. Gil (Clarendon. Oxford 1998).
- [۱۶] J. Barden and W. Shockley; Phys. Rev. B **80**,72, (1950).

- [<sup>17</sup>] G. E. Pikus and G. L. Bir; Soviet Phys. – Solid State **1**, 1502 (1959).
- [<sup>18</sup>] S.C.Jain; M. Willander; J.Narayan; R.Van Overstraeten; J. Appl. Phys. Rev. Vol. **87**, No **3**, 965(2000).
- [<sup>19</sup>] H. Morkoc; *Nitride Semiconductors and Devices*; ed. By R. Hull; R. M. Osgood; Jr. H. Sakaki, and A. Zunger; Springer-Verlage, (1999).
- [<sup>20</sup>] J. R. Waldrop and R. W. Grant, Appl. Phys. Lett. **68**, 2879 (1996).
- [<sup>21</sup>] G. Martin, A. Botchkarev, A. Rockett, and H. Morkoc, Appl. Phys. Lett. **68**, 2541 (1996).
- [<sup>22</sup>] F. Bernardini; V. Fiorentini; Phys. Rev. B **57**, R, 427 (1998).
- [<sup>23</sup>] G. Martin; S.Strite; A.Botchkarev; A. Agarwal; A. Rocket; W. R. L. Lambrecht and B. Segall; *Valence band discontinuity between GaN and AlN measured by X-ray photoemission spectroscopy copy*; Appl. Phys. Lett. **65**, 610 (1994).
- [<sup>24</sup>] C. G. V. de Walle and J. Neugebauer, Appl. Phys. Lett. **70**, 2577 (1997).
- [<sup>25</sup>] S. Wei and A. Zunger; Appl. Phys. Lett. **69**, 2719 (1996).
- [<sup>26</sup>] S.C. Jain, M. Willander, j. Narayan, R. Van Overstraeten, J. Appl. Phys. **87**, 965-1006 (2000).
- [<sup>27</sup>] R. Dingle; H. L. Stormer; A. C. Gossard and W. Wiegmann; Appl. Phys. Lett. **33**, 665 (1978).
- [<sup>28</sup>] J. Hammersberg; *Electronic Structure and Optical Properties of InGaAs and InAsP Semiconductor Quantum Wires*; dissertation No.541, Linkoping University- IFM, (1998).

# فصل ۵:

## معرفی میدانهای قطبشی داخلی در نانو ساختارهای کوانتمی نیتروژندار و محاسبه میدانها در نمونه های

### مورد مطالعه

- مقدمه
- قطبش پیزوالکتریک
- قطبش خود به خودی
- ساختار نمونه های مورد مطالعه در این پروژه
- اثر کوانتمی محدود شده استارک
- محاسبه اندازه میدان قطبشی پیزوالکتریک و خود به خودی در چاه های کوانتمی  
چندگانه  $\text{GaN}/\text{Al}_{x,y}\text{Ga}_{z,w}\text{N}$
- میدان تهی و محاسبه مقدار آن در چاه های کوانتمی  $\text{GaN}/\text{Al}_{x,y}\text{Ga}_{z,w}\text{N}$
- اثر حامل های آزاد(حامل های آالایشی و تزریقی<sup>۱</sup> و نوری) در فرآیند های باز ترکیب و استقرار میدان های قطبشی داخلی در تری نیترایدها

<sup>1</sup> Injected carrier

دیگری اختلاف در ضرایب انبساط گرمایی دو لایه که روی یکدیگر رشد داده شده اند؛ هر دوی اینها باعث به وجود آمدن بارهای قطبشی در سطح مشترک دو لایه شده و این بارها منجر به یک میدان به نام میدان پیزوالکتریک می‌شوند. در ذیل مولفه‌های قطبش پیزوالکتریک برای چاه‌های کوانتمومی که در این پایان نامه بررسی شده اند بدست می‌آوریم. همان‌طور که در بخش (۴-۵) اشاره شد رابطه بین استرس و کرنش به صورت

$$\sigma_i = \sum_j C_{ij} \varepsilon_j \quad (1-5)$$

می‌باشد که مولفه‌های تانسور الاستیک،  $C_{ij}$ ‌ها، در رابطه (۴-۲۰) معرفی شده اند. در مورد نمونه‌های ما چون جهت رشد بلور، در جهت [۱۰۰] بوده و هیچ نیروی در این جهت به بلور وارد نشده است لذا کریستال کاملاً عاری از استرس در این جهت می‌باشد و در نتیجه کرنش دو مولفه‌ای حاصل ( $\varepsilon_2 = \varepsilon_1$ ) که از آن در بخش ۵-۴ صحبت کردیم، باعث به وجود آمدن استرس‌های  $\sigma_1 = \sigma_2$  می‌شود و  $\sigma_3$  نیز برابر صفر خواهد شد. و لذا با استفاده از رابطه (۱-۵) و ماتریس  $C_{ij}$  رابطه بین کرنش در امتداد محور  $c$  و کرنش در صفحه  $x-y$  به صورت [۲]:

$$\varepsilon_3 = -2 \frac{C_{13}}{C_{33}} \varepsilon_1 \quad (2-5)$$

به دست می‌آید. قطبش پیزوالکتریک برای بلورهای شش گوشی با گروه تقارنی بلوری  $C_{6v}$  توسط رابطه زیر داده می‌شود [۳]:

$$P_i^{Pz} = \sum_i d_{il} \sigma_l \quad i = 1, 2, 3, \dots \quad l = 1, \dots, 6 \quad (3-5)$$

که  $P_i^{Pz}$  مولفه‌های قطبش پیزوالکتریک هستند. با استفاده از رابطه‌های تقارنی بین  $d_{il}$  ها، ( $d_{31} = d_{32}, d_{15} = d_{24}, d_{33} \neq 0$ ) و بقیه مولفه‌های  $d_{11}, d_{12}, d_{13}$  همگی صفر هستند، خواهیم دید که فقط سه مولفه زیر از قطبش پیزوالکتریک وجود خواهند داشت [۲]:

$$P_1^{Pz} = \frac{1}{2} d_{15} \sigma_5 \quad (4-5)$$

$$P_2^{Pz} = \frac{1}{2} d_{15} \sigma_4 \quad (5-5)$$

$$P_3^{Pz} = d_{31} (\sigma_1 + \sigma_2) + d_{33} \sigma_3 \quad (6-5)$$

با یادآوری این که در مورد نمونه ما  $\sigma_1 = \sigma_2 = \sigma_3 = 0$  است و استرس های پیچشی خیلی ناچیز درنظر گرفته شده اند. لذا  $\sigma_4 = \sigma_5 = 0$  خواهد شد و عملاً فقط مولفه در جهت z قطبش پیزوالکتریک،  $P_3^{Pz}$ ، باقی خواهد ماند

$$P_3^{Pz} = 2d_{31}\sigma_1 = 2d_{31}\epsilon(C_{11} + C_{12} - \frac{2C_{13}^2}{C_{33}}) \quad (7-5)$$

بایستی ذکر کنیم که برای توصیف خواص پیزوالکتریک نیمرساناهای نیتروژندار بیشتر از ضرایب  $e_{kl}$  استفاده می شود تا  $d_{il}$ . این ضرایب توسط رابطه زیر بدست می آید:

$$e_{kl} = \sum_j d_{kj} C_{jl} \quad k = 1, 2, 3 \quad l = 1, \dots, 6 \quad j = 1, \dots, 6 \quad (8-5)$$

و قطبش پیزوالکتریک بر حسب کرنش به صورت:

$$P_k^{Pz} = \sum_l e_{kl} \epsilon_l \quad (9-5)$$

به دست خواهد آمد؛ و در نتیجه تنها مولفه قطبش پیزوالکتریک در نمونه های ما به صورت زیر ساده خواهد شد:

$$P_3^{Pz} = \epsilon_1 e_{31} + \epsilon_2 e_{32} + \epsilon_3 e_{33} \quad (10-5)$$

$$= 2\epsilon_1 (e_{31} - e_{33} \frac{C_{13}}{C_{33}}) \quad (11-5)$$

$$= 2(\frac{a - a_0}{a_0}) \left[ e_{31} - e_{33} \frac{C_{13}}{C_{33}} \right] \quad (12-5)$$

قطبش پیزوالکتریک در حالت کلی هر جهت دلخواهی را می تواند داشته باشد ولی به طور معمول (و البته در مورد نمونه های مورد بررسی در این پایان نامه) جهت آن، در جهت رشد بلور یعنی در امتداد محور C می باشد [۴]. در بخش های بعد این فصل اندازه این میدان را برای نمونه های  $GaN/Al_{0.07}Ga_{0.93}N$  به دست خواهیم آورد.

### ۳-۵- قطبش خود به خودی

همان طور که از نام گذاری این قطبش الکتریکی بر می آید این قطبیدگی به طور خود به خودی در بلور به وجود می آید. در بلورها یا لایه هایی که ساختار ورتسایتس دارند به علت تقارن پایین بلور، مرکز بارهای مثبت و منفی بر روی یکدیگر قرار نمی گیرند و در نتیجه بلور به طور خود به خودی

قطبیده می شود و این قطبیدگی باعث به وجود آمدن میدان الکتریکی در داخل بلور(در اینجا چاه های کوانتومی) می شود[۴،۵]. در ادامه اثر این میدان را بر روی طیف PL حاصل از چاه های کوانتومی نیتروژن دار به طور تجربی و تئوری بررسی خواهیم کرد. در حقیقت قطبش خود به خودی به این معنی است که حتی در ساختارهای نامتجانسی که لایه و زیر لایه کاملاً بر هم منطبق هستند و هیچ عدم انطباقی وجود ندارد(در حقیقت هیچ کرنشی و پیزوالکتریسیتی وجود ندارد) یک میدان الکتریکی به علت قطبش خود به خودی در ساختار وجود خواهد داشت. به علاوه برخلاف قطبش پیزوالکتریک، قطبش خود به خودی دارای جهت ثابتی در ساختار می باشد. در ساختارهای ورتسایتس قطبش خود به خودی در جهت [0001] است که همان امتداد رشد بلور می باشد. در کاربردهای عملی، بیشتر از آلیاژهای نیتروژن دار استفاده می شود. از آنجایی که مقادیر قطبش خود به خودی فقط برای ترکیبات دوتایی به دست آمده، در غیاب یک تخمین بهتر، فرض می کنیم که قطبش خود به خودی از قانونی شبیه به قانون و گارد برای آلیاژهای سه تایی و چهارتایی به دست آید. برای مثال در مورد آلیاژهای  $\text{Al}_x\text{In}_y\text{Ga}_{(1-x-y)}\text{N}$  قطبش خود به خودی از رابطه زیر به دست می آید[۶،۷]

$$P_{\text{Al}_x\text{In}_y\text{Ga}_{(1-x-y)}\text{N}}^{Sp} = xP_{\text{AlN}}^{(Sp)} + yP_{\text{InN}}^{(Sp)} + (1-x-y)P_{\text{GaN}}^{(Sp)} \quad (13-5)$$

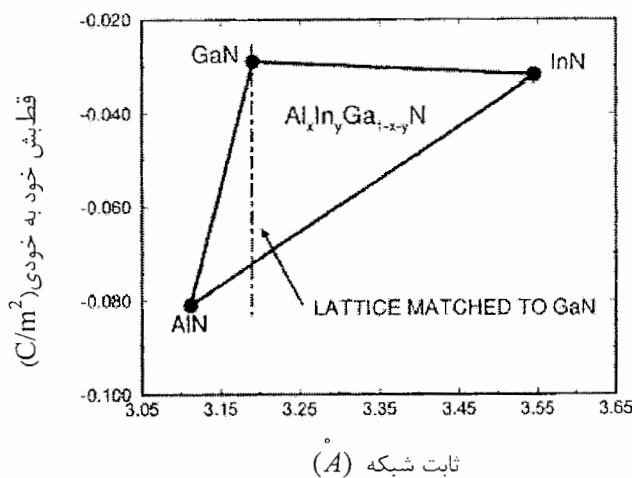
مقادیر قطبش خود به خودی و پیزوالکتریک برای ترکیبات دوتایی تری نیترایدها همراه با بعضی از ضرایب مهم در جدول ۱-۵ آورده شده است. در شکل ۱-۵ با استفاده از داده های مرجع [۸] قطبش خود به خودی بر حسب ثابت شبکه در ترکیبات نیتروژن دار و آلیاژهای آن رسم شده است.

جدول ۱-۵: مقادیر قطبش خودبه خودی و پیزوالکتریک، ثابت های پیزوالکتریک مهم، ثابت های الاستیک و ثابت شبکه برای تری نیترایدها[۶،۹].

	$P_{Sp}$ (c/m <sup>2</sup> )	$P_{Pz}$ (c/m <sup>2</sup> )	$e_{33}$ (c/m <sup>2</sup> )	$e_{31}$ (c/m <sup>2</sup> )	$C_{33}$ (Gpa)	$C_{31}$ (Gpa)	$a(Wz)$ (Å)	$c/a$	$\varepsilon_1$
AlN	-0.1090	-0.1081	1/50	-0.153	377	94	2/112	1/60.9	6/9
GaN	-0.1024	-0.1029	0/67	-0.124	254	68	2/189	1/6259	1/8
InN	-0.1042	-0.1032	-1/81	-0.141	20.5	70	2/544	1/6124	4/0

<sup>†</sup> Bernardini et. al. (1997)

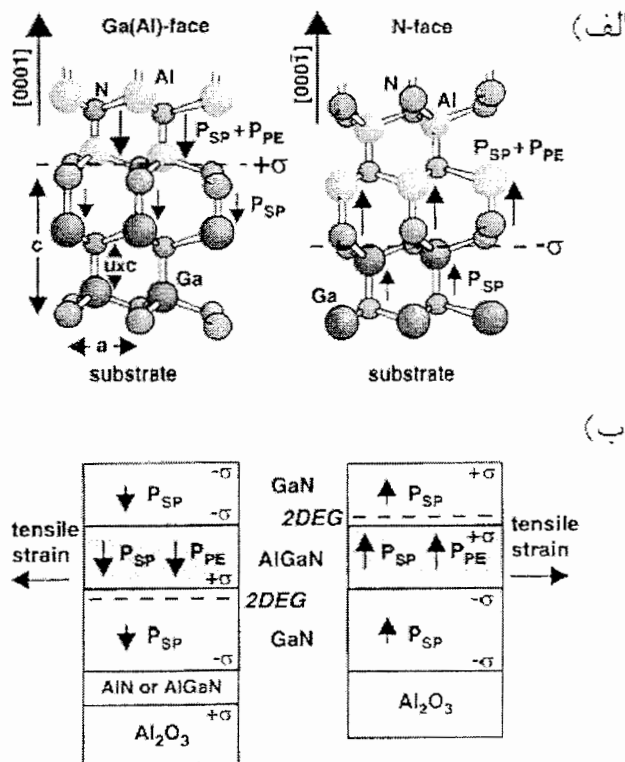
شکل ۱-۵ نشان می دهد که اولاً مقادیر قطبش خود به خودی تقریباً بزرگ هستند و از GaN به InN و AlN افزایش می یابد؛ ثانیاً برای یک ثابت شبکه مفروض بازه وسیعی از مقادیر قطبش خود به خودی با تغییر میزان درصد مولی ترکیبات به دست می آید. در مقام مقایسه در ساختارهایی که بر پایه GaN/AIGaN بنا نهاده شده اند، مقدار قطبش خود به خودی بزرگتر از مقدار قطبش پیزوالکتریک می باشد.



شکل ۱-۱: مقادیر قطبش خود به خودی محاسبه شده با استفاده از قانون و گارد برای آلیاژهای  $\text{Al}_x\text{In}_y\text{Ga}_{(1-x-y)}\text{N}$ . [۴]

نکته مهم دیگری که در این جا بایستی به آن اشاره کنیم این است که قطبش با پلاریتی کریستال ارتباط مستقیم دارد یعنی بسته به اینکه در امتداد محور C (جهت رشد)، پیوندها از کاتیون به سمت آنیون باشد یا آنیون به سمت کاتیون جهت قطبش فرق خواهد کرد. در ترکیبات نیتروژندار، جهت مثبت برای تعریف جهت میدان های قطبشی، از اتم کاتیون به نزدیکترین همسایه نیتروژن (atom آنیون) در امتداد محور C تعریف می شود [۱۰]. وقتی که پیوندها در امتداد محور C از اتم کاتیون (Ga) به سمت اتم آنیون (N) باشد، به این نوع پلاریتی، پلاریتی گالیم (Ga) گفته می شود و جهت پیوندها از Ga به N در امتداد محور C نشان دهنده جهت [۰۰۱] می باشد، که عموماً همان جهت +Z است و به طور مشابه اگر پیوندها در امتداد محور C از اتم آنیون (N) به سمت اتم کاتیون (Ga) باشد، به پلاریتی، پلاریتی نیتروژن (N) گفته می شود و جهت پیوند از اتم نیتروژن به اتم Ga در

امتداد محور C نشان دهنده جهت [0001] می باشد. که عموماً جهت Z- می باشد. وقتی یک لایه بافر از GaN روی زیر لایه Sapphire با روش رشد MOCVD رشد داده شود سطح لایه با اتم های Ga پوشیده خواهد شد و نمونه اصطلاحاً Ga-face خواهد شد. یعنی لایه آخر در این روش رشد، با اتم های Ga پوشیده خواهد شد؛ در حالی که اگر همین لایه توسط روش MBE رشد داده شود نمونه N-face خواهد شد و جهت میدان خود به خودی تغییر خواهد کرد و معکوس خواهد شد. در هر حال جهت قطبش خود به خودی در بلورهای با ساختار ورتسایتس یک امتداد ثابت یعنی راستای رشد کریستال می باشد [۱۰]. در شکل ۲-۵ طرح شماتیکی از یک ساختار نامتجانس AlN/GaN و GaN/AlGaN/GaN همراه با جهت قطبش های داخلی در نمونه های Ga-face و N-face نشان داده شده است.



شکل ۲-۵: الف) شکل شماتیک ساختار بلوری، بارهای قطبی و جهت میدان های قطبی در ساختار ناهمگون AlN/GaN که به صورت Ga-face و N-face رشد یافته است. ب) نمایش قطبش خود به خودی و پیزوالکتریک و محل تشکیل گاز الکترونی دو بعدی در ساختار ناهمگون GaN/AlGaN/GaN که به صورت Ga-face و N-face رشد یافته است [۱۰].

چون برای آلیاژهای  $\text{Al}_x\text{Ga}_{1-x}\text{N}$  به ازای هر مقداری از  $x$  مقدار  $(\frac{C_{13}}{C_{33}} - e_{31})$  منفی می‌باشد

در نتیجه قطبش پیزوالکتریک در لایه‌های  $\text{AlGaN}$  تنش یافته با کرنش کششی، منفی است و برای کرنش تراکمی مشبت خواهد بود. در نتیجه جهت قطبش پیزوالکتریک و خود به خودی در مورد کرنش کششی یکسان خواهد بود و در مورد کرنش تراکمی غیر هم جهت خواهد بود(شکل ۲-۵ را ملاحظه کنید) [۱۰].

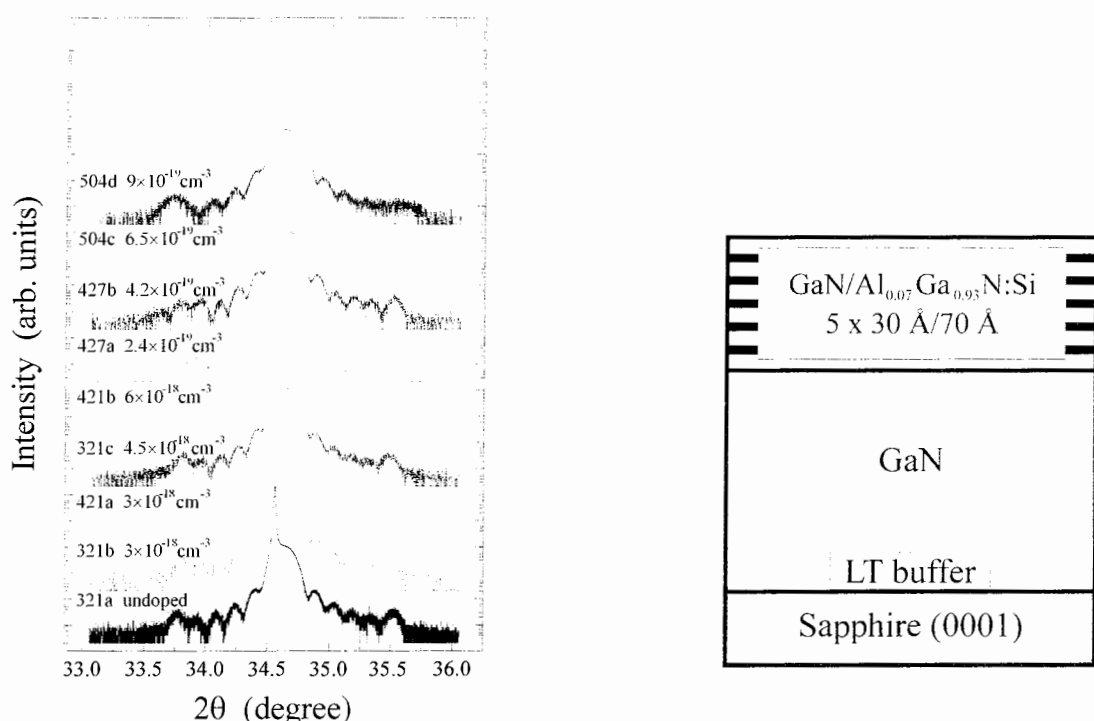
#### ۴-۵- ساختار نمونه‌های مورد مطالعه در این پروژه

نمونه‌های مورد مطالعه یک دسته از چاه‌های کوانتمی چندگانه  $\text{GaN}/\text{Al}_{0.7}\text{N}_{0.2}\text{Ga}$  می‌باشد که تمامی این نمونه‌ها با روش رسوب گذاری بخار شیمیایی (MOCVD) بر روی زیرلایه Sapphire و در جهت [۰۰۰۱] رشد یافته‌اند. روی زیرلایه یک لایه میانی با دمای پایین از جنس  $\text{AlN}$  به ضخامت  $20 \text{ nm}$  جهت پایداری لایه‌ها و یک لایه بافر  $\text{GaN}$  بدون آلایش به ضخامت تقریبی  $2 \mu\text{m}$  رشد داده شده است. به دلیل حضور لایه ضخیم  $\text{GaN}$  اثر عدم انطباق ثابت شبکه زیر لایه اکسید آلمینیم با ثابت شبکه در ناحیه فعال قابل اغماس خواهد بود. بعد از لایه  $\text{GaN}$  بافر، ناحیه فعال که شامل پنج لایه متناوب از چاه‌های کوانتمی  $\text{GaN}$  و سدهای  $\text{AlGaN}$  می‌باشد رشد داده شده است. جزئیات نمونه‌ها در جدول شماره ۲-۵ نشان داده شده است. همچنین در شکل ۳-۵ طرح شماتیکی از نمونه‌های مورد بررسی با پهنای چاه  $3 \text{ nm}$  و سد  $7 \text{ nm}$  نشان داده شده است. تمام نمونه‌ها در ناحیه سد، توسط اتم‌های سیلیکون آلایش یافته‌اند و مقدار آلایش از  $(10^{16} \text{ cm}^{-3})$  چگالی ذاتی الکترون‌ها در  $\text{GaN}$  تا حدود  $(10^{19} \text{ cm}^{-3})$  متغیر می‌باشد. باید اشاره کنیم که ضخامت لایه‌ها با روش پراش اشعه  $X$ <sup>i</sup> (XRD) بدست آمده است. طیف XRD نمونه‌ها در شکل ۴-۵ نشان داده شده است.

<sup>i</sup> X-ray diffraction

جدول ۲-۵: میزان آلایش Si، پهنهای چاه، درصد آلومینیم و پهنهای سد در چاه های کوانتمی مورد بررسی (همه نمونه ها در سد آلایش یافته اند)

غلفت حامل ها (cm <sup>-3</sup> )	پهنهای چاه (°A)	درصد Al	پهنهای سد (°A)
بدون آلایش	۳۰	۰/۰۷	۷۲
$۳/۰ \times 10^{18}$	۳۰	۰/۰۷	۷۲
$۶/۰ \times 10^{18}$	۳۱	۰/۰۷	۷۶
$۲/۴ \times 10^{19}$	۳۰	۰/۰۷	۷۴
$۴/۲ \times 10^{19}$	۳۱	۰/۰۷	۷۵
$۶/۵ \times 10^{19}$	۳۰	۰/۰۷	۷۰
$۹/۰ \times 10^{19}$	۳۰	۰/۰۷	۷۰

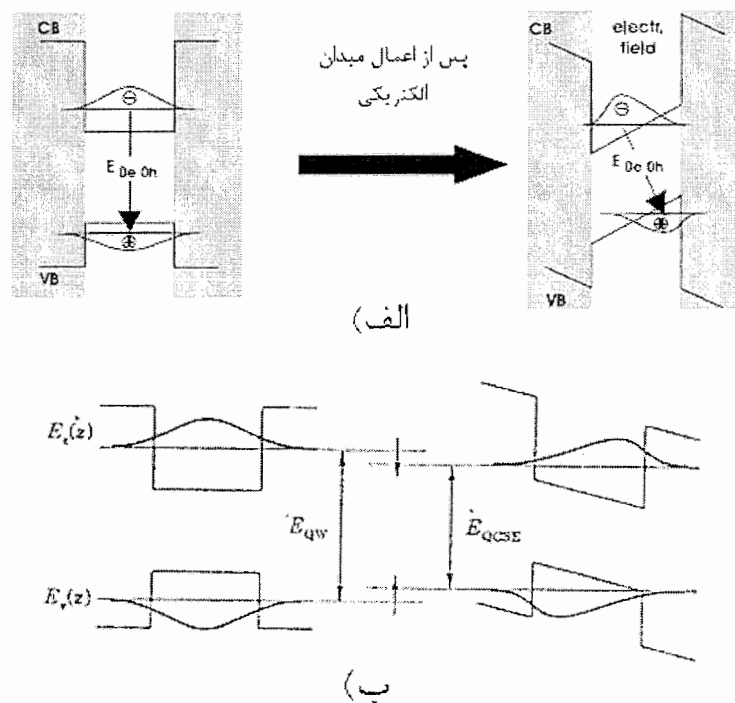


شکل ۵-۴: طیف XRD نمونه های مورد بررسی در پایان نامه

شکل ۵-۳: شکل شماتیکی از چاه های کوانتمی چندگانه GaN/AlGaN با پهنهای چاه ۳nm

## ۵-۵- اثر کوانتمی محدود شده استارک<sup>۱</sup>

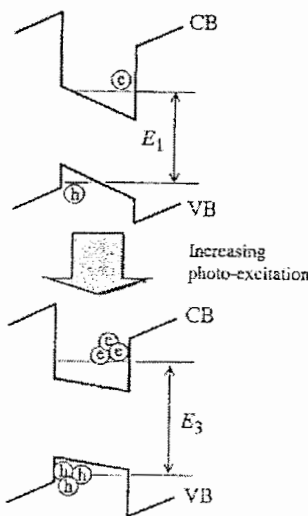
میدان های قطبی داخلی که در جهت محور  $z$  در چاه کوانتمی نیتروژندار(چاه های کوانتمی چندگانه GaN/AlGaN در این پروژه) به وجود می آیند باعث خمین چاه پتانسیل و در نتیجه هدایت توابع موج الکترونها و حفره ها به دیواره های مقابل در داخل چاه پتانسیل می گردند و در نتیجه انرژی حالت پایه الکtron و حفره دستخوش تغییر شده و کاهش می یابد. در شکل ۵-۵ این موضوع با یک طرح شماتیک نشان داده شده است. این شیفت در انرژی گسیلی حاصل از بازترکیب الکترون ها و حفره ها در نتایج حاصل از لومینسانس بوضوح دیده می شود و به عنوان اثر کوانتمی محدود شده استارک(QCSE) معروف است. حرکت حامل ها به دو طرف مقابل هم باعث کاهش همپوشانی توابع موج الکترون و حفره و در نتیجه کاهش احتمال بازترکیب می گردد. این اثر در چاه های کوانتمی که از نیمرسانهای نیتروژندار ساخته می شوند نسبتاً قوی می باشد[۱۱،۱۲].



شکل ۵-۵: ا) طرح شماتیک یک چاه کوانتمی اغتشاش نیافته و اغتشاش یافته در اثر وجود میدان های قطبی داخلی[۲] . ب) مقدار کاهش در انرژی حاصل از بازترکیب حامل ها در چاه کوانتمی، ناشی از اثر کوانتمی استارک به وضوح نشان داده شده است[۱۱].

<sup>۱</sup> Quantum Confined Stark Effect(QCSE)

در ساختارهای چاه کوانتمی  $\text{GaN}/\text{Al}_x\text{Ga}_{1-x}\text{N}$  این شیفت انرژی حاصل از بازترکیب تحت تاثیر عواملی مختلفی از جمله چگالی حامل‌های آلایشی و نوری قرار می‌گیرد. شکل ۶-۵ به این موضوع اشاره دارد. در حقیقت می‌توان با وارد کردن مقادیر زیادی حامل‌های بار با تکنیک‌ها و روش‌های مختلف میدانهای قطبشی به وجود آمده در چاه‌ها را کاهش داد.



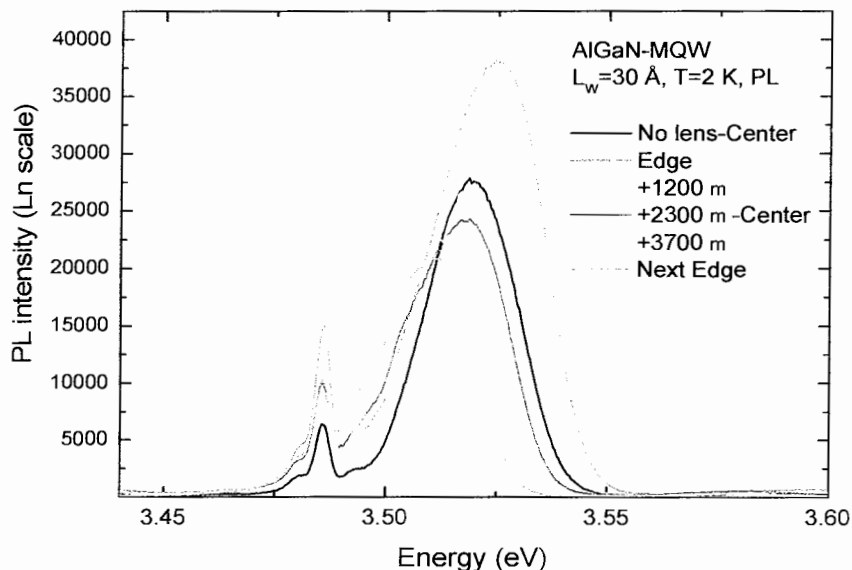
شکل ۶-۵. کاهش اثر محدود شده کوانتمی استارک در اثر افزایش حامل‌های نوری در یک چاه کوانتمی (به کاهش خمیدگی کف چاه پتانسل که ناشی از استثمار موثر میدان‌های داخلی چاه می‌باشد توجه کنید).

#### ۶-۵- محاسبه اندازه میدان قطبشی پیزوالکتریک و خود به خودی در چاه‌های کوانتمی

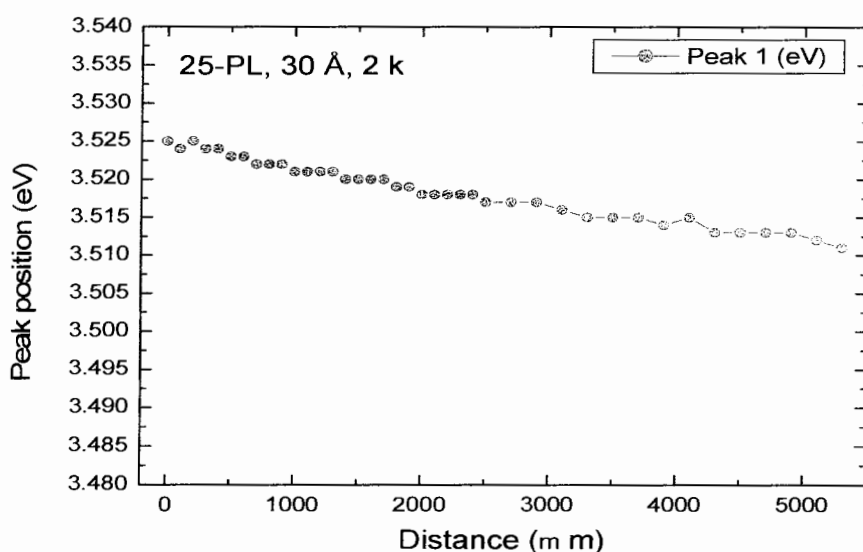
چندگانه  $\text{GaN}/\text{Al}_{0.12}\text{Ga}_{0.88}\text{N}$

در این قسمت اندازه میدان‌های قطبشی پیزوالکتریک و خود به خودی که در بخش‌های قبل معرفی شدند را محاسبه می‌کنیم. البته باید به این نکته اشاره کنم که اندازه این میدان به صورت موضعی و از یک محل به محل دیگر در یک چاه کوانتمی مفروض تغییر خواهد کرد و ما به صورت تقریبی و برای انجام این محاسبه اندازه آن را یکنواخت در نظر می‌گیریم. در شکل ۷-۵ طیف فوتولومینسانس نمونه بدون آلایش و با پهنهای چاه  $3\text{nm}^3$  در نقاط مختلف در عرض این نمونه نشان داده شده است. همانطور که از شکل مشخص است افت و خیزهایی را در موقعیت قله مشاهده می‌کنیم که برای اینکه به طور واضح دیده شود در شکل ۸-۵ محل پیک طیف فوتولومینسانس حاصل از چاه کوانتمی برای این نمونه در صورتیکه نور لیزر فروندی عرض نمونه‌ها را با فاصله ۱۰۰

میکرون جاروب می کند نشان داده شده است. این افت و خیزها مربوط به تغییر میدان قطبشی پیزوالکتریک محلی در نقاط مختلف در سر تا سر نمونه به دلیل وجود تنشهای موضعی در مرحله رشد نمونه و نیز غیر یکنواختی توزیع Al در سد AlGaN می باشد. تغییرات میدانهای قطبشی محلی در میزان شیفت انرژی به دلیل اثر کوانتموی استارک بر روی جابجایی قله مربوط به چاههای کوانتموی، مؤثر است.



شکل ۷-۵ : جابجایی قله های فوتولومینسانس در چاههای ۳nm هنگامیکه باریکه نور لیزر فروودی در عرض نمونه ها جابجا می شود



شکل ۷-۶ : تغییرات ۱۰۰ میکرونی از جابجایی قله های فوتولومینسانس در سرتاسر نمونه ۳۰ Å

با فرض اینکه ثابت شبکه تنش یافته برای چاه های GaN در دماهای پایین در حدود  $3/183 \text{ \AA}^\circ$  باشد [۲۰، ۱۳]، در این صورت همان طور که گفته شد تنها مولفه قطبش پیزوالکتریک در مورد نمونه های ما از رابطه زیر به دست می آید:

$$P^{(Pz)} = \frac{2(a - a_0)}{a_0} \left[ e_{31} - e_{33} \frac{C_{13}}{C_{33}} \right] \quad (14-5)$$

که در آن  $a$  و  $a_0$  به ترتیب ثابت های شبکه تنش یافته و تنش نیافته می باشند. با استفاده از مقادیر  $a = 3/183 \text{ \AA}^\circ$  و  $a_0 = 3/189 \text{ \AA}^\circ$  برای چاه های GaN و استفاده از مقادیر  $\frac{C_{13}}{C_{33}} = 0.28$  و  $e_{33} = 0.67(c/m^2)$  و  $e_{31} = -0.34(c/m^2)$  [۲]، مقدار قطبش پیزوالکتریک برای چاه های  $\text{GaN}/\text{Al}_{x,y}\text{GaN}$  بدست می آید. در مورد سدهای  $P^{Pz} = 0.002(c/m^2)$ ،  $\text{GaN}$  مقدار  $a_0$  برابر  $3/183 \text{ \AA}^\circ$  است. و اگر از مقدار  $a$  فوق استفاده کنیم،  $P^{Pz} = 0$  خواهد شد. در مورد قطبش خود به خودی نیز با استفاده از قانون وگارد و استفاده از مقادیر جدول ۱-۵ مقدار قطبش خود به خودی برای سدها و چاه ها به ترتیب:

$$P_{\text{AlGaN}}^{Sp} = -0.038(c/m^2) \quad (15-5)$$

$$P_{\text{GaN}}^{Sp} = -0.034(c/m^2) \quad (16-5)$$

به دست می آید. در نتیجه قطبش کل برای سدهای AlGaN و چاه های GaN به صورت:

$$P_{\text{tot}}^{\text{AlGaN}} = P_{\text{AlGaN}}^{(Sp)} + P_{\text{AlGaN}}^{(Pz)} = -0.038(c/m^2) \quad (17-5)$$

$$P_{\text{tot}}^{\text{GaN}} = P_{\text{GaN}}^{(Sp)} + P_{\text{GaN}}^{(Pz)} = -0.032 \quad (18-5)$$

به دست می آید. حال با داشتن مقدار قطبش کل و استفاده از رابطه های [۴]

$$E_w = (P_b - P_w)L_w / [(L_w + L_b)\epsilon_0\epsilon] \quad (19-5)$$

برای چاه های GaN و

$$E_b = (P_w - P_b)L_w / [(L_w + L_b)\epsilon_0\epsilon] \quad (20-5)$$

برای سدهای AlGaN و استفاده از مقادیر عددی  $L_b = 7 \text{ nm}$  و  $L_w = 3 \text{ nm}$  و  $\epsilon = 10$  مقدار

و برای نمونه بدون آلایش به صورت زیر به دست می آید:

$$E_w = -0.48(MV/cm) \quad (21-5)$$

$$E_b = +0.20 \text{ (MV/cm)} \quad (22-5)$$

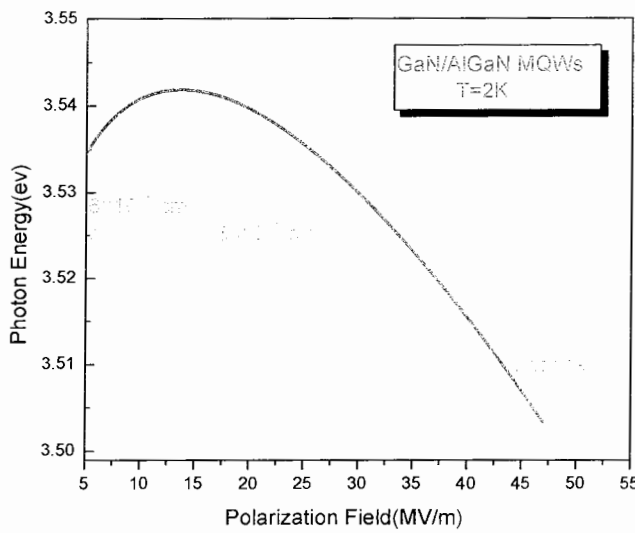
در مورد نمونه های آلایش یافته مقدار میدان قطبشی کل در چاه ها از رابطه [۱۴، ۱۷]:

$$E_w^{tot} = (eN_s + P_b - P_w)L_b / [(L_w + L_b)\epsilon_0\epsilon_r] \quad (23-5)$$

بدست می آید که به ترتیب برای نمونه های با آلایش  $(cm^{-3}) \times 10^{18}$  و  $(cm^{-3}) \times 10^{19}$  مقدار به ترتیب  $(MV/m) 21/3$  و  $6$  به دست می آید. همانطور که گفته شد در حضور یک میدان الکتریکی چاه پتانسیل مربعی خمیده شده و به یک چاه مثلثی [۱۵، ۱۶] در تقریبی خیلی ساده تبدیل می شود با استفاده از رابطه [۱۷]:

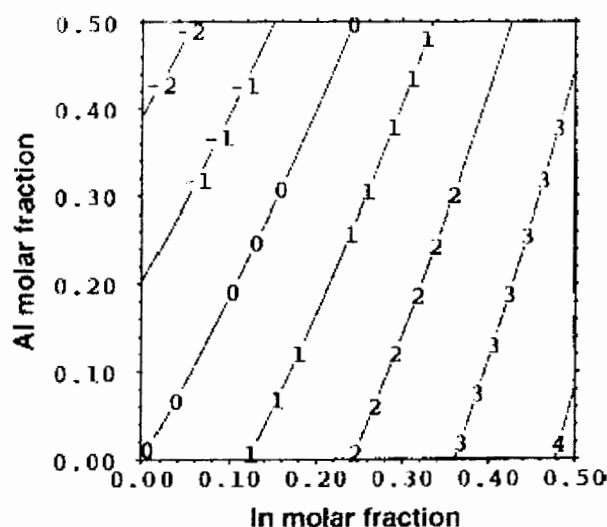
$$E_{e-hh} = E_g - E_w L_w^{eff} + \left[ \frac{9\pi\hbar e E_w}{8\sqrt{2}} \right]^{\frac{2}{3}} \left[ \left( \frac{1}{m_e^*} \right)^{\frac{1}{3}} + \left( \frac{1}{m_h^*} \right)^{\frac{1}{3}} \right] \quad (24-5)$$

می توان انرژی بازترکیب حاصل از حفره سنگین و الکترون را در تراز پایه به دست آورد، که در آن  $L_w^{eff}$  پنهانی موثر چاه کوانتومی می باشد، با استفاده از مقادیر عددی  $m_{GaN,e} = 0.22m_0$  و  $m_{GaN,hh} = 1.76m_0$  برای جرم های موثر [۱۸]، می توان انرژی بازترکیب بین حفره و الکترون در تراز پایه را به دست آورد. با رسم نمودار انرژی پیک حاصل از  $QW$  ناشی از بازترکیب الکترون و حفره سنگین در تراز پایه بر حسب مقدار میدان الکتریکی قطبشی در آلایش های مختلف می بینیم که توافق خوبی بین مقادیر انرژی گذار در تراز پایه  $E_{e,hh}$ ، که با این تئوری ساده پیش بینی می شود، و گسیل انرژی PL برای نمونه های بدون آلایش و آلایش پایین وجود دارد (شکل ۹-۵) را ملاحظه کنید. توجه کنید که هنگامی که انرژی جایگزیدگی اکسیتیون درنظر گرفته شود، نقاط تجربی شکل ۹-۵ به اندازه ۱۴-۶ mev به طرف بالا شیفت پیدا خواهند کرد. با افزایش آلایش سیلیکونی، استتار میدان های قطبشی افزایش یافته در نتیجه  $E_{e,hh}$  به سمت انرژی های بیشتر شیفت پیدا خواهد کرد. باستی اشاره کنیم که رابطه (۲۴-۵) فقط در آلایشهای پایین صادق می باشد و در آلایشهای سیلیکونی بالا اعتبار ندارد.

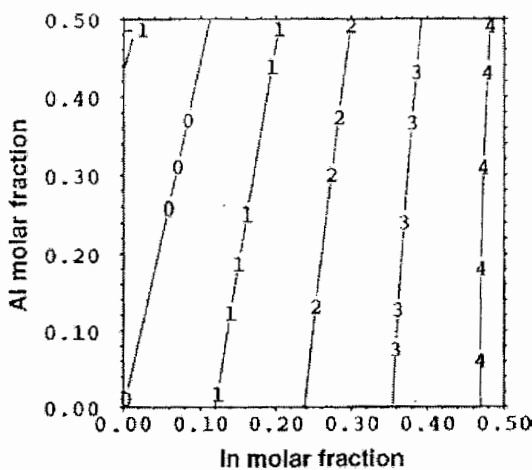


شکل ۹-۵: انرژی محاسبه شده حاصل از بازترکیب بین الکترون و حفره سنگین در تراز پایه،  $E_{e,hh}$ ، در تقریب چاه کوانتمی مثلثی که به اندازه انرژی بستگی اکسیتون،  $28\text{meV}$ ، در حالت نبود میدان الکتریکی کاهش یافته است؛ همراه با انرژی پیک  $QW$  در چند نمونه با آلایش های پایین.

میدان های قطبشی داخلی به مقدار ترکیب های (درصد مولی) مواد سازنده چاه کوانتمی ارتباط مستقیم دارد. فرض کنید یک چاه کوانتمی چندگانه  $\text{Al}_x\text{In}_y\text{Ga}_{(1-x-y)}\text{N}/\text{GaN}$  که روی زیر لایه  $\text{GaN}$  رشد یافته، در اختیار داریم. مقادیر میدان قطبشی کل که به روش تئوری به دست آمده بر حسب درصدهای مولی  $\text{Al}$  و  $\text{In}$  در شکل ۱۰-۵ نشان داده شده است. مولفه پیزوالکتریک میدان قطبشی کل نیز در شکل ۱۱-۵ بر حسب درصد مولی  $\text{Al}$  و  $\text{In}$  نشان داده شده است.



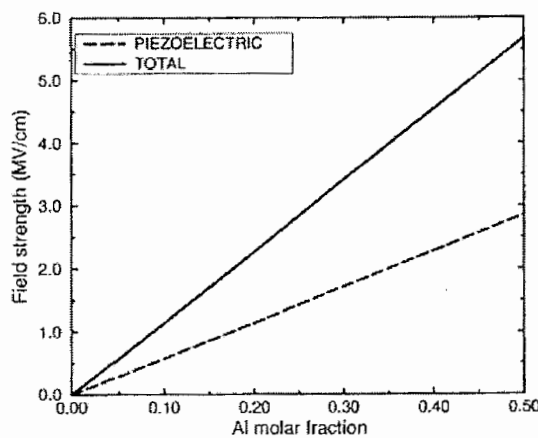
شکل ۱۰-۵: میدان قطبشی الکترواستاتیکی کل در ناحیه فعال چاه کوانتمی چندگانه  $\text{Al}_x\text{In}_y\text{Ga}_{(1-x-y)}\text{N}/\text{GaN}$  بر حسب درصد مولی  $\text{Al}$  و  $\text{In}$  (میدان ها در روی شکل بر حسب  $\text{MV/cm}$ ) بیان شده اند و جهت مثبت میدان راستای [۰۰۰۱] فرض شده و نمونه  $\text{Ga-face}$  می باشد.<sup>[۴]</sup>



شکل ۱۱-۵: مولفه پیزوالکتریک میدان قطبشی الکترواستاتیکی کل در ناحیه فعال چاه کوانتموی چندگانه بحث شده در شکل ۸-۵ [۴].

در هر دو مورد قانون و گارد برای محاسبه اندازه میدان‌ها استفاده شده است. مقایسه این دو شکل، نقش مهم قطبش‌های خود به خودی را در میدان الکتریکی موجود در داخل چاه کوانتموی مورد بحث را روشن می‌کند. درنگاه اول به این نمودارها چند نکته اساسی به نظر می‌رسد. اول اینکه در غلظت‌های مولی متوسط از Al و In میدان‌های الکتریکی تقریباً بزرگی ( $\frac{MV}{cm}$ )  $(1 - 1/5)$  بدست می‌آید. ثانیاً به راحتی می‌توان درصد مولی ترکیباتی از  $N_{(1-x-y)}$   $Al_xIn_yGa$  را پیدا کرد که از لحاظ ثابت شبکه با  $GaN$  منطبق می‌باشد. و در نتیجه هیچ میدان پیزوالکتریکی در آن وجود نداشته باشد. این حالت وقتی حاصل می‌شود که بر روی خط صفر در شکل ۱۱-۵ قرار داشته باشیم. همچنین می‌توان به درصدهای مولی ترکیباتی از  $N_{(1-x-y)}$   $Al_xIn_yGa$  دست یافت که برای آنها هیچ میدان الکتریکی در ناحیه فعال وجود نداشته باشد. برای تحقق چنین حالتی بایستی ناحیه فعال چنان کرنش پیدا کند که میدان ناشی از قطبش پیزوالکتریک و خود به خودی همدیگر را خنثی کنند؛ و این در درصدهای مولی که در روی خط صفر شکل ۱۰-۵ نشان داده شده به دست می‌آید. یک نکته قابل ملاحظه دیگر در شکل ۱۱-۵ این است که میدان پیزوالکتریک با افزایش درصد In بسیار سریعتر نسبت به افزایش درصد Al افزایش پیدا می‌کند. در شکل ۱۲-۵ نیز مقدار میدان قطبشی کل و میدان پیزوالکتریک بر حسب درصد Al برای یک چاه کوانتموی  $GaN/Al_xGa_{(1-x-y)}$  به دست آمده و

نشان داده شده است. میدان خود به خودی بالطبع تفاضل دو مقدار فوق در هر غلظت مولی دلخواه  $x$  می باشد [۴].



شکل ۱۲-۵: میدان قطبی کل و مولفه پیزوالکتریک آن در چاه کوانتمی  $\text{GaN}/\text{Al}_x\text{Ga}_{(1-x)}\text{N}$  که با استفاده از قانون وگارد محاسبه شده است [۴].

#### ۷-۵- میدان تهی و محاسبه مقدار آن در چاه های کوانتمی $\text{GaN}/\text{Al}_{0.19}\text{Ga}_{0.82}\text{N}$

علاوه بر میدان های پیزوالکتریک و خود به خودی که به ترتیب به دلیل کرنش در مواد لایه و زیر لایه و عدم تقارن در ساختار بلوری و رتسایتس وجود دارند، میدانی دیگری به نام میدان تهی در این ساختارها وجود دارد. در این ساختارها به علت وجود حالت های سطحی، سطح فرمی در لایه های فوقانی ناحیه فعال با یکدیگر هم تراز و یکسان نمی باشد و این باعث می شود الکترونها از سطح خارجی نمونه به داخل چاه های داخلی تر تخلیه و سازیر شوند؛ و این به نوبه خود باعث به وجود آمدن میدان تهی می شود [۱۹]. در این بخش ما اندازه و برد این میدان را برای دو نمونه بدون آلایش و آلایش خیلی زیاد محاسبه می کنیم. پهناهی ناحیه تهی که در اثر وجود میدان تهی به وجود می آید از رابطه زیر تخمین زده می شود [۲۰]:

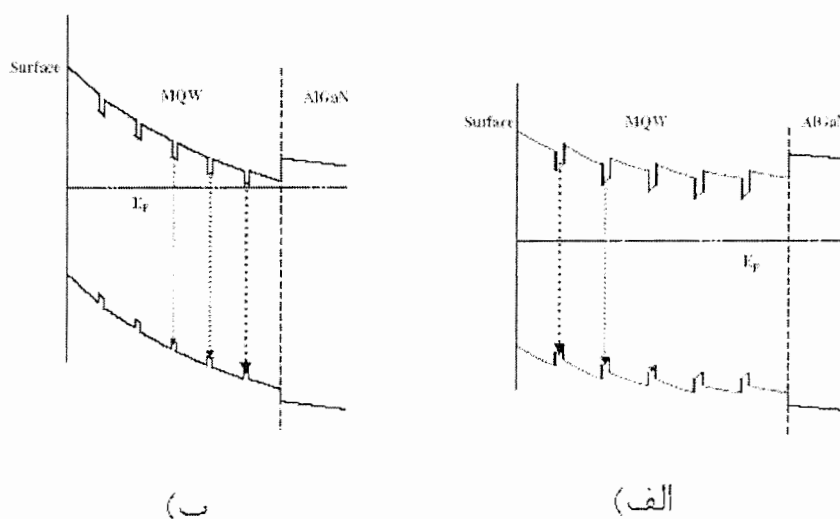
$$w_n^2 = \frac{2\Delta V \epsilon_0 \epsilon}{e^2 N_d} \quad (25-5)$$

که فرض شده است افت پتانسیل ناشی از میدان های داخلی در چاه های کوانتمی صرف نظر شود. در حالتی که  $N_d = 10^{17} \text{ cm}^{-3}$  باشد، با جایگذاری مقادیر عددی ثابت،  $w_n = 4/5 \text{ nm}$  به دست می آید و برای  $(\text{cm}^{-3})$   $N_d = 10^{18}$   $w_n = 45 \text{ nm}$ . این بدین معنی است که در آلایش

های خیلی بالا فقط یک یا دو چاه اول از چاه های کوانتمومی  $GaN/Al_{x,y}Ga_{y,z}N$  تحت تاثیر این میدان قرار می گیرند و در آلایش های پایین تمامی ناحیه فعال از بالا تا پایین تحت تاثیر این میدان قرار گرفته و در نتیجه از چاه های متفاوت گسیل های خواهیم دید. ماکریم میدان الکتریکی تهی در سطح خارجی نمونه توسط رابطه زیر به دست می آید:

$$E_{\max} = \frac{eN_d w_n}{\epsilon_0 \epsilon} \quad (26-5)$$

که با جایگذاری مقادیر عددی پارامترها برای نمونه با آلایش  $(cm^{-3})$  به  $E_{\max} = 8(MV/cm), 10^{17}$  دست می آید در حالی که برای نمونه با آلایش  $(cm^{-3})$  به  $E_{\max} = 0.8(MV/cm), 10^{18}$  خواهد شد. باید توجه کنیم که در آلایش های پایین، که شدت میدان تهی کم است، این شدت در برابر شدت میدان های قطبشی داخلی چاه های کوانتمومی که در بخش قبل محاسبه شده اند بسیار بیشتر است. در شکل ۱۳-۵ طرح شماتیکی از سطح مقطع عرضی پتانسیل برای دو نمونه از این نوع چاه های پتانسیل نشان داده شده است. همان طور که در شکل نشان داده شده در آلایش های زیاد به علت شدت زیاد میدان های تهی و تخلیه الکترون ها به لایه های درونی تر چاه های اولیه در ساختارهای MQW غیر فعال شده و گسیل از آنها خواهیم دید در حالی که در نمونه با آلایش پایین گسیل از چاه های اولیه دیده می شود.



شکل ۱۳-۵: (الف) شکل سطح مقطع عرضی پتانسیل برای نمونه با آلایش سیلیکونی پایین ( $N_d < 10^{18} cm^{-3}$ ) (ب) شکل متناظر با قسمت الف برای نمونه با آلایش سیلیکونی متوسط ( $N_d > 10^{19} cm^{-3}$ ) که در آن به وضوح اثر میدان تهی در غیر فعال کردن چاه های بیرونی تر نشان داده شده است.

## ۵-۸-۱-اثر حامل های آزاد(حامل های آلایشی و تزریقی<sup>۱</sup> و نوری) در فرآیندهای بازترکیب و استتار میدان های قطبشی داخلی در چاههای کوانتمی نیتروژن دار

هدف اصلی در آلاییدن نیمه هادی ها تغییر در چگالی حامل های آزاد نیمه هادی به صورت کنترل شده می باشد. در حقیقت با این کار بسیاری از خواص فیزیکی، از جمله رسانندگی الکتریکی، در ماده مورد مطالعه را تحت کنترل خود در می آوریم. در این پژوهه از اتم های Si برای آلایش نمونه ها استفاده شده است. اتم های سیلیکون به دلیل قابلیت حل شوندگی زیاد در GaN، در حدود  $10^{20}$  cm<sup>-3</sup>، و همچنین در دسترس بودن و قیمت پایین، ماده مناسبی برای آلایش نمونه ها می باشد. در ادامه نشان می دهیم که میدان های قطبشی توسط حامل های آزاد می توانند استتار شوند. این حامل ها می توانند، حامل های ذاتی نمونه مثل حامل های نوری و یا حامل های تزریقی باشد یا از اتم های آلایشی که الکترونهای آنها به داخل چاه های کوانتمی سرازیر شده اند، نشأت گرفته باشد. این موضوع در این بخش به صورت تئوری بررسی می شود و در فصل بعد این موضوع را در مورد نمونه های خودمان به طور تجربی اثبات می کنیم. برای اینکه اثر استتار بررسی شود معادله شرودینگر و پواسون بایستی به صورت خود سازگار<sup>۲۱</sup> حل شوند<sup>۲۲</sup>. دو حالت می توان در نظر گرفت اولی توزیع حامل های غیر تعادلی مرتبط با حامل های نوری(یا تزریقی) است، که ترازهای شبه فرمی الکترون و حفره برای یک چگالی بار دو بعدی(2D) در چاه کوانتمی محاسبه شده و دومی توزیع تعادل گرمایی است که تراز فرمی به عنوان تابعی از چگالی آلایش با اعمال رابطه خنثایی بار محاسبه می شود<sup>۲۳</sup>. معادله پوا سون عبارتست از:

$$\frac{d}{dz} \left[ \varepsilon(z) \frac{dV(z)}{dz} + P(z) \right] = -q\rho(z) \quad (27-5)$$

که z محور رشد می باشد و قطبش کل ( $P(z)$ ، توسط مجموع قطبش پیزوالکتریک  $P^{(Pz)}$  و خود به خودی،  $P^{(Sp)}$ ، یعنی  $P_{tot}(z) = P^{(Sp)}(z) + P^{(Pz)}(z)$ ) در این رابطه عبارت است از:

$$\rho(z) = P(z) + N_D^+(z) - n(z) - N_A^-(z) \quad (28-5)$$

<sup>۱</sup> Injected carrier

<sup>۲۲</sup> Self consistant

## ۵-۸-۵- اثر حامل های آزاد(حامل های آالایشی و تزریقی<sup>۱</sup> و نوری) در فرآیند های بازترکیب و استتار میدان های قطبشی داخلی در چاههای کوانتموی نیتروژندار

هدف اصلی در آالاییدن نیمه هادی ها تغییر در چگالی حامل های آزاد نیمه هادی به صورت کنترل شده می باشد. در حقیقت با این کار بسیاری از خواص فیزیکی، از جمله رسانندگی الکتریکی، در ماده مورد مطالعه را تحت کنترل خود در می آوریم. در این پژوهه از اتم های Si برای آالایش نمونه ها استفاده شده است. اتم های سیلیکون به دلیل قابلیت حل شوندگی زیاد در GaN، در حدود  $(cm^{-3})^{۲۰}$ ، و همچنین در دسترس بودن و قیمت پایین، ماده مناسبی برای آالایش نمونه ها می باشد. در ادامه نشان می دهیم که میدان های قطبشی توسط حامل های آزاد می توانند استتار شوند. این حامل ها می توانند، حامل های ذاتی نمونه مثل حامل های نوری و یا حامل های تزریقی باشد یا از اتم های آالایشی که الکترونها ای آنها به داخل چاه های کوانتموی سرازیر شده اند، نشأت گرفته باشد. این موضوع در این بخش به صورت تئوری بررسی می شود و در فصل بعد این موضوع را در مورد نمونه های خودمان به طور تجربی اثبات می کنیم. برای اینکه اثر استتار بررسی شود معادله شرودینگر و پواسون باستی به صورت خود سازگار<sup>۲۱</sup> حل شوند<sup>۲۲</sup>. دو حالت می توان در نظر گرفت اولی توزیع حامل های غیر تعادلی مرتبط با حامل های نوری(یا تزریقی) است، که ترازهای شبه فرمی الکترون و حفره برای یک چگالی بار دو بعدی(2D) در چاه کوانتموی محاسبه شده و دومی توزیع تعادل گرمایی است که تراز فرمی به عنوان تابعی از چگالی آالایش با اعمال رابطه خنثایی بار محاسبه می شود<sup>۲۳</sup>. معادله پوا سون عبارتست از:

$$\frac{d}{dz} \left[ \varepsilon(z) \frac{dV(z)}{dz} + P(z) \right] = -q\rho(z) \quad (27-5)$$

که z محور رشد می باشد و قطبش کل  $P(z)$ ، توسط مجموع قطبش پیزوالکتریک  $P^{(Pz)}$  و خود به خودی،  $P^{(Sp)}$ ، یعنی  $P_{tot}(z) = P^{(Sp)}(z) + P^{(Pz)}(z)$  در این رابطه عبارت است از:

$$\rho(z) = P(z) + N_D^+(z) - n(z) - N_A^-(z) \quad (28-5)$$

<sup>۱</sup> Injected carrier

<sup>۲۲</sup> Self consistant

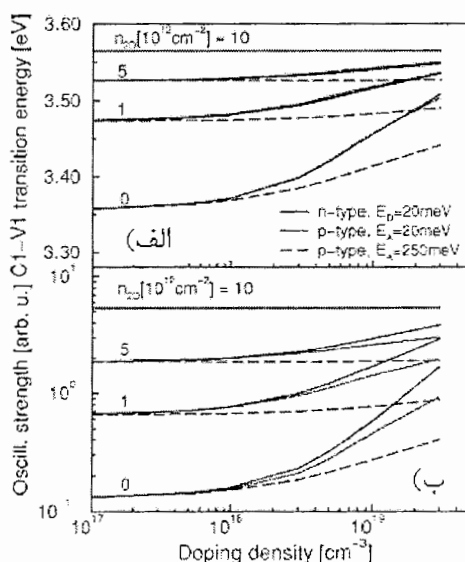
که  $P(z)$  و  $n(z)$  چگالی های الکترون و حفره می باشند و  $N_D^+$  و  $N_A^-$ ، چگالی های دهنده ها و پذیرنده ها می باشد. با حل معادله شرودینگر که برحسب تابعی از مختصات فضایی  $z$  می باشد می توان ترازهای الکترونی داخل چاه کوانتومی را بدست آورد. با تقریب جرم موثر بایستی معادله ویژه مقداری زیر را حل کنیم:

$$\frac{-\hbar^2}{2m_0} \frac{d}{dz} \left[ \frac{1}{m_i^*} \frac{d\psi_i(z)}{dz} \right] + V_c(z) \psi_i(z) = E_i \psi_i(z) \quad (29-5)$$

که برای جرم موثر بایستی مقادیر صحیح آنها را در نوار رسانش و ظرفیت جایگذاری کرد. از حل معادله (29-5) مقادیر ویژه  $E_i$  در نوار ظرفیت و هدایت و همچنین  $\psi_i(z)$ ها بدست می آید. وقتیکه معادلات پواسون و شرودینگر به طور خودسازگار حل شوند، این امکان وجود دارد که قدرت نوسانگر<sup>۱</sup> را در گذارهای اپتیکی بین نواری بدست آوریم. این محاسبات به طور کامل انجام شده و در مراجع [۲۳-۲۴] گردآوری شده است. محاسباتی که با روش بستگی قوی خودسازگار انجام شده [۲۵] نشان می دهد که آلاییدن سدها می تواند میدان های قطبی داخلی ماکروسکوپی موجود در چاه های کوانتومی نیتروژن دار را استثمار کند؛ و در نتیجه پیک انرژی فوتولومینینسانس را به سمت انرژی های بالاتر (أبی) شift دهد. در حقیقت استثمار توسط آلایش باعث افزایش همپوشانی توابع موج الکترونها و حفره ها شده و احتمال گذار تابشی را بالا می برد. با افزایش احتمال بازترکیب الکترون و حفره طول عمر بازترکیب تابشی کاهش یافته و کاهش در طول عمر تابشی بازترکیب ها، افزایش در شدت گسیلی از چاه های کوانتومی نیتروژن دار را موجب می شود. در شکل ۱۴-۵ این نتایج برای یک چاه کوانتومی چندگانه از جنس  $GaN/Al_{0.۰۵}Ga_{0.۹۵}N$  شبیه سازی و رسم شده است [۲۵]. در این شکل انرژی گذار اولین تراز (جدا ای) بین اولین تراز کوانتیده رسانش ( $C_1$ ) و اولین تراز کوانتیده ظرفیت ( $V_1$ ) و قدرت نوسانگر  $V_1 - C_1$  (که متناسب با احتمال گذار تابشی ترازهای  $V_1 - C_1$  متفاوت می باشد) بر حسب چگالی حامل های آلایشی مختلف و چگالی حامل های تزریقی ( $n_{2D}$ ) متفاوت رسم شده است. همانطوری که از شکل ۱۴-۵ واضح است وقتی که چگالی حامل های تزریقی صفر می باشد ( $n_{2D} = 0$ ) حامل های ناشی از اتم های آلاینده موجود در سد (که به ناحیه چاه سرازیر شده اند) میدان های قطبی داخلی را تا حدی استثمار می کنند. برای آلایش های نوع  $n$  و  $p$ ، انرژی

<sup>۱</sup> Oscillator strength

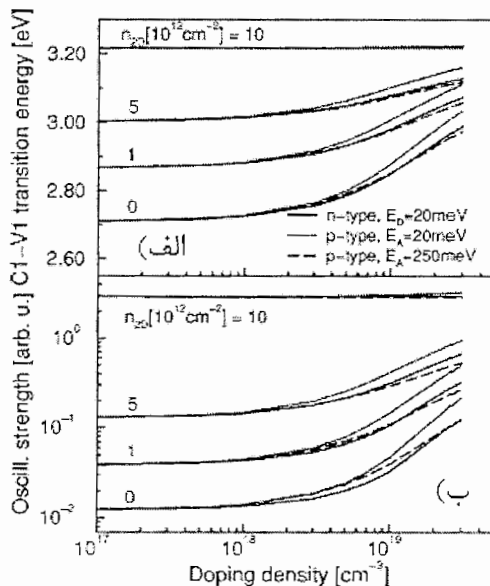
گذار تراز پایه وقتی که آلایش از مقدار  $(\text{cm}^{-3})^{10^{17}} \times 10^3$  افزایش پیدا می کند، شیفتی به اندازه  $150 \text{ mev}$  به سمت آبی پیدا می کند. پذیرنده های عمیق<sup>۱</sup> همانطوری که از شکل ۱۴-۵ مشخص است، در استثار میدان های داخلی خیلی کمتر موثر هستند و شیفتی به اندازه  $80 \text{ mev}$  به سمت آبی در گذار تراز پایه این ساختار به وجود می آورد. این بدین علت است که آلاینده های با انرژی بستگی بیشتر، حامل آزاد کمتری را در چاه های کوانتوسی تولید خواهند کرد و این به نوبه خود به معنای استثار کمتر می باشد. در ضمن افزایش چگالی حامل های آزاد تزریقی ( $n_{2D}$ ) میزان شیفت به سمت آبی، که با افزایش چگالی آلایش در سدها از  $(\text{cm}^{-3})^{10^{17}} \times 10^3$  در انرژی گذار پایه دیده می شود، را کاهش می دهد که علت آن این است که خود این حامل های تزریقی بخشی از میدان را استثار می کنند. قدرت نوسانگر که در شکل ۱۴-۵-ب نشان داده شده است، وقتیکه مقدار آلایش از  $(\text{cm}^{-3})^{10^{17}}$  به  $\times 10^3$  افزایش می یابد در غیاب حامل های تزریقی ، به اندازه یک مرتبه بزرگی افزایش می یابد؛ همانطور که ذکر شد این معنی است که استثار موثر میدان ها باعث افزایش همپوشانی توابع موج الکترون و حفره و افزایش بازدهی نوری سیستم می شود.



شکل ۱۴-۵: (الف) انرژی گسیلی تراز پایه و (ب) قدرت نوسانگر، در چاه های کوانتوسی چندگانه  $\text{GaN}/\text{Al}_{x,y}\text{Ga}_{y,z}\text{N}$  بر حسب چگالی های آلایشی  $p$ ،  $n$  در چگالی های متفاوت از حامل های آزاد تزریقی [۲۵].

<sup>۱</sup> Deep acceptor

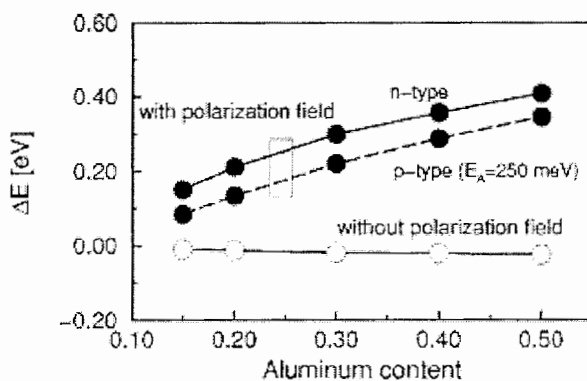
افزایش در احتمال گذار تابشی در مورد آلایش های نوع  $p$  سطحی نسبت به آلایش نوع  $n$  کمتر است؛ و این بخاطر انفصال نواری متفاوت برای الکترون ها و حفره ها در ساختار نواری و چگالی حالت های در دسترس متفاوت برای آلایش های نوع  $n$  و  $p$  سطحی می باشد. این موضوع در صنعت(مثلًا در طراحی لیزرها) از اهمیت قابل ملاحظه ای برخوردار است. به عنوان مثال همانگونه که از شکل ۱۴-۵-ب بر می آید احتمال بازترکیب تابشی در آلایش  $(cm^{-3})^3 \times 10^{19}$  و چگالی حامل تزریقی  $n_{2D} = 10^{13} (cm^{-2})$  با حالتی که در آن هیچ آلایشی در نمونه وجود ندارد و  $5 \times 10^{12} (cm^{-2})$  می باشد، برابر است. بنابراین با اضافه کردن مقدار آلایش در سدها می توان جریان آستانه یک لیزر را تا حد زیادی کاهش داد و این از لحاظ اقتصادی کاملاً مهم می باشد. در شکل ۱۵-۵ نیز همانند شکل ۱۴-۵ وابستگی انرژی گذار  $-V_1 - C_1$  و احتمال گذار تابشی در چاه کوانتومی چندگانه،  $GaN/In_{0.2}Ga_{0.8}N$  نشان داده شده است.



شکل ۱۵-۵: (الف) انرژی گسیلی تراز پایه و (ب) قدرت نوسانگر، در چاه های کوانتومی چندگانه  $GaN/In_{0.2}Ga_{0.8}N$  بر حسب چگالی های آلایشی  $p$ ، در چگالی های متفاوت از حامل های آزاد تزریقی [۲۵].

همان گونه که از شکل نمایان است اثر میدان های قطبشی توسط حامل ها(تزریقی و آلایشی) در این نمونه نسبت به نمونه  $GaN/Al_{0.15}Ga_{0.85}N$  نمایان تر و بیشتر می باشد. مقدار شیفت به آبی در مورد این نمونه به اندازه  $280 \text{ mev}$  است که به طور قابل ملاحظه ای از نمونه بررسی شده

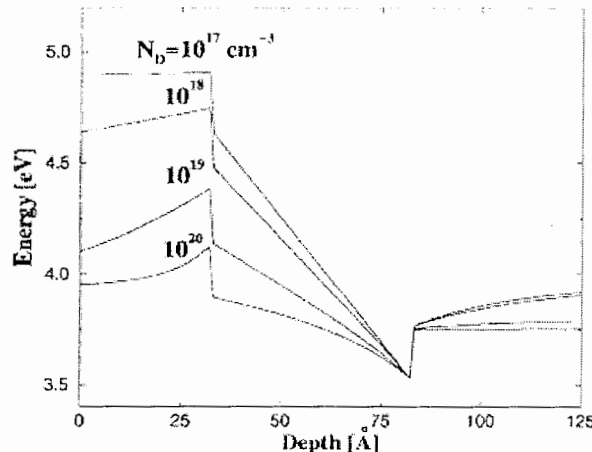
GaN/Al<sub>x</sub>Ga<sub>1-x</sub>N بیشتر است. بازدهی بیشتر استار در نمونه GaN/In<sub>0.2</sub>Ga<sub>0.8</sub>N توسط حامل های آلایش های و تزریقی، به این علت است که میدان های قطبی در این نمونه از نمونه قبلی قویتر است (بار قطبی در سطح مشترک ساختار GaN/In<sub>0.2</sub>Ga<sub>0.8</sub>N حدود  $10^3 \text{ c/m}^2$ ) است در حالیکه برای ساختار GaN/Al<sub>x</sub>Ga<sub>1-x</sub>N، حدود  $10^2 \text{ c/m}^2$  می باشد). [۲۵]. همچنین میزان شیفت به آبی در انرژی گذار  $C_1 - V_1$  به مقدار درصد مولی Al در ساختارها بستگی دارد. این موضوع در شکل ۱۶-۵ نشان داده شده است. میزان شیفت به آبی در هر درصد مولی از Al وفتی که چگالی حامل های آلایشی از  $(\text{cm}^{-3})^{10^17}$  تا  $10^{19}$  تغییر می کند، در ساختار GaN/Al<sub>x</sub>Ga<sub>(1-x)</sub>N بر حسب درصد مولی Al محاسبه شده و رسم شده است [۲۵]. از روی شکل کاملاً واضح است که با افزایش درصد Al چون میدان های قطبی افزایش می یابند میزان این شیفت به سمت آبی بیشتر می شود.



شکل ۱۶-۵: تغییرات در شیفت انرژی گذار  $C_1 - V_1$  بر حسب درصد های مولی مختلف Al در MQW، GaN/Al<sub>x</sub>Ga<sub>(1-x)</sub>N؛ وفتی که چگالی حامل های آلایشی از  $(\text{cm}^{-3})^{10^17}$  تا  $10^{19}$  تغییر می کند [۲۵].

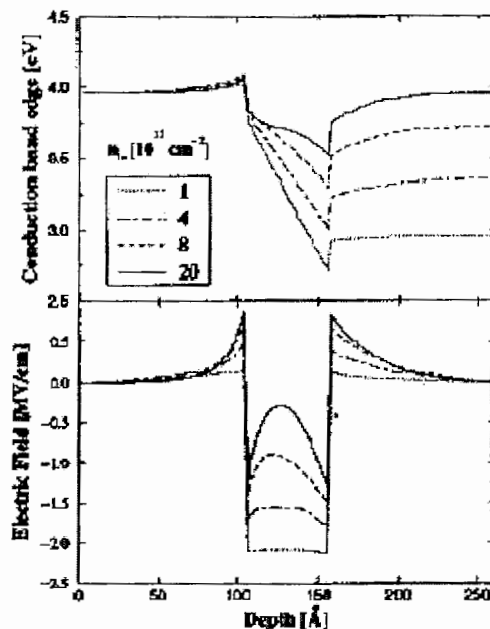
همانگونه که پیشتر در همین بخش ذکر شد، حامل های تزریقی (یا نوری) این قابلیت را دارند که تا حدی میدان های قطبی داخلی را استوار کنند. ولی عملأً استفاده از این نوع حامل ها برای این منظور در قطعات اپتوالکترونیکی به دلایل زیر به صرفه و عقلانی نیست. اول اینکه استوار توسط این نوع از حامل ها موقتی است. یعنی اینکه وقتی جریان تزریقی (در مورد حامل های تزریقی) یا تابش نور (در مورد حامل های نوری) به ناحیه فعال سیستم قطع شود، چون حامل ها با گذشت زمان کم می شوند لذا استوار میدان ها توسط این حامل ها نیز کاهش یافته و کم کم از بین می رود. دوم اینکه چون جریان الکتریکی در طی زمان صد درصد ثابت نیست و افت و خیزهایی از خود نشان می دهد،

لذا خمیدگی ته چاه ها با زمان تغییر می کند و انرژی گسیلی از نمونه هر لحظه تغییر می کند که موجب پهن شدگی در پیک گسیلی از نمونه می گردد. این موضوع در لیزرهای نیمرسانا نور لیزر را از حالت تکفامی خارج می سازد. برای اینکه اثر حامل های آلایشی را روی نوار رسانش نشان دهیم، سطح مقطع عرضی نوار رسانش را در یک چاه کوانتموی تنها  $\text{GaN}/\text{Al}_{0.2}\text{Ga}_{0.8}\text{N}$  را (با پهنای چاه  $50 \text{ \AA}$  که در ناحیه سد آلایش یافته است) که با روش بستگی قوی محاسبه شده و شبیه سازی گشته در شکل ۱۷-۵ نشان داده ایم [۴]. میدان های قطبشی سمت چپ نوار رسانش را نسبت به انرژی سطح فرمی بالاتر می برنند و در نتیجه الکترون های ناشی از اتم های آلایشی در سد سمت چپی به داخل چاه های کوانتموی سرازیر می شوند و در پشت خود یک میدان تهی بجای می گذارند. در نتیجه سرازیر شدن الکترون ها به داخل چاه کوانتموی میدان های قطبشی درون چاه کم کم استثمار می شوند و این استثمار در آلایش های بالاتر از  $(\text{cm}^{-2})^{10}$  کاملاً مشهود است. وجود میدان تهی باعث می شود که خمش زیادی در طرف سد سمت چپی به وجود آید. در حالت کلی مشخص نیست که بتوانیم در سدها برای استثمار کردن میدان های قطبشی هر اندازه ای که بخواهیم، آلایش ایجاد کنیم؛ ولی می توانیم با استفاده از ترکیبی آلایش و حامل های نوری یا تزریقی میدان ها را تا حد قابل ملاحظه ای استثمار کنیم و خمش موجود در ساختار نواری را بهبود بخشیده و به حالت مسطح بدون میدان برگردانیم.



شکل ۱۷-۵: شبیه سازی سطح مقطع عرضی نوار رسانش در یک چاه کوانتموی تنها  $\text{GaN}/\text{Al}_{0.2}\text{Ga}_{0.8}\text{N}$  با پهنای چاه  $50 \text{ \AA}$  که در ناحیه سد آلایش یافته است (با روش بستگی قوی محاسبه شده است) [۴].

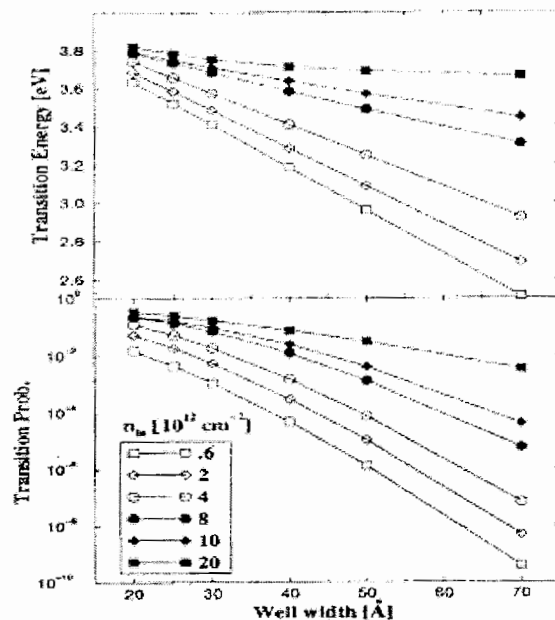
اگر در ساختار هیچ حامل آلایشی وجود نداشته باشد و فقط حامل های نوری وجود داشته باشند(یعنی حامل های که در اثر تابش نور منبع نور به ناحیه فعال ساختار به وجود می آیند) می توان اثر این حامل ها را در استارت کردن میدان های قطبی داخلی بررسی کرد. در توان های برانگیختگی به اندازه کافی بالا، چگالی حامل های نوری به اندازه ای خواهد شد که قادر به استارت کردن میدان های قطبی داخلی در ساختار خواهد بود(میدانی که این نوع از حامل ها در اثر جدایی فضایی به وجود آمده بین الکترون و حفره تولید می کنند در خلاف جهت میدان های قطبی می باشد). همانگونه در شکل ۱۸-۵ نشان داده شده است، محاسبات خودسازگار و شبیه سازی لبه نوار رسانش برای یک چاه کوانتومی GaN/AlGaN به ضخامت  $50 \text{ \AA}$  نشان می دهد که با افزایش توان برانگیختگی منبع نور تحریکی و در نتیجه افزایش چگالی حامل های آزاد از  $10^{12} \text{ cm}^{-3}$  تا  $2 \times 10^{13} \text{ cm}^{-3}$  به طور موثری میدان های داخلی توسط این حامل ها استارت می شوند[۴].



شکل ۱۸-۵: محاسبات خودسازگار و شبیه سازی لبه نوار رسانش برای یک چاه کوانتومی GaN/AlGaN به ضخامت  $50 \text{ \AA}$  در چگالی حامل های آزاد نوری مختلف[۴].

همانطوری که در شکل ۱۹-۵ نشان داده شده است در یک پهنهای ثابت از چاه کوانتومی مورد بحث، شیفت به سمت قرمز در ارزی گذار تراز پایه با افزایش چگالی حامل های نوری کاهش می یابد

و در چگالی زیاد حامل ها این شیفت تقریباً مستقل از پهنهای چاه می شود. احتمال گذار تابشی نیز با افزایش چگالی حامل های نوری به اندازه چند مرتبه بزرگی افزایش می یابد. در هر صورت حامل ها (الکترون و حفره ها) تا حدی از یکدیگر جداگشته اند که حتی در چگالی زیاد حامل ها، احتمال گذار تابشی هرگز به یک میل نمی کند و این یکی از دلایل بازدهی کوانتموی پایین مشاهده شده در قطعات حاوی چاه های کوانتموی چندگانه نیتروژندار می باشد. در خاتمه باید یادآور شویم که برای حصول به چگالی حامل های نوری از مرتبه  $(cm^{-1})^{2 \times 10^{13}}$  برای هر چاه کوانتموی  $10-20 (KW/cm^2)$  توان اپتیکی لازم است [۴].



شکل ۱۹-۵: نمودار مقدار شیفت به سمت قرمز در انرژی تراز پایه و احتمال این گذار تابشی در ضخامت های مختلف از چاه کوانتموی GaN/AlGaN [۴]

## منابع

- [<sup>١</sup>] B. Monemar; H. Haratizadeh; P. P. Poskov; G. Pozina; P. O. Holtz; J. P. Bergman; S. Kamiyama; M. Iwaya; H. Amano; I. Akasaki; J. Phys. Stat. Sol. (b) **237**, No.1, P.353-364 (2003).
- [<sup>٢</sup>] O. Ambacher; J. Majewski; C. Miskys; A. Link; M. Hermann; M. Eickhoff; M. Stutzmann; F. Bernardini; V. Fiorentini; V. Tilak; B. Schaff and L. F. Eastman; J. Phys. Condens. Matter **14** (2002).
- [<sup>٣</sup>] Nye J F 1985 Physical Properties of Crystals; Their Representation by Tensors and Matrices(Oxford Clarendon).
- [<sup>٤</sup>] V. Fiorentini; F. Bernardini; F. Della seal; A. Di Carlo; P. Lugli; J. Phys. Rev. B **60**, No. 12 ; P.8849, (1999).
- [<sup>٥</sup>] F. Bernardini; V. Fiorentini; J. Phys. Rev. B **64** (2001).
- [<sup>٦</sup>] F. Bernardini, V. Fiorentini, and D. Vanderbilt, Phys. Rev. B 63, 193201 (2001).
- [<sup>٧</sup>] F. Bernardini and V. Fiorentini, Phys. Rev. B 64, 085207 (2001).
- [<sup>٨</sup>] F. Bernadini, V. Fiorentini, and D. Vanderbilt, Phys. Rev. B 56, R10024 (1997).
- [<sup>٩</sup>] S. Nakamura and G. Fasol; *The Blue Laser Diode: GaN Based Light Emitters and Lasers* (Springer-Verlag, Berlin, 1997).
- [<sup>١٠</sup>] O. Ambacher; B. Foutz; J. Smart; J. R. Shealy; N. G. Weimann; K. Chu; M. Murphy; A. J. Sierakowski; W. J. Schaff; L. F. Eastman; R. Dimitrov; A. Mitchell and M. Stutzmann; J.pl. Phys. **87**, 334 (2000).
- [<sup>١١</sup>] J. H. Davies; *The Physics of Low-Dimensional Semiconductors, An Introduction*; Cambridge University Press (1998).
- [<sup>١٢</sup>] *Low-Dimensional Nitride Semiconductors*, edited by B. Gil, Oxford University Press, pp. 237(2002).
- [<sup>١٣</sup>] B. Monemar; G. Pozina; Prog. Quantum Electron.24, 239 (2000).
- [<sup>١٤</sup>] H. Haratizadeh; B. Monemar; P. P. Paskov; P. O. Holtz; G. Pozina; S. Kamiyama; M. Iwaya; H. Amano and I. Akasaki; J. Phys. Stat. Sol. (b) **241**, No.5, 1124 -1133 (2004).
- [<sup>١٥</sup>] G. Bastard, E. E. Mendez, L. L. Chang, and L. Esaki, *Phys. Rev. B*, Vol.28, No.6, 3243 (1983).
- [<sup>١٦</sup>] J. Singh, *Appl. Phys. Lett.* **64** (20), 2694, (1994).
- [<sup>١٧</sup>] R. Cingolani, A. Botcharev, H. Tang, H. Markoc, G. Traetta, G. Coli, M. Lomascolo, A. Di Carlo, F. Della Sala, and P. Lugli, *Phys. Rev. B* **61**, 2711 (2000).
- [<sup>١٨</sup>] H. Morkoc; *Nitride Semiconductors and Devices*; ed. By R. Hull; R. M. Osgood; Jr. H. Sakaki, and A. Zunger; Springer-Verlage,P. 80 (1999).

- [<sup>19</sup>] B. Monemar, P. P. Paskov, G. Pozina, J. P. Bergman, S. Kamiyama, M. Iwaya, H. Amano, and I. Akasaki, *Phys. stat. sol. (a)* **192**, 21 (2002).
- [<sup>20</sup>] O. Mayrock, H. J. Wunsche, and F. Henneberger, *Phys. Rev. B* **62**, 16870 (2000).
- [<sup>21</sup>] A. Di Carlo; S. Pescetelli; M. Paciotti; P. Lugli; M. Graf; *Solid State Commun.* **98**, 803 (1996); A. Di Carlo, in Tightbinding Approach to Computational Materials Science., edited by P. E. A. Turchi; A. Gonis and L. Colombo, MRS Symposia Proceeding No. 491, Materials Reserch Society, Pittsburgh, P. 389, (1998).
- [<sup>22</sup>] R. Dingle; H. L. Stormer; A. C. Gossard and W. Wiegmann; *J. Appl. Phys. Lett.* **33**, 665 (1978).
- [<sup>23</sup>] J.-M. Jancu; R. Scholz; F. Beltram and F. Bassani; *J. Phys. Rev. B* **57**, 6493 (1998).
- [<sup>24</sup>] F. Della Sala; A. Di Carlo; P. Lugli; F. Bernardini; V. Fiorentini; R. Scholz and J.-M. Jancu; *J. Appl. Phys. Lett.* **74**, 2002 (1999).
- [<sup>25</sup>] F. Della Sala; A. Di Carlo; P. Lugli; V. Fiorentini and F. Bernardini; *J. Appl. Phys. Lett.* **76**, 3950 (2000).

## فصل ۶:

### تحلیل نتایج بدست آمده و بحث در مورد نتایج فیزیکی

- مقدمه
- تأیید تجربی بر استنثار میدان های قطبشی داخلی MQW های  $GaN/Al_{0.7}Ga_{0.3}N$  توسط آلایش سیلیکونی با استفاده از طیف فوتولومینسانس معمولی
- تأیید تجربی بر افزایش راندمان نوری ناشی از آلایش سیلیکونی در MQW های  $GaN/Al_{0.7}Ga_{0.3}N$
- تعیین تجربی نوع مکانیسم بازترکیب نوری در آلایش های سیلیکونی مختلف در چاه های  $GaN/AlGaN$  کوانتموی
- بررسی تجربی اثر آلایش سیلیکونی بر روی مکانیسم بازترکیب نوری و غیرنوری در MQW های  $GaN/Al_{0.7}Ga_{0.3}N$
- تعیین تجربی انرژی جایگزیدگی به کمک تغییرات دمایی منحنی فوتولومینسانس
- رقابت حامل های نوری و دائمی در استنثار میدان های قطبشی در چاه های کوانتموی  $GaN/Al_{0.7}Ga_{0.3}N$
- مطالعه وابستگی نوری لومینسانس نمونه ها در اثر تغییر شدت نور تحریکی

## ۱-۶- مقدمه

همانگونه که در چکیده پایان نامه اشاره شده است، مطالعه اپتیکی انجام شده به روی نمونه ها به روش فوتولومینسانس و بخشی نیز به روش فوتولومینسانس وابسته به زمان در شرایط فیزیکی متفاوت از نظر دمای نمونه(از دمای هلیم مایع تا دمای اتاق)، شدت نور لیزر فرودی و همچنین میزان آلایش سیلیکونی به انجام رسیده است. در آزمایش های فوتولومینسانس معمولی نمونه ها در کرایستات قرار داشتند و نمونه ها با هارمونیک چهارم از یک لیزر(Nd - Vanadate) که دارای طول موج ۲۶۶ nm است، برانگیخته شده اند. سیگنال فوتولومینسانس بوسیله یک توری تک رنگ کننده، پراکنده و بوسیله یک دوربین CCD در دمای نیتروژن مایع آشکار سازی شده است. برای آزمایش های TRPL، از هارمونیک سوم یک لیزر پالسی Ti - Sapphire به عنوان منبع تحریک استفاده شده است. توان لیزر مورد استفاده ۲۰ mW و قطر نور آن در حدود ۱۰۰ میکرومتر است. فرکانس لیزر مورد استفاده ۲۵۰ KHz بوده و برای آشکار سازی سیگنال های وابسته به زمان فوتولومینسانس از سینکرواسکن هاما ماتسو(Hamamatsu) با دقیق بیشتر از ۱۰ پیکوثانیه استفاده شده است.

لیزر پالسی مورد استفاده در آزمایش های TRPL در مدت زمان کوتاهی در حدود ۲۰۰ ps روی نمونه اعمال شده و باعث برانگیختگی الکترون ها می گردد. ما برای تحلیل داده های خود از نرم افزار Origin و Peak fit استفاده کردیم. نرم افزار های بکار رفته توانمندی بسیار خوبی در رسم داده های ماتریسی دارد. این نرم افزار ها قابلیتهای زیادی برای رسم داده ها و همچنین مشخص کردن قله نمودار و فیت کردن توابع خطی و غیرخطی بر روی نمودارهای رسم شده را دارند. اطلاعات خام ذخیره شده در اندازه گیری با سیستمهای فوتولومینسانس و فوتولومینسانس وابسته به زمان به صورت کدهای ASCII است که به

کمک برنامه فوق اطلاعات مورد نیاز را از آنها می توان استخراج نمود. همانطور که اشاره شد این نرم افزارها ابزار مناسب برای فیت کردن داده های تجربی بر حسب توابع مختلف ریاضی است که متناسب با مفاهیم فیزیکی داده های تجربی می توان از توابع گاووسی، لورنتسی و یا هر تابع دلخواه دیگری استفاده نمود. از طرفی این برنامه ها دارای ورودی و خروجی های مناسبی به برنامه های مختلفی از جمله Word ، Excel ، Matlab می باشند. ما در این فصل به طور کامل نتایج حاصل از اندازه گیری های مختلف روی نمونه هایی که توسط استاد راهنمای انجام گرفته را مورد بحث و بررسی قرار می دهیم.

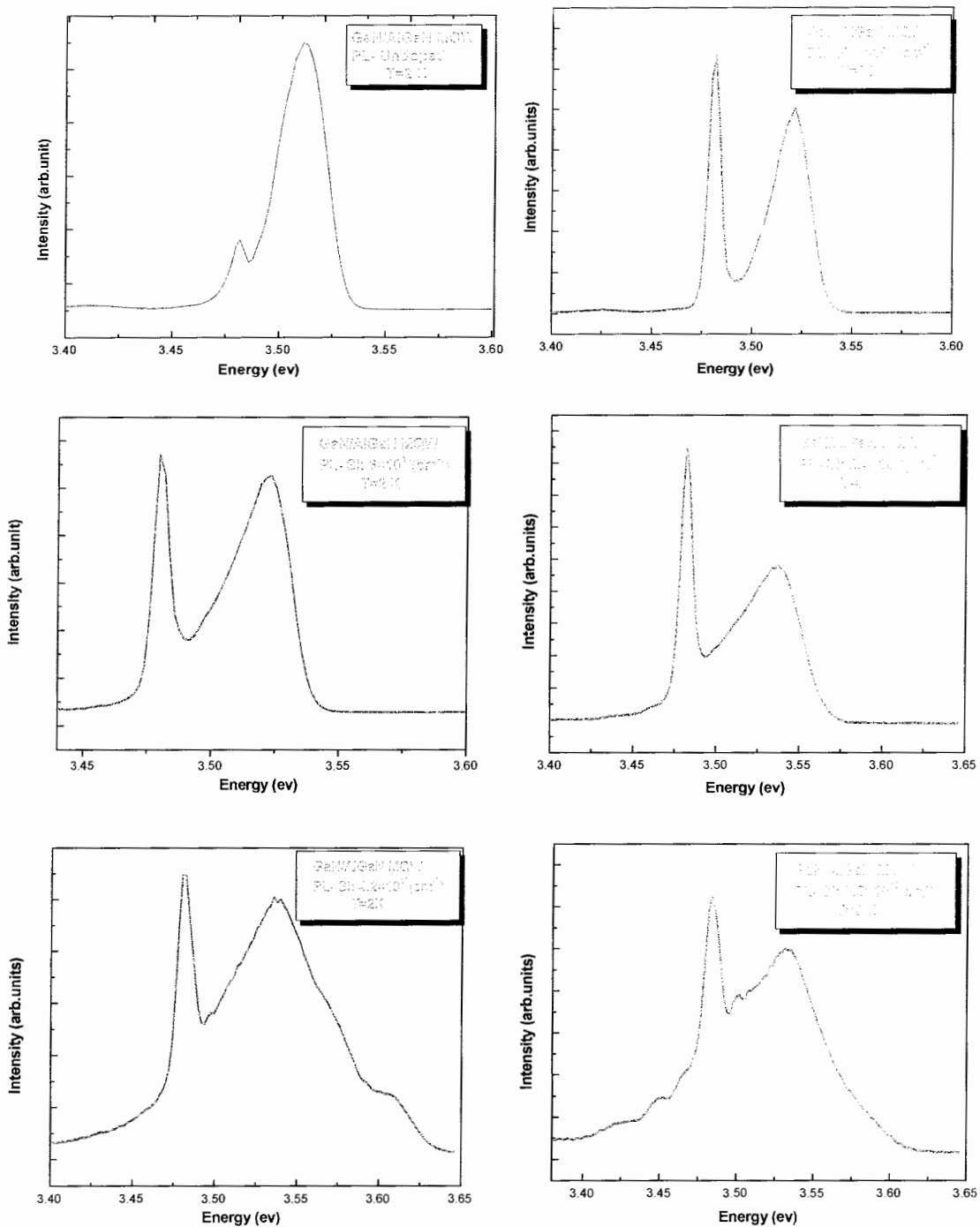
## ۲-۶- تأیید تجربی بر استنثار میدانهای قطبشی داخلی MQW های $GaN/Al_{0.7}Ga_{0.3}N$ توسط آلایش سیلیکونی با استفاده از طیف فوتولومینسانس معمولی

در شکل ۱-۶ طیف فوتولومینسانس(PL) حاصل از نمونه ها در دمای ۲ کلوین به ترتیب رسم شده است. همانطور که پیشتر ذکر شد تمامی این نمونه ها (به جز نمونه اول) دارای آلایش سیلیکونی می باشند. با مشاهده طیف PL این نمونه ها، یک نکته مهم درباره آنها فهمیده می شود و آن این است که پیک فوتولومینسانس حاصل از بازترکیب حامل ها در چاه های کوانتمومی نسبت به پیک فوتولومینسانس حاصل از لایه ضخیم بافر  $GaN$  (۳/۴۸ eV) در دمای ۲K) شیفتی به سمت انرژی های بالاتر(آبی) از خود نشان می دهد که برای تمام نمونه ها این مسئله به وضوح از روی شکل پیداست (باشتی اشاره کنیم نور لیزر که برای تحریک ناحیه فعال به کار می رود از ناحیه فعال عبور کرده و باعث تحریک حامل ها در لایه  $GaN$  بافر نیز می شود). دلیل این شیفت به انرژی های بیشتر(آبی) وجود اثر محدودیت کوانتمومی می باشد. همانطور که می دانیم حامل ها در چاه های کوانتمومی در دو بعد محدود شده اند و این محدودیت باعث می شود که ترازهای انرژی نسبت به ته چاه شیفتی به سمت بالا (انرژی های بالا) در مقایسه با نوارهای انرژی ماده مشابه با ساختار کپه ای داشته باشد. لذا اگر، مثلاً تراز اول را در این سیستمهای دو بعدی در نظر بگیریم، گسیل تابشی بدست آمده در حالت دوبعدی(چاه های کوانتمومی) در انرژی های بیشتری نسبت به نیمه رسانای کپه ای در طیف PL ظهرور پیدا خواهد کرد. در شکل ۱-۱ این موضوع به طور شماتیک نشان داده شده است. البته در چاه های کوانتمومی مورد بررسی، اثر استنثار

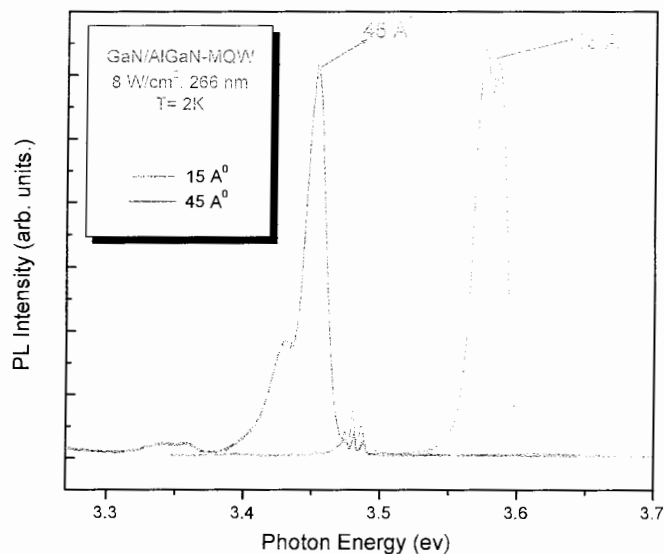
کوانتوسی محدود نیز وجود دارد که تمایل دارد انرژی گسیلی از چاه ها را به سمت انرژی های کمتر(قرمز) شیف دهد ولی در این نمونه ها اثر محدودیت کوانتوسی بر اثر استارک غلبه کرده و ما در نهایت شیفتی به سمت آبی در پیک PL حاصل از چاه ها نسبت به پیک حاصل از GaN کپه ای مشاهده می کنیم. در چاه های کوانتوسی که پهنهای چاه های آنها بیشتر از ضخامت بحرانی،  $\text{h}_\text{c}$  است؛ اثر کوانتوسی استارک بر اثر محدودیت غلبه کرده و پیک PL حاصل از چاه های کوانتوسی نسبت به پیک PL حاصل از لایه GaN بافر به سمت قرمز شیفت پیدا می کند. در مورد چاه های کوانتوسی GaN/AlGaN این ضخامت حدود  $40 \text{ \AA}$  است. لذا اگر طیف فوتولومینیسانس نمونه ای با پهنهای چاه بیشتر از  $40 \text{ \AA}$  را داشته باشیم، انتظار داریم که پیک حاصل از QW ها نسبت به پیک حاصل از GaN باfer به سمت قرمز شیفت پیدا کند. البته بطور عملی این انتظار همانطور که از شکل ۲-۶ بدست آمده برآورده شده است. اگر طیف فوتولومینیسانس نرمالیزه شده همه نمونه ها را که در دمای ۲K بدست آمده در یک گراف ترسیم کنیم می بینیم که با افزایش آلایش سیلیکونی تا حد  $(\text{cm}^{-1})^{10} \times 4/2$  پیک تابش گسیلی از چاه های کوانتوسی آلایش یافته نسبت به نمونه بدون آلایش شیفتی به سمت آبی از خود نشان می دهد(شکل ۳-۶ را ملاحظه کنید). در توجیه مشاهده این شیفت باقیتی خاطر نشان کنیم که همانطوری که گفته شد در چاه های کوانتوسی نیتروژن دار میدان های قطبی وجود دارند که باعث اثر کوانتوسی استارک محدود می شوند. در حقیقت با افزایش آلایش Si نمونه ها و افزایش الکترونهای داخل چاه ها، میدان های قطبی داخلی استارک شده و اثر کوانتوسی استارک کاهش یافته و انرژی پیک فوتولومینیسانس حاصل از چاه های کوانتوسی نمونه های آلایش یافته نسبت به نمونه بدون آلایش به سمت آبی شیفت پیدا خواهد کرد. البته در آلایش های بیشتر از مقدار  $(\text{cm}^{-1})^{10} \times 4/2$  بعلت اثر دوباره نرمال سازی گاف انرژی<sup>۱</sup> (BGR)، پیک PL حاصل از چاه های کوانتوسی نسبت به انرژی پیک مشاهده شده برای نمونه با آلایش  $(\text{cm}^{-1})^{10} \times 4/2$  شیفتی به سمت قرمز پیدا می کند. در شکل ۴-۶ تغییرات انرژی پیک فوتولومینیسانس چاه های کوانتوسی در نمونه

<sup>1</sup> Band gap renormalization

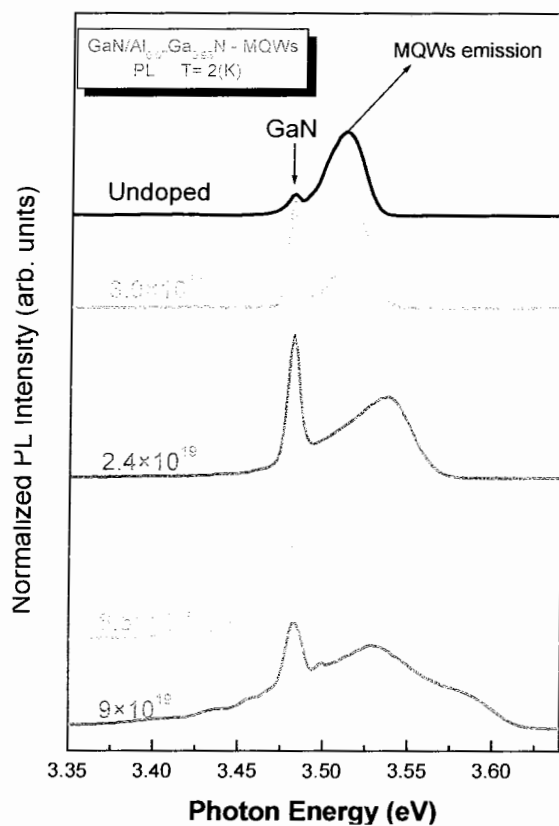
های معرفی شده برحسب آلایش های سیلیکونی متفاوت رسم شده است و بوضوح نقش آلایش سیلیکونی در استثار میدان های پیزوالکتریک و خودبه خودی نشان داده شده است.



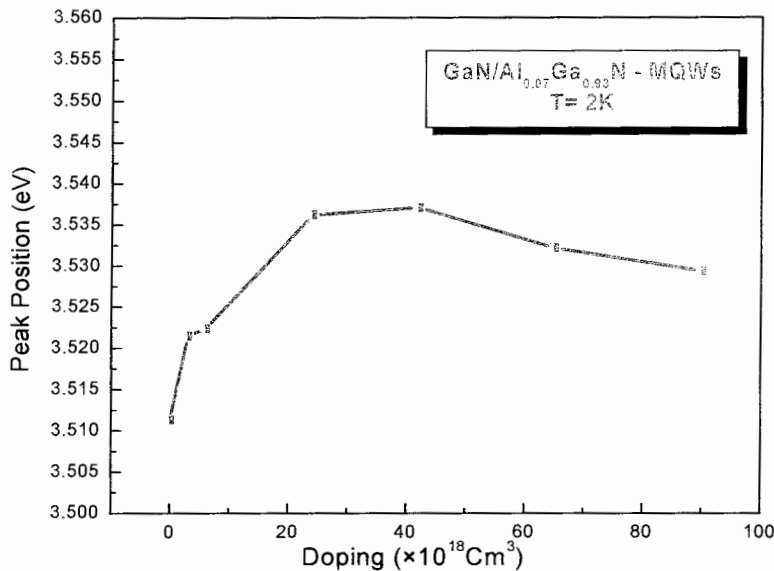
شکل ۶: طیف PL حاصل از نمونه ها در دما ۲K (به شیفت به سمت آبی پیک QW نسبت به GaN کپه ای توجه کنید).



شکل ۲-۶: طیف PL حاصل از سه نمونه از چاه های GaN/AlGaN با پهنای چاه متفاوت در دمای ۲K (به محل قرارگیری پیک حاصل از چاه های کوانتمی و GaN کپه ای در ضخامت های متفاوت دقیق شد).



شکل ۳-۶: طیف فوتولومینسانس نرمالیزه شده تمام نمونه ها در دمای ۲K



شکل ۶-۴: نمودار تغییرات انرژی پیک فوتولومینسانس حاصل از چاه های کوانتوسی  $\text{GaN}/\text{AlGaN}$  با افزایش آالیش سیلیکونی در سدهای  $\text{AlGaN}$

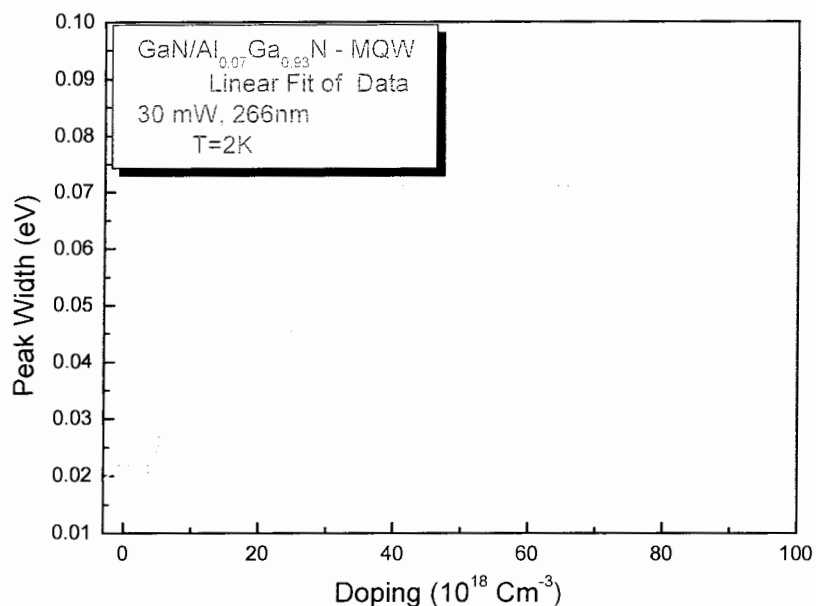
همانطور که از شکل ۶-۳ واضح است، شکل طیف PL در نمونه های آالیش یافته غیرمتقارن است و دارای دنباله طولانی تری در قسمت انرژی های کمتر می باشد. تحلیل دقیقی از علت مشاهده چنین رفتاری در طیف PL نمونه های آالیش یافته به علت اینکه احتمالاً طیف فوتولومینسانس آنها برهم نهی طیف های PL چاه های مختلف موجود در ناحیه فعال این نمونه ها می باشد در دسترس نیست و تمام تحلیل ها غیرقطعی هستند. همچنین با افزایش آالیش سیلیکونی این دنباله که در قسمت انرژی های پایین قرار دارد به سمت انرژی های کمتر حرکت می کند. یکی از دلایل اصلی مشاهده چنین رفتاری این است که با افزایش آالیش سیلیکونی به علت اینکه ترازهای دهنده زیر نوار رسانش بسیار زیاد و نزدیک به هم می شوند پدیده دوباره نرمال سازی گاف انرژی رخ می دهد و به این ترتیب با افزایش آالیش ترازهای انرژی به سمت پایین شیفت پیدا کرده و بدین ترتیب گسیل هایی در انرژی های پایینتر دیده می شود. و طیف PL در قسمت انرژی های پایین به سمت انرژی های کمتر شیفت پیدا می کند.

### ۶-۳- تأیید تجربی بر افزایش راندمان نوری ناشی از آلایش سیلیکونی در MQW های

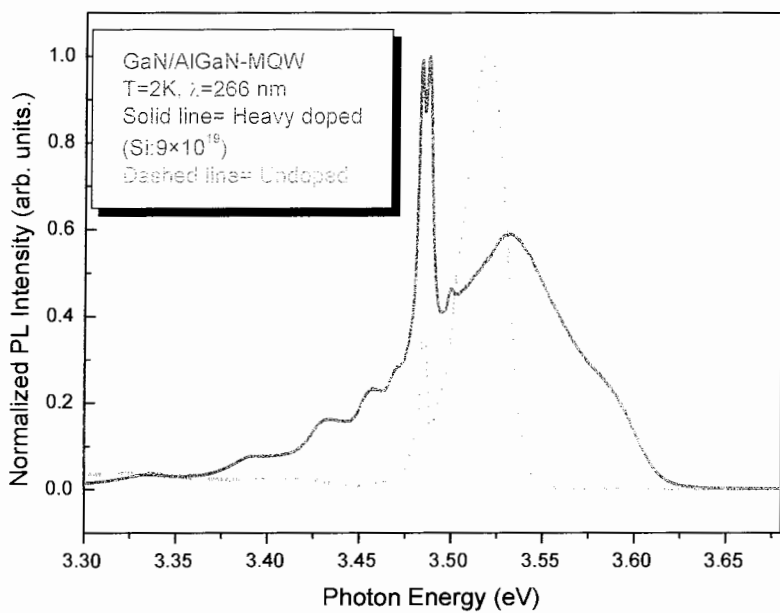
$GaN/Al_{0.7}Ga_{0.3}N$

در این بخش به طور تجربی نشان می دهیم که افزایش آلایش سیلیکونی در چاه کوانتمومی  $GaN/AlGaN$  بازدهی نوری آنها را افزایش خواهد داد. این موضوع در صنعت از اهمیت قابل توجه ای برخوردار است. همان گونه که از شکل ۶-۳ مشخص است پیک PL حاصل از چاه های کوانتمومی با افزایش آلایش سیلیکونی پهن تر می شود. در شکل ۶-۵ نموداری که تغییرات پهنای پیک PL حاصل از FWHM(QW) را بر حسب آلایش سیلیکونی نشان می دهد، نشان داده شده است. اولین دلیل این پهن شدگی در پیک QW وجود تقاضی ساختاری فراوان در نمونه های آلایش یافته در مقایسه با نمونه های بدون آلایش می باشد. یکی دیگر از دلایل مهم مشاهده چنین پهن شدگی طیف PL چاه کوانتمومی این است که چون نمونه های مورد بررسی در این مقاله Cap layer نداشته اند، لذا یک میدان تهی به علت وجود حالت های سطحی و تخلیه الکترونها لایه های سطحی به چاه های داخلی تر به وجود می آید. که برد این میدان تهی با افزایش آلایش کم شده ولی شدت میدان تهی افزایش می یابد(به بخش ۷-۵ مراجعه کنید). بدین ترتیب در نمونه هایی که آلایش سیلیکونی آنها زیاد است یکسری از چاه ها به دلیل شدت زیاد میدان غیر فعال شده و گسیلی از آنها نخواهیم دید و در نتیجه شدت میدان در چاه های متفاوت یک نمونه خاص با آلایش بالا با همدیگر تفاوت خواهد داشت، لذا اثر کوانتمومی محدود استارک در چاه های مختلف یک نمونه با یکدیگر متفاوت خواهند بود و گسیل های متفاوتی از چاه های مختلف این نمونه ها در مقایسه با آلایش کمتر خواهیم داشت و لذا طیف PL که برهمنهی این طیف ها است پهن خواهد شد. از دلایل دیگر مشاهده چنین پهن شدگی، جذب غیر یکتواخت نور لیزر در چاه های مختلف و نیز غیر یکسان بودن پهنای چاه های مختلف یک نمونه می باشد. همانگونه که از شکل ۶-۶ نمایان است وجود آلایش سیلیکونی به نحو موثری بازده نوری نمونه ها را افزایش می دهد زیرا با افزایش آلایش سیلیکونی سطح زیر منحنی پیک PL حاصل از QW افزایش می یابد. در اثر حضور آلایش سیلیکونی میدان های قطبی داخلی توسط الکترون های ناشی از آلایش به نحو موثرتری استارت شده و اثر کوانتمومی محدود استارک کاهش می یابد. این موضوع باعث افزایش همپوشانی توابع موج

الکترون و حفره شده و این افزایش همپوشانی توابع موج الکترون و حفره به معنای افزایش راندمان نوری در چاه های کوانتمویی  $\text{GaN}/\text{AlGaN}$  می باشد.



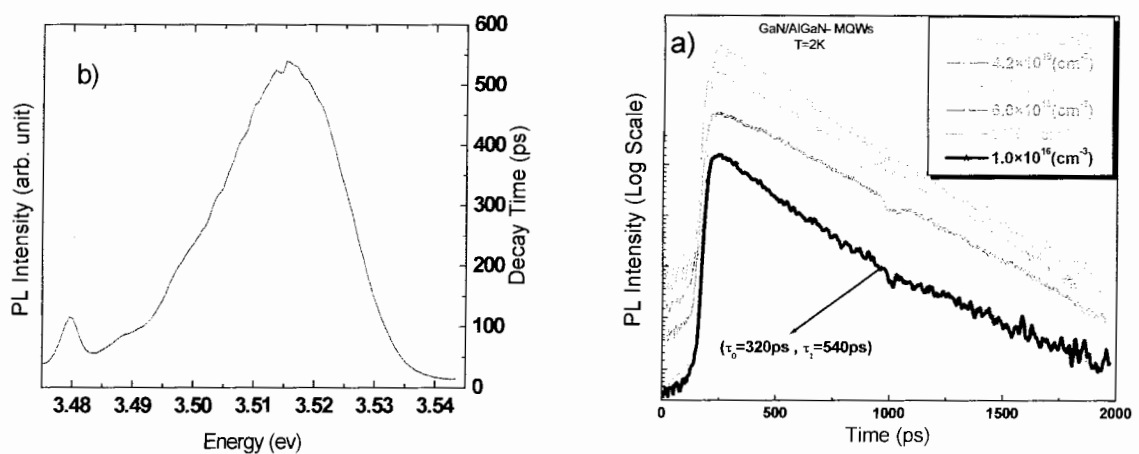
شکل ۶-۵: تغییرات پهنای پیک فوتولومیسانس حاصل از QW ها (FWHM) بر حسب چگالی آلایش



شکل ۶-۶: طیف فوتولومیسانس نمونه های با چگال آلایش متفاوت در دمای ۲K (به افزایش مساحت زیرمنحنی پیک PL حاصل از QW ها با افزایش آلایش سیلیکونی توجه کنید).

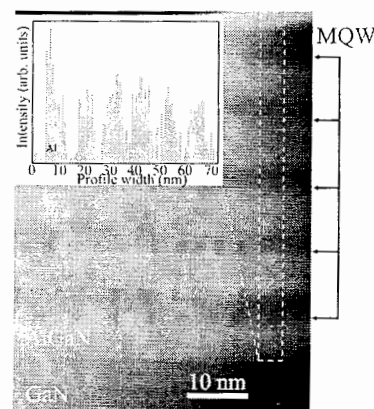
## ۴-۶- تعیین تجربی نوع مکانیسم بازترکیب نوری در آلایش های سیلیکونی مختلف در چاه های کوانتومی GaN/AlGaN

با ثبت شدت فوتولومینسانس نمونه در مدت رهاسازی آن، می توان رفتار بازترکیبی نمونه را مورد بررسی قرار داد. در حقیقت با مشاهده رفتار زمان واهلش پیک فوتولومینسانس حاصل از چاه های کوانتومی چندگانه می توان نوع مکانیسم بازترکیب موجود در نمونه ها را حدس زد. با بررسی زمان واهلش نمونه ها می بینیم که منحنی زمان واهلش همه آنها به جز نمونه بدون آلایش تک نمایی هستند. غیرتک نمایی بودن تغییرات زمانی پیک طیف فوتولومینسانس در نمونه بدون آلایش دلیلی بر دو مرحله ای بودن فرآیند بازترکیب در این نمونه می باشد. این موضوع در شکل ۷-۶ نشان داده شده است. همچنین در این شکل زمان واهلش در یکسری ابرازی های مهم برای نمونه بدون آلایش نشان داده شده است. بایستی توضیح دهیم که در نیمه رساناهای نیتروژندار افت و خیزهای پتانسیل حتی در نمونه های با کیفیت عالی نیز قابل صرف نظر کردن نیست و آشفتگی پتانسیل به خاطر میدان های قطبشی داخلی و افت و خیزهای سطحی، در رفتگی ها، ناخالصی ها و توزیع غیر یکنواخت مواد در لایه های سد و چاه همواره وجود دارد [۱]. توزیع غیر یکنواخت در سدهای AlGaN نمونه های ما توسط تصاویر TEM نیز تأثیر شده است و در شکل ۸-۶ نشان داده شده است.



شکل ۷-۶: (الف) نمودار تغییرات زمان واهلش پیک PL چاه های کوانتومی در آلایش های مختلف (ب) نمودار تغییرات زمان واهلش در چند ابرازی مهم برای نمونه بدون آلایش

این عدم یکنواختی در توزیع که در مرحله رشد به وجود می آید باعث به وجود آمدن افت و خیزهای پتانسیل در سطح مشترک می شود<sup>[۲]</sup>. در نمونه بدون آالیش نیز به علت وجود چنین افت و خیزهای پتانسیل در ته چاه ها، حامل ها در این مراکز جایگزیده می شوند و مکانیسم بازترکیب اکسیتونی است. در حقیقت زمان واهلش از دو قسمت تشکیل می شود: بخش اول زمان لازم برای اینکه الکترون و حفره به حداقل انرژی برسند و دیگری زمان لازم برای انجام عمل بازترکیب، که ما از آنها بترتیب با عنوان زمان جایگزیدگی<sup>۱</sup> و زمان بازترکیب<sup>۲</sup> یاد می کنیم. همین موضوع منجر به رفتار غیر نمایی زمان واهلش در نمونه بدون آالیش می شود. با اضافه کردن آالیش نوع n در سدها و در نتیجه افزایش تعداد الکترونهای آزاد در ناحیه چاه GaN به تدریج افت و خیزهای پتانسیل مربوط به الکترونها استقرار شده و دیگر مسئله جایگزیدگی مطرح نیست. از طرف دیگر با افزایش آالیش نیروی کولنی بین الکترون و حفره استقرار شده و احتمال اینکه یک الکترون بتواند یک حفره را پیدا کند و تشکیل اکسیتون بدهد، خیلی کم می شود و اگر اکسیتونی تشکیل شود آنقدر ناپایدار است که سریع می شکند و مکانیسم بازترکیب در این نمونه ها بصورت الکترون آزاد و حفره جایگزیده خواهد بود.

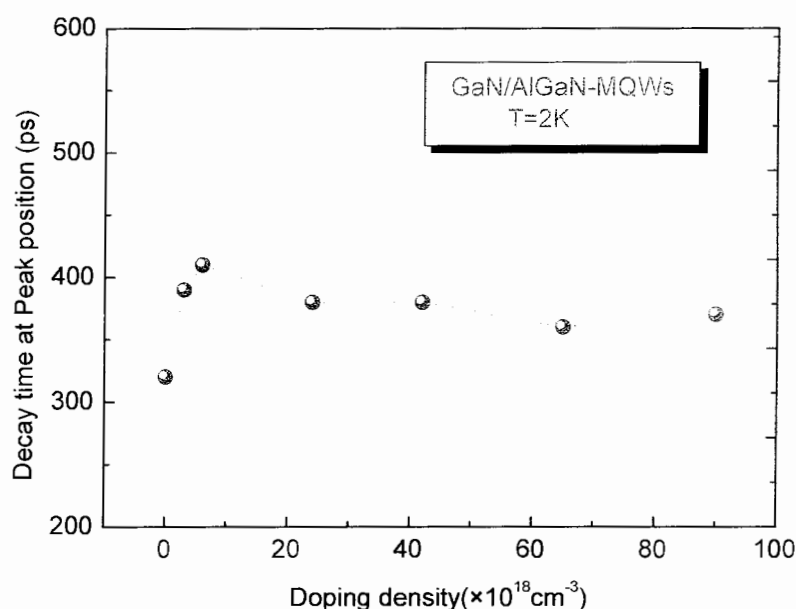


شکل ۶-۶: تصویر TEM نمونه

<sup>1</sup>Relaxation time

<sup>2</sup>Recombination time

از آنجایی که تعداد حفره ها ثابت است و به علت کوچکی تابع موج حفره در AlGaN (در حدود فاصله بین اتمهای Al است) [۳] همواره و براحتی حفره ها در افت و خیزهای پتانسیل در این نمونه ها جایگزیده هستند. در شکل ۹-۶ منحنی مقدار زمان واهلش مربوط به انرژی پیک PL همه نمونه ها بر حسب چگالی آلایش رسم شده است. با اینکه انتظار داشتیم زمان واهلش با افزایش آلایش نوع n بدليل در دسترس بودن تعداد زیاد الکترون برای بازترکیب و همچنین بدليل از میان رفتن مسئله جایگزیدگی بخاطر استثار افت و خیزهای پتانسیل توسط الکترونها آزاد، بتدریج کاهش یابد ولی می بینیم که زمان واهلش تقریباً ثابت است و علت آن همانطور که گفته شده جایگزیدگی حفره هاست و در حقیقت این شکل تائیدی بر جایگزیدگی حفره ها می باشد. این موضوع قبلاً توسط گالالارت<sup>۱</sup> نیز پیش بینی شده بود [۴].



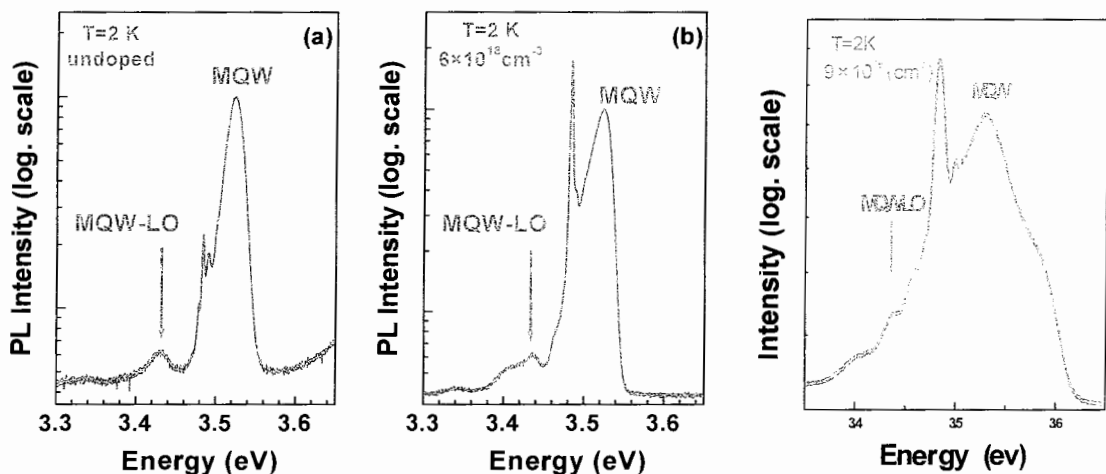
شکل ۹-۶: تغییرات زمان واهلش در انرژی پیک فوتولومینسانس حاصل از چاه های کوانتوسومی GaN/AlGaN بر حسب چگالی آلایش سیلیکونی در دمای ۲K

جایگزیدگی حفره ها در دمای پایین از طریق دیگری نیز قابل اثبات می باشد و آن مشاهده جفت شدگی فونون های اپتیکی طولی (LO فونون ها) که به خوبی برای ساختارهای فوق دیده شده است<sup>ii</sup>. هنگام

<sup>i</sup> Gallart

<sup>ii</sup> K. J. Nash and D. J. Mowbray, J. Lumin. **44**, 315 (1989).

بازترکیب نوری اکسیتونها یا حاملهای آزاد در صورت جایگزیدگی آنها، طبق قانون بقای ممنتوم نیاز به حضور یک فونون می‌باشد. محتمل ترین فونون در فرآیند بازترکیب نوری معمولاً فونون اپتیکی طولی یا LO-فونون می‌باشد. وجود رد پای<sup>i</sup> LO-فونون که در طیف لومینسانس گسیلی از GaN در حدود ۹۲meV پایین تر از یک اصلی مشاهده می‌گردد تأییدی بر جایگزیدگی اکسیتونها یا حاملهای آزاد می‌باشد. در شکل ۱۰-۶ این مطلب برای سه نمونه با آلایش‌های متفاوت نشان داده شده است. همانطور که از شکل نمایان است شدت جفت شدگی فونون‌های اپتیکی طولی برای یک اصلی لومینسانس به وضوح با یکدیگر قابل قیاس هستند و البته این موضوع ناشی از جایگزیدگی اکسیتون‌ها یا حفره‌ها می‌باشد که به مقدار ناچیزی از الکترون‌های موجود در چاه GaN تأثیر می‌پذیرند. در نمونه بدون آلایش شدت جفت شدگی بیشتر می‌باشد که نشان دهنده انرژی جایگزیدگی بیشتر در این نمونه می‌باشد. این موضوع در بخش ۶-۶ دوباره بحث می‌شود و به صورت دقیق مقدار انرژی جایگزیدگی بدست می‌آید.

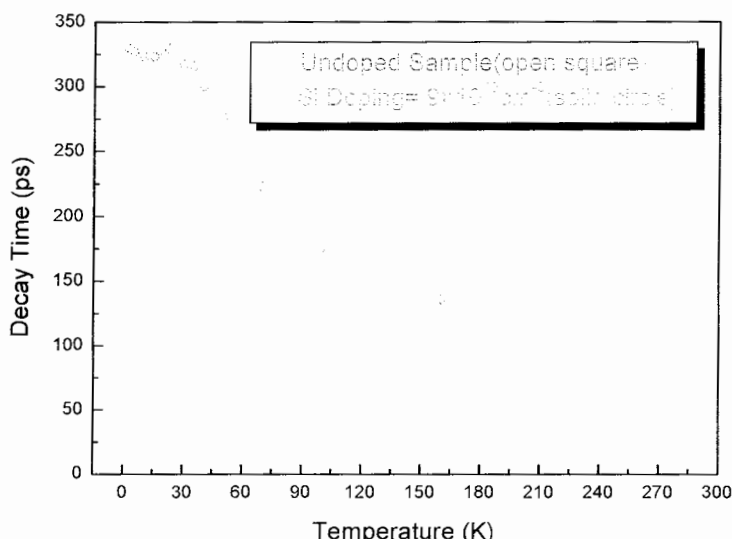


شکل ۱۰-۶: طیف PL سه نمونه با آلایش سیلیکونی متفاوت از گروه اول که جفت شدگی LO فونون‌ها در آنها قابل مشاهده و قابل مقایسه می‌باشد. به شدت جفت شدگی شدیدتر در نمونه بدون آلایش توجه کنید.

<sup>i</sup> Phonon Replica

## ۶-۵-بررسی تجربی اثر آلایش سیلیکونی بر روی مکانیسم بازترکیب نوری و غیرنوری در چاههای کوانتمویی چندگانه GaN/AlGaN

برای انجام بررسی های دقیق تر و درک رفتار زمان واهلش با افزایش دما و تشخیص اینکه بازترکیب های تابشی و غیر تابشی هر کدام در چه محدوده دمایی نقش غالب را دارند، تغییرات زمان واهلش مربوط به پیک فوتولومینسانس حاصل از چاه های کوانتمویی چندگانه گالیم نیتراید برحسب دما برای دو نمونه بدون آلایش و آلایش خیلی زیاد ( $10^{19} \text{ cm}^{-3}$ ) در شکل ۱۱-۶ رسم شده است.



شکل ۱۱-۶: وابستگی دمایی زمان واهلش در انرژی پیک PL حاصل از QW ها به دما برای دو نمونه بدون آلایش و بیشترین آلایش سیلیکونی

همانطوری که از شکل پیداست در محدوده دماهای پایین زمان واهلش تقریباً ثابت است و علت آن بازترکیب تابشی اکسیتون ها یا حامل های جایگزیده می باشد. به عنوان مثال اگر نمونه با آلایش خیلی زیاد را درنظر بگیریم، آنقدر حامل آزاد در دسترس وجود دارد که افزایش دما با مقدار کم که منجر به خارج شدن حامل ها از جایگزیدگی می شود، تاثیری در زمان واهلش بازترکیب نخواهد داشت اما وقتی که دما به مقدار بیشتری افزایش می یابد، به دلیل نقش غالب بازترکیب های غیر تابشی که سریعتر از بازترکیب های تابشی می باشند، زمان واهلش تقریباً به صورت نمایی کاهش پیدا می کند. در همه چاههای کوانتمویی نیتروژن دار، این رفتار زمان واهلش به خاطر تغییر رژیم بازترکیب از بازترکیب حامل ها یا

اکسیتون های جایگزیده در دماهای پایین به بازترکیب حامل ها یا اکسیتون ها آزاد در دمای بالامی باشد<sup>[۵]</sup>. در نمونه بدون آلایش زمان واهلش فوتولومینسانس از مقدار  $ps\ 320$  در دمای  $K\ 2K$  به  $ps\ 40$  در دمای  $K\ 240$  کاهش می یابد. در گزارش دیگری که از نمونه هایی شبیه به نمونه های ما استفاده شده ولی روش رشد بکاررفته روش MBE بود، نتایج مشابهی گزارش شده است<sup>[۶]</sup>. در نمونه با آلایش خیلی زیاد در بازده دمایی  $35 - 2$  کلوین همانطور که در بالا اشاره شد افت و خیزهای کوچکی در زمان واهلش فرآیند بازترکیب در محل پیک PL حاصل از QW ها مشاهده می شود. در این نمونه زمان واهلش PL از مقدار  $ps\ 330$  در دمای  $K\ 2K$  به مقدار  $ps\ 50$  در دمای  $K\ 280$  کاهش می یابد. این بدین معنی است که در مقایسه با نمونه بدون آلایش زمان واهلش در نمونه با آلایش خیلی زیاد، کاهش کندتری برحسب دمای دارد(شکل ۱۱-۶)؛ و این به معنی آن است که بازترکیب تابشی نسبت به بازترکیب غیرتابشی تا دماهای بالاتری در نمونه های آلایش یافته غالب می باشد. در بیان علت مشاهده چنین رفتاری بایستی اشاره شود که در نمونه های آلایش یافته چون تعداد بازترکیب ها بیشتر از نمونه بدون آلایش می باشد(چون تعداد حامل های آماده بازترکیب زیادتر است) فوتون های بیشتری نسبت به نمونه بدون آلایش گسیل می شود و اگرچه با افزایش آلایش نقایص زیاد شده و LO فونون های بیشتری تولید می شود ولی در کل گسیل تابشی در نمونه آلایش یافته بدليل حضور لایه دوبعدی الکترونها<sup>۱</sup> آزاد(2DEG) قویتر است. با استفاده از زمان واهلش اندازه گیری شده،  $(T)_L\tau$ ، و شدت کل فوتولومینسانس در هر دما،  $(T)_L I_L$ ، و با استفاده از رابطه های زیر می توانیم زمان های بازترکیب تابشی و غیرتابشی را محاسبه کرد:

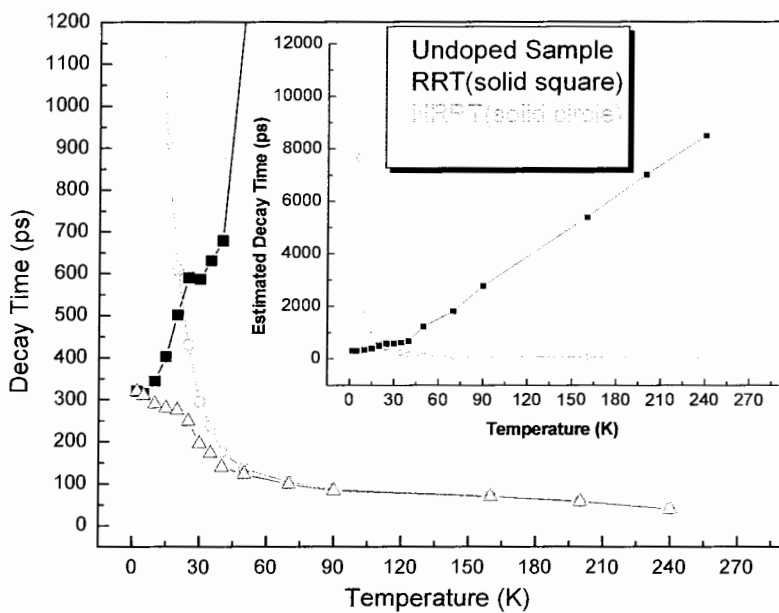
$$\tau_R(T) = \tau_L(T) I_L(0) / I_L(T) \quad (1-6)$$

$$\tau_{NR}(T) = \tau_L(T) I_L(0) / [I_L(0) - I_L(T)] \quad (2-6)$$

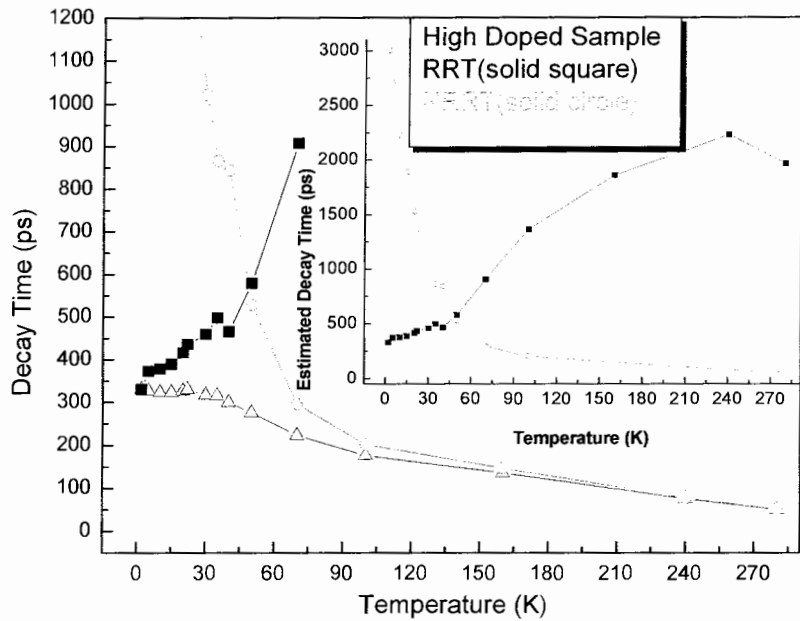
زمان های بازترکیب تابشی و غیرتابشی برحسب دما برای دو نمونه بدون آلایش و آلایش خیلی زیاد برحسب دما در شکل ۱۲-۶ و ۱۳-۶ رسم شده است. در شکل ۱۲-۶ مشاهده می شود که در نمونه بدون آلایش تا حدود دمای  $K\ 30$  بازترکیب تابشی نقش غالب تری را دارد(چون همانطور که از روی شکل

<sup>۱</sup> 2 Dimensional Electron Gas

پیداست زمان بازترکیب مربوط به آن کوتاهتر است) و در دماهای بالاتر از  $30\text{ K}$  ( $T > 30\text{ K}$ ) بازترکیب غیر تابشی غالب خواهد شد. همچنین در مورد نمونه آلایش یافته از روی شکل ۱۳-۶ واضح است که تا دمایی حدود  $60\text{ K}$  گلوین مکانیسم بازترکیب تابشی غالب می باشد و در دمای بالاتر از آن، بازترکیب غیر تابشی غالب خواهد شد. علی رغم حضور گاز الکترونی دو بعدی که از آلایش سیلیکونی در سدهای  $\text{AlGaN}$  ناشی می شود، در نمونه با آلایش زیاد، علت غالب شدن مکانیسم بازترکیب غیر تابشی در این نمونه در دماهای بالاتر از  $60\text{ K}$  گلوین وجود نقایص ساختاری فراوان در این نمونه می باشد. با توجه به بحثی که در فوق ارائه شد می توان نتیجه گرفت که در نمونه های آلایش یافته با  $\text{Si}$  بازترکیب تابشی تا دماهای بالاتری غالب بوده و همچنین میزان گسیل تابشی از این نمونه ها در مقایسه با نمونه بدون آلایش قویتر و بیشتر می باشد.



شکل ۱۳-۶: مقادیر اندازه گیری شده زمان واهلش (مثلثهای تو خالی) و مقادیر محاسبه شده زمانهای بازترکیب تابشی،  $\tau_R$ ، و غیر تابشی،  $\tau_{NR}$ ، در دماهای مختلف برای نمونه بدون آلایش



شکل ۱۳-۶: مقادیر اندازه گیری شده زمان واهلش (مثلثهای تو خالی) و مقادیر محاسبه شده زمانهای بازترکب تابشی،  $\tau_R$ ، و غیرتابشی،  $\tau_{NR}$ ، در دمایهای مختلف برای نمونه با بیشترین آلایش.

## ۶-۶- تعیین تجربی انرژی جایگزیدگی در چاه های کوانتمومی GaN به کمک تغییرات دمایی منحنی های فوتولومینسانس

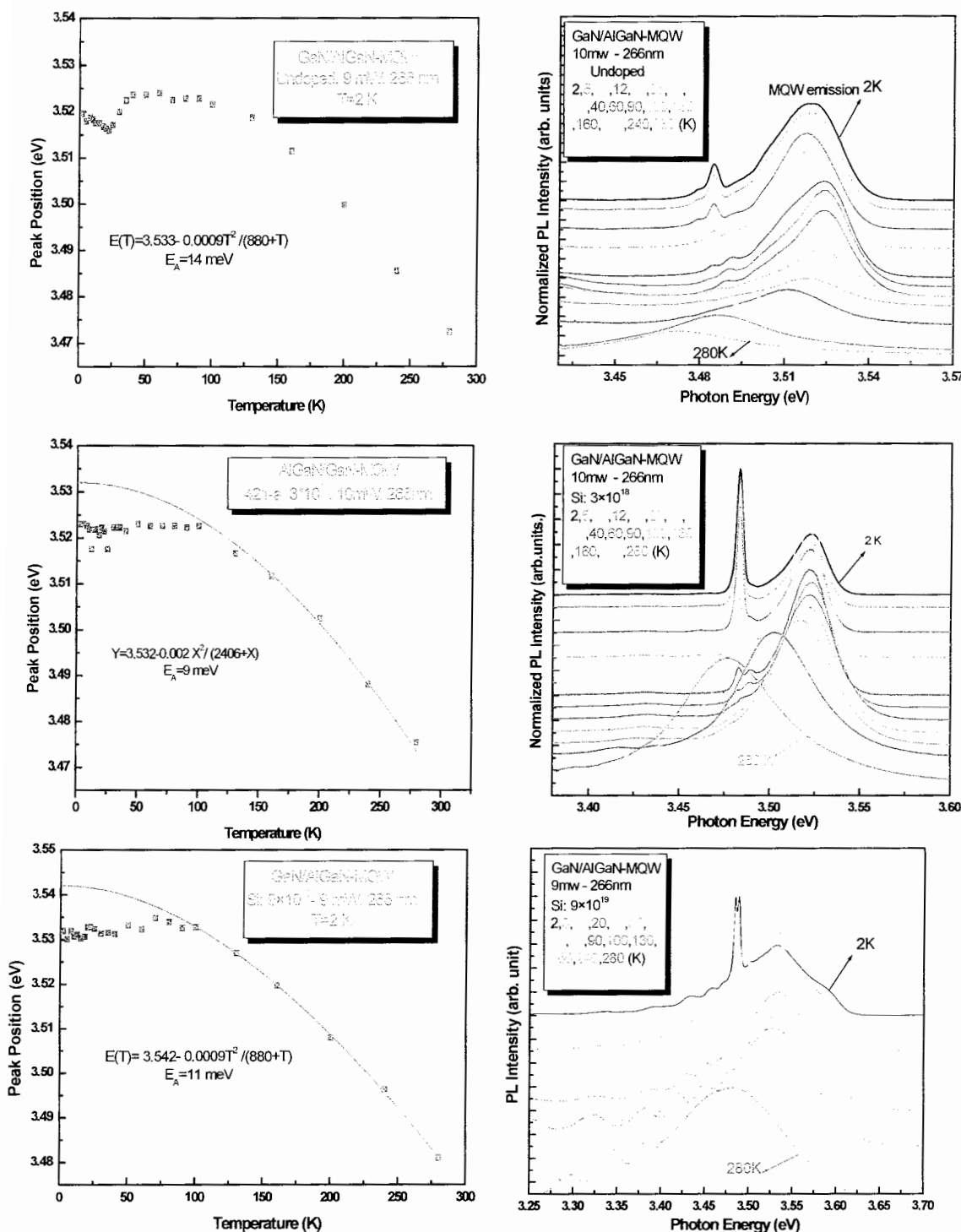
تکنولوژی نوری فوتولومینسانس ابزار قدرتمندی است که امکان مطالعه اپتیکی و درک مکانیسم بازترکیب ها و وابستگی دمایی و زمانی را در نانو ساختارهای کوانتمومی (در اینجا چاه های کوانتمومی چندگانه گالیم نیتراید) فراهم می آورد. در این قسمت ما با استفاده از این ابزار تغییرات انرژی پیک PL حاصل از نمونه ها را با افزایش دما برای یکسری از نمونه ها بررسی می کنیم و علت رفتارهای مشاهده شده در هر بازه دمایی را توضیح می دهیم و همچنین نقش آلایش سیلیکونی را در توجیه این رفتارها خواهیم دید. با بررسی وابستگی دمایی نمونه ها به شواهدی مبتنی بر جایگزیدگی اکسیتون ها در این نمونه ها حتی نمونه های با آلایش خیلی زیاد می توان دست یافت. در شکل ۱۴-۶ وابستگی دمایی طیف PL حاصل از نمونه های بدون آلایش و آلایش های ( $cm^{-3}$ )  $9 \times 10^{19}$ ،  $4/2 \times 10^{19}$  و  $10^{18}$  ( $cm^{-3}$ ) همراه با بستگی دمایی انرژی پیک PL حاصل از این نمونه ها نشان داده شده است. با

بررسی نمودارهای بدست آمده مشخص می شود که در محدوده دماهای پایین و با افزایش دما به مقدار کم حامل ها انرژی لازم برای تحرک داشتن را پیدا می کنند و لذا در مینیمم های انرژی و یا افت و خیزهای پتانسیل جایگزیده می شوند و در نتیجه باعث شیفت انرژی گسیلی به سمت انرژی های کمتر می شوند. وقتی که دما به مقدار بیشتری افزایش می یابد، به خاطر خارج شدن همین حامل ها از جایگزیدگی شیفتی به سمت انرژی های بیشتر (آبی) در انرژی پیک PL مشاهده می شود. این شیفت آبی عموماً تا دمای  $70\text{ K}$  ادامه دارد. با افزایش دما به میزان بیشتر از  $70\text{ K}$  ( $T > 70\text{ K}$ ), از آنجا که گاف نواری نیمه رسانها با افزایش دما کاهش می یابد انرژی پیک PL بتدریج کاهش می یابد و به سمت قرمز شیف پیدا می کند. البته در دو بازده دمایی قبلی این اثر یعنی کاهش انرژی گاف نواری با افزایش دما وجود داشت ولی در این قسمت این اثر کاملاً غالب می شود. بدین ترتیب یک منحنی اصطلاحاً به شکل S<sup>1</sup> بدست خواهد آمد لازم به ذکر است که اگرچه در نمونه های با آلایش بالا افت و خیزهای پتانسیل توسط حامل ها پر شده اند ولی مراکز ناخالصی همچنان برای جایگزیدگی اکسیتون کردن اکسیتون ها وجود دارند و اکسیتون ها جایگزیده می شوند. مقدار انرژی جایگزیدگی اکسیتون ها در این نمونه ها را می توان از روی تغییرات انرژی پیک PL حاصل از چاه های کوانتمویی بر حسب دما بطور تخمینی بدست آورد. برای انجام این کار بایستی داده های تجربی (مربع های توپر) را توسط فرمول ورشنی(Varshni) که به صورت [7] :

$$E(T) = E(0) - \frac{\alpha T^2}{\beta + T} \quad (3-6)$$

می باشد، فیت کرد. رابطه ورشنی تغییرات گاف انرژی  $\text{GaN}$  که ای را بر حسب دما بیان می کند. انرژی جایگزیدگی اکسیتون ها به طور تخمینی برابر با اختلاف بین انرژی پیک PL حاصل از داده های تجربی و انرژی بدست آمده از فیت کردن داده ها در دمای پایین می باشد. در فرمول ورشنی  $E(0)$  انرژی گذار در  $0\text{ K}$  می باشد و  $\alpha, \beta$  دو ثابت هستند که در اندازه گیری های ما  $880\text{ K}$  و  $880\text{ eV/K}$  بدست آمده اند؛ که با مقادیر بدست آمده برای اکسیتون نوع A،  $\text{GaN}$  مطابقت دارد[8]. بدین ترتیب انرژی جایگزیدگی برای آلایش های مختلف بدست آمده و در جدول ۱-۶ گردآوری شده است.

<sup>1</sup> S- shape



شکل ۶-۱۴: نمودارهای وابستگی دمایی طیف PL حاصل از نمونه های بدون آالیش و آالیش های  $9 \times 10^{19} \text{ cm}^{-3}$  و  $3 \times 10^{19} \text{ cm}^{-3}$  همراه با بستگی دمایی انرژی پیک PL حاصل از این نمونه ها

همانطور که از جدول ۱-۶ می‌توان دریافت، با افزایش آلایش Si تا مرز  $(cm^{-3}) \times 10^{19}$  ۴/۲ مقدار انرژی جایگزیدگی کاهش می‌یابد و این کاهش به علت استثمار موثر افت و خیزهای پتانسیل موجود در کف چاه‌های کوانتموی توسط الکترونهای ناشی از آلایش در سدها می‌باشد. فقط برای دو نمونه آخر با آلایش‌های خیلی زیاد (آلایش‌های بیشتر از  $(cm^{-3}) \times 10^{19}$  ۴/۲) انرژی جایگزیدگی شروع به زیاد شدن می‌کند که این موضوع به علت وجود نقایص ساختاری فراوان بوجود آمده در اثر آلایش زیاد دراین نمونه‌ها می‌باشد [۹]. مقایسه بین نمونه بدون آلایش گالیم نیتراید مشابه که با روش MBE رشد یافته است میزان انرژی جایگزیدگی بیشتری (در حدود ۲۰ meV) را برای نمونه‌های MBE نشان می‌دهد [۱۰].

جدول ۱-۶: انرژی جایگزیدگی اکسیتون‌ها در چاه‌های کوانتموی GaN/AlGaN در آلایش‌های سیلیکونی مختلف

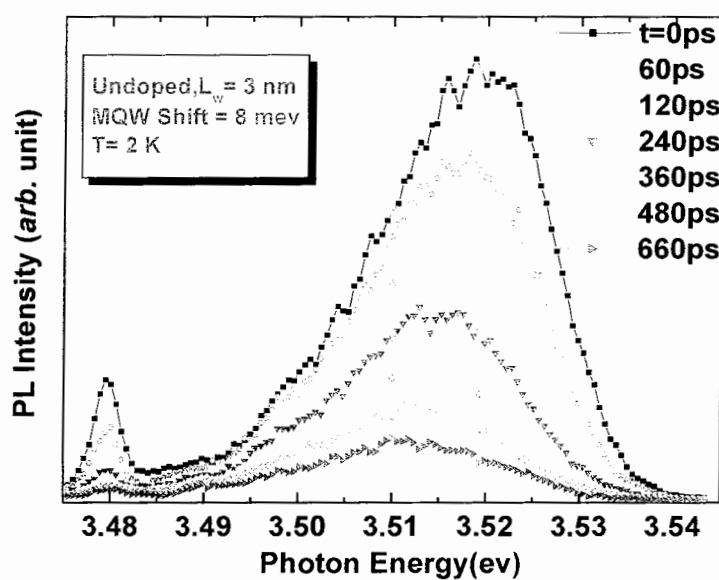
میزان آلایش ( $cm^{-3}$ )	بدون آلایش	$3 \times 10^{18}$	$6 \times 10^{18}$	$2/4 \times 10^{19}$	$4/2 \times 10^{19}$	$6/5 \times 10^{19}$	$9 \times 10^{19}$
انرژی جایگزیدگی (meV)	۱۴	۱۲	۱۱	۷	۶	۹	۱۰

#### ۷-۶- رقابت حامل‌های نوری و دائمی در استثمار میدان‌های قطبشی در چاه‌های کوانتموی

GaN/AlGaN

همانطور که می‌دانیم در اثر برخورد نور لیزر به نمونه، یکسری حامل‌ها (الکترون‌ها و حفره‌ها) که اصطلاحاً حامل‌های نوری یا "نور تولید شده" نامیده می‌شوند، به وجود خواهد آمد. در این بخش ما نقش حامل‌های نوری را در استثمار میدان‌های قطبشی داخلی چاه‌های کوانتموی به کمک تکنیک فوتولومینسانس وابسته به زمان مورد مطالعه قرار می‌دهیم و در مورد رقابت حامل‌های موقتی (حامل‌های نوری) و حامل‌های دائمی (ناشی از آلایش سیلیکونی در سدها) در استثمار میدان‌ها به بحث می‌شویم.

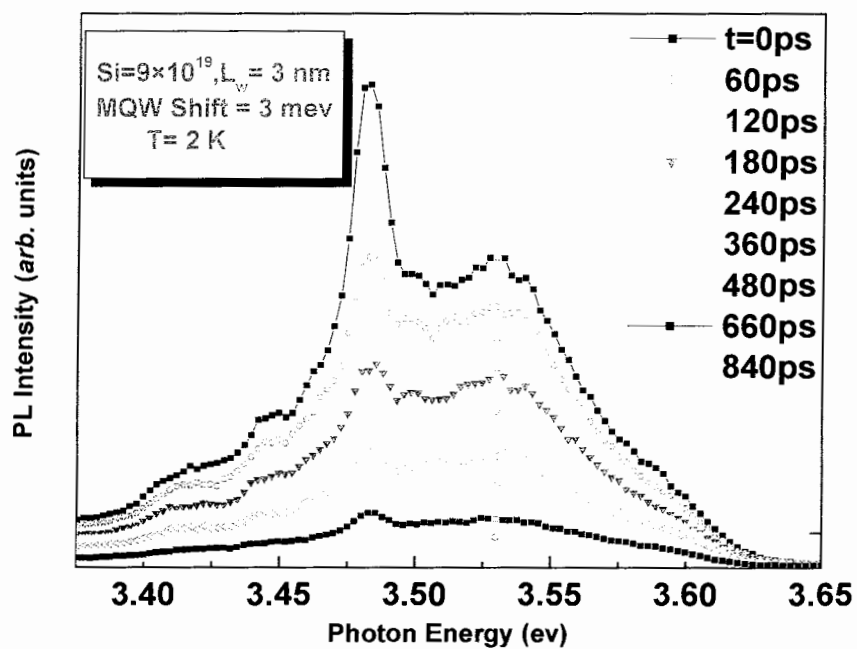
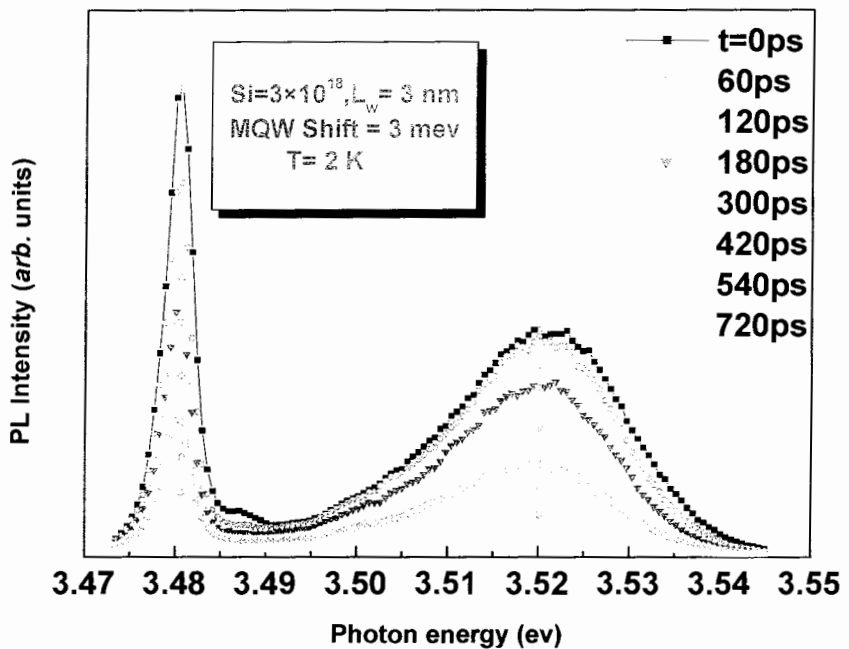
پردازیم. همانطور که اشاره شده با استفاده از روش TRPL می توان استثار میدان های داخلی توسط حامل های ناشی از آلایش سیلیکونی را تعیین کرد. در این قسمت برای آزمایش های فوتولومینسانس وابسته به زمان از هارمونیک سوم لیزر پالسی Ti:Sapphire با طول موج nm ۲۶۶ به عنوان منبع تحریک کننده استفاده شده است. در شکل ۱۵-۶ تغییرات زمانی طیف PL نمونه بدون آلایش با پهنای چاه nm ۳ در دمای K ۲ نشان داده شده است. اندازه گیری انرژی پیک PL حاصل از چاه های کوانتومی در ps ۶۰۰ اولیه تحریک نمونه بوسیله نور لیزر نشان می دهد که شیفتی به اندازه meV ۸ در انرژی پیک PL حاصل از چاه ها در این نمونه به سمت انرژی های کمتر (شیفت به قرمز) دیده می شود. در بیان دلیل مشاهده چنین شیفتی باید بگوییم که تعداد حامل های نوری با گذشت زمان به علت اینکه این حامل ها با یکدیگر بازترکیب می کنند، کم می شود؛ و از آنجا که این حامل ها مسئول اصلی استثار میدان های قطبشی در چاه های کوانتومی نمونه بدون آلایش می باشند، با گذشت زمان و کاهش حامل ها، استثار موثر میدان ها توسط این حامل ها کم شده و لذا اثر کوانتومی استارک زیاد می شود. در نتیجه شیفتی به سمت انرژی های کمتر در انرژی پیک PL دیده می شود



شکل ۱۵-۶: وابستگی به زمان طیف فوتولومینسانس حاصل از نمونه بدون آلایش در ps ۶۰۰ اولیه بعد از تابش نور لیزر

در شکل ۱۶-۶ طیف فوتولومینسانس وابسته به زمان مشابه بدست آمده از دو نمونه با آلایش سیلیکونی به ترتیب  $(cm^{-3}) \times 10^{19}$  و  $(cm^{-3}) \times 10^{18}$  نیز در دمای ۲K نشان داده شده است. اندازه گیری نشان دهنده شیفتی به اندازه ۳ meV و ۱ meV در انرژی پیک PL چاه های کوانتموی در طی ۶۰۰ ps اولیه بعد از تابش نور لیزر برای نمونه های با آلایش  $(cm^{-3}) \times 10^{18}$  و  $(cm^{-3}) \times 10^{19}$  می باشد. ولی هیچ گونه شیفتی برای نمونه با آلایش  $(cm^{-3}) \times 10^{19}$  دیده نمی شود(شکل مربوط به نمونه با آلایش  $\times 10^{19}$  ۴/۲ نشان داده نشده است). در توضیح علت مشاهده چنین رفتاری بایستی بگوییم که برای برانگیختگی نمونه ها از لیزری که دارای مشخصات  $f=250\text{ KHz}$  و  $t=200\text{ fs}$  و توان برانگیختگی  $20\text{ mW}$  و قطر لکه لیزر  $100\text{ }\mu m$  است، استفاده شده است. و با فرض اینکه ضریب جذب در طول موج برانگیختگی  $(cm^{-1}) \times 10^5$  باشد[۱۱]، ماکریمم حامل های نوری در نمونه،  $(cm^{-3}) \times 10^{18}$  ۲ خواهد بود که به وضوح از تعداد حامل های ناشی از آلایش در سدها کمتر از و لذا مشاهده شیفت کمتر در نمونه های با آلایش  $(cm^{-3}) \times 10^{18}$  در مقایسه با نمونه های بدون آلایش منطقی به نظر می رسد؛ چون در این نمونه ها نقش حامل های نوری در استتار کردن با وجود و حضور حامل های ناشی از آلایش سیلیکونی کمرنگ تر شده است. در مورد نمونه با آلایش خیلی زیاد  $((cm^{-3}) \times 10^{19})$  تعداد حامل های حاصل از آلایش در سدها که به چاه وارد شده اند آنقدر زیاد است که نقش حامل های نوری در استتار کردن میدان های قطبی به صفر میل می کند و گذشت زمان و کاهش حامل های نوری تاثیر در میزان استتار میدان های قطبی نخواهد داشت و شیفتی را که در مورد نمونه های بدون آلایش و آلایش کم مشاهده کردیم، در مورد نمونه با آلایش بالا اصلاً نمی بینیم.

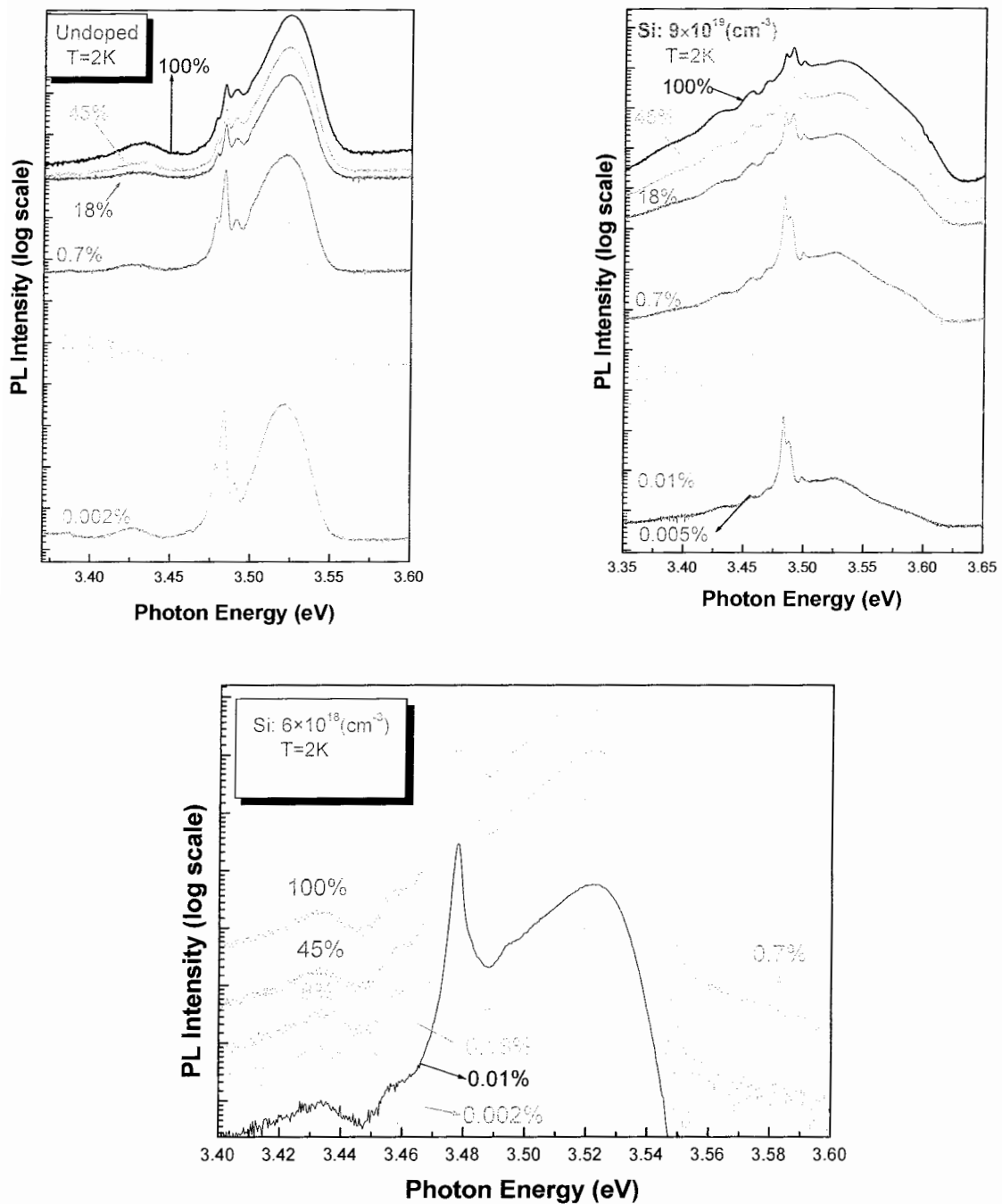
نهایتاً به این نتیجه رهنمون می شویم که استفاده از حامل های خارجی که توسط آلایش در سیستم قابل ایجاد هستند، برای استتار میدان های پیزوالکترویک داخلی و در نتیجه حذف اثر کوانتموی استارک موثر می باشد. البته میزان چگالی آلایش به نحوی باید محاسبه گردد که حامل های نوری تاثیری بر انرژی گسیلی از قطعه اپتوالکترونیکی نداشته باشد. در محاسبات بالا اولین چاه کوانتموی تقریباً ۱۴٪ از نور لیزر را جذب می کند و مقدار جذب نور در چاه های کوانتموی بعدی کاهش می یابد و در نتیجه تعداد حامل های برانگیخته در چاه های بعدی کاهش می یابد.



شکل ۱۶-۶: وابستگی به زمان طیف فوتولومینسانس حاصل از نمونه های با آلایش های  $3 \times 10^{18} \text{ cm}^{-3}$  و  $2K$  در دمای  $3 \times 10^{19} \text{ cm}^{-3}$

## ۶-۸- مطالعه وابستگی نوری لومینسانس نمونه ها در اثر تغییر شدت نور تحریکی

برای بررسی اثر شدت باریکه لیزر تابیده شده به نمونه در طیف PL و نقش حامل های نوری در استار کردن میدان های داخلی طیف فوتولومینسانس سه نمونه به ترتیب بدون آلایش و نمونه هایی با آلایش ( $\text{cm}^{-3}$ ) $10^{18}$  و ( $\text{cm}^{-3}$ ) $10^{19}$  در شکل ۱۷-۶ آورده شده است. در نگاه اول دو موضوع مهم به چشم می خورد اول اینکه با افزایش شدت شیفتی به سمت آبی در انرژی پیک PL حاصل از چاه های کوانتمویی دیده می شود و ثانیاً با افزایش شدت پهن شدگی در طیف PL حاصل از QW ها به چشم می خورد . با اندازه گیری مشخص شده است که با کاهش شدت نور باریکه لیزر از ۱۰۰٪ به ۰٪ مقدار شدت اولیه، شیفتی به اندازه تقریباً ۴ meV در نمونه بدون آلایش دیده خواهد شد و همچنین در مورد نمونه هایی با آلایش ( $\text{cm}^{-3}$ ) $10^{18}$  و ( $\text{cm}^{-3}$ ) $10^{19}$  این شیفت به ترتیب ۱ meV و صفر خواهد بود. علت مشاهده این شیفت در پیک فوتولومینسانس حاصل از QW ها با کاهش شدت این است که تعداد حامل های نوری با کاهش شدت کاهش می یابد و لذا استار میدان های قطبی داخلی موجود در چاه های کوانتمویی کاهش می یابد و لذا اثر کوانتموی استارک قوی تر می شود. علت این مطلب که با افزایش آلایش مقدار شیفت کاهش می یابد این است که همانطور که در بخش قبل گفته شده در آلایش های بالا نقش غالب در استار میدان های داخلی با حامل های آلایشی است و نه با حامل های نوری و لذا این شیفت با افزایش آلایش کا هش می یابد و در آلایش های خیلی بالا به صفر می رسد. اگر به شکل ۱۷-۶ به دقت توجه کنیم خواهیم دید که در همه نمونه ها وقتی که شدت نور تابشی افزایش می یابد طیف PL ناشی از QW ها پهن می شود. علت این پهن شدگی این است که وقتی شدت، افزایش می یابد نور لیزر به چاه های پایینی نیز می رسد و حامل های موجود در این چاه ها را نیز می تواند برانگیخته کند و لذا با افزایش شدت گسیل از همه چاه ها را خواهیم داشت و چون چاه های کوانتموی نمونه خاص اولاً دارای پهناوری یکسانی نیستند و ثانیاً میدان های قطبی داخلی آنها به مقدار یکسانی استار نمی شود، (بدلیل اینکه تعداد حامل ها در چاه های مختلف متفاوت است) در نتیجه اثر استارک در آنها متفاوت است، و گسیل های غیر یکسانی از لحاظ مقدار انرژی از چاه های متفاوت بدست می آید که باعث پهن شدگی طیف PL نمونه می شود (شکل ۱۷-۶ را ملاحظه کنید)



شکل ۱۷-۶: نمودارهای وابستگی به شدت نور لیزر طیف فوتولومینسانس در نمونه های بدون آلایش و آلایش سیلیکونی  $2\text{K}$  در دمای  $9 \times 10^{18}$  و  $6 \times 10^{18} \text{ cm}^{-3} \text{ cm}^{-3}$

## منابع

- [١] *Low-Dimensional Nitride Semiconductors*, Edited by B. Gil, First published 2002, Oxford Uni. Press.
- [٢] B. Monemar, H. Haratizadeh, P.P. Paskove, J. P. Bergman, E. Valcheva, B. Arnaudov, A. Kasic, P. O. Holtz, G. Pozina, S. Kamiyama, M. Iwaya, H. Amano, and I. Akasaki, *Phys. Stat. Sol. (c)*, **10** (2004).
- [٣] M. Gallart, A. Morel, T. Taliercio, P. Lefebvre, B. Gil, J. Allegre, H. Mathieu, N. Grandjean, M. Leroux and J. Massies, *Physica. Status Solidi A* **180** 127 (2000)
- [٤] M. Gallart, A. Morel, T. Taliercio, P. Lefebvre, B. Gil, J. Allegre, H. Mathieu, N. Grandjean, M. Leroux and J. Massies, *Physica. Status Solidi A* **180** 127 (2000).
- [٥] P. Lefebvre, S. Anceau, P. Valvin, T. Taliercio, L. Konczewicz, S.P. Lepkowski, et. al.; *Phys. Rev. B* **66**, 195330 (2002).
- [٦] P. Lefebvre, J. Allegre, B. Gil, H. Mathieu, N. Gradjean, M. Leroux, J. Massies, and P. Bigenwald; *Phys. Rev. B* **59**, 15363 (1999).
- [٧] Y. P. Varshni; *Physica* **34**, 149 (1967).
- [٨] M. Leroux, N. Grandjean, B. Beaumont, G. Nataf, F. Semond, J. Massies, and P. Gibart, *J. Appl. Phys.* **86**, 3721 (1999).
- [٩] L. T. Romano, C. G. Van de Walle, J. W. Ager III, W. Goitz, and R. S. Kern, *J. Appl. Phys.* **87**, 7745 (2000).
- [١٠] M. Leroux, N. Grandjean, M. Laugt, J. Massies, B. Gil, P. Lefebvre, and P. Bigenwald, *Phys. Rev. B* **58**, R13371 (1998).
- [١١] J. F. Muth, J. D. Brown, M. A. I. Johnson, Zhonghai Yu, R. M. Kolbas, J. W. Cook, and J. F. Schetzina, *MRS Internet J. Nitride Semicond Res.* **4S1**, G5.2 (1999).

## استار میدان های قطبشی داخلی نانو ساختارهای گالیم نیتراید

اسماعیلی<sup>۱</sup>، مرتضی؛ هراتی زاده<sup>۲</sup>، حمید؛ مونمار<sup>۳</sup>، بو؛ کامی یاما<sup>۳</sup>

<sup>۱</sup> گروه فیزیک دانشگاه صنعتی شاهرود، بلوار دانشگاه، شاهرود

<sup>۲</sup> استیتوی فیزیک و تکنولوژی منجش دانشگاه لیشورپینگ، لیشورپینگ، سوئد

<sup>۳</sup> استیتوی مهندسی برق و الکترونیک دانشگاه میجو، ناکویا، زاپن

### چکیده

اثر پوششی ناخالصی Si بر روی میدانهای قطبشی داخلی موجود در ساختار GaN/AlGaN و نحوه استار این میدانها توسط الکترونهای آزاد موجود در چاهه GaN و ممچنین اثر آلایش سلیکرنی روی انرژی جایگزینی حاملها به روش اپتیکی در این مقاله مطالعه شده است. در اینجا نشان داده شده است که میدانهای قطبشی داخلی در نمونه های با آلایش متوسط و بیala توسط الکترونهایی که از آلایش سدها با اتمهای Si تشأث میگیرند استار شده اند. به دلیل استار میدانهای قطبشی داخلی همپوشانی توابع موج الکترون و حفره افزایش یافته و در نتیجه راندمان نوری نمونهها با افزایش آلایش Si افزایش می باید.

### مقدمه

نیمرساناهای نیتروژندار (InN, GaN, AlN) دارای گاف انرژی مستقیم و پهن هستند که این دو روی هم باعث شده است که به طور فزاینده ای از این گروه از مواد در ساخت قطعات اپتیکالکترونیکی به ویژه دیودهای نوری استفاده شود. یکی از خواص مهم مواد تری نیتراید حضور و وجود بارهای قطبشی در سطوح خارجی و سطوح مشترک آنها می باشد. این دسته از مواد به طور طبیعی در ساختار ورتسایس متبلور می شوند و دارای یک شبکه براوه شش گوشی با حضور چهار اتم بر هر سلول واحد هستند. اندازه گیری فتلومینسانس نانو ساختارهای GaN/AlGaN و GaN/InGaN حضور میدانهای الکتریکی داخلی ناشی از بارهای قطبشی القابی را به اثبات می رساند [۱-۲]. این میدانهای داخلی که در چاهه کواتنمی بوجود می آیند بر روی خواص اپتیکی نمونه مورد بررسی به شدت تأثیر می گذارند و مکان طیفی پیک فتلومینسانس و همچنین مکانیسم باز ترکیب حاملها و میزان همپوشانی توابع موج الکترون و حفره را تحت تأثیر قرار می دهند. علاوه بر میدان بیزو الکتریکی که بر اثر اختلاف ثابت شبکه بین مواد لایه و زیر لایه بوجود می آید، میدان الکتریکی دیگری بنام میدان الکتریکی خودبخودی به دلیل تقارن کم در ساختار کریستالی ورتسایس نیز وجود دارد که راستای آن در راستای رشد کریستال می باشد. علاوه بر دو میدان الکتریکی فوق میدان دیگری نیز به علت وجود حالت های سطحی و تخلیه الکترون ها از سطح خارجی نمونه به داخل چاهها بوجود می آید [۳-۴].

### نمونه ها و روش تجربی

ساختار چاههای کواتنمی چند گانه که در اینجا بررسی می شود روی زیر لایه اکسید آلومینیم و در جهت (۰۰۰۱) رشد یافته اند. روش رشد مورد استفاده رسوب گذاری بخار شیمیایی (MOCVD) بوده است. روی زیر لایه یک لایه به ضخامت ۲۰ nm از AlN و یک لایه بافر GaN بدون آلایش (حدود ۲μm) رشد داده شده است. بعد از آن ساختار

چاههای کوانتمی چند گانه که شامل پنج چاه  $GaN$  با پهنای حدود  $3\text{nm}$  که توسط ضخامت  $7\text{nm}$  از  $AlGaN$  است رشد داده شده است. یکسری از نمونه‌ها توسط سیلیکون آلایش شده و مقدار آلایش از  $10^{18} \text{cm}^{-3}$  تا حدود  $10^{20} \text{cm}^{-3}$  متغیر است. برای بر انگیختگی اپتیکی دراندازه گیری‌ها از یک لیزر با طول موج  $266\text{nm}$  استفاده شده است. سیگنال لومینیسانس حاصله توسط یک تکفام ساز پراشیده شده و بوسیله یک دوربین  $CCD$  آشکار سازی شد. اندازه‌گیریها از دمای هلیم مایع  $2\text{K}$  تا دمای اتفاق (RT) انجام شده است.

### تحلیل نتایج و بحث

در ابتدا با یک محاسبه ثوری اندازه میدانهای قطبی را حدوداً برآورد کرده و سپس به چگونگی استقرار این میدان‌ها توسط آلایش سیلیکونی در سدها خواهیم پرداخت. ثابت شبکه تنش یافته برای چاههای  $GaN$  در میدان‌های پایین در حدود  $\frac{3}{2}\times 183\text{\AA}$  تخمین زده می‌شوند. [۳] برای نمونه مورد بررسی به علت اینکه نمونه در جهت (۰۰۰۱) رشد یافته تمام درایه‌های تانسور پیزو الکتریک آن بجز یک درایه صفر خواهد شد و این درایه غیر صفر از رابطه زیر حساب می‌شود [۳-۵]

$$(1) \quad P_{PZ}=2(a-a_0)/a_0\{e_{31}-e_{33}\} C_{13}/C_{33}$$

که در آن  $a_0$  به ترتیب ثابت شبکه تنش یافته و تنش نیافته،  $e_{31}$  و  $e_{33}$  مولفه‌های تانسور میدان پیزو الکتریک و  $C_{33}$  و  $C_{13}$  مولفه‌های تانسور الاستیک می‌باشند. با استفاده از مقادیر عددی آنها و همچنین مقدار ثابت شبکه تنش نیافته برای چاههای  $GaN$  و  $a=\frac{3}{2}\times 183\text{\AA}$  خواهیم داشت [۵].

$$P_{PZ}\approx 0/002 \text{ (C/m}^2)$$

برای سدهای  $Al_{0/07} Ga_{0/93} N$  نیز،  $a_0=3/183\text{\AA}$  است و اگر از مقدار  $a$  بالا استفاده کنیم  $P_{PZ}=0$  خواهد شد. برای قطبش خود بخودی نیز با یک درونیابی ساده به مقادیر عددی  $P_{SP}=0/0028 \text{ (C/m}^2)$  برای سدها و مقدار  $P_{SP}=0/0034 \text{ (C/m}^2)$ - برای چاههای  $GaN$  می‌رسیم [۶-۷] و لذا جمع قطبش‌ها به صورت ذیل خواهد بود:

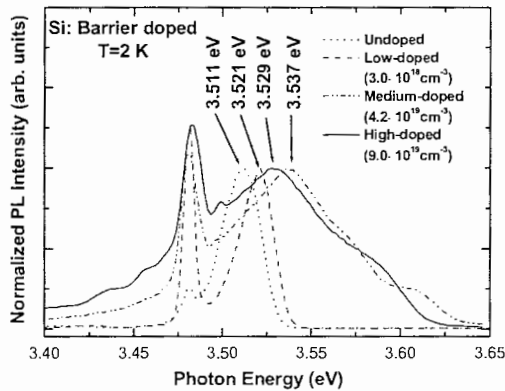
$$(2) \quad P_{tot}=P_{SP}+P_{PZ}\approx 0/0038 \text{ (C/m}^2) \quad \text{برای سدهای } AlGaN$$

$$(3) \quad P_{tot}=P_{SP}+P_{PZ}\approx 0/0032 \text{ (C/m}^2) \quad \text{برای چاههای } GaN$$

و با استفاده از رابطه‌های مربوط به میدان الکتریکی در داخل چاه و سد یعنی روابط  $E_w=(P_b-P_w)L_b/(L_w-L_b)\epsilon_0\epsilon$  و  $E_b=(P_w-P_b)L_w/(L_w+L_b)\epsilon_0\epsilon$  به ترتیب برای چاههای  $GaN$  و سدهای  $AlGaN$  و استفاده از مقادیر عددی  $L_w=30\text{nm}$  و  $L_b=10\text{nm}$  مقدار  $E_w=0/48\text{MV/cm}$  و برای  $E_b=0/2\text{MV/cm}$  بدست می‌آید. این میدان‌ها در حالتی که هیچ آلایشی به سدها وارد نشده محاسبه شده‌اند و جهت میدان‌ها نیز به طرف زیر لایه در چاههای کوانتمی می‌باشد. اگر یک برآورده از پهنای ناحیه تهی که در اثر انتقال الکترونهای سطح خارجی نمونه به داخل ناحیه فعال ایجاد می‌شود را نیز انجام دهیم می‌بینیم که در حالتی که آلایش سیلیکونی خیلی زیاد باشد پهنای ناحیه تهی  $W_h=4/5\text{nm}$  می‌باشد و در نمونه بدون آلایش  $W_h=45\text{nm}$  خواهد شد [۳]. و این بدین معنی است که برای نمونه‌های شدیداً آلایش یافته فقط یکی و یا دو تا چاه اول تحت تاثیر میدان تهی قرار می‌گیرند و برای نمونه‌های آلایش نیافته یا کم آلایش یافته تمام ناحیه فعال از میدان تهی تاثیر می‌یابد [۳-۸]. جهت این میدان نیز در خلاف جهت آن دو میدان دیگر است [۴]. برای نمونه ما که پنج چاه کوانتومی دارد در آلایش‌های سیلیکونی متوسط حدود یک تا دو تا از چاه‌ها در خارج ناحیه تهی قرار می‌گیرند و بقیه چاهها عملاً بدليل شدت

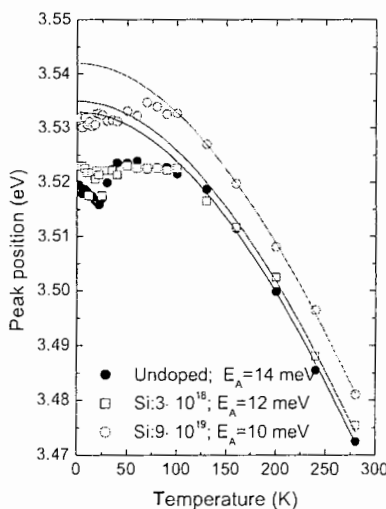
میدان غیرفعال می‌شوند و گسیلی از آنها مشاهده نمی‌شود زیرا تراز پایه در خارج چاه تشکیل یافته و عملاء حامل‌ها بطرف چاه‌های بعدی فرار می‌کنند. در شکل (۱) طیف فتوولومینسانس مربوط به یک مجموعه از نمونه‌های GaN/AlGaN در دمای ۲K و با آلایش Si که دارای چگالی متفاوت از  $3 \times 10^{18} \text{ cm}^{-3}$  تا  $9 \times 10^{19} \text{ cm}^{-3}$  می‌باشد را نشان می‌دهد. در آلایشهای کم پیک فتوولومینسانس منشأ اکسیتونی دارد ولی در آلایشهای زیاد مکانیسم بازترکیب اکسیتونی به بازترکیب بین الکترونهای آزاد و حفره‌های جایگزینه تبدیل می‌گردد [۹]. دلیل آن این است که ما الکترون آزاد به اندازه کافی با عمل آلایش در دسترس داریم ولی تعداد حفره‌ها همان تعداد اولیه که جایگزینه نیز می‌باشد باقی می‌مانند. مشاهده طیف اپتیکی حاصل از نمونه‌ها در شکل (۱) نشان می‌دهد که مکان طیفی پیک فتوولومینسانس حاصل از چاه کوانتمی، نسبت به مکان طیفی پیک فتوولومینسانس حاصل از GaN کهای که در (۳/۴۸ eV) قرار دارد، یک شیفت به سمت آبی (انرژی‌های بیشتر) نشان می‌دهد که علت آن اثر محدودیت کوانتمی می‌باشد.

حضور میدانهای داخلی در نمونه‌ها سبب اثر کوانتمی استارک (QCSE) و در نتیجه شیفت انرژی گسیلی به سمت انرژی‌های کمتر می‌گردد (انرژی‌های بیشتر) نشان می‌دهد که علت آن اثر محدودیت کوانتمی می‌باشد.



شکل ۱: طیف فتوولومینسانس نمونه‌های با چگال آلایش متفاوت در دمای

۲K در درون چاه میدانهای داخلی استارک شده و در نتیجه اثر کوانتمی استارک کاهش یافته و طیف گسیلی فتوولومینسانس به سمت انرژی‌های بالاتر شیفت می‌یابد. همان‌گونه که از شکل (۱) استنباط می‌شود وجود آلایش سیلیکون به نحو مؤثری بازده نوری نمونه‌ها را نیز افزایش می‌دهد که این موضوع از مقایسه سطح زیر منحنی فتوولومینسانس قابل درک است. این مسئله از آنجا ناشی می‌شود که استارک میدانهای داخلی باعث افزایش همپوشانی توابع موج الکترون و حفره و در نتیجه افزایش راندمان نوری در بازترکیب الکترون و حفره می‌گردد.



شکل ۲: وابستگی دمایی فتوولومینسانس حاصل از چاه‌های

کوانتمی GaN/AlGaN را از دمای ۲K تا ۳۰۰K برای نمونه‌های با آلایش مختلف بررسی کیم می‌بینیم که با توجه به شکل (۲) انرژی جایگزینی اکسیتونها با آلایش تغییر می‌کند و با افزایش آلایش انرژی جایگزینی از (۱۴ meV) بدون آلایش تا حدود (۶ meV) برای نمونه با آلایش ( $3.0 \times 10^{18} \text{ cm}^{-3}$ ) کاهش پیدا می‌کند (نمودار وابستگی دمایی فتوولومینسانس فقط برای سه نمونه در شکل ۲ نشان داده شده است) و علت این کاهش نیز به استارک مؤثر میدانهای داخلی که توسط آلایش سیلیکونی انجام می‌شود، مربوط می‌گردد. البته

برای دو نمونه دیگر که آلایش آنها بیشتر از  $(\text{cm}^{-3})^{1/2} \times 10^{19}$  می‌باشد دوباره انرژی جایگزینگی اکسیتونها شروع به زیاد شدن می‌کند که علت آن وجود نفایص ساختاری زیاد در این نمونه‌ها می‌باشد.

### نتیجه گیری

در این گزارش ما ضمن محاسبه تقریبی میدانهای قطبی داخلی شامل میدانهای پیزوالکترویک و خودبخودی برای ساختار بدون آلایش چاههای کوانتمویی چندگانه  $\text{GaN}/\text{Al}_{0.07}\text{Ga}_{0.93}\text{N}$  طیف فتولومینسانس گروهی از این نمونه‌ها را که سد آنها با Si آلایش یافته بود را مورد بررسی قرار دادیم و به این نتیجه رسیدیم که پیک فتولومینسانس حاصل از این چاهها به دلیل استثمار میدانهای قطبی داخلی توسط الکترونهایی که از اتمهای Si در لایه AlGaN به داخل چاه فرو می‌ریزنند به سمت انرژیهای بالاتر شیفت می‌یابد از طرف دیگر اثر این آلایش در افزایش راندمان نوری نمونه‌ها به خوبی قابل مشاهده می‌باشد.

### مراجع:

1. O.Ambacher,R.Dimitrov,M.Stutzmann,B.E.Foutz,M.J.Murphy,et.al.,*Phys.Stat.Sol.(b)* **216**,381(1999)
2. M.Leroux,N.Grandjean,M.Laugt,J.Massies,B.Gil,P.Lefebvre,P.Bigenwald,*Phys.Rev.B* **58**,R13371(1998)
3. B.Monemar,H.Haratizadeh,P.P.Paskov,G.Pozina,P.O.Holtz,J.P.Bergman,S.Kamiyama, M.Iwaya,H.Amano,I.Akasaki,*Phys.Stat.Sol.(b)* **237**,353(2003)
4. R.Cingolani,A.Botchkarev,H.Tang,H.Morkc,G.Traetta,G.Coli,M.Lomascolo,A.Di Carlo, F.De lla Sala and P.Lugli,*Phys.Rev.B* **61**,2711(2000)
5. O.Ambacher,J.Majewski,C.Miskys,A.Link,M.Hermann,M.Eickhoff,M.Stutzmann, F.Bernardini,V.Fiorentini,et.al.,*J.Phys.:Condens.Mattr.* **14**,3399(2002)
6. F.Bernardini,V.Fiorentini,D.Vanderbilt,*Phys.Rev.B* **63**,193201(2001)
7. F.Bernardini,V.Fiorentini,*Phys.Rev.B* **64**,085207(2001)
8. V.Fiorentini,F.Bernardini,F.Della Sala,A.Di Carlo,P.Lugli,*Phys.Rev.B* **60**,8849(1999)
9. H.Haratizadeh,P.P.Paskov,G.Pozina,P.O.Holtz,B.Monemar,S.Kamiyama,M.Iwaya, H.Amano, and I.Akasaki,*Appl.Phys.Lett.* **80**,1373(2002)

## Dynamical study of the radiative recombination processes in GaN/AlGaN QWs

M. Sabooni<sup>1</sup>, M. Esmaeili<sup>1</sup>, F. Tabasi<sup>1</sup>, H. Haratizadeh<sup>1,2</sup>, B. Monemar<sup>2</sup>, H. Amano<sup>3</sup>

1) Department of Physics, Shahrood University of Technology, Shahrood, Iran

2) Department of Physics and Measurements Technology, Linköping University,  
S-581 83 Linköping, Sweden

3) Department of Electrical and Electronic Engineering, Meijo University, 1-501  
Shiogamaguchi, Tempaku-ku, Nagoya 468, Japan

E-mail: hamha@walla.com

PACS 78.47.+p, 78.55.Cr, 78.67.De

The effects of the Si doping level on the recombination dynamics and carrier (exciton) localization in modulation-doped GaN/Al<sub>0.07</sub>Ga<sub>0.93</sub>N multiple-quantum-well (MQW) structures were studied by means of photoluminescence (PL) and time-resolved PL measurements. All samples with different doping levels show a QW emission which is blue shifted with respect to the 3.48 eV PL peak from the GaN buffer layer. The decay time at the peak position remains nearly constant in the range of 320-420 ps at 2 K for all doping levels. For the undoped and low-doped samples ( $3 \times 10^{18} \text{ cm}^{-3}$ ), which have less free electrons in the QWs, a non-exponential PL decay behaviour at 2 K is attributed to localized exciton recombination. The more highly doped samples ( $5 \times 10^{18} \text{ cm}^{-3}$  to  $10^{20} \text{ cm}^{-3}$ ) show almost exponential decay curves at 2 K, suggesting the recombination of free electrons and localized holes. The internal polarization-induced fields of the medium and highly-doped samples are partly screened by the electrons originating from the doping in the barriers. The emission peaks in time delayed PL spectra of these samples exhibit almost no shift as time evolves. Only the PL peak of the undoped and low-doped samples shows a redshift with time delay, related to the photogenerated carriers [1]. The decay time for the undoped sample shows non-exponential behaviour typical for localized excitons in III-N QWs. The same behaviour of decay time as a function of emission energy has been reported for InGaN QWs [2].

[1] H. Haratizadeh, B. Monemar, P. P. Paskov, P. O. Holtz, G. Pozina, S. Kamiyama, M. Iwaya, H. Amano, and I. Akasaki; Phys. Status Solidi B **241**, 1124 (2004).

[2] C. K. Choi, Y. H. Kwon, B. D. Little, G. H. Gainer, and J. J. Song, Y. C. Chang, S. Keller, U. K. Mishra, and S. P. DenBaars, Phys. Rev. B **64**, 245339 (2001).

## رقابت بازترکیب‌های نوری و غیرنوری در چاه‌های کوانتمی چندگانه GaN / AlGaN

هراتی زاده، حمید<sup>۱,۲</sup>; اسماعیلی، مرتضی<sup>۱</sup>; منمار، بو<sup>۲</sup>; آمانو، هیروشی<sup>۳</sup>

<sup>۱</sup>دانشکده فیزیک دانشگاه صنعتی شاهرود

<sup>۲</sup>استیتوی فیزیک و تکنولوژی سنجش دانشگاه لینشپینگ، لینشپینگ، سوئد

<sup>۳</sup>استیتوی مهندسی برق و الکترونیک دانشگاه میجر، ناگوریا، ژاپن

### چکیده

رقابت فرآیندهای بازترکیب نوری و غیرنوری با مطالعه وابستگی دما بین زمان واهلش فوتولومینسانس در بازه دمایی  $K_{x=0.07}$  برای ۲-۳۰۰ دو نمونه از چاه‌های کوانتمی چندگانه  $GaN/Al_xGa_{(1-x)}$  (که یکی از آنها بدون آلایش و دیگری در ناحیه سد آلایش سیلیکونی یافته، صورت بررسی قرار گرفته است) و مشخص شد که در محدوده دمایی پایین مکانیسم بازترکیب تابشی غالب بوده و با افزایش دما مکانیسم بازترکیب غیرتابشی غالب خواهد شد. در این مطالعه نشان داده شده است که نمونه آلایش یافته با Si نسبت به نمونه بدون آلایش دارای بازترکیب تابشی قویتر بوده و مکانیزم بازترکیب تابشی در آن تا دمای بالاتری نسبت به بازترکیب غیرتابشی غالب می‌باشد.

### The Competition Between the Radiative and Nonradiative Recombinations in GaN/AlGaN Multiple Quantum Wells

Hamid Haratizadeh<sup>1,2</sup>; Morteza Esmaili<sup>1</sup>; B.Monemar<sup>2</sup>; H.Amano<sup>3</sup>;

<sup>1</sup>Physics Department, Shahrood University of Technology, Shahrood, Iran

<sup>2</sup>Department of Physics and Measurements Technology, Linkoping University, Linkoping, Sweden

<sup>3</sup>Department of Electrical and Electronic Engineering, Meijo University, Nagoya 468 Japan

### Abstract

The competition between the radiative and nonradiative recombination processes has been studied by means of the temperature dependence of the time resolved photoluminescence (TRPL). The first sample is an undoped GaN/AlGaN multiple quantum wells and the second one is a Si modulation-doped one with  $9 \times 10^{19} \text{ cm}^{-3}$  doping level. It has been determined that the radiative recombination (RR) mechanism dominates at the low temperature range and with increasing temperature the nonradiative recombination (NRR) will dominate. The results demonstrate that the radiative recombination channel is stronger in the Si doped sample, compared to the undoped one.

PACS No. 78, 73

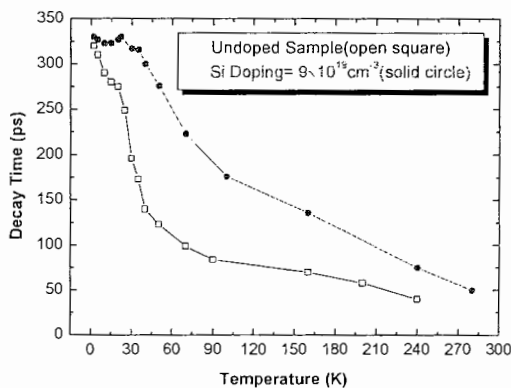
هستند، لذا برای اینکه عملکرد این قطعات را بهینه سازیم بایستی خواص اپتیکی والکترونیکی این گروه از مواد و مکانیسم بازترکیب تابشی در این ساختارها به خوبی شناخته شود [۱,۲]. در این مقاله از روش فوتولومینسانس وابسته به زمان برای بررسی نوع مکانیسم بازترکیب در ساختارهای چاه‌های کوانتمی چندگانه GaN/AlGaN (با هفت درصد آلومینیم) استفاده شده است. تکنولوژی نوری فوتولومینسانس ابزار قدرتمندی است که امکان

### مقدمه

نمیه رسانا های نیتروژن دار و ساختارهای ناهمگونی که بر اساس این مواد و مخصوصا "GaN" ساخته شده اند، به دلیل خصوصیات ویژه شان کاربردهای متعددی در ساخت قطعات اپتوالکترونیکی از جمله دیودهای نوری UV و مرئی و دیودهای لیزری و نیز ترانزیستورهای فرکانس بالا و قطعات توان پیدا کرده اند. به عنوان مثال چاههای کوانتمی چندگانه GaN/AlGaN جزء سازنده اصلی معمول برای ناحیه فعال دیودهای نوری UV

زمان واهلش تقریباً به صورت تابع نمایی کاهش پیدا می کند؛ یعنی بازترکیب های غیر تابشی سریعتر از بازترکیب های تابشی می باشند. در همه چاه های کوانتومی نیتروژن دار این رفتار زمان واهلش بخارتر تغییر رژیم بازترکیب از، بازترکیب حاملها یا اکسیتونهای جایگزیده در دماهای پایین به بازترکیب حاملها یا اکسیتونهای آزاد در دماهای بالا می باشد.<sup>[۵]</sup>

همانگونه که از شکل ۱ نمایان است زمان واهلش فوتولومینسانس از مقدار  $320\text{ ps}$  در دمای  $2\text{ K}$  به  $40\text{ ps}$  در دمای  $24\text{ K}$  در نمونه بدون آلایش کاهش می یابد. در یک گزارش که از نمونه های مشابه با نمونه های ما ولی با روش رشد MBE استفاده شده بود نتایج مشابه بدست آمده است.<sup>[۶]</sup>



شکل ۱: نمودار وابستگی دمایی زمان واهلش فوتولومینسانس نمونه ها

در نمونه با آلایش خیلی زیاد در بازه دمایی  $2\text{--}35\text{ K}$  افت و خیز کوچکی در زمان واهلش PL مشاهده می شود و در این نمونه زمان واهلش PL از مقدار  $330\text{ ps}$  در  $2\text{ K}$  به  $50\text{ ps}$  در دمای  $280\text{ K}$  کاهش می یابد. این بدین معنا است که زمان واهلش در نمونه با آلایش خیلی زیاد نسبت به نمونه بدون آلایش، کاهش کنترلی بر حسب دما دارد(شکل ۱) که البته این نشانگر غالب بودن بازترکیب تابشی به بازترکیب غیرتابشی تا دماهای بالاتر در این نمونه می باشد. با استفاده از زمان واهلش اندازه گیری شده،  $(T_L\tau_L)$  و شدت کل فوتولومینسانس،  $I_L(T)$ . و استفاده از روابطه های زیر می توانیم زمانهای بازترکیب تابشی و غیر تابشی را محاسبه کنیم.

مطالعه اپتیکی و درک نوع بازترکیبها و وابستگی دمایی و زمانی آنها در نانوساختارهای کوانتومی فراهم می سازد.

### نمونه ها و روش آزمایشگاهی

همه نمونه های مورد بررسی در راستای (۲۰۰۱) روی زیرلایه اکسید آلومینیم ( $\text{Al}_2\text{O}_3$ ) به روش رسوب گذاری بخار شیمیایی (MOCVD) رشد داده شده اند [۲]. روی زیر لایه اکسید آلومینیم یک لایه  $\text{AlN}$  به ضخامت  $20\text{ nm}$  و یک لایه  $\text{GaN}$  بافر بدون آلایش به ضخامت تقریباً  $2\mu\text{m}$  رشد داده شده است. بر روی این لایه، ناحیه فعال که متشکل از لایه های گالیم نیتراید و آلومینیم گالیم نیتراید به تناوب و به تعداد ۵ لایه از هر یک و به ضخامت های به ترتیب  $3\text{ nm}$  و  $7\text{ nm}$  می باشند، رشد داده شده است. یکی از نمونه ها آلایش یافته و مقدار آلایش  $(9 \times 10^{19}) \text{ cm}^{-3}$  می باشد. آزمایشات فوتولومینسانس از دمای هلیم مایع ( $2\text{ K}$ ) تا دمای اتناق صورت گرفته است و نمونه در محفظه ای که دمای قابل تنظیم در محدوده  $2\text{--}300\text{ K}$  داشت، قرار داده شده بود. برای آزمایش های فوتولومینسانس وابسته به زمان از هارمونیک سوم لیزر Ti:Sapphire به عنوان منبع تحریک کننده استفاده شده است و برای آشکار سازی سیگنالهای وابسته به زمان فوتولومینسانس از سینکرواسکن هاماماتسو (Hamamatsu) با دقیقیت زمانی بهتر از  $10\text{ ps}$  استفاده شده است.<sup>[۳]</sup>

### نتایج و بحث

زمان واهلش فوتولومینسانس پیک چاه کوانتومی در دماهای مختلف برای دو نمونه بدون آلایش و آلایش یافته  $((9 \times 10^{19}) \text{ cm}^{-3})$  اندازه گیری شده و نمودار آن بر حسب دما در شکل ۱ رسم شده است. همانطوری که از شکل پیدا است، در دماهای پایین و برای آلایشهای سیلیکونی متفاوت زمان واهلش تقریباً یکسان است که علت آن جایگزیدگی حفره هاست.<sup>[۴]</sup> برای هر نمونه نیز زمان واهلش در دماهای پایین تقریباً ثابت است و علت آن بازترکیب تابشی اکسیتونهای جایگزیده می باشد. با افزایش دما به دلیل نقش غالب توسط بازترکیب های غیر تابشی

میشود که تا حدود دمای  $70\text{ K}$ ، مکانیسم بازترکیب تابشی غالب است و در دماهای بالاتر از آن ( $T > 70\text{ K}$ ) مکانیسم بازترکیب غیر تابشی غالب می شود. بایستی توجه شود که علاوه‌غم تشکیل یک گاز الکترونی دو بعدی (که از آالایش سیلیکونی در سدهای AlGaN نشأت می گیرد) در نمونه با آالایش زیاد علت غالب شدن مکانیسم بازترکیب غیر تابشی در دماهای بالاتر از  $70\text{ K}$  وجود نقایص ساختاری فراوان می باشد. همچنین مشاهده می شود که در نمونه های آالایش یافته با Si نسبت به نمونه بدون آالایش بازترکیب تابشی به طرز محسوسی قویتر است.

### نتیجه گیری

مطالعه اپتیکی نمونه های موجود معین کرد که اولاً در دماهای خیلی پایین (تفصیلاً  $2\text{ K}$ ) زمان واهلش برای آالایش های متفاوت سیلیکونی تقریباً یکسان است که این ناشی از مکانیسم مشابه برای فرآیند بازترکیب نوری در نمونه ها است و ثانیاً با افزایش دما زمان واهلش کاهش می یابد که میزان این کاهش با افزایش آالایش سیلیکونی کند می گردد، به طوریکه در نمونه بدون آالایش تا دمای  $20\text{ K}$  و در نمونه با آالایش خیلی زیاد تا دمای تقریباً  $70\text{ K}$  مکانیسم بازترکیب تابشی نقش غالب را خواهد داشت و همچنین میزان تابش گسلی با حضور آالایش افزایش می یابد.

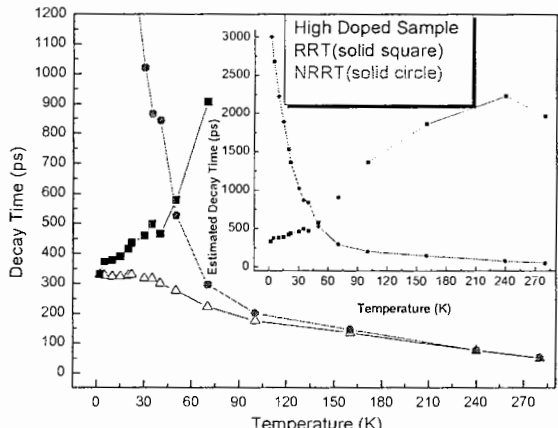
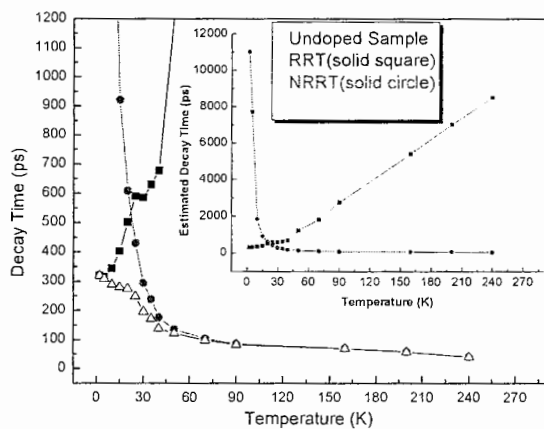
### مراجع

- [۱] S.Nakamura, M.Senoh, N.Iwasa, S.Nagahama, T.Yamada, and T.Mukai; *J.Appl. Phys.*, part2 34 , L1332(1995).
- [۲] H.Haratizadeh, B.Monemar, P.P.Paskov, J.P.Bergman, B.E.Sernelius,P.O.Holtz, M.Iwaya, S.Kamiyama, H.Amano, and I.Akasaki; *Appl. Phys. Lett.* 84 (2004) 5071
- [۳] H.Haratizadeh, B.Monemar, P.P.Paskov, P.O.Holtz, G.Pozina, S.Kamiyama, M.Iwaya, H.Amano, and I.Akasaki, *Phys. Status. Sol. B* 241 (2004) 1124.
- [۴] H.Haratizadeh, P.P.Paskov, G.Pozina, P.O.Holtz, B.Monemar, S.Kamiyama, M.Iwaya, H.Amano, and I.Akasaki; *Appl. Phys. lett.* 80, 1373 (2002)
- [۵] P.Lefebvre, S.Anceau, P.Valvin, T.Taliercio, L.Konczewicz, S.P.Lepkowski, et. al.;*Phys. Rev. B* 66, 195330 (2002)
- [۶] P.Lefebvre, J.Allegre, B.Gil, H.Mathieu, N.Gradjean, M.Leroux, J.Massies, and P.Bigenwald; *Phys. Rev. B* 59, 15363 (1999)

$$\tau_R(T) = \tau_L(T)I_L(0)/I_L(T) \quad (1)$$

$$\tau_{NR}(T) = \tau_L(T)I_L(0)/[I_L(0) - I_L(T)] \quad (2)$$

فرض اساسی در این محاسبه آن است که در دماهای پایین بازترکیب ۱۰۰% تابشی است.



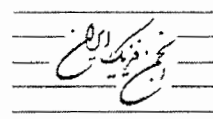
شکل ۲: مقادیر اندازه گیری شده زمان واهلش (مثلثهای تو خالی) و مقادیر محاسبه شده زمانهای بازترکیب تابشی،  $\tau_R$ ، و غیرتابشی،  $\tau_{NR}$ ، در دماهای مختلف برای نمونه بدون آالایش (تصویر بالا) و نمونه با آالایش (تصویر پایین)،

زمان واهلش بازترکیب تابشی و غیر تابشی برای دو نمونه مورد بررسی بر حسب دما در شکل ۲ رسم شده است. مشاهده می شود که در نمونه بدون آالایش تا حدود دمای  $30\text{ K}$  بازترکیب تابشی غالب است و در دماهای بالاتر از  $T > 30\text{ K}$  ( $30\text{ K} < T < 70\text{ K}$ ) بازترکیب غیرتابشی غالب می شود. همچنین برای نمونه آالایش یافته دیده



## کنفرانس فیزیک ایران

۷ شهریور ۱۳۸۴  
خرم آباد، دانشگاه لرستان



## رقابت حامل های نوری و آلایش سیلیکونی در استار میدان های قطبی در چاه کوانتمی GaN

صابونی، محمود<sup>۱</sup>; اسماعیلی، مرتضی<sup>۱</sup>; هراتی زاده، حمید<sup>۱,۲</sup>; منمار، بو<sup>۲</sup>; آمانو، هیروشی<sup>۳</sup>

<sup>۱</sup>دانشکده فیزیک دانشگاه صنعتی شاهرود، بلوار داشتگاه، شاهرود، ایران

<sup>۲</sup>انستیتوی فیزیک و تکنولوژی سنجش دانشگاه لینسپرینگ، لینسپرینگ، سوئد

<sup>۳</sup>انستیتوی مهندسی برق و الکترونیک دانشگاه میجر، ناگویا، ژاپن

### چکیده

در این مقاله، با اندازه گیری طیف فتولومینسانس وابسته به زمان (دینامیک بازترکیب) یکسری از چاه های کوانتومی نیتروژن دار  $GaN/AlGaN$  با چگالی آلایش سیلیکونی متفاوت، تاثیر حامل های آلایشی و همچنین حامل های نوری را در استار میدان های قطبی پیزو الکتریک و خود به خودی بررسی گرده ایم. اندازه گیری طیف فتولومینسانس وابسته به زمان چاه های کوانتومی با آلایش و بدون آلایش نشان دهنده جایجایی های در حدود چند میلی الکترون ولت در محل بیک انرژی گسلی این چاه ها می باشد. علت این جایجایی، تغییرات زمانی میزان استار میدان های قطبی داخلی ناشی از کاهش زمانی تعداد حامل های نوری می باشد. با افزایش چگالی آلایش نقش حامل های ناشی از آلایش سیلیکونی بر حامل های نوری غلبه کرده و در چگالی های آلایشی بالا عماد کاهش انرژی در محل بیک انرژی گسلی چاه کوانتومی در نزدیک آلایش یافته مشاهده نمی شود.

## Competition of the Photo-Generated Carriers and the Si Doping Level on the Screening of the Internal Polarization Fields of the GaN Quantum Well

Esmaeli, Morteza<sup>1</sup>; Sabooni, Mahmood<sup>1</sup>; Haratizadeh, Hamid<sup>1,2</sup>; Monemar, Bo<sup>2</sup>; Amano, Hiroshi<sup>3</sup>

<sup>1</sup>Physics Department, Shahrood University of Technology, Shahrood, Iran

<sup>2</sup>Department of Physics and Measurements Technology, Linkoping University, Linkoping, Sweden

<sup>3</sup>Department of Electrical and Electronic Engineering, Meijo University, Nagoya 468 Japan

### Abstract

The competition between the photo-generated carriers and the Si doping level on the screening of the internal polarization fields in modulation-doped  $GaN/Al_{0.07}Ga_{0.93}N$  multiple-quantum-well (MQW) structures were studied by means of photoluminescence (PL) and time-resolved PL measurements. Undoped and low-doped samples indicate a QW emission, which is red shifted by a few meV during the first 600 ps in time delayed spectra due to the screening of the internal polarization fields, but there is almost no shift for the medium and high doped samples because of the competition between the photo-generated carriers and Si doping level is dominated by the extrinsic carriers in the medium and high doped samples.

PACS No. 78, 73

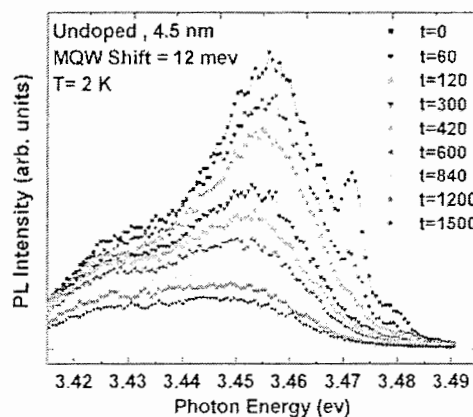
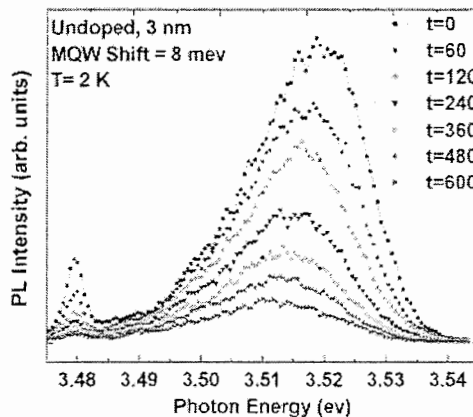
نورگیلنده فرابخش و آنی و دیودهای لیزری و همچنین ساخت

وسایلی که در فرکانس های بالا و دمای های بالا کارآیی دارند، در چند سال اخیر مطالعات زیادی روی آنها انجام گرفته است. اکثر این وسایل از ساختار چاه های کوانتمی چندگانه و سایر

### مقدمه

نیم رساناهای نیتروژن دار (گروه III-Nitride) اخیراً بطور فزآینده ای مورد توجه محققان قرار گرفته است. به علت کاربردهای مهم آنها در ساخت وسایلی از قبیل دیودهای

سمت آبی (انرژی های بیشتر) در نمونه ۳nm خواهد داشت که علت آن اثر محدودیت کوانتمی می باشد. البته در نمونه با پهنهای چاه ۴/۵nm یک فتولومینسانس چاه کوانتمی نسبت به GaN که شیفتی به اندازه ۲۷ mev به سمت قرمز (انرژی های کمتر) دارد. علت آن، بیشتر شدن ضخامت چاه از ضخامت بحرانی نمونه است. که باعث می شود اثر کوانتمی استارک ناشی از میدان های داخلی پیزوالکتریک و خودبخودی بر اثر ناشی از محدودیت کوانتمی غلبه کند.



شکل ۱ : طیف فتولومینسانس وابسته به زمان نمونه های با پهنهای چاه ۴/۵nm و ۳ nm که بدون آالیش هستند.

برای بررسی بازدهی استار میدان های قطبی داخلی توسط حامل هایی که از آالیش در سدها نتیجه می شوند و همچنین بررسی چگونگی تغییرات استار توسط حامل های نوری نمونه ها در طی

نانوساختارها در ناحیه فعال خود بهره می برند. یکی از ویژگی های نیم رساناهای با ساختار ورتیکال وجود بارهای قطبی در سطوح مشترک این ساختارهاست که باعث به وجود آمدن میدان های قطبی داخلی بزرگ در این ساختارها می شود، و این به نوبه خود باعث تاثیر روی مکانیزم بازنگردی تابشی خواهد شد. یکی از ابزارهای بررسی اثر این میدان ها، مشاهده طیف فتولومینسانس وابسته به زمان این نمونه ها می باشد [۱]. این کار که روی یک سری از همین نانوساختارهای کوانتمی نیتروژن دار انجام شده است، نقش حامل های نوری و حامل های ناشی از آالیش سیلیکونی و رقابت آنها را در استار میدان های قطبی داخلی، ناشی از عدم تقارن بلور و ناهمسانی شبکه های لایه و زیرلایه در یکسری از چاه های کوانتمی GaN/AlGaN در دماهای پایین با استفاده از روش آزمایشگاهی فتولومینسانس وابسته به زمان بررسی می کند.

### روش آزمایشگاهی و نمونه ها

نمونه های بحث شده در این مقاله به روش رسوب گذاری بخار شیمیایی و روی زیر لایه اکسید آلومینیوم رشد یافته اند. ناحیه فعال شامل چاه های کوانتومی پنج گانه می باشد که ضخامت چاه های Vnm، AlGaN ۴/۵ nm و ۳ nm و ضخامت سدهای ۳nm، GaN و ۰.۵ nm می باشد. برای آزمایش های فتولومینسانس وابسته به زمان از هارمونیک سوم لیزر پالسی اضافه شده در سد AlGaN آالیش یافته اند و مقدار آالیش در آنها بین  $10^{18} \text{ cm}^{-3}$  و  $10^{19} \text{ cm}^{-3}$  می باشد. برای آزمایش های فتولومینسانس وابسته به زمان از هارمونیک سوم لیزر پالسی Ti:Sapphire با طول موج ۲۶۶ nm به عنوان منبع تحریک کننده و برای آشکارسازی سیگنال های وابسته به زمان فتولومینسانس از سینکرواسکن هاماماتسو استفاده شده است. تمامی آزمایش ها در دمای هلیوم مایع (۲ K) انجام شده است.

### نتایج و بحث

همانطوری که در گزارش های قبلی بیان شد، یک فتولومینسانس چاه های کوانتمی چندگانه GaN/AlGaN نسبت به یک فتولومینسانس حاصل از GaN که ای یک جا بجا یابی به

مشخص میشود که در نمونه با آلایش خیلی زیاد ( $9 \times 10^{19} \text{ cm}^{-3}$ ) هیچ شیفتی در پیک فوتولومینسانس حاصل از چاه های کوانتمی دیده نمی شود. در توضیح علت این موضوع باید بگوییم که برای برانگیختگی نمونه ها از لیزری که دارای مشخصات  $f=250 \text{ KHz}$ ,  $f_{\text{fs}}=200$ ,  $\tau_0=20 \text{ ps}$  و توان برانگیختگی  $W=20 \text{ mW}$  و قطر لکه لیزر  $100 \mu\text{m}$  استفاده شده است؛ و با فرض اینکه ضریب جذب در طول موج برانگیختگی ( $\text{cm}^{-1} \times 10^{10}$ ) باشد [۲]، با یک محاسبه سر راست، ماکریم حامل های نوری ( $2 \times 10^{18} \text{ cm}^{-3}$ ) خواهد بود که به وضوح از تعداد حامل های ناشی از آلایش در سدها، در نمونه های با آلایش متوسط و بالا کمتر است. لذا در نمونه های با آلایش متوسط و بالا، نقش عمدۀ در استارت کردن میدان های داخلی با حامل های ناشی از آلایش در سدها می باشد و با گذشت زمان، کاهش حامل های نوری تاثیری در مقدار استارت کردن میدان های داخلی نخواهد داشت و شیفتی را که در نمونه های بدون آلایش و آلایش پایین دیدیم، در مورد نمونه های با آلایش سیلیکونی بالا نخواهیم دید.

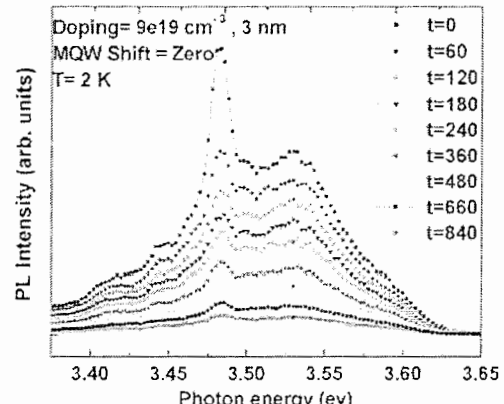
### نتیجه گیری

استفاده از حامل های خارجی که توسط آلایش در سیستم قابل ایجاد هستند، برای استارت میدان های پیزوالکترونیک داخلی و در نتیجه حذف اثر کوانتومی استارتک موثرتر می باشد و باید آلایش را اولا در داخل سد تزریق نمود تا از حضور یون های سیلیکون در داخل چاه جلوگیری گردد و ثانیا میزان چگالی آلایش به نحوی محاسبه گردد که در فرآیندهای بازترکیب وابسته به زمان، حامل های نوری تاثیری بر انرژی گسیلی از قطعه اپتوالکترونیکی نداشته باشد.

### مراجع

- [۱] B. Monemar, H. Haratizadeh, P. P. Paskov, G. P. Pozina, P. O. Holtz, J. P. Bergman, S. Kamiyama, M. Iwaya, H. Amano, and I. Akasaki, Phys. Stat. Sol.(b) 237, 353-364 (2003).
- [۲] J. F. Muth, J. D. Brown, M. A. I. Johnson, Zhonghai Yu, R. M. Kolbas, J. W. Cook, and J. F. Schetzina, MRS Internet J. Nitride Semicond Res. 4S1, G5.2 (1999).

زمان از روش فوتولومینسانس وابسته به زمان (TRPL) استفاده شده است. در شکل ۱ طیف فوتولومینسانس وابسته به زمان برای دو نمونه  $4/5 \text{ nm}$  و  $3 \text{ nm}$  داده شده است و اندازه گیری های انجام شده (دمای ۲ کلوین) نشان دهنده یک شیفت به سمت قرمز به اندازه  $8 \text{ mev}$  در طی  $600 \text{ ps}$  اولیه طی  $1500 \text{ ps}$  اولیه طیف فوتولومینسانس زمانی و  $12 \text{ mev}$  در طی  $4/5 \text{ nm}$  در حدود  $600 \text{ ps}$  می باشد. این شیفت برای نمونه های  $3 \text{ nm}$  و  $4/5 \text{ nm}$  می باشد. نمونه  $4/5 \text{ nm}$  در حدود  $600 \text{ ps}$  اولیه در حدود  $6 \text{ mev}$  می باشد. دلیل این شیفت کاهش تعداد حامل های نوری با گذشت زمان و در نتیجه کاهش استارت میدان های قطبی داخلی با گذشت زمان می باشد که باعث افزایش اثر کوانتومی استارتک می شود؛ همچنین در شکل افزایش پهنای خط گسیلی با گذشت زمان به وضوح دیده می شود. در شکل ۲ طیف فوتولومینسانس وابسته به زمان ناشی از نمونه با پهنای چاه  $3 \text{ nm}$  که دارای آلایش های سیلیکونی ( $9 \times 10^{19} \text{ cm}^{-3}$ ) است، بررسی و با نمونه بدون آلایش مقایسه شده است.



شکل ۲: طیف فوتولومینسانس وابسته به زمان نمونه با پهنای چاه  $3 \text{ nm}$  که به میزان ( $9 \times 10^{19} \text{ cm}^{-3}$ ) آلایش یافته است. در مورد نمونه بدون آلایش همانطوری که در بالا گزارش شد شیفتی به اندازه  $8 \text{ mev}$  در طیف فوتولومینسانس دیده دیده می شود در حالی که برای همین نمونه با آلایش سیلیکونی در اندازه  $3 \text{ nm}$  شیفت به اندازه  $6 \text{ mev}$  دیده بود (شکل ۱). این شیفت به اندازه  $12 \text{ mev}$  در طی  $4/5 \text{ nm}$  نشان داده نشده است) و با اندازه گیری برای آلایش  $3 \times 10^{19} \text{ cm}^{-3}$  نشان داده نشده است)

## **Effect of the extrinsic and temporal carriers on radiative recombination of III-nitride nanostructures**

*M. Esmaeili<sup>1</sup>; H. Haratizadeh<sup>1, 2</sup>; B. Monemar<sup>2</sup>*

<sup>1</sup>*Physics Department, Shahrood University of Technology, 3619995161, P.O. Box 316, Shahrood, Iran*

<sup>2</sup>*Department of Physics and Measurements Technology, Linkoping University, 581 83 Linkoping, Sweden*

*Email: hamha@walla.com*

## **Abstract**

Due to many important applications, the group III-Nitride semiconductors have recently attracted remarkable attention among the semiconductor researchers and engineers. In this paper, we report on the impact of the extrinsic and temporal carriers on the screening of the polarization internal fields. The optical efficiency of GaN/AlGaN multiple quantum well (MQW) nanostructures were studied by means of photoluminescence (PL) and time-resolved PL measurements. Extrinsic carriers come from Si doping in the barriers while temporal carriers originate when the samples are excited by the laser beam. The emission peaks of MQWs in PL spectra of the undoped and low-doped samples show a shift towards higher energy levels as excitation intensity increases, while the other samples do not exhibit such a phenomenon due to the dominance of the extrinsic carriers. The transient data confirm the results of the PL measurements.

**Keywords-** Photoluminescence (PL), GaN/AlGaN multi quantum well, Time Resolved PL (TRPL), Polarization fields, Exciton, Nanostructures, III-Nitride semiconductors, quantum well

## **1. Introduction**

III-nitride material family, especially GaN, attracted much interest during the last few years. These are particularly well suited for optoelectronic applications, e.g. as UV light emitters in the lighting solutions that are expected to replace today's incandescent and fluorescent lamps. Some other applications include laser diodes (LDs) as well as high temperature and high power electronic devices [1, 2]. In order to optimize the function of such devices, we need to improve our knowledge of the material properties and especially to understand the recombination mechanisms in III-nitride QWs. A peculiarity of the nitrides is the significant macroscopic polarization with both spontaneous and

piezoelectric components [3, 4]. These polarization charges create internal fields in the QWs that have fundamental influence on the optical properties, strongly affecting the oscillator strengths of excitons and the spectral position of the corresponding photoluminescence (PL) peaks. The radiative recombination processes are intensely modified by these built-in electric fields in the [0001] direction, which result in a substantial quantum confined stark effect (QCSE). Screening by doping (extrinsic carriers) and/or photo-generated carriers (temporal carriers), strongly affects the polarization-induced properties [5]. The modulation doping technique (doping in the barriers) can be used to screen the macroscopic polarization fields in the nitride quantum wells. The screening of the fields increases the overlap between the confined electron and hole wave functions, enhancing the radiative transition probability across the gap.

In this paper, we discuss some recent results of MOCVD grown GaN/AlGaN MQWs nanostructures, all grown without an additional capping layer. In addition to the polarization fields inside the MQWs, the influence of the outer surface in the absence of the capping layer is, indeed, present.

## 2. Samples and experimental procedure

A set of GaN/AlGaN MQW structures with Si doping concentration in the range of nominally undoped (with a residual donor doping of about  $1 \times 10^{16} \text{ cm}^{-3}$ ) up to  $9 \times 10^{19} \text{ cm}^{-3}$  doping level in the AlGaN barriers has been studied by means of PL and time-resolved PL (TRPL) [see table1]. The MQW structures were grown on (0001) sapphire substrates by means of metal organic chemical vapor deposition (MOCVD) [6].

On top of the substrate, an AlN layer with a thickness of 20 nm and a thick nominally undoped GaN buffer layer of about 2  $\mu\text{m}$  were grown. This was followed by a multiple quantum well structure with

five-period of 3 nm wide GaN quantum well layers separated by 7 nm wide  $\text{Al}_{0.07}\text{Ga}_{0.93}\text{N}$  barriers (Fig. 1). No additional capping layer was used so that the outermost QW barrier faces the surface.

Optical measurements have been undertaken by means of PL and TRPL techniques at IFM institute of Linkoping University, Sweden. For optical excitation in the PL measurements, we have used the fourth harmonic of a Nd:Vanadate laser with a wavelength of 266 nm. The PL signal was dispersed by a single-grating monochromator and detected by a UV enhanced liquid nitrogen cooled CCD camera. For the transient PL data, we used the third harmonic ( $\lambda_{\text{exc}} = 266$  nm) of a Ti: sapphire femto-second pulsed laser. The PL transients were detected either by a UV sensitive Hamamatsu streak camera system with a temporal resolution better than 10 ps. The samples were then placed in a variable temperature cryostat for measurements at low temperature (2 K).

### 3. Results and discussion

As we mentioned in our previous reports, [7, 8] existence of polarization fields in III-nitrides QWs is a well-known concept. The abrupt variation of the polarization at surfaces and interfaces gives rise to large polarization sheet charges that in turn create huge internal electric field of the order of MV/cm. The piezoelectric ( $P_{pz}$ ) and spontaneous ( $P_{sp}$ ) polarizations in GaN well layers for the undoped sample have been estimated at about  $0.002$  ( $\text{C}/\text{m}^2$ ) and  $-0.034$  ( $\text{C}/\text{m}^2$ ), respectively [7] and the total internal polarization field ( $E_w$ ) has been calculated  $-0.48(\text{MV}/\text{cm})$ . The internal field in the growth direction causes band bending and forces the electrons and holes to the opposite side of the well and decreases the overlap of the electron-hole wave functions, resulting in the reduction of the transition probability. In addition, the internal polarization field reduces the energy emission of the recombination, leading to a red shift on the PL peak position (Fig. 2). This well known effect is referred to as the Quantum Confined Stark Effect (QCSF).

The cw PL spectra of GaN/AlGaN MQW with different doping level measured at T=2 K reveals a blue shifted broad QW emission with respect to the 3.48 eV PL peak from the GaN buffer layer due to the quantum confinement. The PL spectra for undoped and heavy-doped samples (samples No.1, 6) can be seen in Fig.3. The QW emission is attributed to excitons localized at the energy minima induced by well width fluctuations [9]. The internal field is screened more efficiently by increasing the doping level, consequently the QCSF is reduced and the QWs peak shifts to higher energies.

The integrated PL spectra of the samples at low temperature clearly indicates that the enhancement of the optical efficiency in heavy-doped sample corresponds to the undoped one (Fig. 3), which can be explained if we take into account the more effective screening of the internal polarization fields of the doped samples by the electrons originating from the doping in the barriers. Screening of the fields increases the overlap between confined electron and hole wave functions and the optical efficiency enhances with increasing the modulation doping [9].

The outermost barrier (outermost AlGaN layer) faces the surface. Therefore the QWs will experience a strong depletion field [10], which is also expected to vary strongly between the different QWs in the MQW region. Fig.4 shows the variation of the full width at half maximum (FWHM) of the QW peak versus the doping level. FWHM increases by increasing the doping level, which can be explained by varying the internal polarization fields due to the variation of the depletion fields in different samples as well as the large contribution of structural defects induced by high Si doping and nonuniform absorption of the excitation energy at different QWs. FWHM in the undoped sample is 23 meV, comparable with similar GaN/AlGaN QWs structures grown by molecular beam epitaxy (MBE), exhibiting a typical FWHM of about 20–25 meV [11], which is shown that the quality of our MOCVD grown samples is comparable with the best MBE grown ones .

The PL temporal response has been evaluated at the PL peak position for undoped and heavy-doped ( $9 \times 10^{19} \text{ cm}^{-3}$ ) samples at different excitation power (Fig. 5). The PL decay time corresponding to the stronger excitation regimes in the undoped sample is faster than the corresponding one for the weaker excitations and the PL transient curves show a non-exponential behavior at different excitation powers (Fig. 5a). The faster part of the PL transient in the undoped sample decreases from 360 ps at the lowest excitation intensity to 260 ps at the highest one. This part of the PL decay curve is attributed to the relaxation time for the excitons to relax to the localization centers. By increasing the excitation intensity the photo-generated carriers/exciton density will increase and partly screen the localization potentials. In the case of the undoped sample, the built-in electric fields are more effectively screened in the stronger excitation regime, photo-generated carriers recombine more quickly and the slower part of the PL decay time curves becomes faster. But for the case of the heavy doped sample, free carriers originating from the modulation doping effectively screen the built-in electric fields and the photo-generated carriers recombine at nearly flat band condition. In the case of heavy-doped sample, the extrinsic carrier density is much higher than the photo-generated density [12] and a large number of free electrons; originating from the barrier doping, are available to recombine with the localized holes even at a low excitation power. Then the PL transient curves show a mono-exponential behavior with a nearly similar decay time at different excitation intensity.

Effect of the screening of the polarization fields by the extrinsic carriers originating from the Si doping in the barriers can in principle be verified by PL measurements. Fig. 6 shows the PL spectra of undoped, low doped and heavy samples at different excitation powers at  $T=2$  K. These data show that with decreasing excitation intensity from 100% to 0.002%, the PL peak position of the undoped and low doped samples red shifted about 3.8 meV and 1 meV respectively, but there is no shift for the heavy-doped sample.

This behavior can be explained in terms of the screening of the internal fields by the photo-generated carriers and the relaxation rate to lower energy states in the undoped and low-doped samples. As we reported before, the maximum photo-generated carrier concentration ( $2 \times 10^{18} \text{ cm}^{-3}$ ) is less than the extrinsic carrier concentration originating from the doping in the barriers in the medium and heavy doped samples [12], which means that the extrinsic carriers dominate in the medium and heavy doped samples, and the photo-generated carriers have accordingly a small influence on the electron concentration, consistent with the transient PL data (Fig. 5).

#### 4. Summary and conclusions

The screening effect of the internal polarization fields due to the Si modulation doping, on the PL radiative recombination dynamic and optical efficiency of GaN/AlGaN multi quantum wells nanostructures has been investigated by means of photoluminescence and time resolved PL spectroscopy. We found that the screening of the internal polarization fields increases the overlap between the confined electron and hole wave functions therefore enhancing the optical efficiency. By decreasing the excitation power due to the less screening of the internal polarization fields by the temporal carriers (photo generated carriers), the stationary PL data reveals a red shifted QW emission for the undoped and low-doped samples. But there is almost no shift for the medium and heavy doped samples due to the most effectively screening of the internal fields by the extrinsic carriers originated from the modulation Si doping. The faster part of the PL transient in the undoped sample decreases with increasing excitation intensity but in heavy doped sample decay time is nearly constant at different excitation intensity due to the screening the internal fields by the extrinsic carriers.

## Acknowledgments

The authors would like to thank Prof. Hiroshi Amano and his co-workers at Meijo University of Japan for providing samples as well as Prof. Per Olof Holtz, Dr. Pelamen P. Paskov and Prof. Peder Bergman at Linkoping university of Sweden for their clarifying discussions.

## REFERENCES

1. Nakamura, S., Fasol, G., *The Blue Laser Diode: GaN based Light Emitters and Lasers*, Springer, Berlin, (1997).
2. Nakamura, S., Senoh, M., Iwasa, N., Nagahama, S., Yamada, T., Mukai, T., *Jpn J.Appl.Phys.* **34**, P. L1332 (1995).
3. Fiorentini, V., Bernardini, F., Della Sala, F., Di Carlo, A., Lugli, P., Effects of macroscopic polarization in III-V nitride multiple quantum wells, *J. Phys. Rev. B* **60**, P. 8849 (1999).
4. Bernardini, F., Fiorentini, V., Vanderbilt, D., Spontaneous polarization and piezoelectric constants of III-V nitrides, *J. Phys. Rev. B* **56**, P. R10024 (1997).
5. Di Carlo, A., Della Sala, F., Lugli, P., Fiorentini, V., Bernardini, F., Doping screening of polarization fields in nitride heterostructures, *J. Appl. Phys. Lett.* **76**, P. 3950 (2000).
6. Amano, H., Sawaki, N., Akasaki, I., Toyoda, Y., *J. Appl. Phys. Lett.* **48**, P. 35 (1986).
7. Esmaeili, M., Haratizadeh, H., Monemar, B., Kamiyama, S., Doping screening of the internal Polarization fields of the GaN/AlGaN MQWs, Proc. of the 11<sup>th</sup> Annual IASBS meeting on condensed matter physics, Zanjan, Iran, P. 9 (2005).
8. Sabooni, M., Esmaeili, M., Tabasi, F., Haratizadeh, H., Monemar, B., Amano, H., Dynamical Study of the Radiative Recombination processes in GaN/Al<sub>0.07</sub>Ga<sub>0.93</sub>N MQWs, Proc. of 6<sup>th</sup> ICNS, Bremen University, Germany, Tu-P-128(2005).

9. Haratizadeh, H., Paskov, P. P., Pozina, G., Holtz, P. O., Monemar, B., Kamiyama, S., Iwaya, M., Amano, H., Akasaki, I., Effect of n-type modulation doping on the photoluminescence of GaN/Al<sub>0.07</sub>Ga<sub>0.93</sub>N multiple quantum wells, *J. Appl. Phys. Lett.* **80**, P. 1373 (2002).
10. Monemar, B., Haratizadeh, H., Paskov, P. P., Pozina, G., Holtz, P. O., Bergman, J. P., Kamiyama, S., Iwaya, M., Amano, H., Akasaki, I., Influence of polarization fields and depletion fields on photoluminescence of AlGaN/GaN multiple quantum well structures, *J. Phys. Stat. Sol. (b)* **237**P. 353 (2003).
11. Leroux, M., Grandjean, N., Laugt, M., Massies, J., Gil, B., Lefebvre, P., Bigenwald, P., Quantum confined Stark effect due to built-in internal polarization fields in (Al,Ga)N/GaN quantum wells, *J. Phys. Rev. B* **58**, P. R13371(1998).
12. Sabooni, M., Esmaeili, M., Haratizadeh, H., Monemar, B., Amano, H., Competition of the Photo-generated carriers and the Si doping level on the screening of the internal polarization fields of the GaN/AlGaN Quantum Wells, Proc. of the Annual Physics Conference of Iran, Lorestan University, Iran, (2005).

Table 1. Detailed description of samples

Sample	Si Doping (cm <sup>-3</sup> )	Well Width (nm)	Barrier width (nm)	Composition x
1	Undoped	3.0	7.2	~0.07
2	$3.0 \times 10^{18}$	3.0	7.2	~0.07
3	$6.0 \times 10^{18}$	3.1	7.6	~0.07
4	$2.4 \times 10^{19}$	3.0	7.4	~0.07
5	$4.2 \times 10^{19}$	3.1	7.5	~0.07
6	$9.0 \times 10^{19}$	3.0	7.0	~0.07

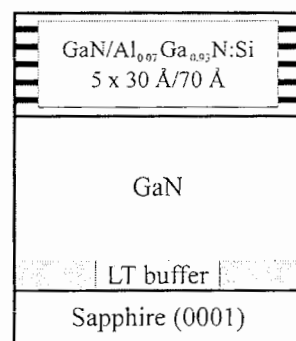


Fig. 1. Schematic picture of the structure of the GaN/AlGaN MQW samples. The dimensions and compositions are approximate.

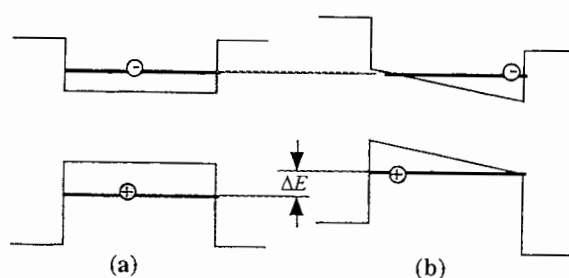


Fig. 2. (a) An unperturbed QW (b) A QW affected by the internal polarization field. The energy bands will be tilted and the carriers tend to become localized at the opposite interfaces. The reduction  $\Delta E$  of the recombination energy is called the quantum confined Stark shift

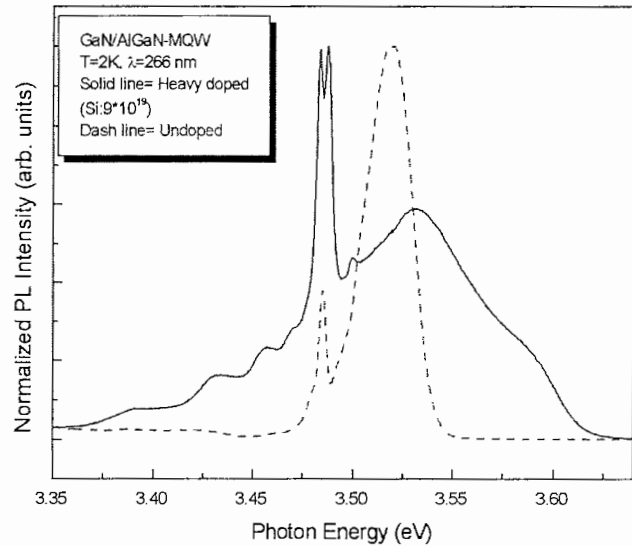


Fig. 3. PL spectra of undoped and heavy doped samples at 2 K (clearly the optical efficiency in heavy doped sample is higher than the undoped one)

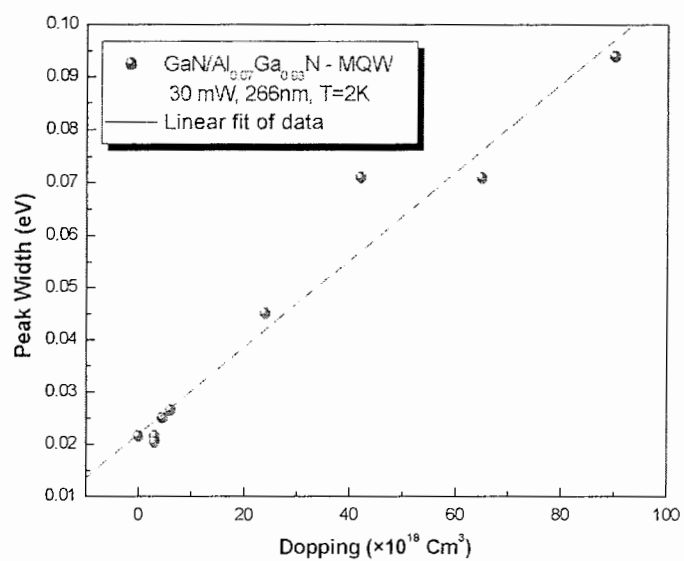


Fig. 4. Si doping dependence of the MQWs photoluminescence peak width (FWHM), measured at T=2 K

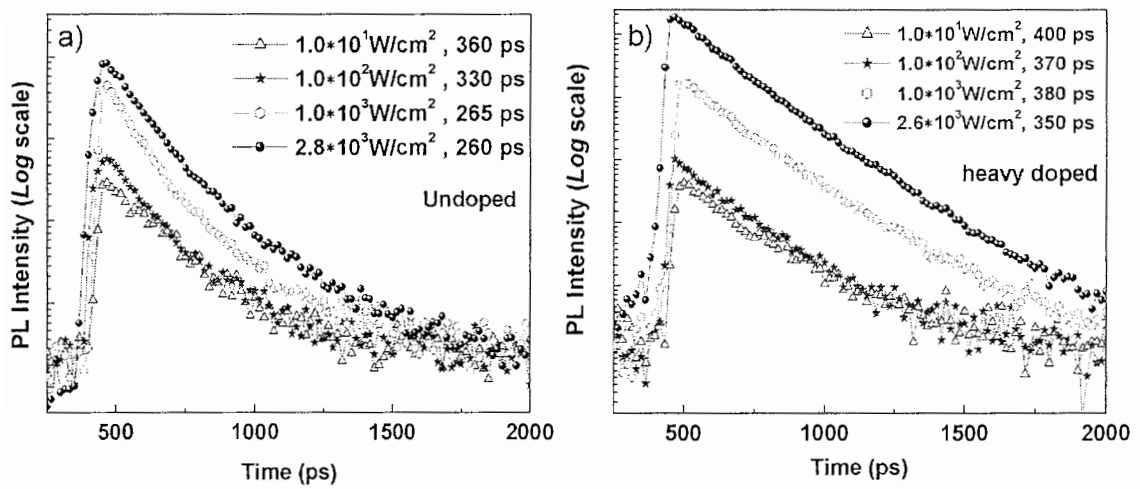


Fig. 5. (a) The time decay corresponding to the stronger excitation regimes in the undoped sample is faster than the corresponding one for weaker excitations. (b) The PL transient curves of the highest doped sample show almost same decay time at different excitation intensity powers

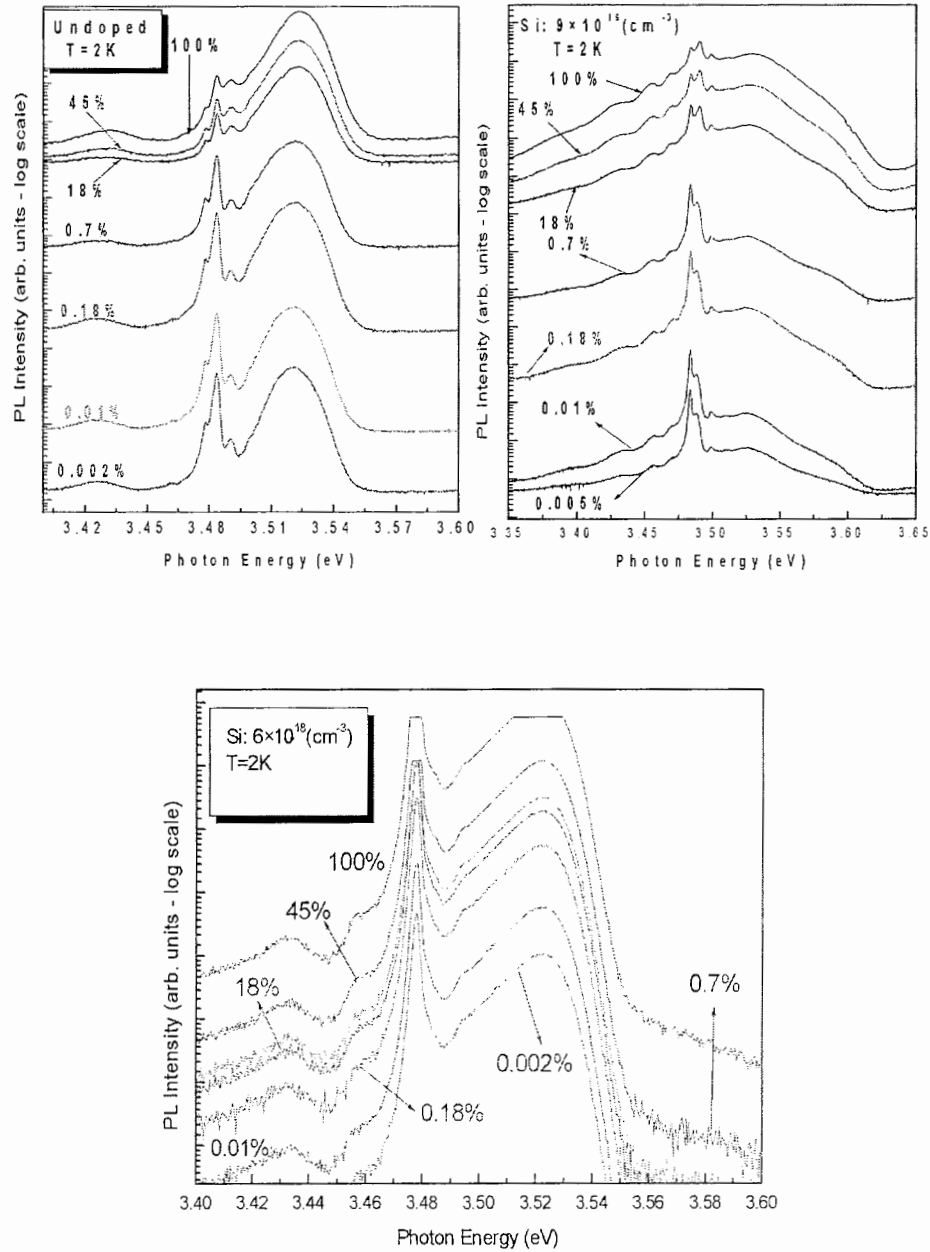


Fig. 6. PL spectra of the emission peaks for the undoped and the low doped samples show a clear red shift with the decreasing excitation power (3.8 meV for undoped, 1 mev for low doped samples), but there is no shift for heavy doped sample.

## تأثیر حامل‌های ذاتی و نوری بر روی بازترکیب نوری نانوساختارهای تری نیتراید

اسمعیلی<sup>۱</sup>، مرتضی<sup>۲</sup>؛ هراتی زاده<sup>۱</sup>؛ حمید<sup>۲</sup>؛ منمار<sup>۲</sup>، بو

۱. دانشکده فیزیک دانشگاه صنعتی شاهرود، بلوار دانشگاه، شاهرود، ایران
۲. انتستیتوی فیزیک و تکنولوژی سنجش دانشگاه لینشوبینگ، لینشوبینگ، سوئد  
پست الکترونیکی: [hamha@walla.com](mailto:hamha@walla.com)

واژه‌های کلیدی: فوتولومینسانس، چاه‌های کوانتمی چندگانه GaN/AlGaN، فوتولومینسانس وابسته به زمان، میدان‌های

قطبشی، اکسیتون، نانوساختارها، نیمه‌هادیهای نیتروژن‌دار

### چکیده

ما در این مقاله با اندازه گیری طیف فوتولومینسانس و فوتولومینسانس وابسته به زمان یکسری از نانوساختارهای نیتروژن‌دار (چاه‌های

کوانتمی نیتروژن دار GaN/AlGaN)، تاثیر افزایش آلایش سیلیکونی (که در ناحیه سد انجام گرفته) و همچنین شدت نور بازیکه

لیزر فروضی بر روی نمونه را در استار میدان‌های قطبشی داخلی موجود در این ساختارها، طیف فوتولومینسانس این نمونه‌ها و

همچنین زمان واهلش حامل‌ها در این ساختارها بررسی کرده‌ایم. اندازه گیری‌های ما نشان می‌دهد که با افزایش آلایش سیلیکونی

پهنه‌ای پیک حاصل از گسیل انرژی از ناحیه چاه‌های کوانتمی و همچنین بازدهی نوری سیستم به علت استار میدان‌های الکتریکی

موجود در چاه‌های کوانتمی و کاهش انرکوانتمی محدود شده استارک، افزایش پیدا می‌کند و این موصوع در طراحی دیودهای

نورگسیلنده که در ناحیه فرابنفش تابش می کنند از اهمیت بالایی برخوردار است. همچنین اندازه گیری های مانشان می دهد که

بیک انرژی گسیلی این چاه ها با افزایش شدت نور لیزر به علت استثمار موثرتر میدان های الکتریکی داخلی موجود در این ساختارها

به سمت انرژی های بیشتر، در حدود چند میلی الکترون ولت، جابجا می شود. در این مقاله با استناد به داده هایمان نشان دادیم که

این موضوع فقط در مورد نمونه های با آلایش پایین صحیح می باشد. همچنین تغییرات محسوسی در زمان و اهلیت نمونه بدون آلایش

با تغییر شدت نور لیزردیده می شود.

# The effect of Al composition and Si doping on the optical properties of GaN/AlGaN multi Quantum Well nanostructures

M. Esmaeili<sup>1</sup>; H. Haratizadeh<sup>1,2</sup>; B. Monemar<sup>2</sup>

<sup>1</sup>*Physics Department, Shahrood University of Technology, Shahrood, Iran*

<sup>2</sup>*Department of Physics and Measurements Technology, Linkoping University, Linkoping, Sweden*

*Email:hamha@walla.com*

## Abstract

We studied the dependence of macroscopic polarization and decay time of Wurtzite III-V nitride ternary alloys multi quantum wells emission on Al composition and doping using cw-photoluminescence (PL) and Time resolved photoluminescence (TRPL) techniques. In this study all materials were grown by MOCVD, as opposed to most previous studies where MBE was employed. The recombination process in undoped samples is excitonic, while in MQWs doped with Si above about  $5 \times 10^{18} \text{ cm}^{-3}$  PL process is a free electrons-localized holes transition at low temperatures and Al content in barrier almost don't have any influence on recombination dynamics in QWs. Hole localization in GaN/AlGaN MQWs with different composition of Al is demonstrated via PL transient decay times and LO phonon coupling. It is found that there is a moderate increase in PL peak decay time of the QWs emission with increasing Al composition. Our datas show that increasing Al in barrier create slight blueshift in PL peak position of MQWs. Near surface band bending, due mainly to dopant depletion in doped structures or interaction with surface states in case of higher Al content in barriers, influences the distribution of electron filling among the QWs, making a detailed modeling of the spectral shape somewhat ambiguous.

**Keywords:** Piezoelectric polarization, Optical Study, modulation doping, Photoluminescence (PL), Quantum confined Stark Effect (QCSE), GaN/AlGaN quantum well,

## 1. Introduction

GaN/AlGaN heterostructures and quantum wells are at the heart of high-performance blue, green, and amber LEDs as well as violet laser diodes<sup>1,2,3</sup>, which are now commercially available. Despite the very large number defects still present in such structures<sup>4</sup>, the efficiency and the lifetime<sup>5</sup> of these devices are extremely good. However, the light-emitting mechanism is not yet fully understood because this material system exhibits some peculiarities. The rather poor structural material quality in term of the defect density, compositional homogeneity, abrupt interfaces, etc. compared to other heterostructures is mainly a consequence of a strong chemical difference between GaN and other element of III-N group. Nevertheless, the optical properties of nitride quantum wells (QWs) have recently been subject to quite some controversial discussion. Initially, it was proposed that carrier localization due to compositional fluctuation<sup>6</sup> in GaN QWs could explain their unusual optical properties. More recently, it recognized that all group-III nitrides in the wurtzite phase have a strong spontaneous macroscopic polarization and large

piezoelectric coefficients. This has been found from ab initio calculations<sup>7,8</sup>. The abrupt variation of the polarization at surfaces gives rise to large polarization sheet charges that in turn create internal electric fields of the order of MV/cm. A huge redshift of the transition energy and a strong increase of the carrier lifetime due to the quantum confined Stark effect are marked features in the optical Spectra of GaN/AlGaN quantum wells, extensively debated in many publications.<sup>9,10</sup> Significant theoretical and experimental attention has been devoted to doping of GaN: which dopants to use, how to increase doping efficiency, what sources of compensation may occur, etc. For practical electronic and optoelectronic devices, however, it is essential to be able to control not just doping of GaN, but also of AlGaN alloys. For instance, AlGaN alloys form the thick cladding layers in nitride-based injection lasers, and the resistivity of these layers plays a major role in the device characteristics. Most research to date has indicated that AlGaN alloys are more difficult to dope than pure GaN, and the ability to dope AlGaN alloys significantly decreases with increasing Al content. The decrease in doping efficiency with increasing Al content is even more dramatic for ptype AlGaN. While p-type doping of pure GaN was originally a problem, those difficulties have largely been overcome due to the use of the Mg acceptor and the understanding of the role of hydrogen<sup>11,12</sup>.

By doping of the barrier layer close to a hetero-interface, i.e. modulation doping, charge transfer across the interface occurs and the electrons form a two-dimensional electron gas (2DEG) in the approximately triangular shaped potential in the active layer close to the interface. Since these electrons are spatially separated from the donor impurities in the barriers, they should have a relatively high mobility. This is an important property utilized in devices such as high electron mobility transistors (HEMTs). Optical and electrical properties in these kinds of structures have been extensively influenced by doping; and modulation doping strongly affects the polarization-induced properties. The understanding of the electronic structure and transitions involving the 2DEG is still limited, however. To the best of our knowledge, no detailed optical investigations have been done on modulation doped GaN/AlGaN quantum wells (QWs)<sup>13</sup>. Therefore, further investigations of these structures are necessary to achieve a proper understanding of the physical properties of this system, in order to exploit the full benefits of the high potential this materials system offers.

## 2. Samples and experimental setup

We have performed cw- photoluminescence and time resolved PL(TRPL) experiment on a set of modulation doped GaN/AlGaN QW samples, which have different doping and Al composition in their barrier. Some similar structures have been investigated, with nearly identical optical spectra. Detailed results for these structures are discussed below. As mentioned the main differences between these samples are Al percent and doping density in barriers. The samples were grown by metal organic chemical vapor deposition on (0001) sapphire substrates. First, a 20 nm thick AlN buffer layer was grown, followed by a thick nominally undoped GaN buffer layer about 2  $\mu\text{m}$ . On top of this buffer layer, multiple quantum well structure with five periods of 3 nm wide GaN quantum well layers separated by 7 nm wide AlGaN barriers grown<sup>14</sup>. The samples were placed in a variable temperature liquid helium bath cryostat for optical measurement at 2K. For TRPL measurements we used the third harmonics from a Ti: sapphire fs ( $\lambda_{\text{exc}} = 266 \text{ nm}$ ) pulse laser. The PL transients were detected with a UV sensitive Hamamatsu streak camera system with a temporal resolution better than 10 ps. For optical excitation in the PL measurements we have used a cw 266 nm fourth harmonic of a Nd:Vanadate laser. The PL signal was dispersed by a single-grating monochromator and detected by a UV enhanced liquid nitrogen cooled CCD camera.

### 3. The material quality, a limitation for studies of the physical properties

Most physical properties cannot be determined with a satisfactory accuracy unless a well defined material with a sufficiently low defect density is available. For the case of GaN the present status of the material is inadequate for an accurate determination of many physical parameters. The most suitable bulk material for physical measurements is thick epilayers grown by hydride vapor phase epitaxy (HVPE), or thin homoepitaxial layers grown by metal organic vapor phase epitaxy (MBE). The homoepitaxial material is at the moment not readily available due to the lack of GaN substrates. For the details of the electronic structure the optical data are generally required, these are not very accurate if the spectroscopic line width is too large, however. A desired line width is about 0.1 meV, however, this is not generally obtained in GaN layers available today, and a value about 1 meV is more typical in the best cases. This is due to a large dislocation density,  $10^7\text{-}10^8 \text{ cm}^{-2}$  even in good thick HVPE grown GaN layers, and a high concentration of residual dopants or complex defects (often in the range  $10^{17} \text{ cm}^{-3}$ ). Such defects cause inhomogeneous strain fields that broaden spectroscopic lines for electronic transition. Measurements of electrical parameters are also of limited accuracy when the defect density is too high. The quantum structures involving GaN or AlGaN materials are strongly influenced by polarization fields, as discussed in more detail below. Interface roughness causes a strong spectroscopic broadening, as well as In segregation effects in the case of structures containing InGaN. The spectral broadening in optical data is due to localization of excitons or carriers in the related potential fluctuation, which are enhanced in case of strong polarization induced electric fields. These effects, which are strong for III-nitride structures, limit the spectroscopic accuracy for these quantum structures<sup>15</sup>.

### 4. Results and discussion

The internal electric field in our QWs is largely screened (but not completely) by the electron filling (the 2DEG) in the QWs as seen in the PL decay curves data in Fig. 1. This figure shows the PL decay time for peak position of the PL spectra for different samples. Except of undoped sample, decay times of other MQWs have an exponential behavior. There is a moderate increase of the decay time with  $x$  from 320 ps for  $x = 0.04$  to 500 ps for  $x = 0.11$ , tracking the residual internal field. At first view we can see that PL decay times is rather long in these highly doped QWs and this is largely due to the fact that the photoexcited holes remain localized in the PL process, as discussed below. For a free carrier PL process the radiative lifetime is expected to be very short at high electron concentrations, which is not observed.

As we reported, holes are localized in GaN/AlGaN MQWs.<sup>16</sup> Such a hole localization can be verified experimentally by observation of LO phonon replica in PL spectra of these samples. The LO phonon coupling strength is unexpectedly strong for GaN QW system<sup>17</sup> and LO phonon coupling strength for QW excitons is typically determined by the localization, i.e. the localization of excitons or holes strongly enhances the coupling strength<sup>18,19</sup>.

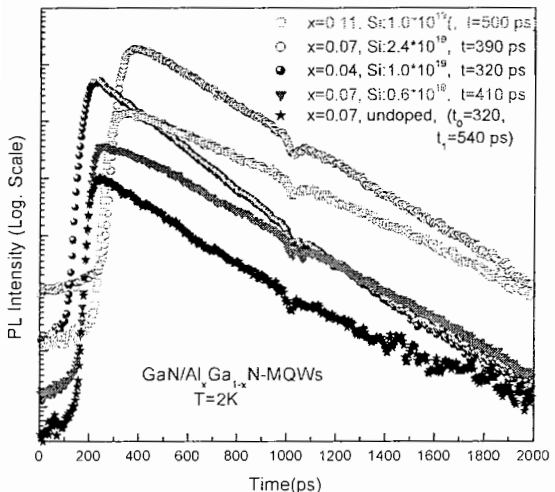


Figure 1: Photoluminescence decay time curves for three MQWs with different Al composition in the barriers region.

An example has been shown in Fig. 2. In this figure we show a comparison between 3 samples with similar Al composition (0.07%) and very large difference in doping. A strong internal field also tends to increase the localization, and consequently the LO phonon coupling strength. The coupling strength to LO phonons for the main emission is comparable in the three cases, due to the hole localization that is only weakly influenced by the electrons in GaN. A combination decay and exciton relaxation is one explanation for the non-exponential decay behavior in undoped sample. The slower part of the decay time is attributed to the time for the radiative recombination and the faster part to the time for the excitons at the higher energy edge to relax to the unoccupied state at lower energy before the radiative recombination. We must mention that the coupling strength for the undoped sample is somewhat larger than other ones, because localization energy for carriers at this sample is larger (as we report at earlier work<sup>20</sup>). Therefore we conclude that in MQWs doped with Si above about  $5 \times 10^{18} \text{ cm}^{-3}$  free electrons (2DEG) are dominant, and the PL process is a free electrons-localized holes transition at low temperatures and for undoped sample there is evidence for excitonic character of the PL emission. With rising temperatures the photoexcited holes become free. Then the radiative efficiency goes down, and the PL decay time as well.

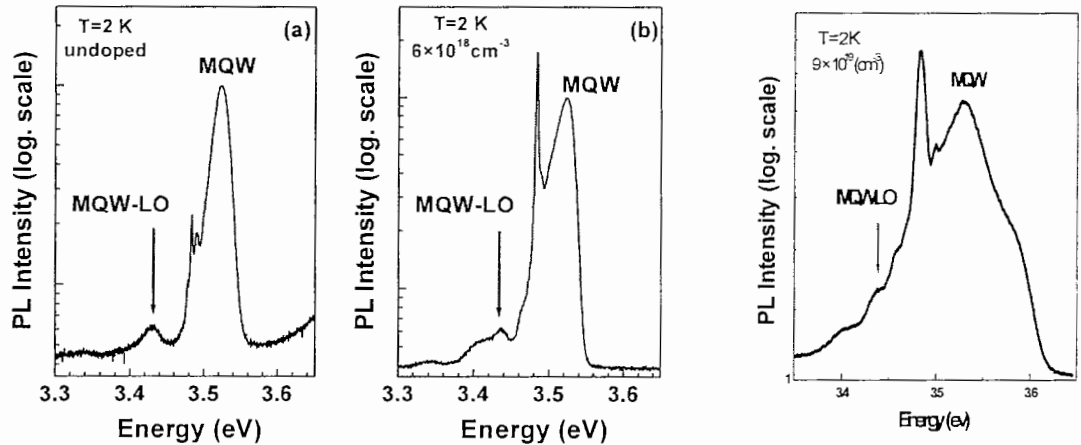


Figure 2: PL spectra of three MQW sample with different Si doping showing a comparable LO phonon coupling. The coupling strength is slightly higher for the undoped sample.

To estimate the exciton or carrier localization energy we studied the temperature dependence of the emission. The QW PL peak energies have an "S-shaped" dependence on the temperature (see figure3). The first red shift is due to the emptying of the shallower potential valleys to the benefit of deeper one. Then the thermal energy becomes sufficient to delocalize QW excitons or carrier out of their traps and average PL energy increases again. To calculate localization energy we used Varshini formula  $E(T) = E(0) - \alpha T^2 / (\beta + T)$ , (where  $E(0)$  is the transition energy at 0K, and  $\alpha, \beta$  are constants) to fit QW peak position energy. The difference between the experimentally determined PL energies (QW peak position) and the corresponding energy evaluated from the fit at low temperature, gives an estimation of the carrier localization energy. The localization energies evaluated from this procedure are found to vary with Al composition. With increasing Al composition from  $x=0.04$  to  $x=0.11$  the localization energy increase from 4 to 8 meV probably due to a larger contribution of structural defects and disorder induced by higher Al, in barriers.

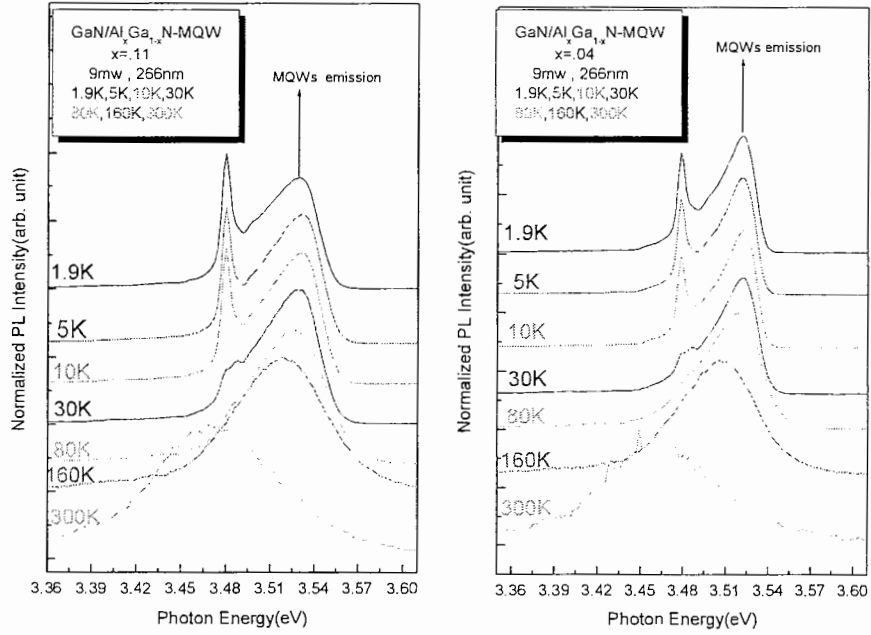


Figure 3: Temperature dependence of the MQW PL energies of the samples with Al content 0.04% and 0.11% and Si doping of  $1.0 \cdot 10^{19} \text{ cm}^{-3}$ .

The normalized PL spectra of three samples with different Al content and same Si doping are shown in Fig. 4a. In this figure is illustrated how the PL spectra vary with composition. A slight upshift in QWs PL peak with increasing Al composition is observed, due the stronger confinement of the electron and hole states, which counteracted by the expected rise of the internal QW electric field with increasing  $x$ . As figure 4a shows PL linewidth increase with the Al content. The increased Al content enhances the electric field in the structure, hence efficiency in screening of the internal polarization fields increases and therefore PL peak emission moves to higher energy, for the same value of doping. In the presence of free carriers in the well,  $E_w$  (polarization field) may be expressed as<sup>21</sup>,

$$E_w^{tot} = (eN_s + P_b - P_w)L_b / (L_w + L_b)\epsilon_0\epsilon_r \quad (1)$$

and  $E_b$  can be calculated from

$$E_b^{tot} = (eN_s + P_w - P_b)L_w / (L_w + L_b)\epsilon_0\epsilon_r, \quad (2)$$

Where  $N_s$  is the sheet electron concentration in the well and  $P_b$ ,  $P_w$  are total polarization charge accumulated at the interface of GaN/AlGaN heterostructures. The total polarization charge can be written as  $P^{tot} = P_{pz} + P_{sp}$  where  $P_{pz}$  is the piezoelectric charge caused by the lattice mismatch and by thermal strain and this polarization can be estimated from the expression<sup>22,23</sup>

$$P_{pz} = 2(a - a_0)/a_0 \{e_{31} - e_{33}C_{13}/C_{33}\} \quad (3)$$

Whereas  $P_{sp}$  represents the spontaneous polarizability of the GaN/AlGaN interface, as clearly demonstrated by the work of Bernardini *et al.*<sup>24,25</sup>[7]. Using this relation, we can find polarization field in our samples. Our calculation shows that electric field varies linearly with the Al mole fraction in the AlGaN barriers (see figure 4b). Note that theoretical calculations predict that the polarization may depend on the barrier thickness too. We must mention that an extrapolation leads to a zero electric field in GaN, allowing one to be confident with data.

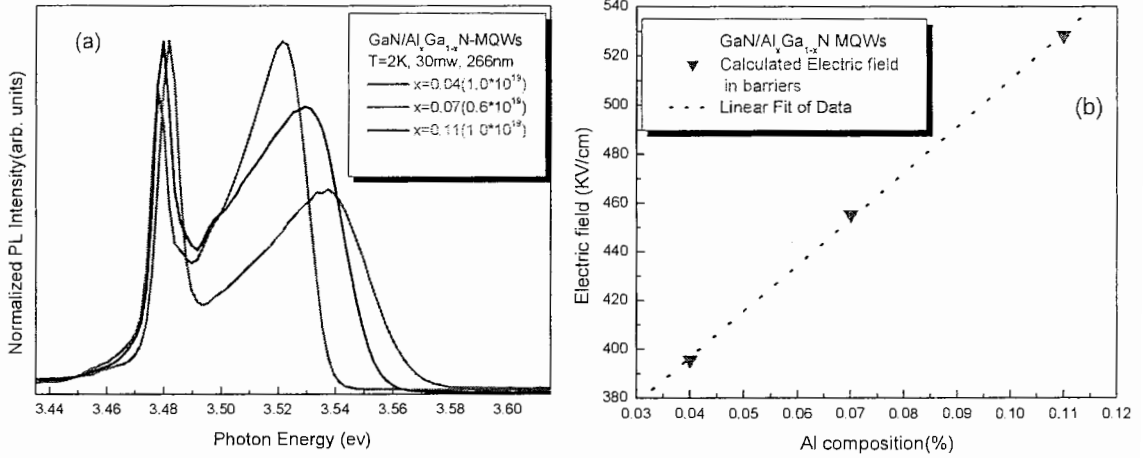


Figure 4: (a) PL spectra of a set GaN/AlGaN MQW nanostructure with different Al mole fraction. (b) build- in electric field versus the Al content.(b) Variation of the built-in electric field as a function of the Al mole fraction in the AlGaN barriers.

At the end of discussion we show how the PL lineshape vary with doping. The samples do not show any emission from the barriers, since there are too thin to hold the photoexcited carrier within the recombination time. For the highest doping level there is a profound broadening also of the high-energy edge of the spectrum, similar to previous studies of degenerately doped bulk GaAs<sup>26</sup> and AlGaAs/GaAs QWs<sup>27</sup>. Finally, as could be seen from fig. 2 PL lineshape of doped GaN MQWs is asymmetric, with a longer low energy tail. A detailed analysis of this lineshape is uncertain due to overlap of probably inequivalent PL spectra from the different active QWs in the doped samples. The low energy onset of the emission moves to lower energy with doping, indicating the down-shifted position of the renormalized QW band gap, adjusted for a typical hole localization energy<sup>28</sup>.

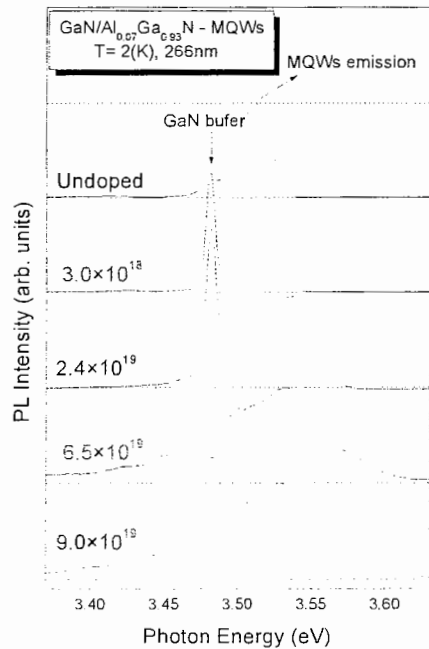


Figure 5: PL spectra of a set n-type modulation doped GaN/Al<sub>0.07</sub>Ga<sub>0.93</sub>N MQWs with different Si doping measured at 2 K.

## 5. Summary and conclusions:

We have shown experimental data for doped and undoped AlGaN/GaN MQW structures grown by MOCVD on c-plane sapphire substrate, relevant for UV LED structures. All MQW structures were directly facing the outer surface and all samples don't have cap layer. Localization of excitons and/or holes is found to be important in these structures at low temperatures, even in the case of very high doping densities. In highly Si-doped structures the excitonic recombination is replaced by a *free electron-localized hole* transition, as is evidenced by experiments on the LO phonon coupling and the PL decay times. We found that the coupling strength to LO phonons for the main emission is comparable in our samples with different doping and same Al composition, due to the hole localization. The QW transition energies deduced from low temperature photoluminescence reveal the presence of a strong internal electric field which can reach 0.528 MV/cm for only 11% of Al content. This electric field is found to vary linearly with the Al mole fraction. We saw that there is a slight blue shift with increasing Al composition in PL peak position spectra, due the stronger confinement of the electron and hole states. Finally we conclude from our data's that PL decay time strongly was influenced by Al composition in barriers.

## Acknowledgments

The authors thank Prof. Dr. H. Amano and his co-workers at Meijo University of Japan for providing samples and we would like to thank Prof. P. O. Holtz, P. P. Paskov and J. P. Bergman for their clarifying discussion on PL and TRPL measurement results at Linkoping university of Sweden.

## References

- 
- <sup>1</sup> S. Nakamura, M. Senoh, N. Iwasa, S. -I. Nagahama, *Appl. Phys. Lett.* **67** (1995) 1868.
  - <sup>2</sup> S. Nakamura, M. Senoh, N. Iwasa, S. -I. Nagahama, T. Yamada, T. Mukai, *Jpn. J. Appl. Phys.* **34** (1995) L1332.
  - <sup>3</sup> S. Nakamura, M. Senoh, N. Iwasa, S. -I. Nagahama, T. Yamada, T. Matsushita, H. Kiyoku, Y. Sugimoto, *Jpn. J. Appl. Phys.* **35** (1996) L74.
  - <sup>4</sup> S. D. Lester, F. A. Ponce, M. G. Crawford, D. A. Steigerwald, *Appl. Phys. Lett.* **66** (1995) 1249.
  - <sup>5</sup> S. Nakamura, M. Senoh, S. Nagahama, N. Iwasa, T. Yamada, T. Matsushita, Y. Sugimoto, H. Kiyoku, *Jpn. J. Appl. Phys.* **36** (1997) L1059
  - <sup>6</sup> S. Chichibu, T. Azuhata, T. Sota, S. Nakamura, *Appl. Phys. Lett.* **69** (1996) 4188.
  - <sup>7</sup> F. Bernardini, V. Fiorentini, and D. Vanderbilt, *Phys. Rev. B* **56**, R10024 (1997).
  - <sup>8</sup> K. Shimada, T. Sota, and K. Suzuki, *J. Appl. Phys.* **84**, 4951 (1998).
  - <sup>9</sup> H. Haratizadeh, B. Monemar, P. P. Paskov, P. O. Holtz, E. Valcheva, P. Persson, M. Iwaya, S. Kamiyama, H. Amano, and I. Akasaki, *phys. stat. sol. (b)* **241**, 1124 (2004).
  - <sup>10</sup> B. Monemar, J. P. Bergman, J. Dalfors, G. Pozina, B. E. Sernelius, P. O. Holtz, H. Amano, I. Akasaki, *MRS Internet J. Nitride Semicond. Res.* **4**, 16 (1999).
  - <sup>11</sup> J. Neugebauer and C. G. Van de Walle, *Phys. Rev. Lett.* **75**, 4452 (1995).
  - <sup>12</sup> J. Neugebauer and C. G. Van de Walle, *Appl. Phys. Lett.* **68**, 1829 (1996).
  - <sup>13</sup> J. P. Bergman, T. Lundström, B. Monemar, H. Amano, I. Akasaki, *Appl. Phys. Lett.* **69**, 3456 (1996).
  - <sup>14</sup> H. Amano, N. Sawaki, I. Akasaki, and Y. Toyoda, *Appl. Phys. Lett.* **48**, 35 (1986).
  - <sup>15</sup> B. Monemar, P. P. Paskov, T. Paskova, J. P. Bergman, G. Pozina, W. M. Chen, P. N. Hai, I. A. Buyanova, H. Amano, I. Akasaki; *Material Science and Engineering B* **93** (2002), 112-122
  - <sup>16</sup> H. Haratizadeh, P. P. Paskov, G. Pozina, P. O. Holtz, B. Monemar, S. Kamiyama, M. Iwaya, H. Amano, and I. Akasaki, *Appl. Phys. Lett.* **80**, 1373 (2002).

- 
- <sup>17</sup> K. J. Nash and D. J. Mowbray, *J. Lumin.* **44**, 315 (1989).
- <sup>18</sup> X. B. Zhang and B. Gil, in: Low Dimensional Nitride Semiconductors, edited by B. Gil (*Oxford Science Publications, Oxford, 2002*), p. 257.
- <sup>19</sup> P. P. Paskov, P. O. Holtz, B. Monemar, S. Kamiyama, M. Iwaya, H. Amano, and I. Akasaki, in: Proc. Int. Workshop Nitride Semicond. (IWN2002), Aachen, Germany, July 20–25, 2002, *phys. stat. sol. (b)* **234**, 755 (2002).
- <sup>20</sup> M. Esmaeili, H. Haratizadeh, B. Monemar, S. Kamiyama, Proc. of the 11th Annual IASBS (Institute for Advanced Studies in Basic Sciences) meeting on condensed matter physics, Zanjan, Iran, May 26–27 (2005).
- <sup>21</sup> R. Cingolani, A. Botcharev, H. Tang, H. Markoc, G. Traetta, G. Coli, M. Lomascolo, A. Di Carlo, F. Della Sala, and P. Lugli, *Phys. Rev. B* **61**, 2711 (2000).
- <sup>22</sup> O. Ambacher, J. Majewski, C. Miskys, A. Link, M. Hermann, M. Eickhoff, M. Stutzmann, F. Bernardini, V. Fiorentini, V. Tilak, B. Schaff, and L. F. Eastman, *J. Phys.: Condens. Matter* **14**, 3399 (2002).
- <sup>23</sup> B. Monemar and G. Pozina, *Prog. Quantum Electron.* **24**, 239 (2000).
- <sup>24</sup> F. Bernardini, V. Fiorentini, and D. Vanderbilt, *Phys. Rev. Lett.* **79**, 3958 (1997).
- <sup>25</sup> F. Bernardini and V. Fiorentini, *Phys. Rev. B* **57**, R9427 (1998).
- <sup>26</sup> J. De-Sheng, Y. Makita, K. Ploog, and H. J. Queisser, *J. Appl. Phys.* **53**, 999 (1982).
- <sup>27</sup> C. I. Harris, B. Monemar, H. Kalt, and K. Köhler, *Phys. Rev. B* **48**, 4687 (1993).
- <sup>28</sup> B. Arnaudov, T. Paskova, E. M. Goldys, S. Evtimova, and B. Monemar, *Phys. Rev. B* **64**, 045213 (2001).

## Abstract

The III-nitride material family is particularly well suited for optoelectronic applications, e.g. as UV light emitters in future lighting solutions that are expected to replace the incandescent and fluorescent lamps in use today and also laser diodes(LDs), high temperature and high power electronic devices. In order to optimize the device design, it is necessary to provide knowledge on the material properties and especially to understand the recombination mechanisms in nitride QWs. A peculiarity of the nitrides is the significant macroscopic polarization with both a spontaneous and a piezoelectric component. These polarization charges create internal fields in the QWs that have fundamental influence on the optical properties, strongly affecting the oscillator strengths of excitons as well as the spectral position of the corresponding photoluminescence (PL) peaks. The radiative recombination processes are strongly modified by these built-in electric fields in the [0001] direction, which causes a substantial quantum confined stark effect (QCSE). Screening by doping and/or carrier injection strongly affects the polarization-induced properties. For instance in this thesis modulation doping technique is used to screen the macroscopic polarization fields in nitride quantum wells. The screening of the fields increases the overlap between confined electron and hole states, enhancing the radiative transition probability across the gap.

This thesis is based on the optical studies of GaN-based quantum structures consist of five period  $\text{GaN}/\text{Al}_{0.07}\text{Ga}_{0.93}\text{N}$  MQWs that have been grown on sapphire substrate along c-axis [0001] by Metal-Organic Chemical Vapor Deposition (MOCVD) and the thickness of well and barrier are 3nm and 7nm, respectively. The thesis is mainly based on experimental investigation by using a combination of the PL and time resolved PL(TRPL) techniques.

The results of measurements reveal the all samples with different doping levels show a QW emission which is blue shifted with respect to the 3.48 eV PL peak from the GaN buffer layer. For the undoped and low-doped samples ( $3 \times 10^{18} \text{ cm}^{-3}$ ), which have less free electrons in the QWs, a non-exponential PL decay behavior at 2 K is attributed to localized exciton recombination. The more highly doped samples show almost exponential decay curves at 2 K, suggesting the recombination of free electrons and localized holes. We found that with increasing Si doping the localization energy will decrease. The temperature dependence of radiative as well as nonradiative lifetime has also been evaluated between 2 K and room temperature for different Si doping. It has been determined that the radiative recombination (RR) mechanism dominates at the low temperature range and with increasing temperature the nonradiative recombination (NRR) will dominate. The results demonstrate that the radiative recombination channel is stronger in the Si doped samples (60 K), compared to the undoped one(30K). Overcoming of radiative recombination in spite of high defect density in high doped sample related to the dense 2DEG originating from the modulation doping in the barrier. In addition the competition between the photo-generated carriers and the Si doping on the screening of the internal polarization fields investigated.



*Shahrood University of Technology  
Physics Department*

*Master of science Thesis  
In Solid State Physics*

***Role of Polarization Fields on the  
Photoluminescence of III-nitride QW  
structures***

*Supervisor:  
Dr. Hamid Haratizadeh*

*By:  
Morteza Esmaeili*

*December 2005*